



REALIZZAZIONE DI IMPIANTO PER LA PRODUZIONE DI ACIDO TARTARICO NATURALE E ANNESSA TETTOIA DI STOCCAGGIO FECCE D'UVA

Procedimento unico art. 53 L.R. 24/2017

TITOLO DELL'ELABORATO:

RELAZIONE GEOLOGICA

ALLEGATO:

7

ELABORATO:

2B

DATA: OTTOBRE 2022

PROGETTISTA



P.I. Vincenzo Buonocore
Ing. Carlotta Berti

PROGETTISTA

Studio Associato Ne.Ma

Ingegneria Ambiente Sicurezza

Via Confine 24/a – 48015 Cervia (RA)
P.IVA 02653670394

Ing. David Negrini
Ing. Roberta Mazzolani

COMUNE DI FAENZA

Provincia di Ravenna

Analisi di Risposta Sismica Locale sul sito ENOMONDO in via Convertite

Committente



ENOMONDO
Via Convertite, 6
48018 Faenza (RA)
P.I. 02356350393

Settembre, 2020

SGT Società di
Geologia
Territoriale
S.G.T. sas.
di Van Zutphen Albert & C.
Via Matteotti 50
48012 Bagnacavallo (RA)
www.geo55.com



Sommario

1. PREMESSA	3
2. LINEAMENTI GEOLOGICI GENERALI.....	3
2.1 LINEAMENTI STRUTTURALI.....	8
3. INDAGINI GEOGNOSTICHE	11
3.1 DOWN HOLE	11
3.2 MISURE DIGITALI DEL RUMORE SISMICO E MASW	11
4. MICROZONAZIONE SISMICA	16
5. CONCLUSIONI	20
APPENDICE	22
ALLEGATI	32

1. PREMESSA

Con lo scopo di valutare l'effetto di un sisma di progetto sul sito produttivo della ENOMONDO, in via Convertite a Faenza, si è provveduto ad eseguire uno studio di Risposta Sismica Locale. Tale studio è finalizzato anche alla urbanizzazione di un'area adiacente alla realizzazione di nuove strutture sul sito esistente, al fine di efficientare e ampliare l'attuale attività di compostaggio.

2. LINEAMENTI GEOLOGICI GENERALI

Le caratteristiche fisiche generali, la composizione litologica, l'assetto strutturale, il grado di stabilità attuali di un territorio è la risultante e la sintesi della sua evoluzione geologica. Per una migliore comprensione della geologia del territorio in esame, risulta utile avere un quadro, sia pure schematico e riassuntivo, dei lineamenti e della storia geologica della più ampia unità regionale di cui l'area in esame è parte.

Il territorio del Comune di Faenza è inserito, anche se in modo marginale, nel vasto bacino sedimentario della Valle Padana e più precisamente nel lembo sud-orientale della stessa, delimitato a Nord dal corso del Po e a Sud dalle propaggini collinare dell'Appennino Romagnolo.

La storia geologica di questa pianura, la sua genesi e le sue vicissitudini evolutive possono essere ricondotte, nel loro insieme, ad un lento e progressivo ricoprimento del settore meridionale della fossa occupata dall'alto Adriatico già a partire dalla fase centrale della orogenesi alpina, da un lato, e di quella appenninica, dall'altro, cioè nell'oligocene, come confermano le risultanze delle perforazioni condotte nell'area per ricerche di idrocarburi.

L'attuale assetto geologico è la risultante di un complesso avvicendamento di fasi erosive in alternanza a fasi prevalentemente sedimentarie, sia in senso verticale sia in senso orizzontale, in relazione al perdurare di una dinamica al basamento del substrato e di fenomeni di subsidenza del materasso alluvionale che si stava formando, con conseguenti arresti della regressione marina o addirittura episodi di ingressione e formazione di fasi lagunari lungo la fascia pre-appenninica.

Solo nel Quaternario più recente l'assetto tettonico manifesta una sorta di equilibrio raggiunto e, alla prevalente tendenza alla subsidenza e deposizione prevalentemente marina, subentra un periodo di più estesi fenomeni sedimentari fluviali, ai quali è concomitante il progressivo ritiro del mare verso la configurazione dell'attuale costa.

Il quaternario è contraddistinto da una fase deposizionale marina iniziale (Pleistocene) e una fase deposizionale continentale (Olocene) che prosegue anche attualmente.

La stratigrafia pleistocenica presenta frequenti variazioni litologiche. I sedimenti granulari si intercalano a sedimenti più fini limoso sabbiosi o limoso argillosi, e nelle parti sommitali si fanno sempre più frequenti litotipi di ambiente lagunare salmastro.

La stratigrafia olocenica è dominata dalla più recente regressione marina in concomitanza con le grandi glaciazioni intervallate da lunghi periodi di clima più mite durante i quali prevale l'azione di trasporto dei numerosi corsi d'acqua.

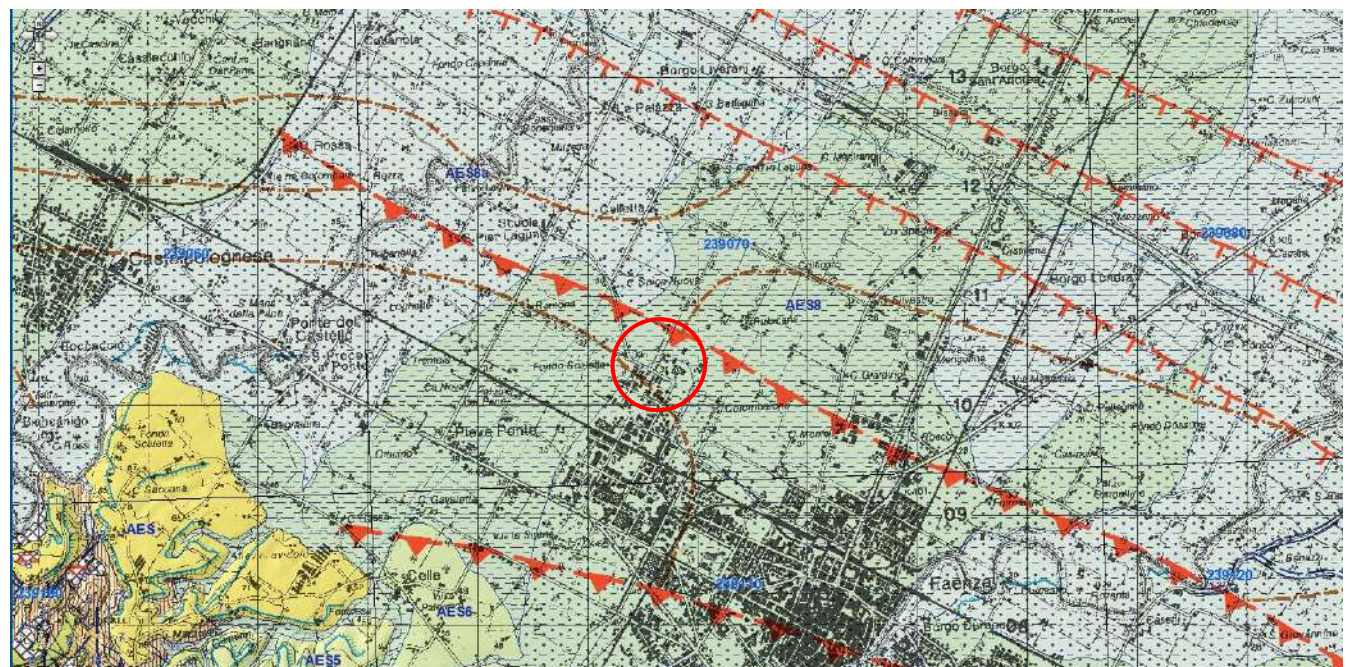
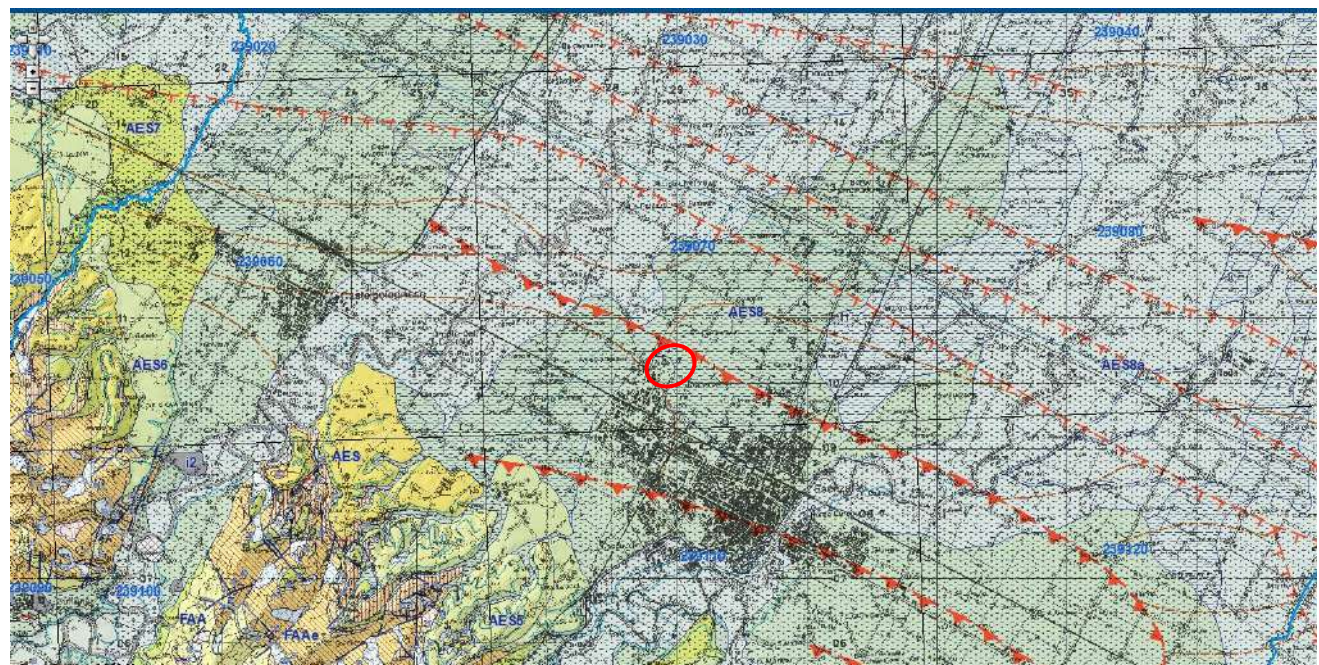
La Carta Geologica, resa disponibile sul sito della Servizio Geologico della Regione Emilia-Romagna, evidenzia per l'area in esame depositi appartenenti al Subsistema di Ravenna (AES8), con tessitura da Sabbia, settore Sud, a limi, limi argillosi, settore Nord, Est e Ovest.

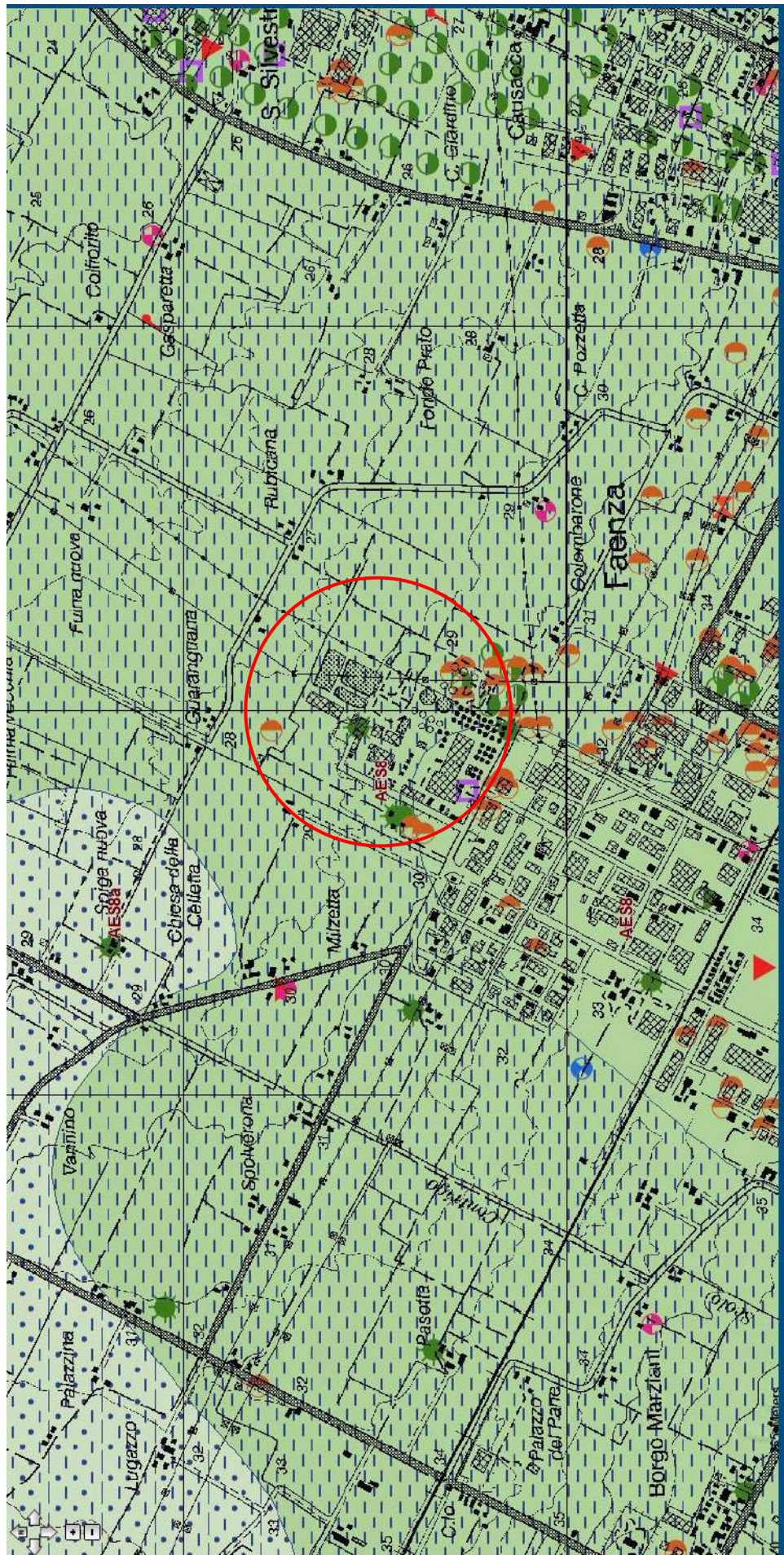
I depositi sedimentari della zona di progetto sono caratteristici della piana alluvionale di conoide distale e sono caratterizzati da Limo argilloso, limo, sabbia e ghiaia, variamente combinati.

In base alla cartografia geologica si osserva che la base del pliocene è posta alla profondità di circa -4000 m dal livello medio del mare.

Inoltre, si nota che il sito è interessato, al margine Nord, da un probabile sovrascorrimento profondo post-tortoniano, così come riportato sulla carta geologica della Regione Emilia-Romagna. In particolare, dal data base delle sorgenti sismogenetiche pubblicate dall'Istituto Nazionale di Geofisica e Vulcanologia (INGV), si nota che il sito in esame non è interessato da strutture sismogenetiche.

In base alla sezione geologica 63, pubblicata dal Servizio Geologico della Regione Emilia-Romagna, si osserva che il substrato marino mio-plio-pleistocenico si trova alla profondità di circa 230÷250 m rispetto al livello del medio mare, ovvero a circa 260÷280 m rispetto al piano di campagna del sito in esame, considerando che quest'ultimo risulta a circa 28÷29 m slm.





Legenda

Province



Comuni



Griglia 10.000



Risorse e prospettive (50K)

cava attiva

cava inattiva

Punti di osservaz. e misura (50K)

stratificazione dritta

Tracciati geologici (50k)

traccia di sezione geologica

Linee geomorf./antrop. (50K)

orlo di terrazzo fluviale certo

traccia di alveo fluviale abbandonato certa

traccia di alveo fluviale abbandonato incerta

ventaglio di esondazione certo

Isolinee di unità del sottosuolo (50k)

isobata della base del pliocene

menti strutturali (50K)

faglia profonda diretta dedotta

sovrascorrimento profondo post-tortoniano dedotto

Limiti di unità geologiche (50K)

contatto con area non rilevabile

contatto stratigrafico inconforme certo

contatto stratigrafico o litologico certo

contatto stratigrafico o litologico incerto

faglia certa

faglia diretta certa

faglia diretta incerta

faglia incerta

faglia sepolta

Aree geomorf./antrop. (50K)

discarica, deposito di origine antropica

Ambienti deposiz. e litologie (50K)

ghiaia di piana alluvionale

limo argilloso di piana alluvionale

sabbia limosa di piana alluvionale

Unità geologiche (50K)

AES - Sintema emiliano-romagnolo superiore

AES4 - Sintema emiliano-romagnolo superiore - Subsistema di Liano

AES5 - Sintema emiliano-romagnolo superiore - Subsistema di Torre Stagni

AES6 - Sintema emiliano-romagnolo superiore - Subsistema di Bazzano

AES7 - Sintema emiliano-romagnolo superiore - Subsistema di Villa Verucchio

AES8 - Sintema emiliano-romagnolo superiore - Subsistema di Ravenna

AES8a - Sintema emiliano-romagnolo superiore - Subsistema di Ravenna - unità di Modena

FAA - Formazione delle Argille Azzurre

FAaA - Formazione delle Argille Azzurre - litofacies arenacea

FAaE - Formazione delle Argille Azzurre - litofacies di Terra del Sole

IMO1 - Sabbie di Imola - Membro di Monte Castellaccio

IMO2 - Sabbie di Imola - Membro di Fossoveggia

SVG - Arenarie e argille di Savignano

a1 - Frana in evoluzione

a2 - Frana quiescente

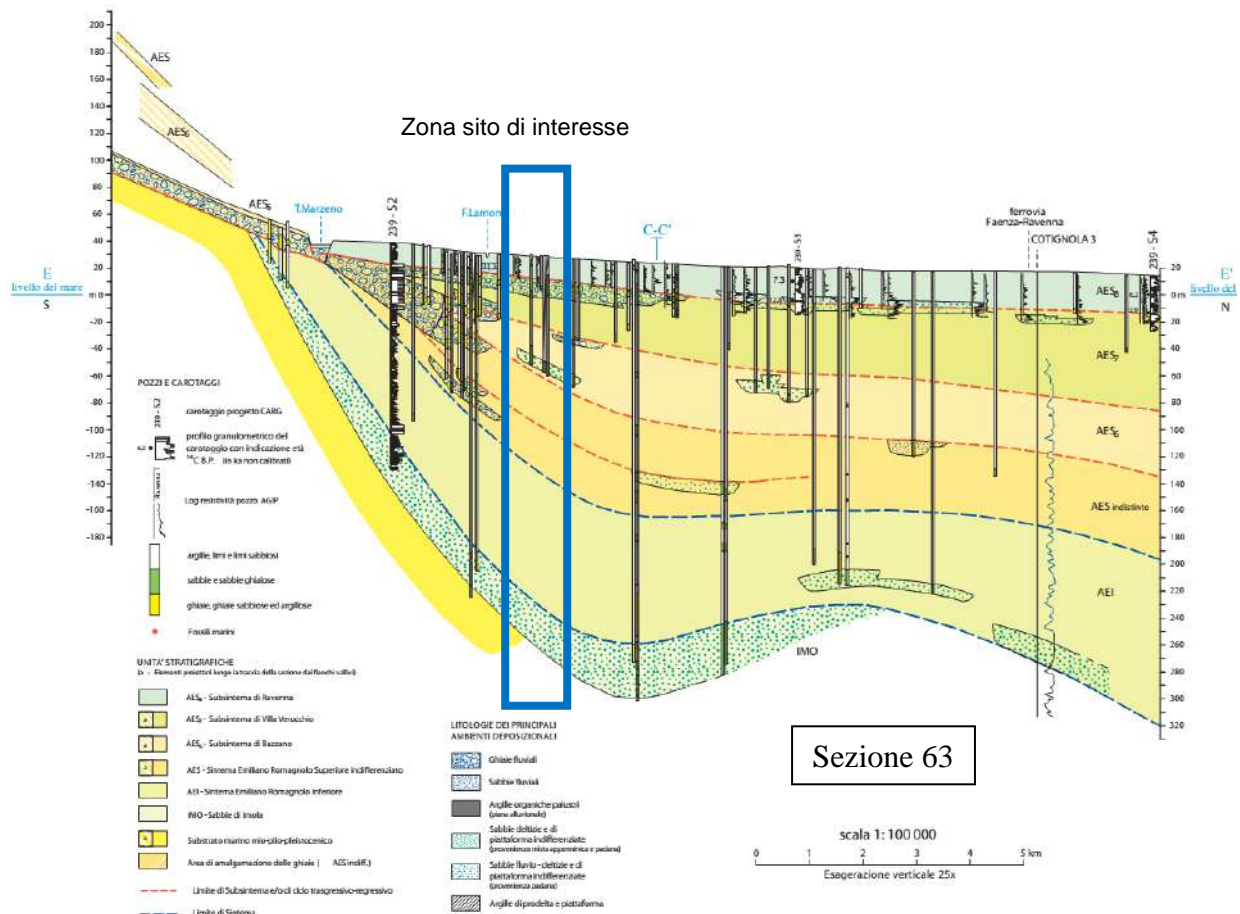
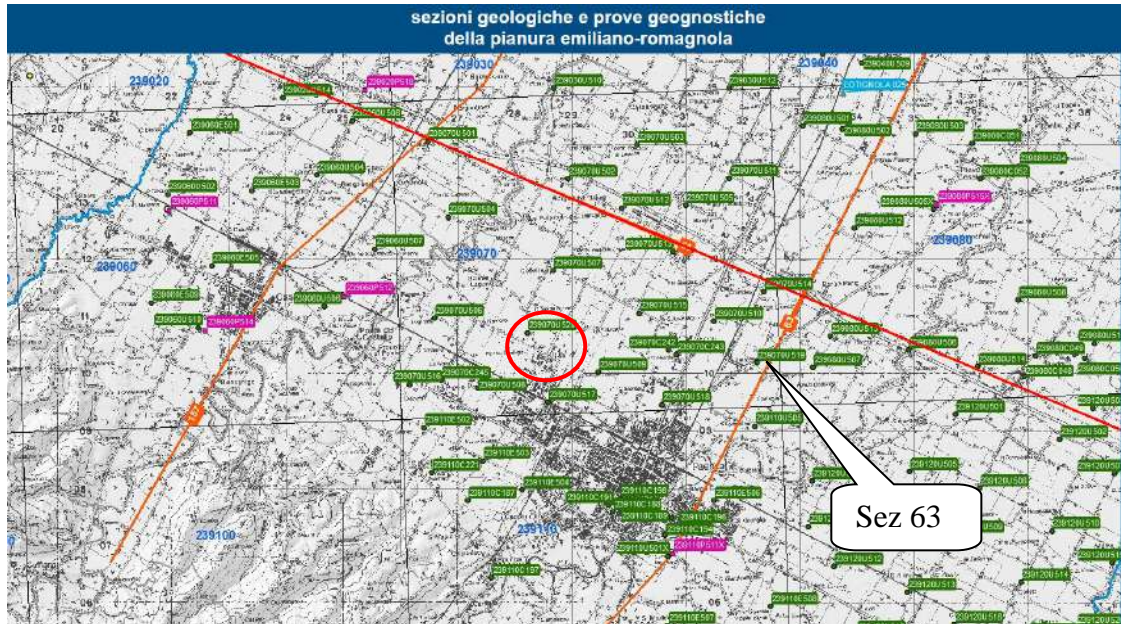
a4 - Deposito eluvio-colluviale

h2 - Deposito da cava inattiva

h4 - Deposito antropico

i2 - Conoide torrentizia inattiva

Traccia sezione geologica di riferimento per la zona tratta dal Sito della Regione Emilia-Romagna.



2.1 Lineamenti strutturali

Lo schema strutturale locale è caratterizzato da uno stile a pieghe, di norma asimmetriche con vergenza verso N, ad andamento NW-SE con frequenti ondulazioni assiali ed una immersione generale verso SE.

Nei terreni neogenici il piegamento è avvenuto in due fasi distinte tra Miocene e Pliocene e prima del Pliocene medio. La seconda fase ha influito maggiormente nell'area emiliano-romagnola, dove la discordanza tra i termini del Miocene e quelli del Pliocene inferiore è attenuata, mentre si osserva un più accentuato piegamento ed una maggiore erosione dei termini del pliocene inferiore.

Ai fenomeni plicativi si sovrappone la già citata subsidenza differenziale, con deposizione più intensa nelle sinclinali e minore al culmine delle anticlinali.

Le pieghe pedeappenniniche sono accompagnate dallo sviluppo di faglie a carattere distensivo, talora grandiose, e sono inoltre sovente interrotte da faglie con direzione NE-SW con rigetto prevalentemente orizzontale.

Nella più ampia unità di territorio in esame da N a S si riconoscono i seguenti motivi strutturali principali:

- Sinclinale di San Romualdo - Piombone;
- Anticlinale di Ravenna e di Alfonsine;
- Sinclinale romagnola (asse ONO-ESE);
 - Anticlinale di Cotignola;
- Sinclinale di Forlì.

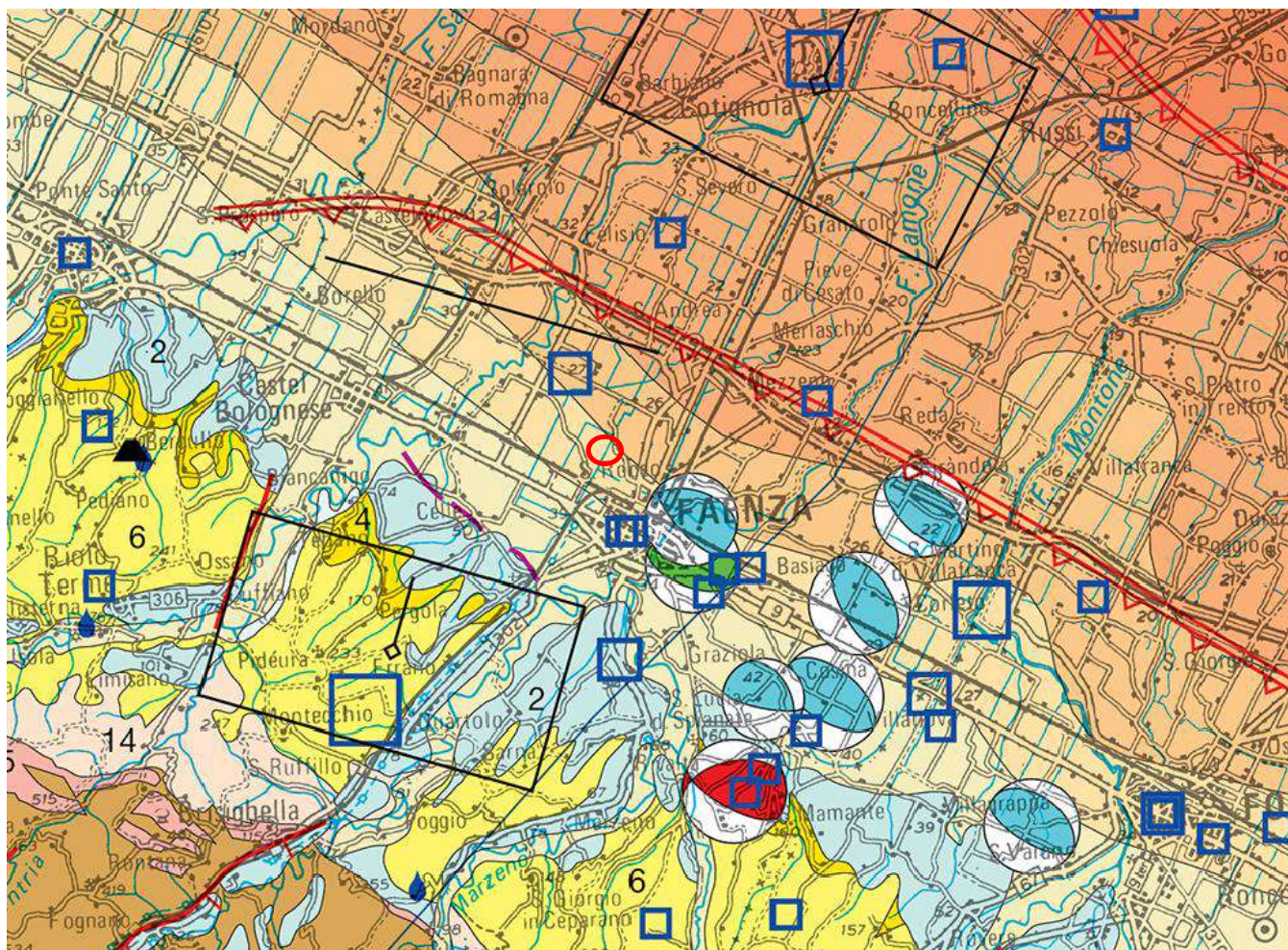
Le strutture sepolte plioceniche influenzano, sia pure con grado decrescente col diminuire della profondità, l'assetto dei sedimenti pleistocenici, che risultano blandamente ondulati e presentano una generale pendenza verso SE secondo l'immersione degli assi strutturali pliocenici.

I sedimenti alluvionali recenti hanno un assetto più irregolare ed articolato. Infatti pur avendo una tendenziale e debole pendenza verso NE secondo la direzione di deflusso degli attuali corsi appenninici, presentano variazioni di potenza anche rilevanti, derivanti da ondulazioni del letto con depressioni ad andamento appenninico, probabilmente riferibili a paleoalvei.

Dalla carta sismotettonica si può dedurre che per l'area in esame la base del Sintema Emiliano-Romagnolo superiore indifferenziato (AES), ovvero il tetto del Sintema Emiliano-Romagnolo inferiore (AEI) si trova a circa 70÷100 sotto il livello del mare.

Inoltre, sempre dalla cartografia geologica e sismotettonica si osserva che il sito si trova in prossimità di un sovrascorrimento riattivato (Reactivated thrust fault) di età Pliocenica-Pleistocenica inferiore (4.5 – 1 Ma).

In particolare i principali meccanismi focali, riferiti a faglie inverse, con magnitudo momento $Mw=4.5\div 5$, si trovano alla distanza di circa 5÷8 km verso NNE rispetto al sito in esame.



Isolate della base del Sistema Emiliano-Romagnolo Superiore (SERS; 0,45 Ma-Presente) riferite al livello del mare
Isolates of the base of the Emilia-Romagna Upper Synthem (SERS; 0,45 My-Present) referred to the sea level

- Fronte di sovrascorrimento sepolto
Buried thrust front
- Fronte di sovrascorrimento sepolto presunto
Inferred buried thrust front
- Faglia sepolta
Buried fault
- Faglia sepolta presunta
Inferred buried fault
- Faglia normale sepolta presunta
Inferred buried normal fault
- Sorgente sismogenica individuale (da DSS 3.2);
Individual seismogenic source (from DSS 3.2)

Strutture tettoniche potenzialmente attive Potentially active tectonic structures

- Faglia
Fault
- Faglia presunta
Inferred fault
- Faglia normale
Normal fault
- Faglia normale presunta
Inferred normal fault
- Articolale
Anticline
- Sincolale
Syncline
- Fronte di sovrascorrimento sepolto
Buried thrust front
- Fronte di sovrascorrimento sepolto presunto
Inferred buried thrust front
- Faglia copolata
Buried fault
- Faglia sepolta presunta
Inferred buried fault
- Faglia normale sepolta presunta
Inferred buried normal fault
- Discontinuità presunta
Inferred discontinuity
- Traccia di sezione geologica
Geological cross section trace

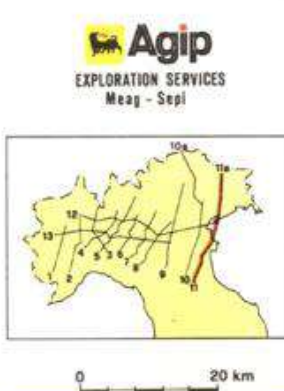
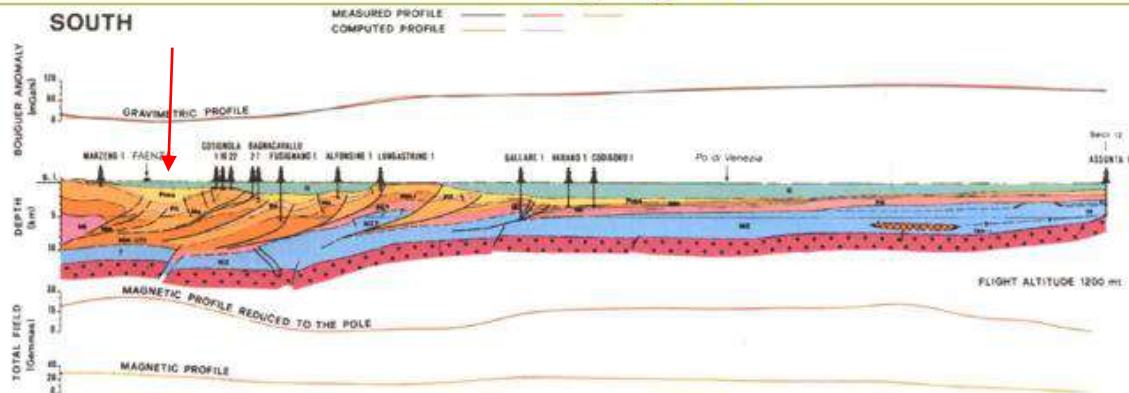
Unità geologiche affioranti Outcropping geological units

Depositi quaternari dei bacini intermontani e del margine padano-adriatico
Quaternary deposits of intramontane basins and Po Plain - Adriatic margin

1	Deposit alluvionali olocenici Holocene alluvial deposits
2	Depositi alluvionali pliostocenici Pliostocene alluvial deposits
3	Depositi fluvio-lacustri (Villafranchiano-Pleistocene medio) Fluvial-lacustrine deposits (Villafranchian-middle Pleistocene)
4	Sebbie di Imola (Pleistocene medio) Imola Sands (middle Pleistocene)
5	Sebbie gialle (Pleistocene medio) Yellow sands (middle Pleistocene)
6	Successione marina plio pleistocenica del margine padano-adriatico Pliocene-Pleistocene marine succession of the Po Plain-Adriatic margin



AGIP subsurface geology section



ITALY
NORTHERN AREA
GEOPHYSICAL AND GEOLOGICAL
INTEGRATED INTERPRETATION

SECTION N° 11

LEGEND

Q	Quaternary
Pm	Upper middle pliocene
Pl	Lower pliocene
Mu	Upper miocene
Mm	Middle miocene
Ml	Lower miocene
PG	Paleogene
MZ	Mesozoic

DENSITY	g/cm³
Magnetic basement	2.80 - 2.81
Ophiolite	2.33 - 2.34
Tertiary volcano	2.43 - 2.44
Triassic volcano	2.48 - 2.49
Permian volcano	2.49 - 2.54
Horizon by geophysical and geological data	2.59 - 2.60
Phantom by geophysical and geological data	2.64 - 2.65
Fault or discontinuity	2.66 - 2.67

DENSITY	g/cm³
SUSCEPTIBILITY	C.G.S.e.10²

FLIGHT ALTITUDE 1200 and 2700 m.

DATE 1985

Oil industry geological cross-section. The Bagnacavallo source is internal with respect to the outermost Ferrara thrust front. Quaternary deposits do not appear to be involved in the deformation (from Cassano et al. [1986]).

3. INDAGINI GEOGNOSTICHE

Al fine di verificare le caratteristiche del substrato dell'area in esame, in considerazione delle prove già disponibili sul sito in esame, si è provveduto ad integrare i dati disponibili realizzando n. 2 sondaggi a carotaggio continuo spinti fino a 30 m dal piano di campagna, n. 2 down hole rispettivamente sui due sondaggi, e n. 1 misura HVSR.

3.1 Down Hole

Le misure dei down hole, eseguite sul sondaggio S1 e S2, spinti fini a -30 m dal piano di campagna, hanno fornito una velocità delle onde di taglio nei primi 30 m di sottosuolo compresa tra **Vseq(0-30 m)=225 m/s (S1)** e **Vseq(0-30 m)=230m/s (S2)**.

Tali valori sono in linea con le precedenti misure HVSR e MASW, che fornirono valori di Vseq (0-30 m) attorno a 202÷224 m/s, e con quello realizzato sul sito da urbanizzare che ha evidenziato una Vseq (0-30 m) = 222 m/s.

In allegato si riportano le misure down hole.

3.2 Misure digitali del rumore sismico e MASW

Sul sito in esame sono stati eseguiti n. 4 misure HVSR, n. 2 SASW/MASW.

Metodo dei microtremori HVSR

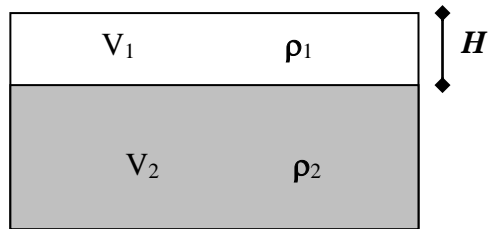
Il tremore sismico, comunemente definito “rumore sismico”, esiste ovunque sulla superficie della terra. Esso è principalmente costituito da onde superficiali, ovvero da onde elastiche prodotte dall’interferenza costruttiva di onde P ed S che si propagano negli strati superficiali. Il rumore sismico è prodotto essenzialmente dal vento o dalle onde marine. A questo rumore di fondo, che è sempre presente, si sovrappongono le sorgenti locali, antropiche (traffico, industrie ecc.) e naturali. I microtremori sono solo in parte costituiti da onde di volume, P o S. In essi giocano un ruolo fondamentale le onde superficiali, che hanno velocità prossima a quella delle onde S, il che spiega la dipendenza di tutta la formulazione della velocità di queste ultime.

Dai primi studi di Kanai (1957) in poi, diversi metodi sono stati proposti per estrarre l’informazione relativa al sottosuolo da rumore sismico registrato in un sito. Tra questi, la tecnica che si è maggiormente consolidata nell’uso è quella dei rapporti spettrali tra le componenti del moto orizzontale e quella verticale (Horizontal to Vertical Spectral Ratio, HVSR o H/V), proposta da Nogoshi e Igarashi (1970). La tecnica è universalmente riconosciuta come efficace nel fornire stime affidabili della frequenza fondamentale di risonanza del sottosuolo.

Le basi teoriche dell’H/V sono relativamente facili da comprendere in un mezzo del tipo strato + bedrock (o strato assimilabile al bedrock) in cui i parametri sono costanti in ciascuno strato. Considerando lo schema della figura sottostante in cui gli strati 1 e 2 si distinguono per le diverse densità (ρ_1 e ρ_2) e le diverse velocità delle onde sismiche (V_1 e V_2). Un’onda così riflessa interferisce con quelle incidenti, sommandosi e raggiungendo le ampiezze massime (condizioni di risonanza) quando la lunghezza dell’onda incidente (λ) è 4 volte (o suoi multipli dispari) lo spessore H del primo strato. La frequenza fondamentale di risonanza (f_r) dello strato 1 relativa alle onde S è pari a

$$f_r = \frac{V_{s1}}{4 * H}$$

Questo effetto è sommabile, anche se non in modo lineare e senza corrispondenza 1:1. Ciò significa che la curva H/V relativa ad un sistema a più strati contiene l’informazione relativa alle frequenze di risonanza (e quindi dello spessore) di ciascuno di essi, ma non è interpretabile semplicemente applicando la sopra riportata equazione.



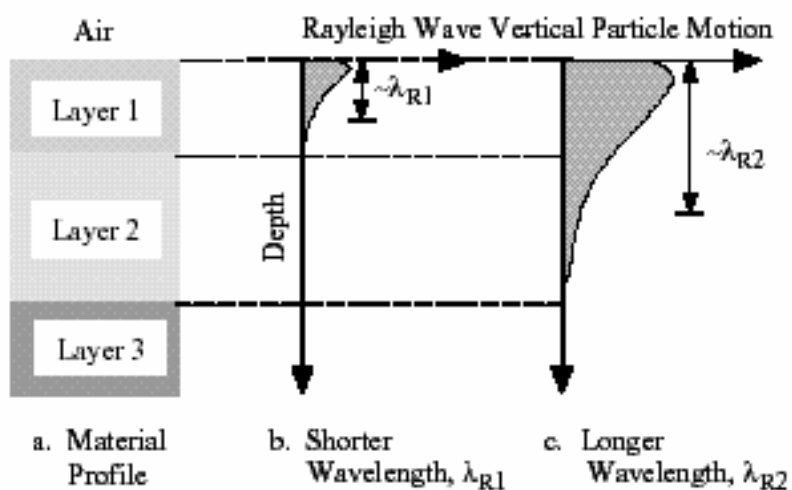
L'inversione richiede l'analisi delle singole componenti e del rapporto H/V, che fornisce un importante normalizzazione del segnale per a) in contenuto di frequenza, b) la risposta strumentale e c) l'ampiezza del segnale quando le registrazioni vengono effettuate in momenti con rumore di fondo più o meno alto.

Un aspetto assai importante è che il rumore sismico agisce come sorgente di eccitazione per la risonanza del sottosuolo e degli edifici più o meno come una luce bianca diffusa illumini gli oggetti eccitando le lunghezze d'onda tipiche di ciascun oggetto e dandogli il suo tipico colore.

Questo risulta molto importante a livello ingegneristico perché se un edificio ha frequenze proprie di vibrazione uguali a quelle del substrato su cui è fondato, durante un sisma, si assiste al fenomeno dell'accoppiamento delle vibrazioni. Questo effetto di amplificazione sismica produrrà un grande aumento della sollecitazione sugli edifici.

Metodo dei MASW

Il metodo MASW (Multichannel Analysis of Surface Waves) è una tecnica di indagine non invasiva che individua il profilo di velocità delle onde di taglio verticali Vs, basandosi sulla misura delle onde superficiali fatta in corrispondenza di diversi sensori (accelerometri o geofoni) posti sulla superficie del suolo. Il contributo predominante alle onde superficiali è dato dalle onde di Rayleigh, che viaggiano con una velocità correlata alla rigidezza della porzione di terreno interessata dalla propagazione delle onde. In un mezzo stratificato le onde di Rayleigh sono dispersive, cioè onde con diverse lunghezze d'onda si propagano con diverse velocità di fase e velocità di gruppo (Achenbach, J.D., 1999, Aki, K. and Richards, P.G., 1980) o detto in maniera equivalente la velocità di fase (o di gruppo) apparente delle onde di Rayleigh dipende dalla frequenza di propagazione. La natura dispersiva delle onde superficiali è correlabile al fatto che onde ad alta frequenza con lunghezza d'onda corta si propagano negli strati più superficiali e quindi danno informazioni sulla parte più superficiale del suolo, invece onde a bassa frequenza si propagano negli strati più profondi e quindi interessano gli strati più profondi del suolo.



Le onde superficiali generate in un punto sulla superficie del suolo sono misurate da uno stendimento lineare di sensori. Nel metodo SASW-MASW si mantiene fisso il sensore di misura e si sposta a intervalli regolari il punto di generazione delle onde.

Il metodo attivo generalmente consente di ottenere una velocità di fase (o curva di dispersione) sperimentale apparente nel range di frequenze compreso tra 5Hz e 70Hz, quindi dà informazioni sulla parte più superficiale del suolo, generalmente circa 8÷15 m, in funzione della rigidezza del suolo.

Il metodo MASW consiste in tre fasi (Roma, 2002): (1) la prima fase prevede il calcolo della velocità di fase (o curva di dispersione) apparente sperimentale, (2) la seconda fase consiste nel calcolare la velocità di fase apparente numerica, (3) la terza ed ultima fase consiste nell'individuazione del profilo di velocità delle onde di taglio verticali Vs, modificando opportunamente lo spessore h, le velocità delle onde di taglio Vs e di compressione Vp (o in maniera alternativa alle velocità Vp è possibile assegnare il coefficiente di Poisson μ), la densità di massa ρ degli strati che costituiscono il modello del suolo, fino a raggiungere una sovrapposizione ottimale tra la velocità di fase (o curva di dispersione) sperimentale e la velocità di fase (o curva di dispersione) numerica corrispondente al modello di suolo assegnato.

Combinazione del metodo HVSR e MASW e risultati.

La combinazione tra le misure HVSR e quelle MASW permettono di ottimizzare la ricostruzione del modello di velocità delle onde di taglio Vs30.

Infatti, le MASW permettono di ottenere le misure di velocità delle onde di taglio nei primi metri che servono da base per interpretare gli strati più profondi osservabili solo dalle misure HVSR.

Inoltre, si è provveduto ad eseguire anche la calibrazione delle misure HVSR e MASW in base alle indagini geognostiche e alle stratigrafie dei pozzi disponibili sul sito di indagine e nelle zone contermini.

Sul sito in esame, in passato sono state realizzate n. 3 misure HVSR, integrate con ulteriori due misure HVSR, le quali, impiegando la suddetta metodologia dei microtremori e utilizzando l'inversione H/V con il metodo proposto da Nakamura, secondo la teoria descritta da Aki (1964) e Ben-Menahem & Sing (1981), in correlazione con la curva di inversione della SASW-MASW, avendo presente le altre indagini geognostiche e geofisiche eseguite sul sito, hanno evidenziato una **Vseq (0-30m) attorno a 202÷224 m/s**.

L'analisi delle frequenze fondamentali di amplificazione del sito evidenzia l'amplificazione di risonanza tipica del terreno e, di conseguenza, l'altezza critica degli edifici che in caso di sisma possono entrare in risonanza con il terreno.

Nel caso specifico si osserva una risposta sismica omogenea su tutto il sito di interesse ed è possibile individuare le seguenti frequenze tipiche per il deposito esaminato, significative per gli edifici.

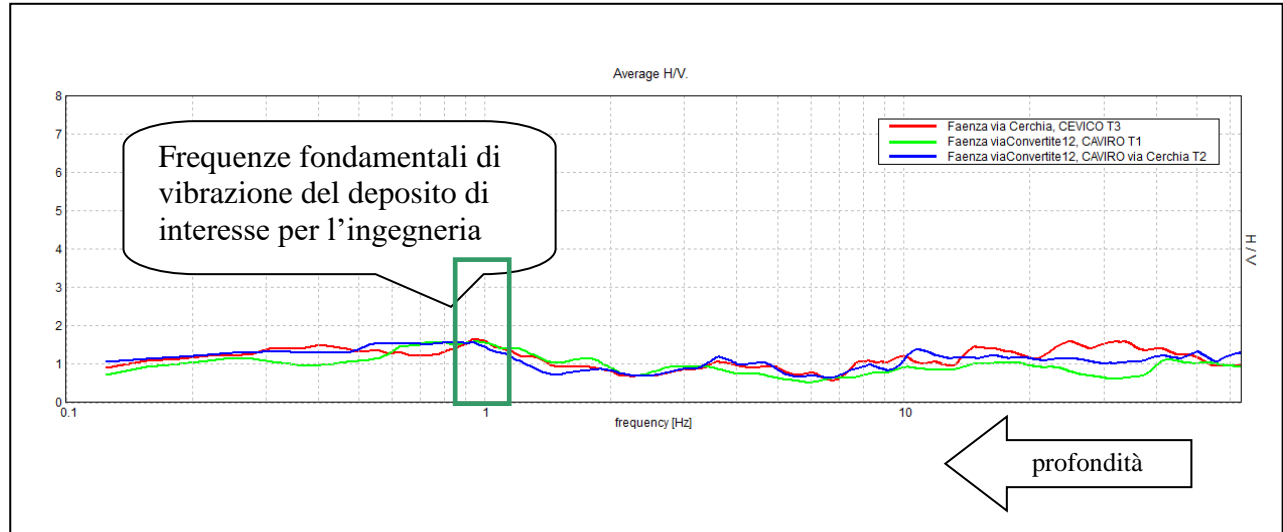
Frequenza (f=Hz)	Periodo (T=sec)
0.9÷1.1	1.1÷0.9

Per l'area in esame si osservano frequenze di risonanza uniformi su tutta l'area con amplificazioni attorno a 0.9÷1.1 Hz, notando comunque che il contrasto risulta modesto attorno a $H/V=1.7\div2.1$, come osservabile dalle curve H/V sotto riportate e da quelle realizzate in passato sull'area di interesse. Livello corrispondente alla base del Sintema Emiliano-Romagnolo superiore indifferenziato (AES).

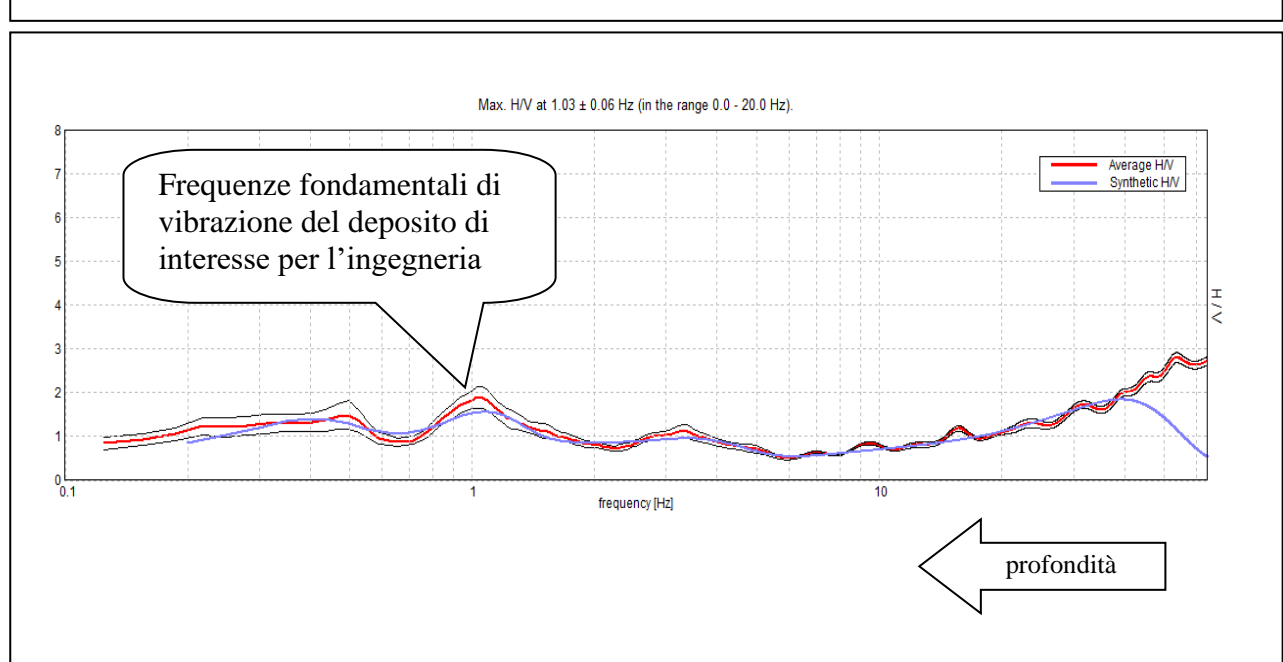
In particolare, si osservano anche altri due picchi, relativamente meno accentuati, di risonanza:

- attorno a 0.4÷0.5 Hz, assunto come bed-rock di riferimento, posto attorno a 270÷310 m dal piano di campagna.
- attorno a 3.1 Hz, corrispondente al primo livello delle ghiaie della conoide del Lamone poste a -21÷22 m dal piano di campagna.

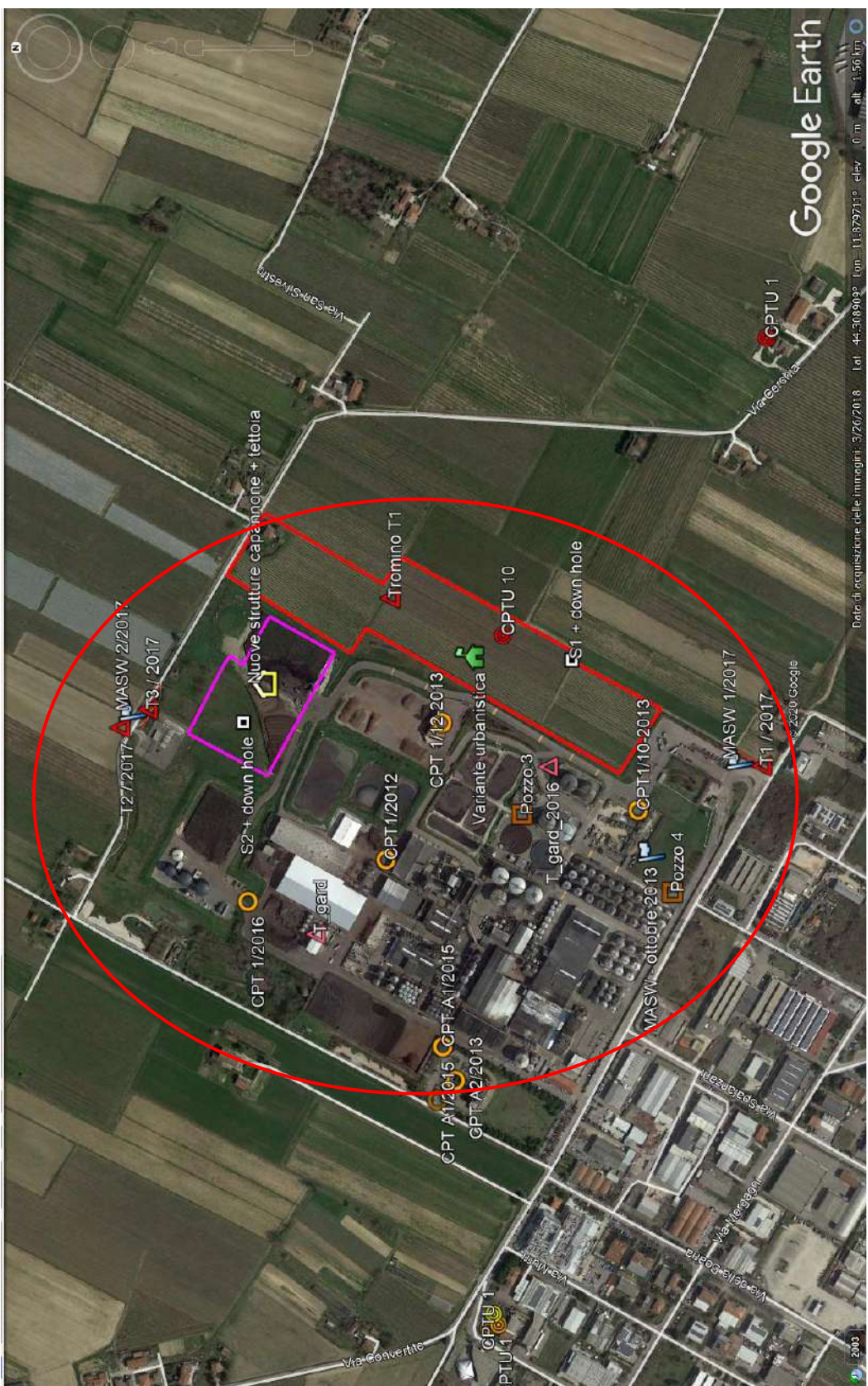
Misure HVSR effettuate sul sito produttivo



Misure HVSR effettuata nell'area da urbanizzare



Ubicazione prove



4. MICROZONAZIONE SISMICA

Per quanto riguarda la pericolosità sismica, come osservabile dalla carta sismotettonica, l'area di interesse si trova in zona caratterizzata da un sovrascorrimento riattivato (Reactive thrust fault) di età Pliocenica-Pleistocenica, con un primo substrato sismico a profondità di circa 100 m (base di AES) quindi con possibili amplificazioni sismiche caratterizzate da tale discontinuità sismica.

Si rileva comunque che molto importante e significativo è valutare il periodo proprio di vibrazione del substrato al fine di realizzare strutture con periodo proprio diverso in modo da evitare i pericolosi fenomeni di risonanza, particolarmente importanti per definire la pericolosità sismica in questi ambiti.

Al fine di valutare le azioni indotte da un sisma di progetto sul sito in esame si è provveduto alla realizzazione di una modellazione di Risposta Sismica Locale (RSL) utilizzando il programma STRATA (vedi appendice) e facendo riferimento a sette tracce sismiche ricavate dal data base dell'European Strong-Motion.

N.T.C. 14-01-2008

Le misure della Vs eseguite, HVSR e MASW, hanno permesso di verificare una **Vs30 = 202÷230 m/s**, quindi **suoli di categoria C**.

In considerazione della destinazione del sito si considera:

- tipo di costruzione 2 – opere ordinarie, ponti, opere instratutturali, dighe dimensioni contenute o di importanza normale;
- classe d'uso 1.0 – affollamenti normali.

Pertanto, allo Stato Limite della Vita (SLV) il periodo di ritorno dell'azione sismica di progetto risulta di 475 anni e l'accelerazione al suolo per un sisma di riferimento risulterà di $a_{g_{rif}}/g=0.204$. Considerando poi categoria del suolo corrispondente alla C e profilo del suolo pianeggiante l'amplificazione al suolo risulterà di $S_s^*S_T = 1.40$.

L'accelerazione al suolo con metodo semplificato sarà pari a $a_{g_{rif}}/g^*S_s^*S_T = 0.285$

D.G.R. n. 630/2019

L'area di interesse si trova in ambiente di MARGINE”.

In base alle indagini geofisiche eseguite, il substrato con $vs>800$ m/s si trova ad una profondità superiore ai -100 m, come osservabile dalla curva h/v del tromino che evidenzia il bedrock con $Vs>800$ m/s a frequenze attorno a 0.4÷0.5 Hz.

Mentre dalla Carta Sismotettonica pubblicata dalla Regione Emilia-Romagna si osserva un eventuale primo riflettore a circa 50÷60 m, corrispondente alla base del Sintema Emiliano-Romagnolo Superiore, corrispondente al picco H/V = a 3.2 Hz.

Sempre dalla suddetta cartografia si osserva che il meccanismo focale sismico si riferisce a comportamenti compressivi (faglia inversa).

MARGINE di tipo B: caratterizzato da spessore dei terreni superficiali fini o grossolani poco consolidati superiore a 30 m; la successione sottostante è costituita da alternanze di orizzonti grossolani e orizzonti fini;

V_{s30} (m/s) →	150	200	250	300	350	400
PGA	1,6	1,6	1,6	1,6	1,6	1,5

Fattore di Amplificazione **PGA**

V_{s30} (m/s) →	150	200	250	300	350	400
SA1	1,8	1,8	1,8	1,7	1,7	1,5
SA2	2,6	2,6	2,3	2,1	1,9	1,7
SA3	3,1	2,9	2,7	2,4	2,3	2,1
SA4	3,0	2,9	2,6	2,3	2,1	1,9

Fattori di Amplificazione **SA1** ($0,1s \leq T \leq 0,5s$), **SA2** ($0,4s \leq T \leq 0,8s$), **SA3** ($0,7s \leq T \leq 1,1s$) e **SA4** ($0,5s \leq T \leq 1,5s$)

V_{s30} (m/s) →	150	200	250	300	350	400
SI1	1,9	1,9	1,9	1,8	1,7	1,6
SI2	2,9	2,8	2,5	2,3	2,1	2,0
SI3	3,3	3,1	2,7	2,4	2,2	2,0

Fattori di Amplificazione **SI1** ($0,1s \leq T \leq 0,5s$), **SI2** ($0,5s \leq T \leq 1,0s$), **SI3** ($0,5s \leq T \leq 1,5s$)

Considerano una V_{s30} media attorno a 222 m/s, è possibile considerare i seguenti fattori di amplificazione

- F.A. P.G.A. = 1,6
- F.A. INTENSITA' SPETTRALE $0.1s < T_o < 0.5s$ = 1,9
- F.A. INTENSITA' SPETTRALE $0.5s < T_o < 1.0s$ = 2,8
- F.A. INTENSITA' SPETTRALE $0.5s < T_o < 1.5s$ = 3,1

Per quanto riguarda l'ag al suolo attribuita al sito in esame, facendo sempre riferimento alla già citata D.G.R., si ha un valore pari a $ag=0.204*1.6=0.326g$, quindi superiore a quanto ottenuto seguendo le procedure della normativa nazionale.

Si valuta anche, per il sito di interesse, il valore di H_{SM} (Naso et al., 2019), parametro che esprime lo scuotimento atteso al sito in valore assoluto (accelerazione in cm/s^2), dato dal prodotto del parametro Acceleration Spectrum Intensity (ASI_{UHS}), valore integrale dello spettro di riferimento in accelerazione calcolato per l'intervallo di periodi $0,1\text{s} \leq T \leq 0,5\text{s}$, diviso per ΔT (in questo caso pari a $0,4\text{s}$) e moltiplicato per il fattore di amplificazione in accelerazione (FA) calcolato per lo stesso intervallo di periodi:

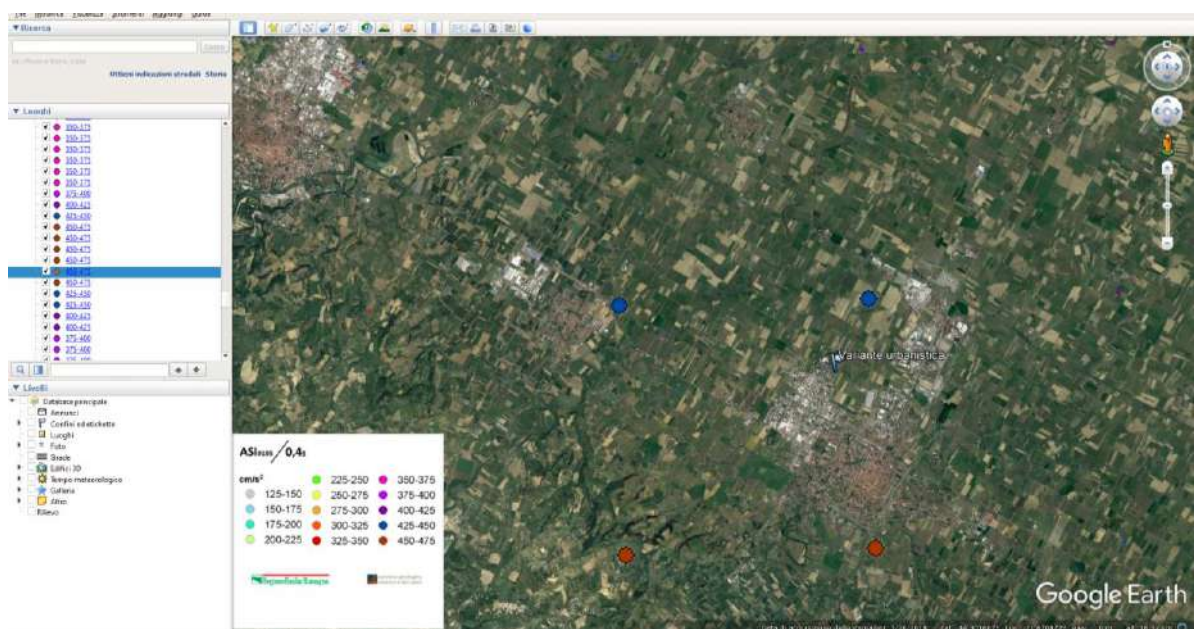
$$H_{SM} = \frac{\text{ASI}_{UHS}}{\Delta T} \times FA$$

I valori di $\text{ASI}_{UHS}/\Delta T$, calcolati per ogni punto della griglia INGV, sono riportati nel file all_4_coord.kmz (cartella Allegato_4.zip) disponibile nella pagina web dedicata agli indirizzi per gli studi di microzonazione sismica a cura del Servizio Geologico, Sismico e dei Suoli.

Facendo la media pesata dei valori sudetti, di cui al suddetto allegato, per il sito in esame si ottiene $\text{ASI}_{UHS} / \Delta T = 443$.

Pertanto, assumendo, per l'intervallo di periodi $0,1\text{s} \leq T \leq 0,5\text{s}$, il valore di FA = 1.9 si ottiene

$$H_{SM} = 842 \text{ cm/s}^2.$$



Analisi di Risposta Sismica Locale (RSL)

Per l'Analisi di Risposta Sismica Locale (RSL) si è utilizzato il programma STRATA.

L'analisi è stata eseguita considerando tutti i dati del sito produttivo CAVIRO ed ENOMONDO, con particolare riferimento alla variante Urbanistica richiesta per l'ampliamento dell'impianto ENOMONDO, ove trasferire la produzione di ACV (Ammendante Compostato misto).

Per la modellazione della RSL si è fatto riferimento a tre tracce sismiche sismo compatibili, ricavate dal data base dell'Europoean Strong-Motion scaricate dal sito della Regione Emilia-Romagna, specificatamente selezionate per il territorio regionale.

In allegato si riportano i due sondaggi e le due down hole eseguite nella zona di progetto dei nuovi capannoni dell'impianto di compostaggio e in quella di cui alla richiesta di variante urbanistica.

Inoltre, si riportano anche le indagini geognostiche e geofisiche di repertorio eseguite su tutto il sito di competenza della CAVIRO e di ENOMONDO.

In appendice è riportata la modellazione della RSL, oltre alle intensità di Housner.

Da un confronto tra il metodo semplificato per la valutazione dello spettro elastico proposto dalle NTC2018, dalla DGR 630/2019 e dalla RSL, considerando i risultati ritenuti di due scenari più compatibili con l'assetto sismostratigrafico del sito in esame, si osserva un buon accordo sui valori medi dell'accelerazione sismica di progetto al suolo.

Accelerazione al suolo				
NTC2018 ag	DGR 630/2019 ag	RSL (media) ag	RSL (min) ag	RSL (max) ag
0.285g	0.326g	0.290	0.236g	0.342g

In base all'analisi della funzione di trasferimento ricavata con il metodo RSL si riconoscono le seguenti frequenze di amplificazione del suolo del sito in esame:

Frequenza di amplificazione	Amplificazione $ag_{suolo}/ag_{bedrock}$	Superficie di contrasto
2÷3 Hz	Secondaria: rapporto = 2.1÷2.9	Primo livello delle ghiaie della conoide del Fiume Lamone
0.9÷1 Hz	Secondaria: rapporto = 3÷4	Base del Sintema Emiliano-Romagnolo superiore indifferenziato (AES)
0.4÷0.5 Hz	Principale: rapporto = 4÷6	Tetto dei terreni pleistoceni

5. CONCLUSIONI

La morfologia dell'area di interesse è pianeggiante e non presenta particolari degni di nota. Uno sguardo complessivo ai risultati dei dati geognostici disponibili per il sito in esame evidenzia terreni prevalentemente limoso-argillosi con intercalazioni di livelli sabbioso-limosi, fino alla profondità di circa 21÷22 m dal piano di campagna.

A grandi linee, i terreni dell'area indagata sono costituiti da alternanza tra terreni limoso-argillosi a consistenza media, e livelli e stratificazioni sabbioso limose con assetto stratigrafico lentiforme fino a circa -21÷22 m dal piano di campagna. Da tale profondità si incontra il primo livello delle ghiaie sabbiose della conoide del Fiume Lamone dello spessore di circa 5÷6 m; seguono poi terreni limoso-argillosi intervallati da depositi ghiaioso sabbiosi della conoide fino alla profondità di circa 260÷300 m, dove si incontra le formazioni plio-pleistoceniche.

In base alla consultazione delle indagini geognostiche realizzate sul sito di interesse e fornite dai committenti, risulta un livello della falda freatica variabile tra circa -2.0 m e -4.0 m dal piano di campagna.

NTC – 14-01-2008

In base alla NTC 2008 il sito in esame è caratterizzato, considerando tempi di ritorno di 712 anni, da accelerazione al bedrock sismico di $a_{rif}=0.236g$ e da **V_{s30} = 202÷224 m/s**, quindi **categoria di suolo C** con fattore stratigrafico pari a $S_s=1.35$. Considerando che l'area presenta un fattore topografico pari ad uno, l'accelerazione massima alla superficie del sito in esame sarà pari

$$a_{max} = 0.319g.$$

Le misure dei microtremori hanno evidenziato frequenze significative per l'ingegneria nei confronti dei fenomeni di risonanza del substrato del sito in esame, anche se poco accentuati, pari a

Frequenza (f=Hz)	Periodo (T=sec)
0.9÷1.1	1.1÷0.9
0.5	2

In base alle NTC 2018 l'area di interesse presenta un valore di $ag/g = 0.204$ e, considerando un substrato appartenente alla categoria di suolo C, risulta un coefficiente di amplificazione sismica per tipo di suolo $S=1.4$, essendo il sito in zona pianeggiante, il coefficiente di amplificazione morfologico risulta $S_T = 1$, quindi l'accelerazione massima al suolo risulterà di $a_{max}=0.285g$.

Mentre in base alla DGR 630/2019 risultano i seguenti fattori di amplificazione

- F.A. P.G.A. = 1.6
- F.A. INTENSITA' SPETTRALE $0.1s < T_o < 0.5s = 1.9$
- F.A. INTENSITA' SPETTRALE $0.5s < T_o < 1.0s = 2.8$
- F.A. INTENSITA' SPETTRALE $0.5s < T_o < 1.5s = 3.1$

Con un valore di $ag=0.204*1.6=0.326g$, quindi superiore a quanto ottenuto seguendo le procedure della normativa nazionale.

Le analisi di Risposta Sismica Locale (RSL), hanno evidenziato un valore medio di ag=0.290g, in linea con i metodi semplificati proposti dalle NTC2018 e dalla DGR 630/2019.

Accelerazione al suolo – confronto tra metodi semplificati e RSL				
NTC2018 ag	DGR 630/2019 ag	RSL (media) ag	RSL (min) ag	RSL (max) ag
0.285g	0.326g	0.290	0.236g	0.342g

uno spettro di risposta elastico medio con valori di “ $Sa(T)/g$ ” inferiori rispetto allo spettro di risposta elastico ricavato con metodo semplificato.

Settembre, 2020



Appendice

LA MODELLAZIONE STRATA

La modellazione numerica dei dati, ottenuti dalle diverse prove dirette ed indirette, è stata realizzata tramite l'ausilio del software STRATA (2008), sviluppato da Albert Kottke.

Nel corso dei passati terremoti, si è osservato che il comportamento dei terreni dipende dalle condizioni locali. Le amplificazioni indotte dagli effetti locali sono state simulate usando numerosi programmi che assumono condizioni di suolo semplificate, come strati di terreno orizzontali ed estesi infinitamente.

Uno dei programmi sviluppati per questo scopo è stato STRATA che calcola la risposta dinamica monodimensionale (1D) di una colonna di terreno utilizzando un modello di propagazione lineare delle onde, con proprietà variabili in funzione del livello deformativo. Il programma permette di eseguire analisi lineari elastiche (EL), dove le proprietà elastiche e lo smorzamento sono mantenuti costanti, o analisi equivalenti lineari (EQL) dove le proprietà elastiche e lo smorzamento vengono fatti variare in funzione del livello deformativo.

Il progenitore dei programmi 1D che utilizzano il metodo EQL è il programma SHAKE di Schnabel et al. (1972).

La verifica monodimensionale dell'amplificazione locale, tramite l'utilizzo di STRATA si compone di due fasi: elaborazione del modello, simulazione degli effetti indotti dal sisma di progetto. La prima fase consiste nell'inserire i dati (accelerazione, intervalli di tempo), relativi ai segnali di riferimento.

Le analisi di RSL sono state condotte considerando sia lo SLV sia lo SLD.

Per lo SLV si è fatto riferimento ai tre accelerogrammi selezionati dalla banca dati accelerometrica "European Strong Motion database" dal Servizio Geologico, Sismico e dei Suoli regionale e forniti per le analisi regionali di RSL, le cui tracce sismiche sono rappresentative del territorio della Regione Emilia-Romagna e che possono verificarsi sul sito oggetto di indagine.

I tre accelerogrammi di riferimento, forniti dalla RER, sono relativi a tre diversi possibili scenari:

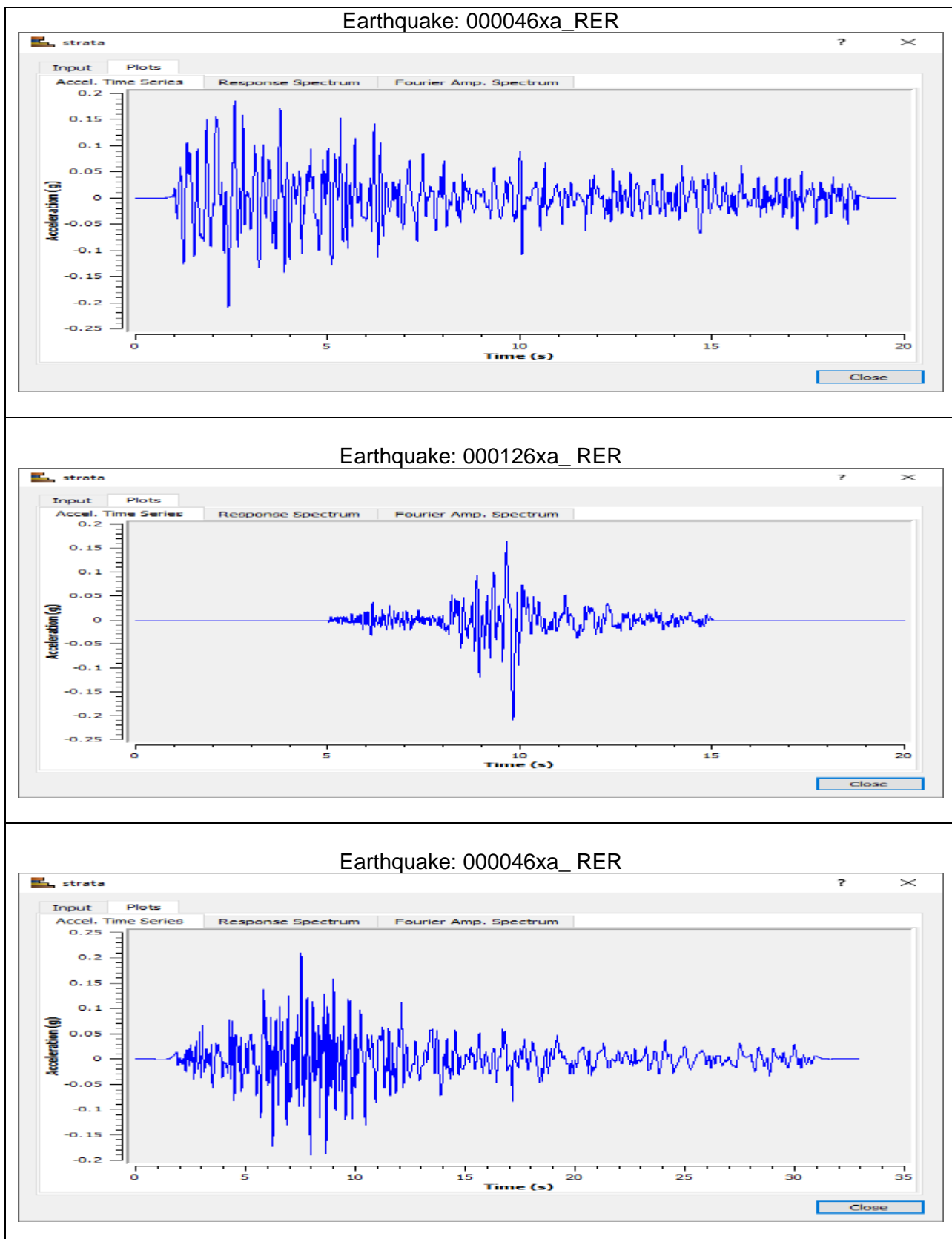
- 1) impulsivo;
- 2) con componente predominante alle alte frequenze;
- 3) con ampio contenuto in frequenze.

Dopo aver determinato gli input sismici, si è proceduto alla costruzione della colonna di sottosuolo di riferimento rappresentata da strati (layer) a differente tessitura e da diversi valori delle onde di taglio S (V_s).

La stratigrafia che caratterizza il profilo stratigrafico è stata derivata dalle indagini geognostiche e geofisiche realizzate nel sito di interesse e ricavate dai dati del sottosuolo della zona in esame riportati in letteratura. In particolare, la modellazione si è basata su due sondaggi e relativi down hole eseguiti rispettivamente sul sito Enomondo oggetto di nuove costruzioni e su quello oggetto di nuova urbanizzazione. Inoltre, si è fatto riferimento a tutte le prove di repertorio presenti sul complesso produttivo della CAVIRO e di ENOMONDO.

Per la stratigrafia profonda si è fatto riferimento a tre pozzi presenti sul sito della Caviro Distillerie, che sono stati spinti fino alla profondità massima di 254÷306 m, corrispondente al tetto delle formazioni marini pleistoceniche.

Sismogrammi per SLV – accelerazione di riferimento ag=0.204g



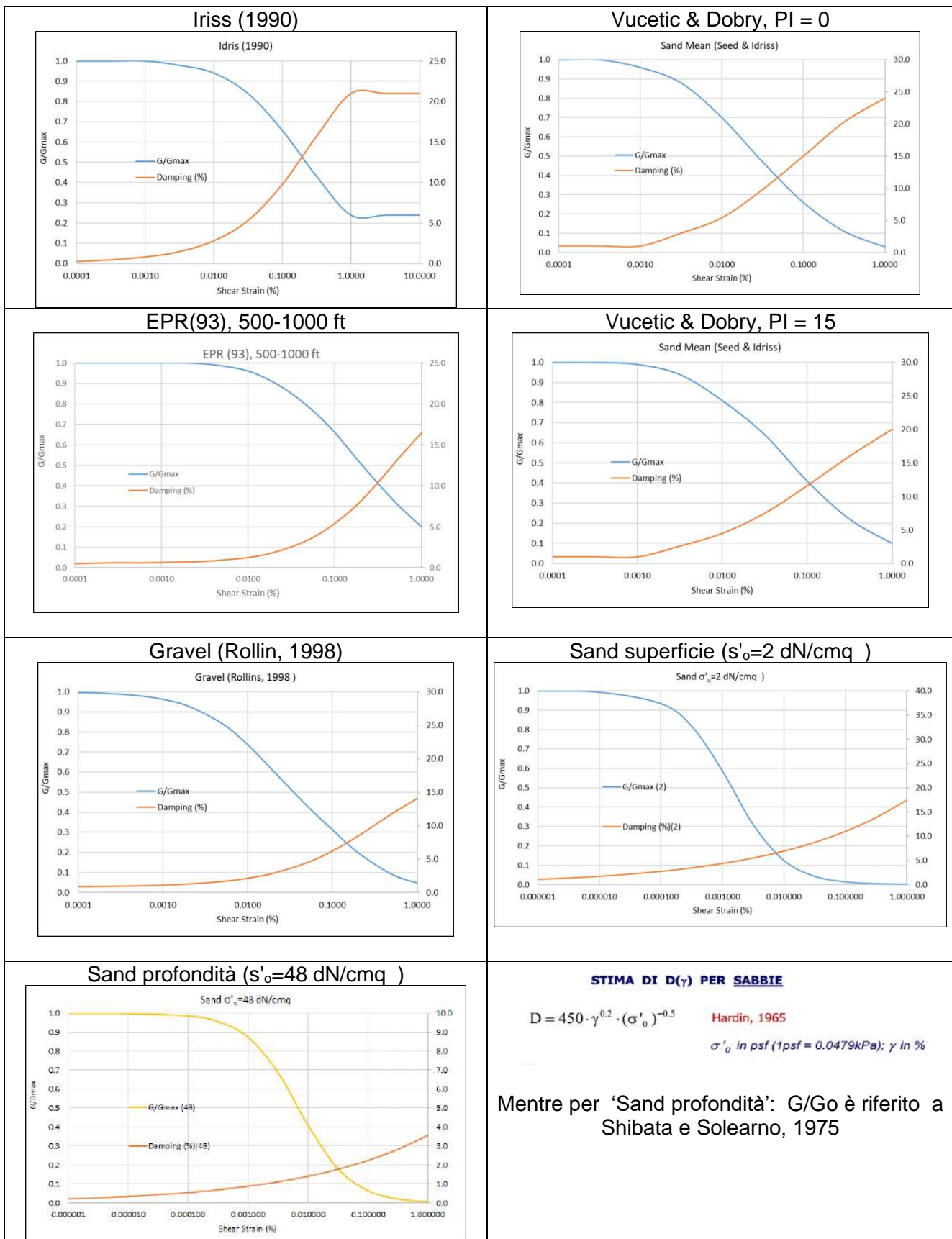
Dopo aver determinato gli input sismici, si è proceduto alla costruzione della colonna di riferimento rappresentata da strati (layer) a differente tessitura e da diversi valori delle onde di taglio S (Vs).

La stratigrafia di input che caratterizza il profilo stratigrafico è stata derivata dalle indagini geognostiche e geofisiche realizzate sul sito di interesse e ricavate dai dati del sottosuolo della zona in esame riportati in letteratura. **In particolare, la modellazione si è basata su due dow hole con relativi sondaggi, spinti fino a -30 m dal piano di campagna, sulle misure H/V ottenute dal “tromino” e dalle MASW eseguiti nel complesso produttivo ENOMONDO – CAVIRO.**

Nel caso specifico, in considerazione delle caratteristiche litologiche delle formazioni della zona di interesse, si è fatto riferimento al seguente modello litostratigrafico.

Stratigrafia di input:

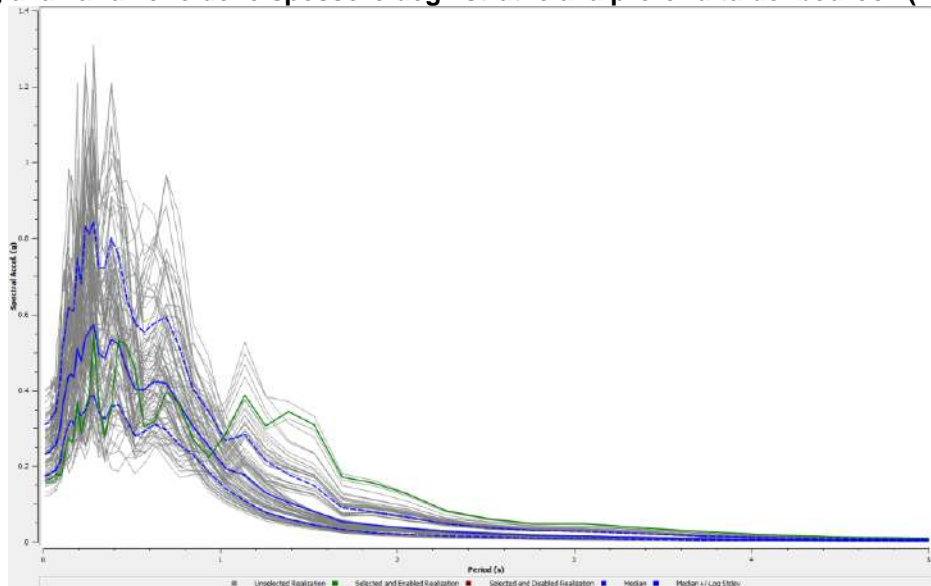
Profondità (m)	Spessore (m)	Litologia prevalente	Tipo curve modulo di taglio e smorzamento
0.00	1.00	Limo argilloso IP=15	Idriss (1990), Clay
1.00	5.00	Limo sabbioso IP=0	Vucetic & Dobry, PI = 0
6.00	6.00	Argilla limosa	Idriss (1990), Clay
12.00	5.00	Sabbia superficiale	Sand s'o=200 kPa (Shibata e Solearno, 1975)
17.00	4.00	Limo argilloso IP=15	Vucetic & Dobry, PI = 15
21.00	6.00	Ghiaia e ghiaia sabbiosa	Gravel (Rollins, 1998)
27.00	3.00	Limo argilloso IP=15	Vucetic & Dobry, PI = 15
30.00	45.00	Argilla profonda	EPRI (93), 500-1000 ft
75.00	45.00	Ghiaia e ghiaia sabbiosa	Gravel (Rollins, 1998)
120.00	65.00	Argilla profonda	EPRI (93), 500-1000 ft
185.00	14.00	Ghiaia e ghiaia sabbiosa	Gravel (Rollins, 1998)
199.00	90.00	Argilla profonda	EPRI (93), 500-1000 ft
289.00	Half-Space	Half-Space	Substrato marino mio-plio-pleistocenico



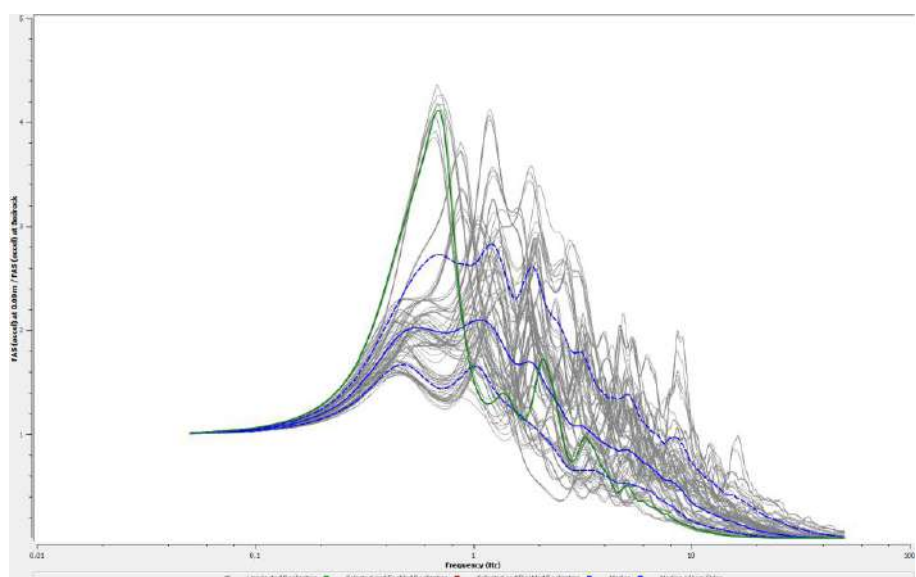
Utilizzando il programma STRATA si riportano i dati ricavati dalla modellazione numerica monodimensionale. Nella modellazione si è proceduto ad una analisi probabilistica facendo variare in modo automatico le velocità delle onde di taglio per ogni strato, il profilo stratigrafico, le caratteristiche dei terreni e le caratteristiche e la profondità del bedrock (tra 270 m e 310 m). Sono poi stati scelti i profili con scenario più coerente con l'assetto sismostratigrafico del sito in esame.

Stato Limite della Vita – SLV

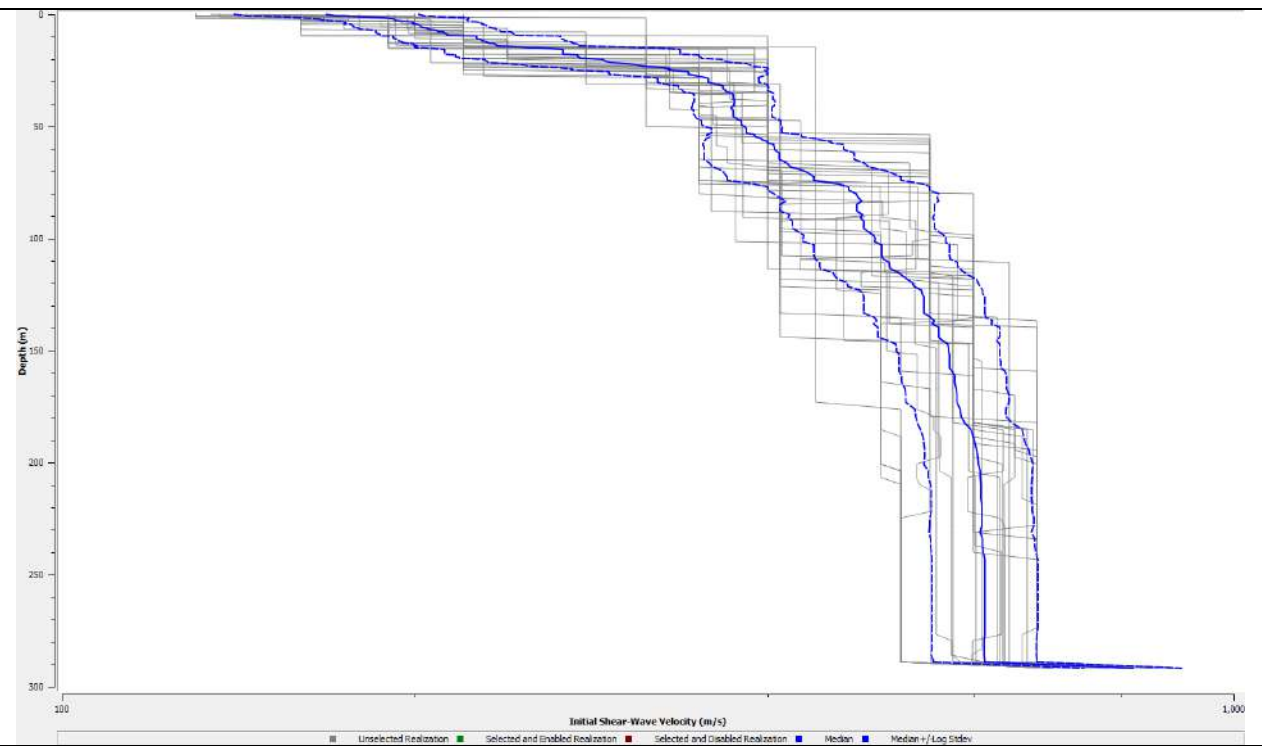
Spettri elasticici relativi ai possibili scenari in base alla variazione della Vs, delle curve di smorzamento dei materiali, alla variazione dello spessore degli strati e alla profondità del bedrock (270-310 m)



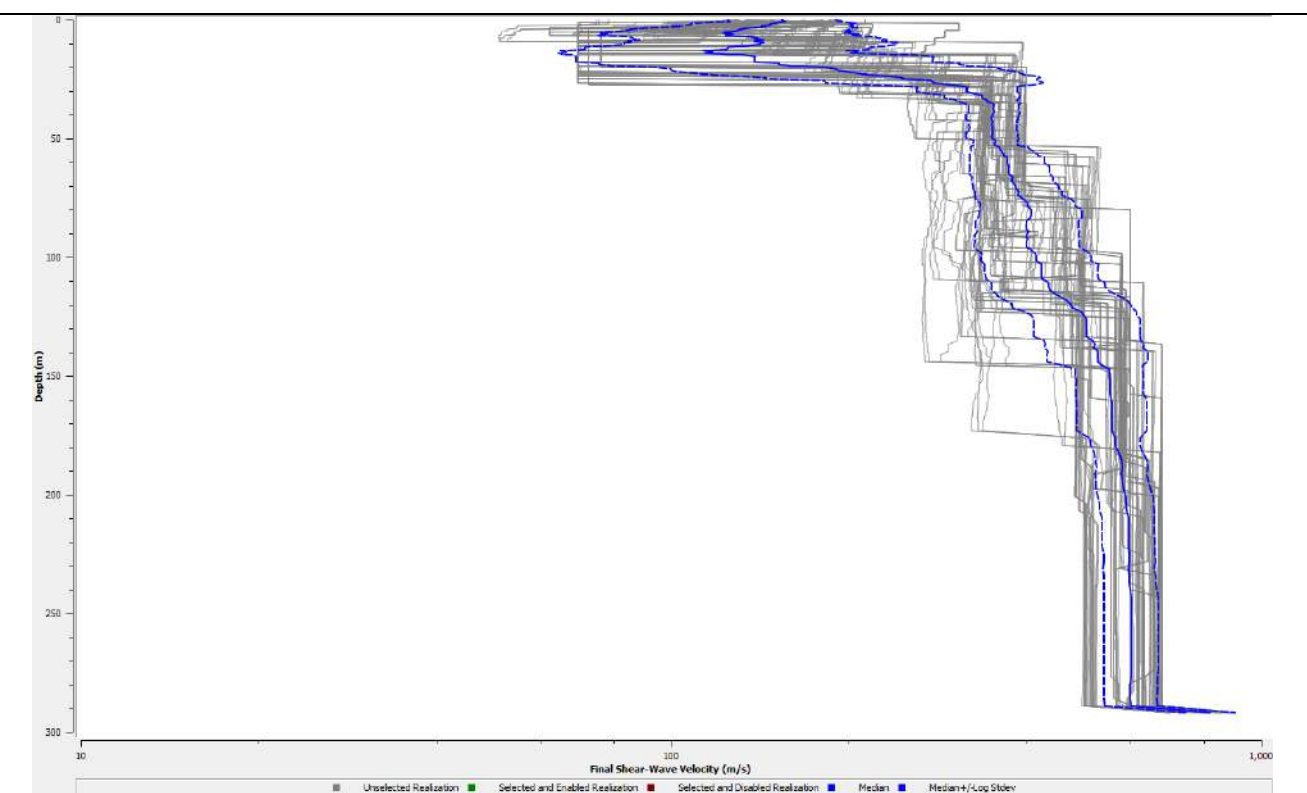
Funzione di trasferimento substrato sismico- superficie in base alla variazione delle curve di smorzamento dei materiali, alla variazione dello spessore degli strati e alla profondità del bedrock (270-310 m)



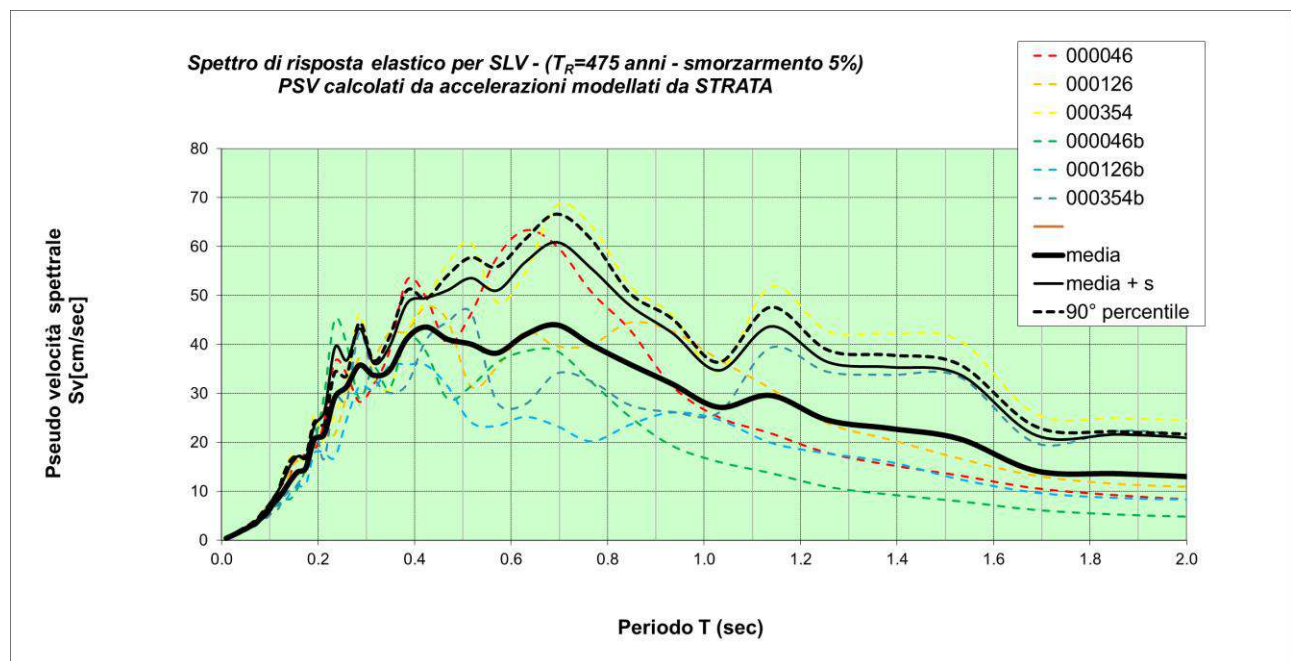
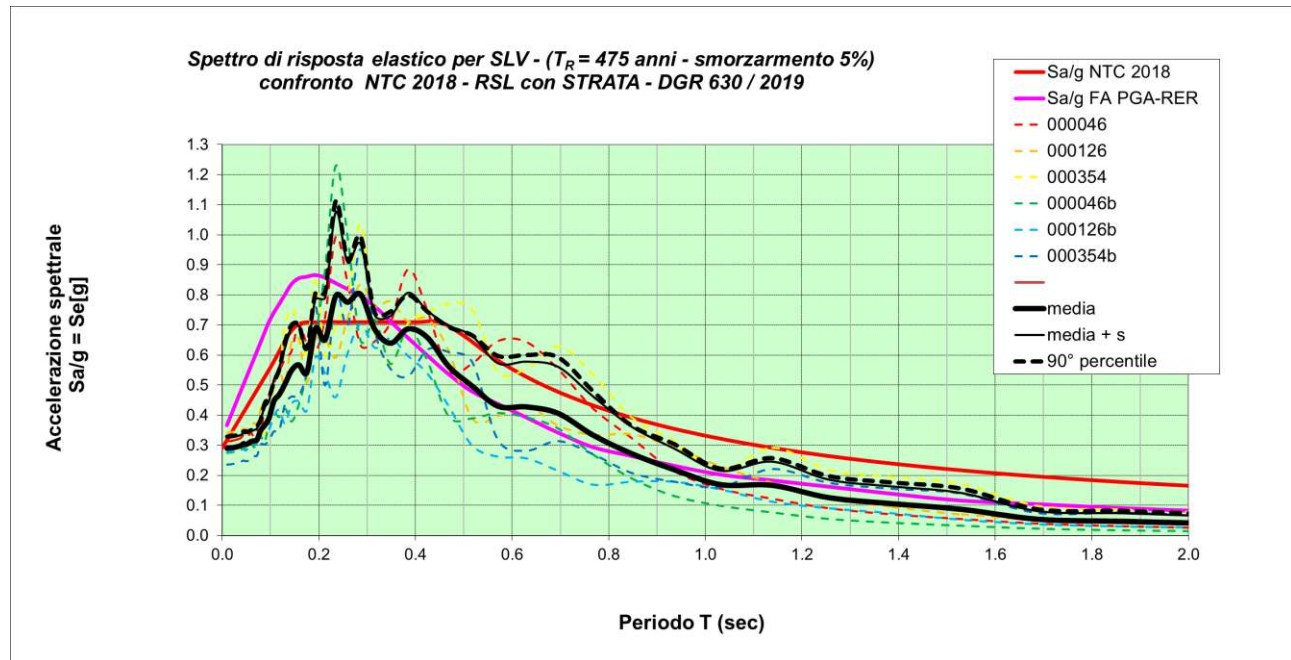
Profilo di Vs iniziale considerato nel Modello STRATA



Profilo di Vs finale considerato nel Modello STRATA



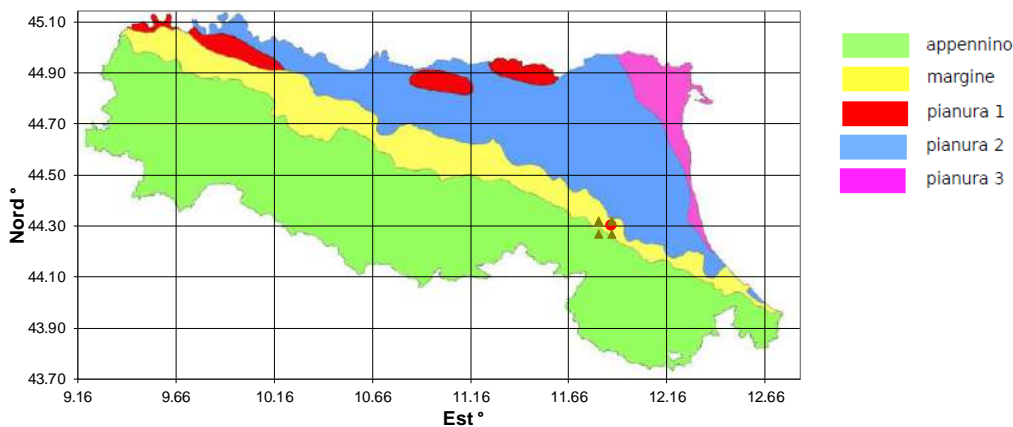
Si riporta lo spettro di risposta elastico più severo ricavato dall'analisi RSL, considerando n. 6 accelerogrammi e i valori statistici di 6 output (3+3) ritenuti più caratteristici del sito.



MODELLO STRATA Se/g (T) = Sa (T) : ACCELERAZIONE DELLA COMPONENTE ORIZZONTALE per 3 tracce e due scenari (3+3)												
T (sec)	000046	000126	000354	000046b	000126b	000354b		mediana	media	Stdev (σ)	media + σ	90° percentile
0.0100	0.31402896	0.34242732	0.29325508	0.27553852	0.27818985	0.23648968		0.286	0.290	0.036	0.326	0.328
0.0110	0.31416774	0.34253862	0.29337871	0.27567476	0.2782724	0.23662074		0.286	0.290	0.036	0.326	0.328
0.0122	0.31434925	0.34267424	0.29352695	0.27586312	0.27837309	0.23676594		0.286	0.290	0.036	0.326	0.329
0.0134	0.31455792	0.34282225	0.29370806	0.27606847	0.27851358	0.23694355		0.286	0.290	0.036	0.327	0.329
0.0148	0.31481365	0.3430264	0.29392951	0.27631979	0.27866353	0.23716109		0.286	0.291	0.036	0.327	0.329
0.0164	0.31512766	0.34327503	0.29420056	0.27662781	0.27884658	0.23742797		0.287	0.291	0.036	0.327	0.329
0.0181	0.31551416	0.34357796	0.29453277	0.27700606	0.27907018	0.23775604		0.287	0.291	0.036	0.327	0.330
0.0199	0.31599137	0.34394726	0.2949407	0.27747151	0.27934354	0.2381604		0.287	0.292	0.036	0.328	0.330
0.0220	0.31658305	0.34439783	0.29550779	0.2780459	0.27967811	0.23867351		0.288	0.292	0.036	0.328	0.330
0.0243	0.31728104	0.34494788	0.2961399	0.27881396	0.28008847	0.23930228		0.288	0.293	0.036	0.329	0.331
0.0268	0.31820495	0.3456601	0.29692525	0.27971226	0.28062989	0.24009013		0.289	0.294	0.036	0.330	0.332
0.0296	0.3193885	0.34648573	0.29790988	0.28083838	0.28125759	0.24108953		0.290	0.294	0.036	0.331	0.333
0.0327	0.32094742	0.34750777	0.29916592	0.28225958	0.28205034	0.24238787		0.291	0.296	0.036	0.332	0.334
0.0361	0.32314104	0.34880547	0.30083229	0.28406523	0.28309586	0.2441737		0.292	0.297	0.036	0.333	0.336
0.0398	0.32706788	0.3506176	0.30346413	0.28657994	0.28472174	0.24709972		0.295	0.300	0.036	0.336	0.339
0.0439	0.33639229	0.35489487	0.30499028	0.29746709	0.28703494	0.25005767		0.301	0.305	0.037	0.342	0.346
0.0485	0.34057915	0.3511931	0.30318523	0.28969465	0.28245234	0.24794226		0.296	0.303	0.038	0.341	0.346
0.0535	0.33175696	0.35668687	0.30652163	0.30141609	0.28966076	0.24954071		0.304	0.306	0.037	0.343	0.344
0.0590	0.34319112	0.35606119	0.31386212	0.31017763	0.2898577	0.25916499		0.312	0.312	0.035	0.347	0.350
0.0652	0.33037437	0.37413008	0.31766569	0.29508886	0.30408062	0.26528018		0.311	0.314	0.037	0.351	0.352
0.0719	0.35325222	0.37267721	0.31298083	0.30128545	0.30709005	0.26660102		0.310	0.319	0.038	0.357	0.363
0.0794	0.34183586	0.42027011	0.34996977	0.32990022	0.34931715	0.30404747		0.346	0.349	0.039	0.388	0.385
0.0876	0.42656969	0.45092623	0.3399354	0.31124376	0.36559266	0.30350342		0.353	0.366	0.061	0.427	0.439
0.0967	0.46927933	0.44671675	0.38037774	0.37696474	0.35371821	0.31615722		0.379	0.391	0.058	0.448	0.458
0.1067	0.50659979	0.51253126	0.50666618	0.41055725	0.39775973	0.34707983		0.459	0.447	0.071	0.518	0.510
0.1178	0.54645366	0.55181642	0.55183404	0.39429812	0.41775719	0.34870381		0.482	0.468	0.092	0.561	0.552
0.1300	0.58774064	0.50663584	0.70072957	0.42236448	0.3723814	0.43969775		0.473	0.505	0.121	0.626	0.644
0.1435	0.614606	0.64417892	0.75603067	0.37973733	0.43891436	0.46274272		0.539	0.549	0.145	0.694	0.700
0.1583	0.70490198	0.65354909	0.6976233	0.43569407	0.44715647	0.46491695		0.559	0.567	0.131	0.698	0.701
0.1747	0.63835018	0.50671955	0.60444577	0.53708378	0.41620509	0.54233611		0.540	0.541	0.078	0.619	0.621
0.1929	0.6092899	0.65107847	0.84812624	0.66442205	0.592823	0.76454793		0.658	0.688	0.099	0.787	0.806
0.2128	0.72805706	0.65632326	0.5985947	0.88636681	0.53774546	0.49983441		0.627	0.651	0.141	0.792	0.807
0.2349	0.99455324	0.59132735	0.69876333	1.22968246	0.46080181	0.80456633		0.752	0.797	0.280	1.076	1.112
0.2593	0.84147045	0.72378153	0.78938537	0.99351815	0.60666469	0.69819938		0.757	0.775	0.134	0.909	0.917
0.2861	0.63313451	0.83616451	1.03627971	0.64838907	0.70376403	0.95205244		0.770	0.802	0.168	0.969	0.994
0.3158	0.64680961	0.76078187	0.67818412	0.71743818	0.62488657	0.67763208		0.678	0.684	0.049	0.733	0.739
0.3486	0.71082404	0.77842788	0.56568444	0.57095162	0.65585316	0.55390721		0.613	0.639	0.092	0.731	0.745
0.3847	0.8857708	0.71160329	0.70743966	0.68827002	0.59714001	0.53074858		0.698	0.687	0.121	0.808	0.799
0.4246	0.74786926	0.72088008	0.73965248	0.58083965	0.53898918	0.61888897		0.670	0.658	0.090	0.748	0.744
0.4686	0.54941709	0.61377357	0.77143174	0.3959143	0.43028628	0.61050429		0.580	0.562	0.137	0.699	0.693
0.5172	0.57239546	0.38938956	0.7523359	0.39019014	0.29911083	0.57729487		0.481	0.497	0.167	0.664	0.665
0.5708	0.64764416	0.39640799	0.545430855	0.40765019	0.2621737	0.31740718		0.402	0.429	0.144	0.573	0.596
0.6300	0.64376865	0.43278875	0.5555100	0.39319777	0.25640045	0.28279621		0.413	0.427	0.151	0.579	0.600
0.6953	0.55367598	0.36515429	0.6296142	0.356660525	0.21506268	0.31453221		0.361	0.406	0.155	0.561	0.592
0.7674	0.42291675	0.33368307	0.53513786	0.27003313	0.16884224	0.27114108		0.302	0.334	0.129	0.463	0.479
0.8469	0.32501416	0.33642893	0.39328321	0.19092042	0.17861053	0.20895409		0.267	0.272	0.090	0.363	0.365
0.9347	0.21571627	0.2927585	0.31473214	0.13239952	0.17888264	0.17991993		0.198	0.219	0.071	0.290	0.304
1.0316	0.15592206	0.2290221	0.21437732	0.0957816	0.15277936	0.16217431		0.159	0.169	0.047	0.216	0.222
1.1386	0.12284796	0.17430798	0.29157639	0.07746785	0.11211424	0.22167141		0.149	0.167	0.079	0.246	0.257
1.2566	0.09089292	0.12177961	0.21742773	0.05577231	0.09042265	0.17551892		0.106	0.125	0.060	0.186	0.196
1.3869	0.07089882	0.09492361	0.19490037	0.04325339	0.07375458	0.15618712		0.084	0.106	0.058	0.164	0.176
1.5307	0.0552699	0.06986385	0.17040575	0.03343926	0.05213212	0.13961661		0.063	0.087	0.055	0.142	0.155
1.6894	0.040415294	0.05000168	0.09744652	0.0235778	0.036898324	0.07512821		0.045	0.054	0.027	0.081	0.086
1.8645	0.0313591	0.03946379	0.08555588	0.01811755	0.02970362	0.07694945		0.035	0.047	0.028	0.074	0.081
2.0578	0.02561029	0.03348105	0.0736714	0.01464826	0.02560567	0.06456564		0.030	0.040	0.024	0.063	0.069
2.2711	0.01947695	0.02744384	0.05030171	0.01107927	0.02091298	0.04985379		0.024	0.030	0.017	0.046	0.050
2.5066	0.01557816	0.02173417	0.040485899	0.00880151	0.0162813	0.03639859		0.019	0.023	0.013	0.036	0.038
2.7665	0.01228455	0.01694381	0.03293249	0.00704204	0.01249493	0.0303136		0.015	0.019	0.011	0.029	0.032
3.0533	0.01000209	0.01324977	0.03168395	0.00564772	0.00941652	0.03039436		0.012	0.017	0.011	0.028	0.031
3.3698	0.00815212	0.01180212	0.02458621	0.00459821	0.00887716	0.0244548		0.010	0.014	0.009	0.022	0.025
3.7192	0.00656188	0.00800969	0.01559485	0.00377564	0.00564699	0.01627639		0.007	0.009	0.005	0.015	0.016
4.1048	0.00535828	0.00708328	0.01246688	0.00305715	0.00560737	0.01213889		0.006	0.008	0.004	0.011	0.012
4.5303	0.0040535895	0.00488616	0.01025192	0.00250944	0.00320539	0.00982992		0.005	0.006	0.003	0.009	0.010
5.0000	0.00355053	0.00400957	0.0078293	0.00205838	0.00266152	0.00738011		0.004	0.005	0.002	0.007	0.008

Di seguito si valutano i rapporti spettrali PGA / PG Ao e SI / Slo in riferimento a quanto proposto dalla DGR 630 / 2019 rispetto al metodo semplificato di II° livello ed al III° livello con elaborazione delle tracce sismiche fornite dalla RER utilizzando il codice di calcolo STRATA e il profilo del suolo emerso dalle indagini geofisiche sull'area per la valutazione degli effetti in superficie.

Assumendo che il sito ricada in ambito di MARGINE B, come definito dal rapporto "Abachi per la valutazione dei fattori di amplificazione per le indagini di microzonazione sismica di secondo livello in Emilia-Romagna" (A. Tento, L. Martelli, A. Marcellini, 2015), e considerando una classe di Vs30 = 225m/s, si ottengono i parametri sotto riportate.



VALUTAZIONE PARAMETRI SISMICI DEL SITO			
Decreto Ministrale NTC 2018		Regione Emilia-Romagna DGR 630 / 2019	
Latitude (gradi decimali ED50)	44.309500	Latitude (gradi decimali ED50)	44.309500
Longitude (gradi decimali ED50)	11.875400	Longitude (gradi decimali ED50)	11.875400
Accelerazione su suolo di riferimento rigido - SLV (ag/g)	0.204	0.204	Accelerazione massima orizzontale di picco al suolo per To (a_{max}/g)
Tipo di opera	2	MARGINE B	Riferimento territoriale / Suolo di riferimento
Classe d'uso	2		
Vita Nomina (V _N)	50 anni	Settore di transizione tra la zona collinare e la pianura caratterizzato da spessore dei terreni superficiali fini o grossolani poco consolidati superiore a 30m; la successione sottostante è costituita da alternanze di orizzonti grossolani e orizzonti fini.	
Coefficiente d'uso (C _U)	1		
Vita di riferimento (V _N x C _U)	50 anni		
Tempi di ritorno (SLV)	475 anni	#RIF!	Profondità Bedrock sismico
		800	Velocità di taglio di riferimento del substrato marino (Vs) (m/s), oppure Velocità onde di taglio Bedrock like (Vs) (m/s)
Velocità equivalente delle onde di taglio nei primi 30 m (Vs30)	225	225	Velocità equivalente delle onde di taglio nei primi 30m (Vs30) (m/s)
Categoria di sottosuolo	C		
Coefficiente di amplificazione per tipo di suolo (S _s)	1.40	1.6	Fattore di Amplificazione del PGA (Peak Ground Acceleration)
		1.9	Fattore di Amplificazione Intensità Spettrale (F.A. 0.1s < To < 0.5s)
		2.8	Fattore di Amplificazione Intensità Spettrale (F.A. 0.5s < To < 1.0s)
		3.1	Fattore di Amplificazione Intensità Spettrale (F.A. 0.5s < To < 1.5s)
Categoria topografica	T1		
Coefficiente di amplificazione per categoria topografica (S _T)	1.00	1.0	Coefficiente di amplificazione per categoria topografica (S _T)
Accelerazione massima orizzontale al suolo (a_{max}/g) = $a_g/g \cdot S \cdot S_T$	0.285	0.327	Accelerazione massima orizzontale al suolo (a_g/g) = $a_g/g \cdot F.A. \cdot PGA \cdot S_T$

Dal modello STRATA è stato possibile anche ricavare gli spettri delle pseudo velocità relative che sono state utilizzate per la valutazione dell'intensità di Housner, utilizzata dalla RER nella definizione dello spettro elastico, successivamente utile per le considerazioni sulle opere ingegneristiche.

L'intensità di Housner è stata calcolata utilizzando un foglio di calcolo excel implementando l'integrazione della pseudo-velocity (calcolate dalle accelerazioni ottenute dalla modellazione con STRATA) per intervalli di $dT = 0.11$ a 0.52 sec, $dT = 0.52$ a 1.03 sec e $dT = 0.52$ a 1.53 sec.

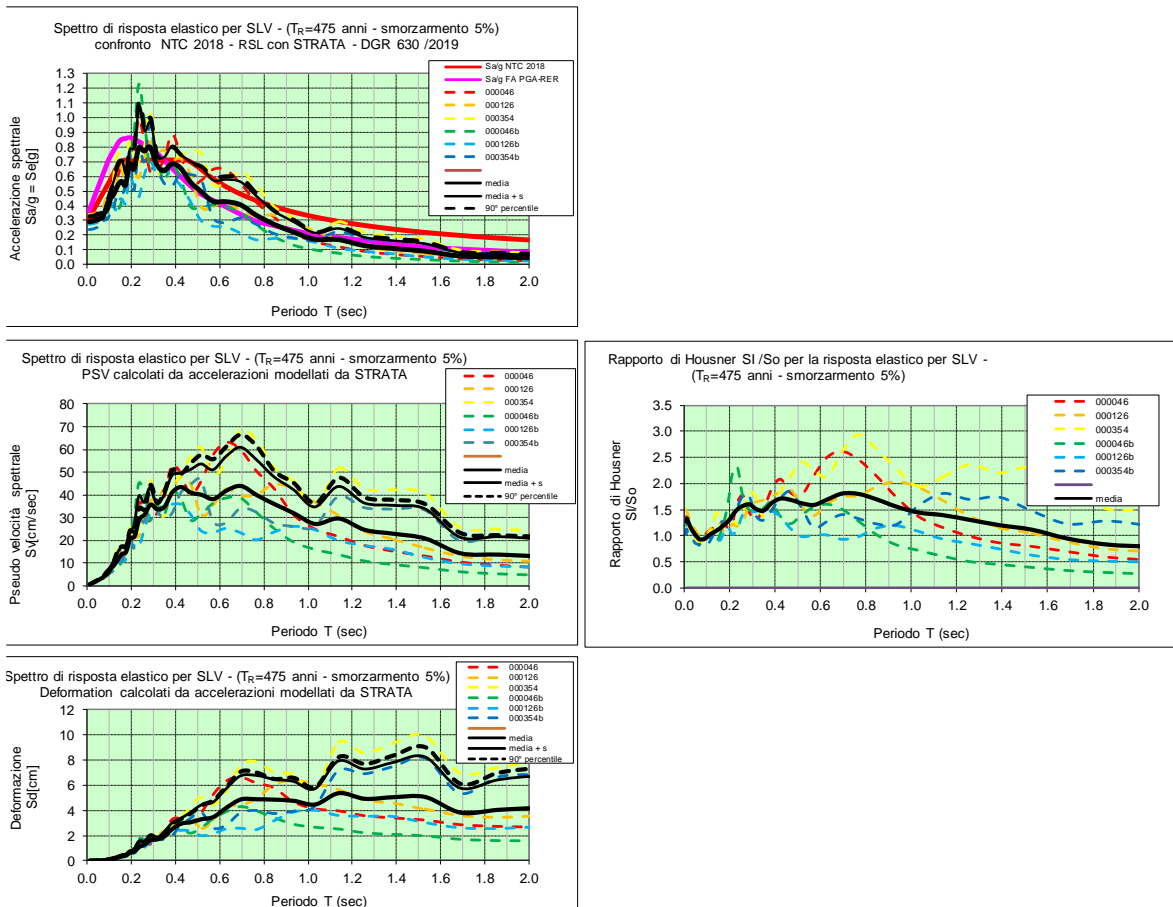
I valori sono stati confrontati con SI_o proposti dalla RER. I valori del rapporto sono osservabili nelle sotto riportate tabelle.

Si riporta anche la tabella del rapporto dei valori PGA del modello STRATA e quello della DGR 630 / 2019.

Riferimento accelerogramma	Intensità di Housner (SI) (cm) per intervalli dT					
	Rapporto Intensità di Housner SI1/SI0			Rapporto Intensità di Housner SI2/SI0		
	S1: 0.1 < T < 0.5		S2: 0.5 < T < 1.0		S3: 0.5 < T < 1.5	
000046	0.43	1.52	0.40	2.10	0.48	1.76
000126	0.41	1.45	0.33	1.73	0.43	1.61
000354	0.44	1.52	0.46	2.40	0.64	2.36
000046b	0.42	1.48	0.24	1.25	0.28	1.03
000126b	0.35	1.24	0.20	1.03	0.26	0.96
000354b	0.41	1.45	0.25	1.34	0.39	1.45
media	0.41	1.44	0.31	1.64	0.41	1.53
So	0.29	1.90	0.19	2.80	0.27	3.10

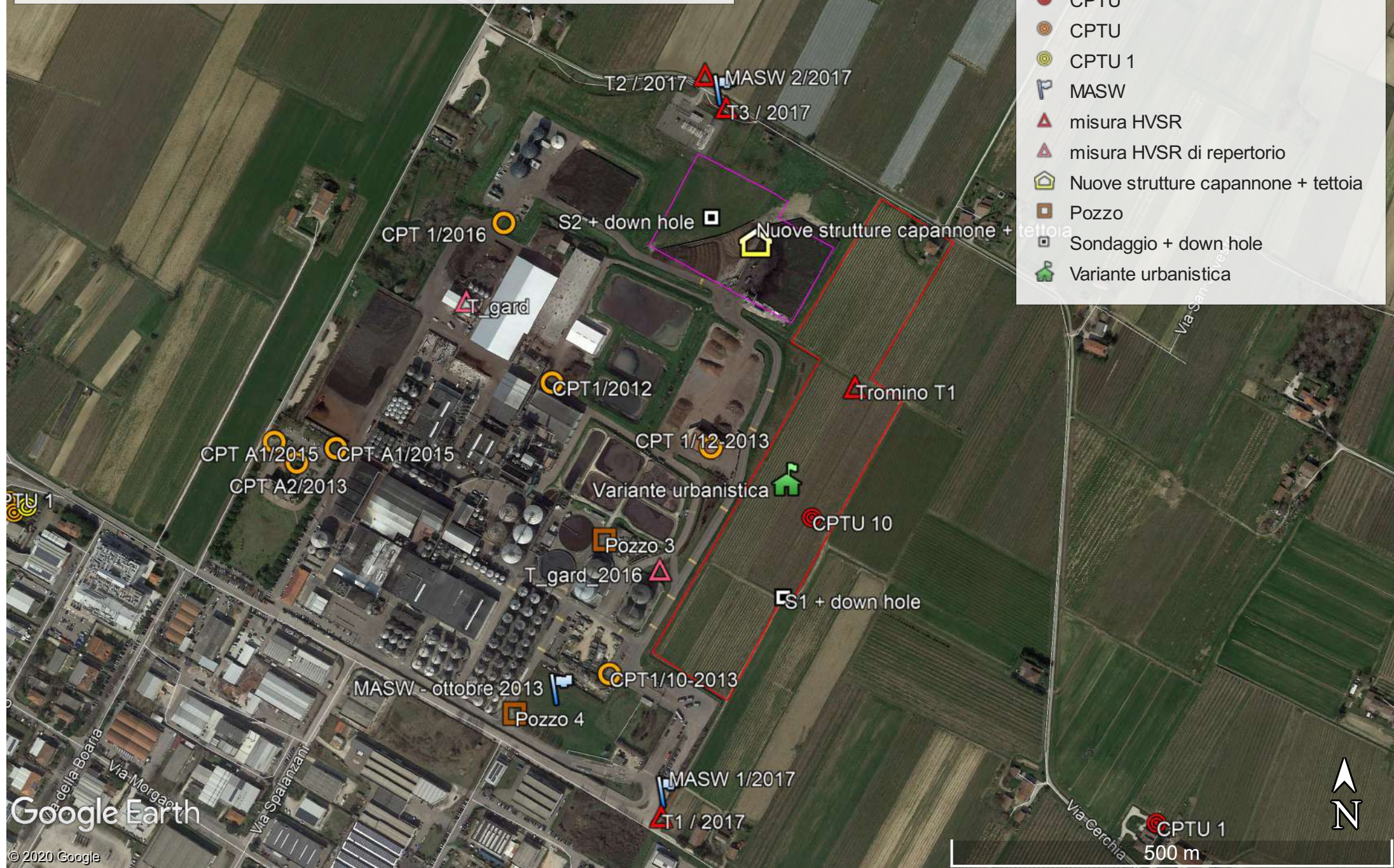
Riferimento accelerogramma	PGA a T secondo la modellazione STRATA	Rapporto PGa/Pgao con PGa secondo NTC2018 e DGR 630 / 2019
000046	0.314	1.538
000126	0.342	1.677
000354	0.293	1.436
000046b	0.276	1.349
000126b	0.278	1.362
000354b	0.236	1.158
media	0.290	1.420
PGa	0.204	X

Grafici degli spettri elasticci di confronto ed il grafico delle amplificazioni SI / Slo per ogni intervallo dT considerato nella sopra citata integrazione.

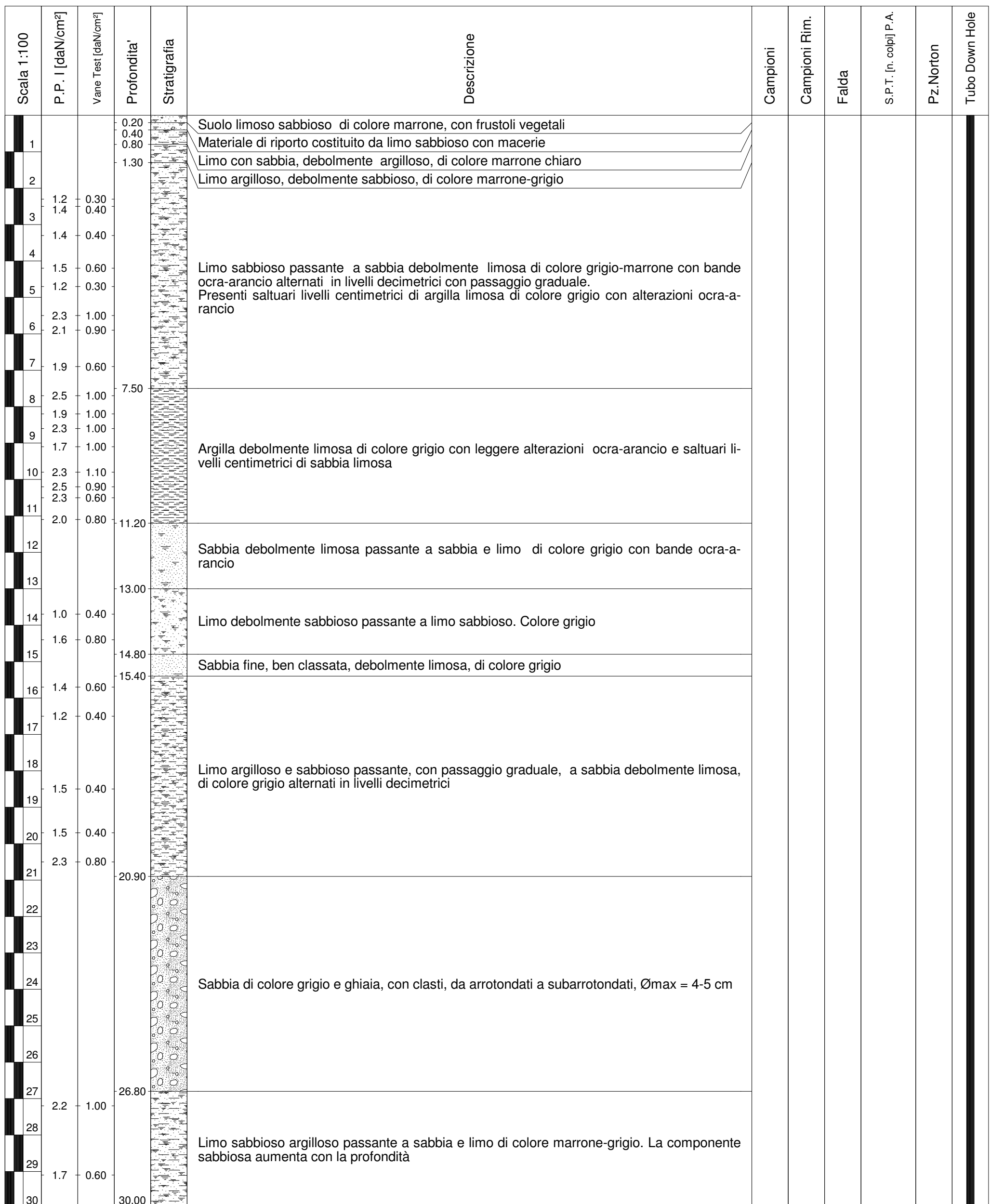


ALLEGATI

Ubicazione indagini geofisiche e geognostiche



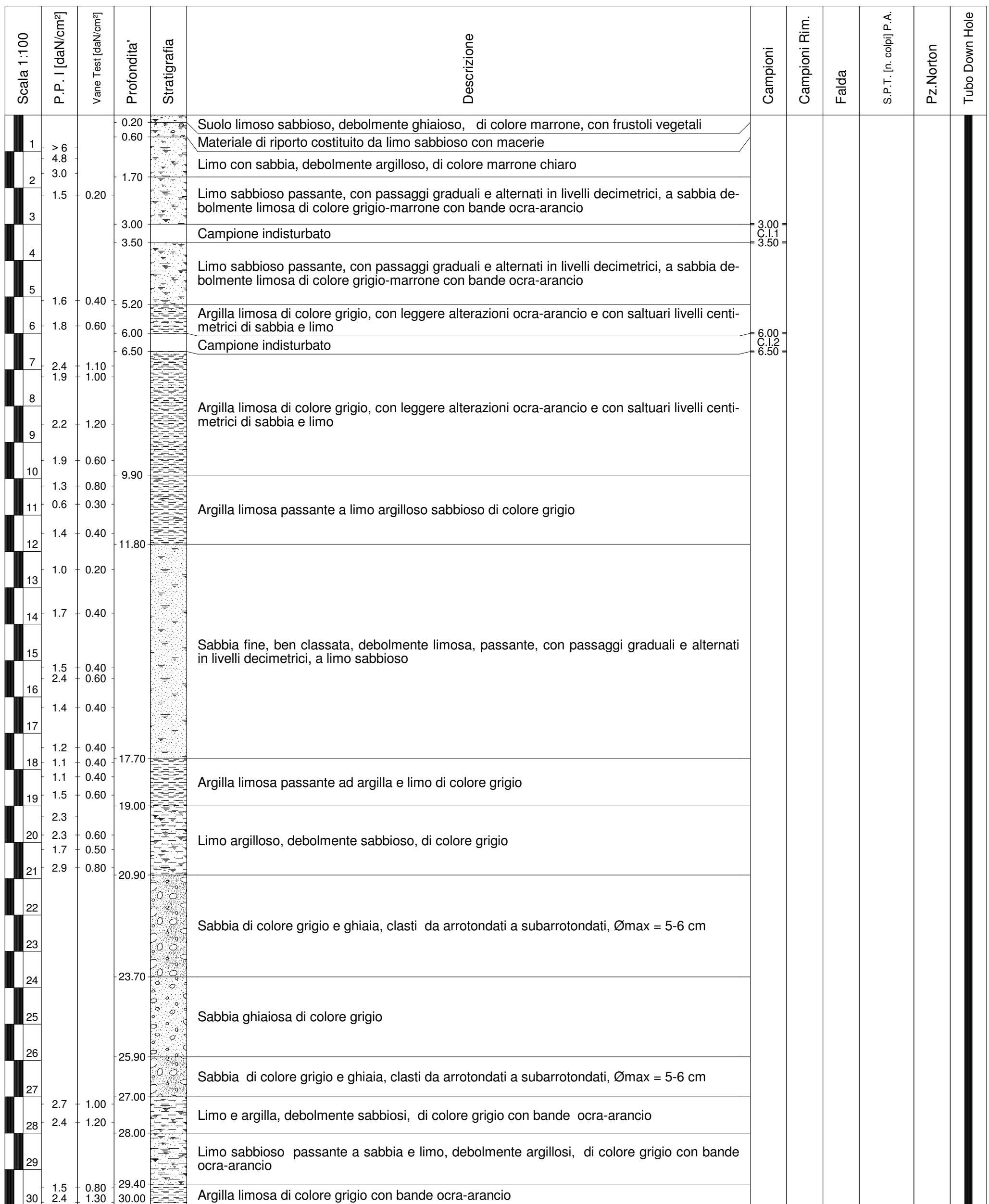
 SOGEO <small>S.p.A.</small> INDAGINI GEOGNOSTICHE ED AMBIENTALI Via S. Potto n. 43 - 48022 S. Potto di LUGO (RA) Tel. 054522042 - Fax 054534443 - E-mail: sogeo@sogeo-srl.com Concessione Ministero Infrastrutture e Trasporti - Settore C Dcr. n. 005754 del 05/07/2010	COMMITTENTE: S.G.T. s.a.s.	SOND.N°: S.1	PROF.(m): 30.00
	CANTIERE: Faenza (RA), Via Convertite n.8 c/o CA.VI.RO.	QUOTA (m): p.d.c.	
	PERFORATRICE: CMV MK900D1	LATITUDINE (°): 44.308041°	
	METODO PERFORAZ.: Carotaggio continuo	LONGITUDINE (°): 11.873453°	
	RIVESTIMENTO: Ø 127 mm	DATA INIZ-FINE: 27/08/2020-27/08/2020	
PIEZOMETRO:		SCALA: 1:100	
RIF.PREV.N°: 142-20	CERTIFICATO N°: C20-060-1	RAPPORTO N°: -----	DATA DI EMISSIONE: 31/08/2020
			PAGINA N°: 1 di 1



Lo Sperimentatore

Il Direttore del Laboratorio

 SOGEO <small>S.p.A.</small> INDAGINI GEOGNOSTICHE ED AMBIENTALI Via S. Potto n. 43 - 48022 S. Potito di LUGO (RA) Tel. 054522042 - Fax 054534443 - E-mail: sogeo@sogeo-srl.com Concessione Ministero Infrastrutture e Trasporti - Settore C Dcr. n. 005754 del 05/07/2010		COMMITTENTE: S.G.T. s.a.s.	SOND.N°: S.2	PROF.(m): 30.00
		CANTIERE: Faenza (RA), Via Convertite n.8 c/o CA.VI.RO.	QUOTA (m): p.d.c.	
		PERFORATRICE: CMV MK900D1	LATITUDINE (°):	
		METODO PERFORAZ.: Carotaggio continuo	LONGITUDINE (°):	
RIVESTIMENTO: Ø 127 mm		ATTREZZO PERFORAZ.: Carotiere semplice Ø 101 mm	DATA INIZ-FINE: 28/08/2020-28/08/2020	
PIEZOMETRO:			SCALA: 1:100	
RIF.PREV.N°: 142-20	CERTIFICATO N°: C20-060-2	RAPPORTO N°: -----	DATA DI EMISSIONE: 31/08/2020	PAGINA N°: 1 di 2



Lo Sperimentatore

Il Direttore del Laboratorio

 SOGEO <small>S.p.A.</small> INDAGINI GEOGNOSTICHE ED AMBIENTALI Via S. Potto n. 43 - 48022 S. Potto di LUGO (RA) Tel. 054522042 - Fax 054534443 - E-mail: sogeob@sogeob.srl.com Concessione Ministero Infrastrutture e Trasporti - Settore C Dcr. n. 005754 del 05/07/2010		COMMITTENTE: S.G.T. s.a.s.	SOND.N°: S.2	PROF.(m): 30.00
		CANTIERE: Faenza (RA), Via Convertite n.8 c/o CA.VI.RO.	QUOTA (m): p.d.c.	
		PERFORATRICE: CMV MK900D1	LATITUDINE (°):	
		METODO PERFORAZ.: Carotaggio continuo	LONGITUDINE (°):	
RIVESTIMENTO: Ø 127 mm		ATTREZZO PERFORAZ.: Carotiere semplice Ø 101 mm	DATA INIZ-FINE: 28/08/2020-28/08/2020	
PIEZOMETRO:			SCALA: 1:100	
RIF.PREV.N°: 142-20	CERTIFICATO N°: C20-060-2	RAPPORTO N°: -----	DATA DI EMISSIONE: 31/08/2020	PAGINA N°: 2 di 2

Scala 1:100	P.P. I [daN/cm ²]	Vane Test [daN/cm ²]	Profondità'	Stratigrafia	Descrizione	Campioni	Campioni Rim.	Falda	S.P.T. [n. colpi] P.A.	Pz.Norton	Tubo Down Hole
31			30.00								

C.I. = campioni indisturbati

Lo Sperimentatore

Il Direttore del Laboratorio

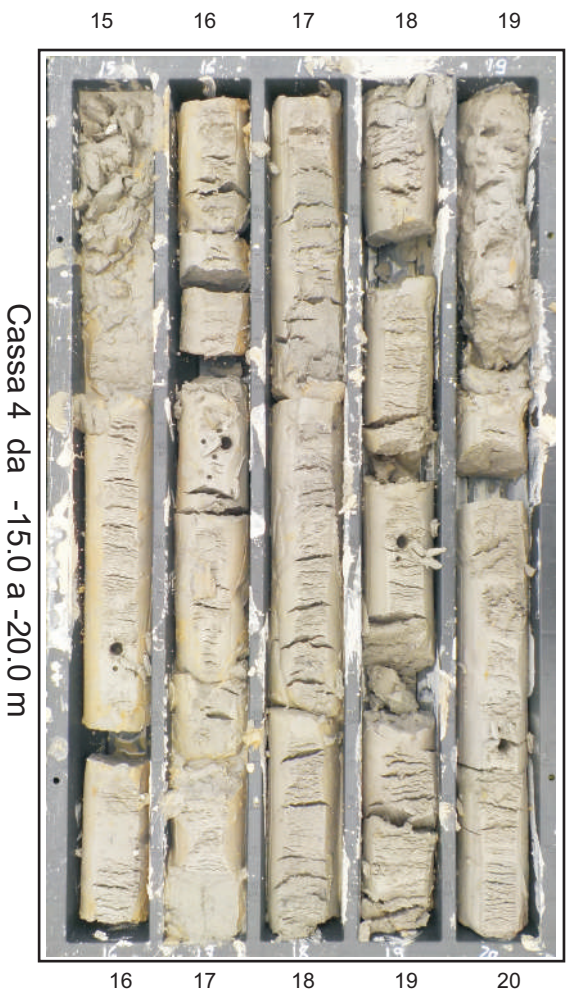


SOGEO[®]
INDAGINI GEOSISTEMICHE ED AMBIENTALI
Via S. Ruffo n. 43 - 48022 S. Pietro di Lugo (RA)

Tel. 0545/22042 - Fax 0545/34443 - E-mail: sogeo@sogeo-srl.com

COMMITTENTE: S.G.T. s.a.s.
LOCALITA': Via Convertite n.8 - Faenza (RA) c/o CAVIRO. **SONDAGGIO N:S.1**

RIF. N° : 142-20
ALLEGATO A: C20-060-1
DATA: 27/08/2020



Cassa 1 da 0.0 a -5.0 m

Cassa 2 da -5.0 a -10.0 m

Cassa 3 da -10.0 a -15.0 m

Cassa 4 da -15.0 a -20.0 m

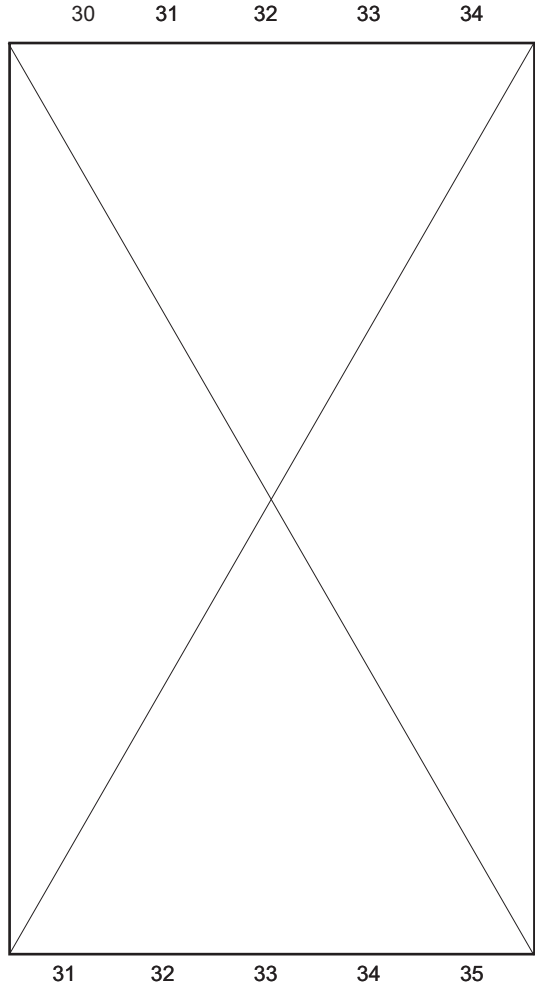


SOGEO[®]
INDAGINI GEOCRONISTICHE ED AMBIENTALI

Via S. Ruffito n. 43 - 48022 S. Pietro di Lugo (RA)
Tel. 0545/22042 - Fax 0545/34443 - E-mail: sogeo@sogeo-srl.com

COMMITTENTE: S.G.T. s.a.s.
RIF. N° : 142-20

LOCALITA': Via Convertite n.8 - Faenza (RA) c/o CA.VIRO.
SONDAGGIO N: S.1
ALLEGATO A: C20-060-1
DATA: 27/08/2020





SOGEO[®]
INDAGINI GEOSISTEMICHE ED AMBIENTALI

Via S. Ruffo n. 43 - 48022 S. Pietro di Lugo (RA)
Tel. 0545/22042 - Fax 0545/34443 - E-mail: sogeo@sogeo-srl.com

COMMITTENTE: S.G.T. s.a.s.
RIF. N° : 142-20

LOCALITA': Via Convertite n.8 - Faenza (RA) c/o CAVIRO. **SONDAGGIO N°S.2**

ALLEGATO A: C20-060-2

DATA: 28/08/2020



Cassa 1 da 0.0 a -5.0 m



Cassa 2 da -5.0 a -10.0 m



Cassa 3 da -10.0 a -15.0 m



Cassa 4 da -15.0 a -20.0 m



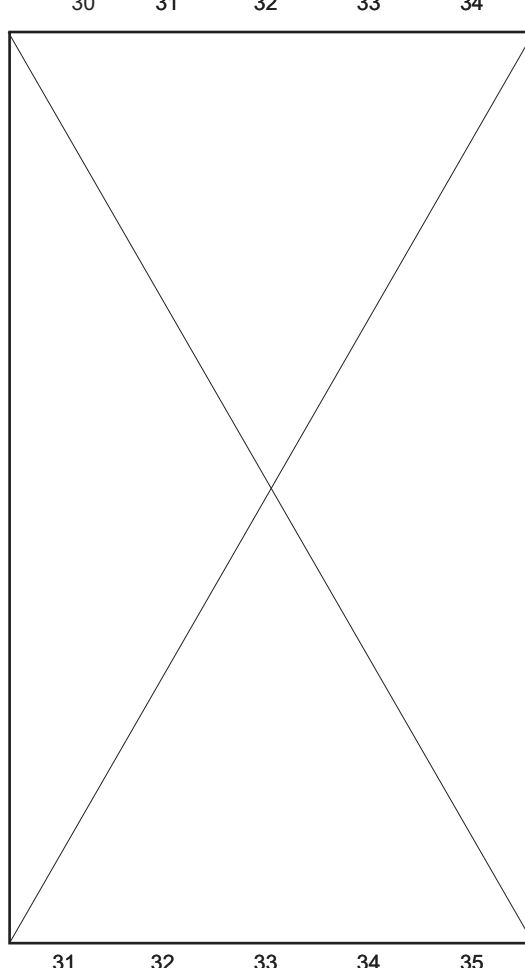
SOGEO[®]
INDAGINI GECONOMICHE ED AMBIENTALI
Via S. Ruffito n. 43 - 48022 S. Pietro di Lugo (RA)

Tel. 0545/22042 - Fax 0545/34443 - E-mail: sogeo@sogeo-srl.com

COMMITTENTE: S.G.T. s.a.s.
RIF. N° : 142-20

LOCALITA': Via Convertite n.8 - Faenza (RA) c/o CA.VIRO.
SONDAGGIO N: S.2
ALLEGATO A: C20-060-2

DATA: 28/08/2020



Posizionamento





INDAGINI GEOGNOSTICHE ED AMBIENTALI
Via Edison 1/1 - 48022 LUGO (RA)
Tel. 054522042 - fax 054534443 - E-mail: sogeosr@sogeosrl.com

SCHEMA INSTALLAZIONE STRUMENTI

Tubo per indagine geofisica "Down-Hole"

COMMITTENTE: S.G.T. s.a.s.

SONDAGGIO N° S.1

CANTIERE: Via Convertite n.8 c/o CA.VI.RO

RIF. PREV. N: 142-20

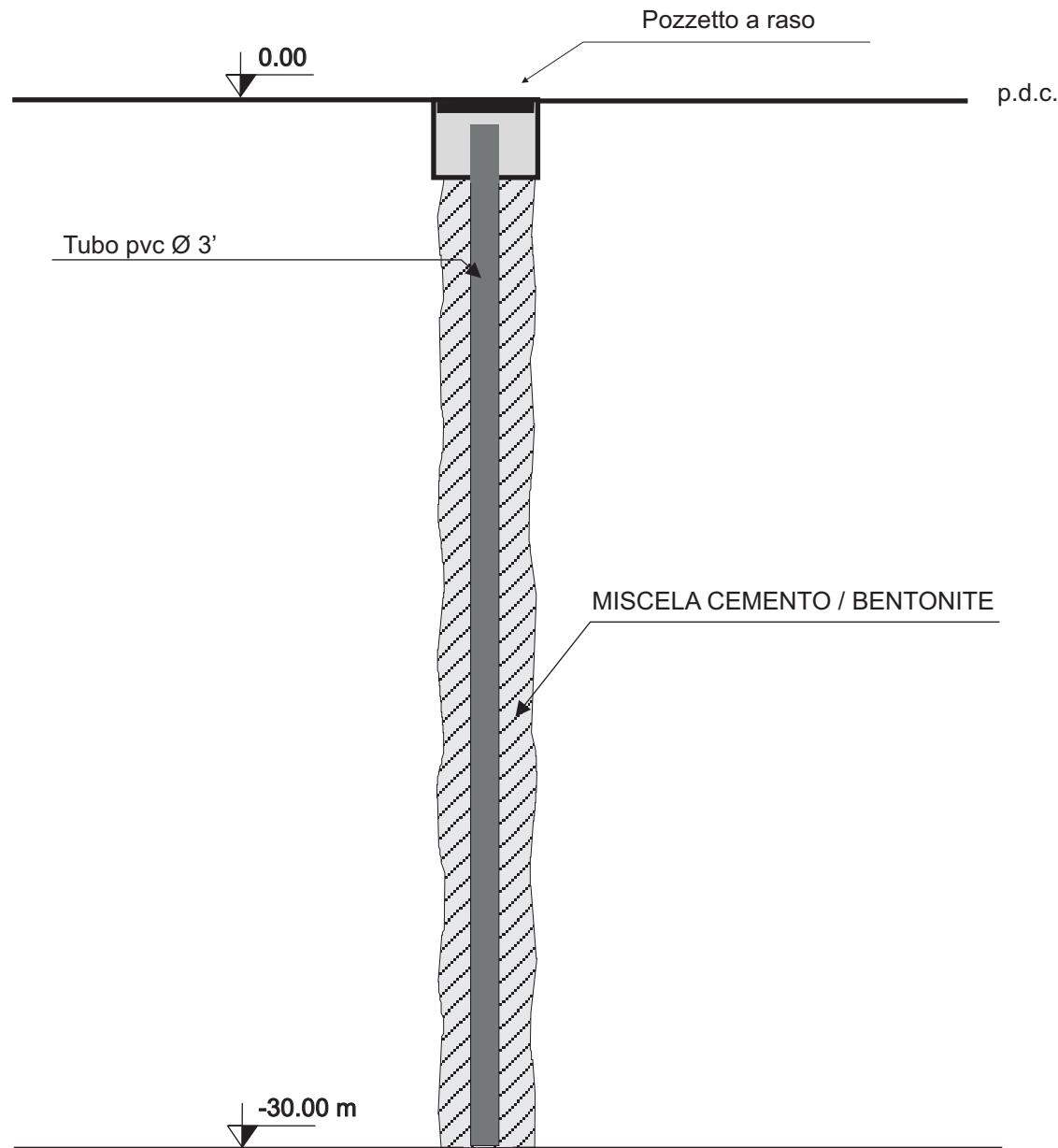
LOCALITA': Faenza (RA)

DATA DI ESECUZIONE: 27/08/2020

N° CERTIFICATO: C20-060-1

N° RAPPORTO: -----

DATA DI EMISSIONE: 31/08/2020



N.B: SCHEMA NON IN SCALA

Lo Sperimentatore

Note ed osservazioni:

Il Direttore del Laboratorio



INDAGINI GEOGNOSTICHE ED AMBIENTALI
Via Edison 1/1 - 48022 LUGO (RA)
Tel. 054522042 - fax 054534443 - E-mail: sogeosr@sogeosrl.com

SCHEMA INSTALLAZIONE STRUMENTI

Tubo per indagine geofisica "Down-Hole"

COMMITTENTE: S.G.T. s.a.s.

SONDAGGIO N° S.2

CANTIERE: Via Convertite n.8 c/o CA.VI.RO

RIF. PREV. N: 142-20

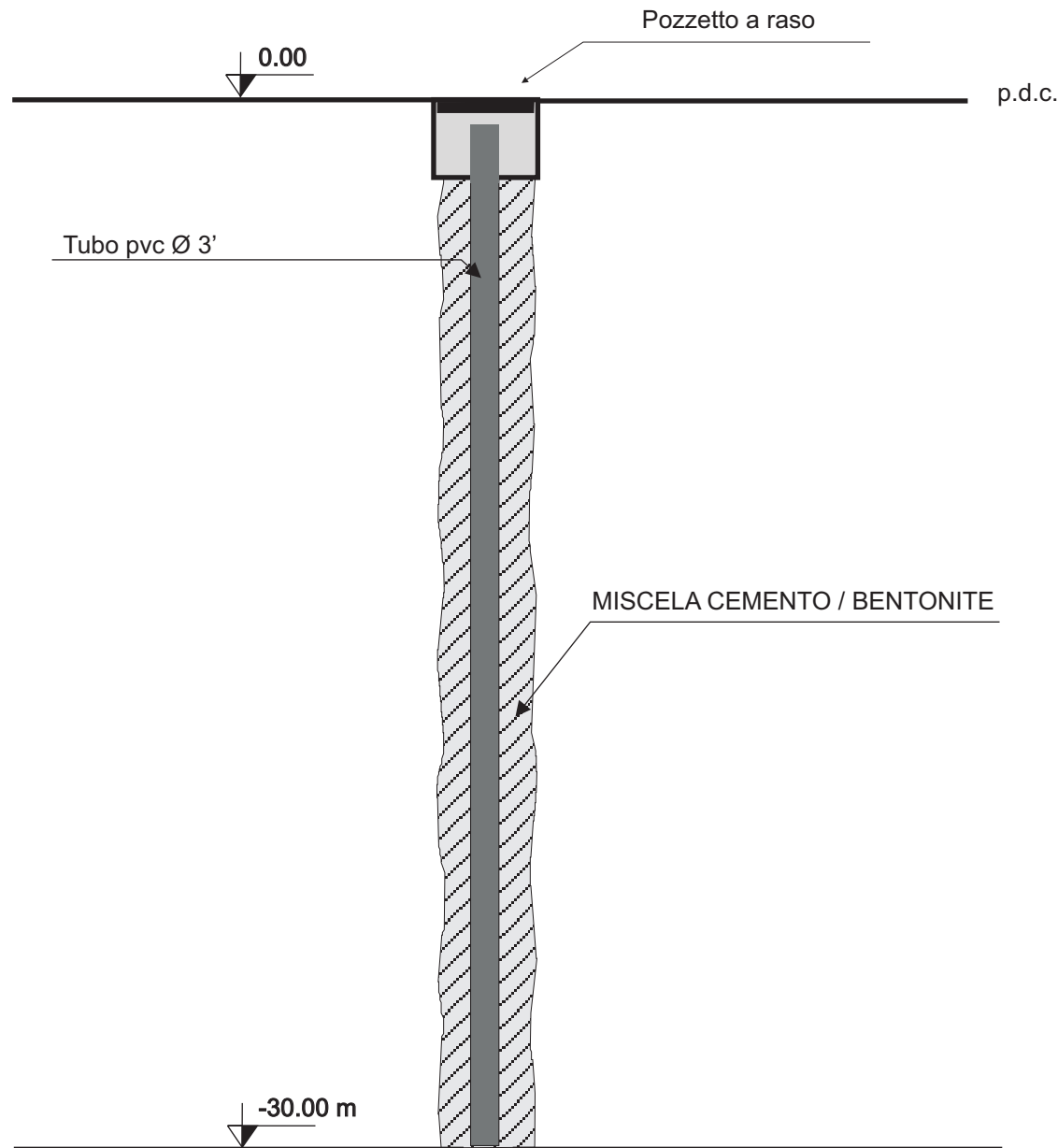
LOCALITA': Faenza (RA)

DATA DI ESECUZIONE: 28/08/2020

N° CERTIFICATO: C20-060-2

N° RAPPORTO: -----

DATA DI EMISSIONE: 31/08/2020



N.B: SCHEMA NON IN SCALA

Lo Sperimentatore

Note ed osservazioni:

Il Direttore del Laboratorio

COMUNE DI FAENZA
Provincia di Ravenna

INDAGINE GEOFISICA

PROVA DOWN HOLE

RELAZIONE

SITO PRODUTTIVO ENOMONDO
Via Convertite 12



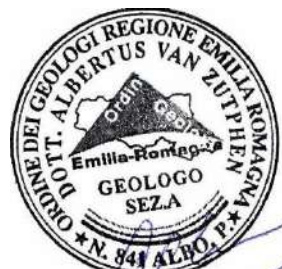
Committente



ENOMONDO
Via Convertite, 6
48018 Faenza (RA)
P.I. 02356350393

Settembre, 2020

SGT Società di
Geologia
Territoriale
S.G.T. sas.
di Van Zutphen Albert & C.
Via Matteotti 50
48012 Bagnovaldo (RA)
www.geo55.com



PROVA DOWN HOLE

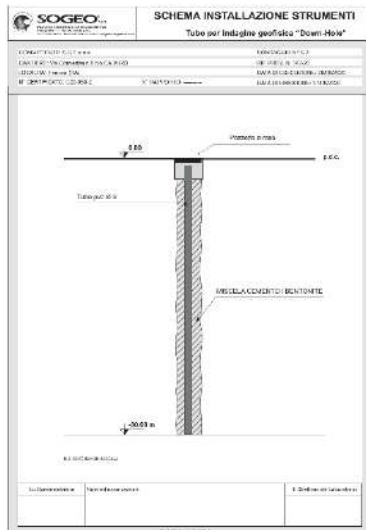
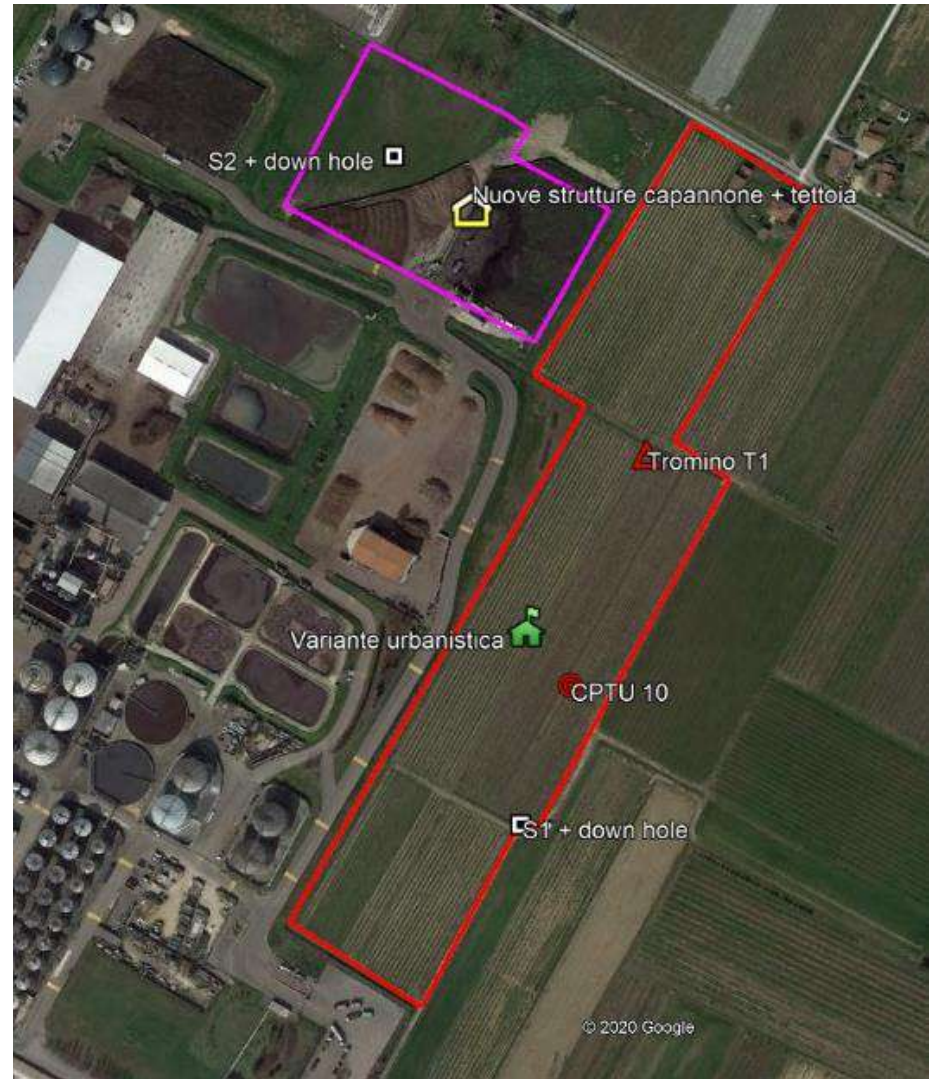
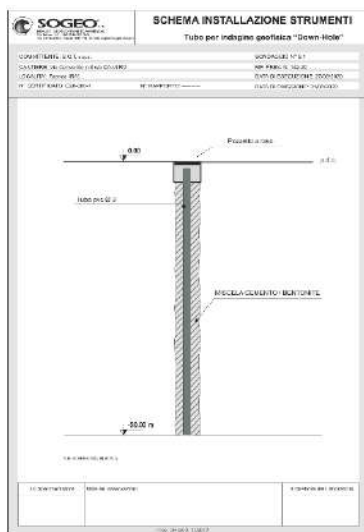
INDICAZIONI GENERALI

Per la realizzazione nuove strutture e di una variante urbanistica nel complesso produttivo di ENOMONDO, allo scopo di caratterizzare dal punto di vista elastico il materiale sedimentario interessato dall'opera, sono state realizzate, in corrispondenza di due sondaggi appositamente attrezzati, una indagine geofisica che è consistita in n° 2 misure down hole per determinare, in maniera puntiforme per intervalli di ogni metro in profondità, le velocità delle onde di taglio (S) e delle onde di compressione (P).

Le misure sono state effettuate dalla PROGEOP s.r.l. di Forlì.

Prove down hole

Le prove sono state realizzate sulla verticale dei sondaggi S1 e S2 appositamente attrezzati per la realizzazione della prova geofisica in parola.



Cenni teorici

Nel metodo sismico down hole (DH) viene misurato il tempo necessario per le onde P e S di spostarsi tra una sorgente sismica, posta in superficie, e i ricevitori, posti all'interno di un foro di sondaggio (figura 1, 2).

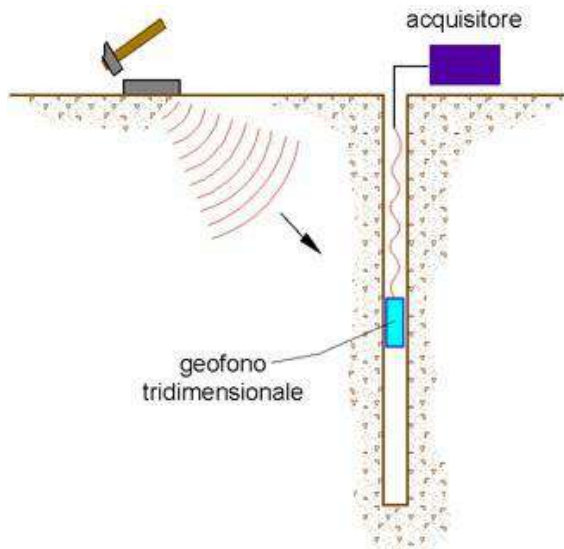


Fig 1 – Schema down hole ad un solo ricevitore

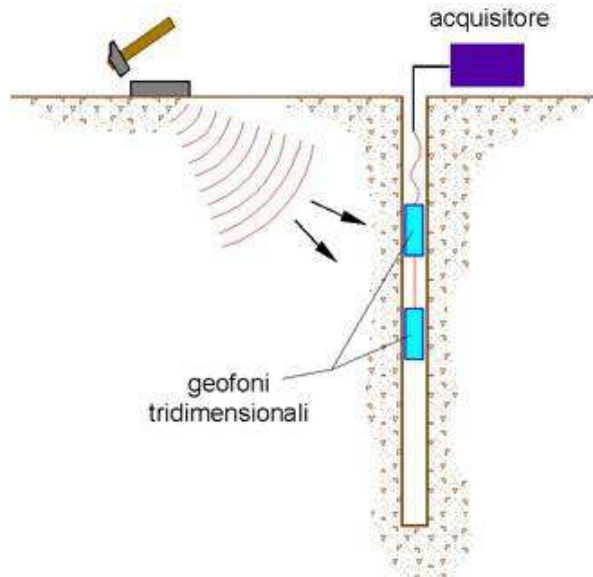


Figura 2 – Schema down hole a due ricevitori

Le componenti indispensabili per una misura DH accurata consistono:

- 1) una sorgente meccanica in grado di generare onde elastiche ricche di energie e direzionali;
- 2) uno o più geofoni tridimensionali, con appropriata risposta in frequenza (4,5-14 Hz), direzionali e dotati di un sistema di ancoraggio alle pareti del tubo-foro;
- 3) un sismografo multi-canale, in grado di registrare le forme d'onda in modo digitale e di registrarle su memoria di massa;
- 4) un trasduttore (trigger) alloggiato nella sorgente necessario per l'identificazione dell'istante di partenza della sollecitazione dinamica mediante massa battente.

Durante la perforazione, per ridurre l'effetto di disturbo nel terreno, i fori vengono sostenuti mediante fanghi bentonici e il loro diametro viene mantenuto piuttosto piccolo (mediamente $\Delta E \gg 15$ cm).

I fori vengono poi rivestiti mediante tubazioni, generalmente in PVC, e riempiti con una malta a ritiro controllato, generalmente composta di acqua, cemento e bentonite rispettivamente in proporzione di 100, 30 e 5 parti in peso.

Prima di ogni cosa, è però importante assicurarsi che il foro sia libero da strozzature e che il tubo di rivestimento non presenti lesioni.

Procedura sperimentale

La sorgente consiste in una piastra di alluminio che, dopo avere opportunamente predisposto il piano di appoggio, viene adagiata in superficie ad una distanza di 1,5 – 2,5 m dal foro e orientata in direzione ortogonale ad un raggio uscente dall'asse foro. Alla sorgente è agganciato il trasduttore di velocità utilizzato come trigger.

Se si dispone di due ricevitori, questi vengono collegati in modo da impedirne la rotazione relativa e da fissarne la distanza. Il primo dei due ricevitori viene raccordato ad una batteria di aste che ne permette l'orientamento dalla superficie e lo spostamento.

Una volta raggiunta la profondità di prova, i geofoni vengono orientati in modo che un trasduttore di ogni sensore sia diretto parallelamente all'asse della sorgente (orientamento assoluto).

A questo punto i ricevitori vengono assicurati alle pareti del tubo di rivestimento, la sorgente viene colpita in senso verticale (per generare onde di compressione P) o lateralmente (per generare onde di taglio SH) e, contemporaneamente, parte la registrazione del segnale di trigger e dei ricevitori.

Eseguite le registrazioni la profondità dei ricevitori viene modificata e la procedura sperimentale ripetuta.

Metodo diretto

Per poter interpretare il down hole con il metodo diretto, inizialmente, bisogna correggere i tempi di tragitto (t) misurati lungo i percorsi sorgente-ricevitore per tenere conto dell'inclinazione del percorso delle onde. Se d è la distanza della sorgente dall'asse del foro (figura 3), r la distanza fra la sorgente e la tripletta di sensori, z la profondità di misura è possibile ottenere i tempi corretti (t_{corr}) mediante la seguente formula di conversione:

$$t_{corr} = \frac{z}{r} t$$

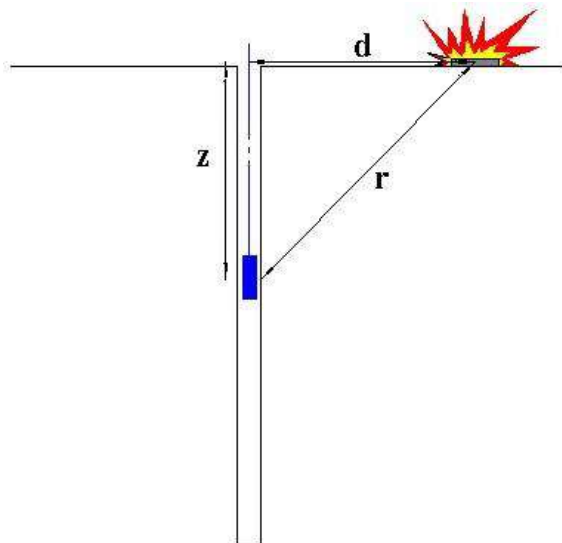


Figura 3 – Schema di down hole con metodo diretto

Calcolati i tempi corretti sia per le onde P che per le onde S si realizza il grafico $t_{corr} - z$ in modo che la velocità media delle onde sismiche in strati omogenei di terreno è rappresentata dall'inclinazione dei segmenti di retta lungo i quali si allineano i dati sperimentali (figura 4).

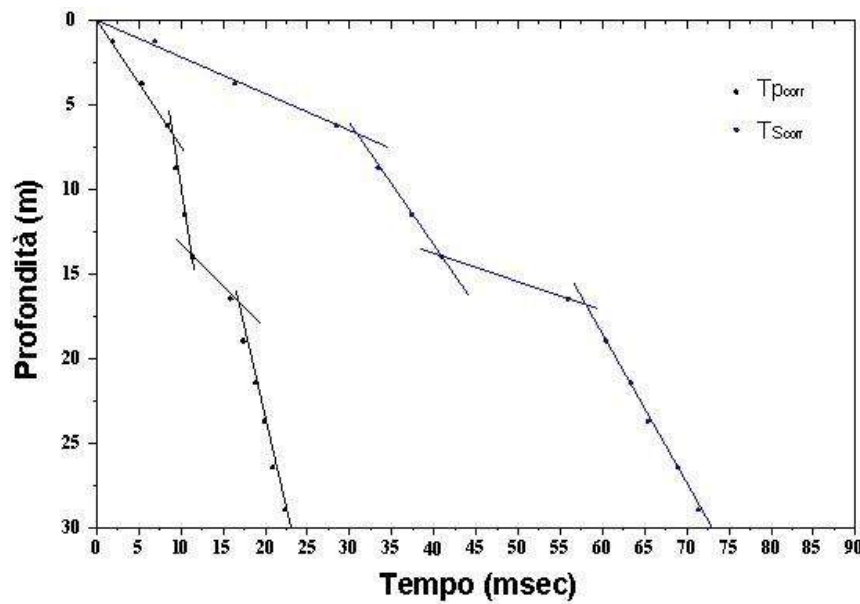


Figura 4 – Dromocrone

Ottenuti graficamente i sismostrati si ottengono la densità media, funzione della velocità e della profondità, e i seguenti parametri:

coefficiente di Poisson medio:

$$\nu_{medio} = 0.5 \frac{\left(\frac{V_p}{\nu_s}\right)^2 - 2}{\left(\frac{V_p}{\nu_s}\right)^2 - 1}$$

5) modulo di deformazione a taglio medio:

$$G_{medio} = \rho \cdot v_s^2$$

6) modulo di compressibilità edometrica medio:

$$E_d_{medio} = \rho v_p^2$$

7) modulo di Young medio:

$$E_{medio} = 2 \cdot \rho v_s^2 (1 + \nu)$$

8) modulo di compressibilità volumetrica medio:

$$E_v_{medio} = \rho \left(v_p^2 - \frac{4}{3} v_s^2 \right)$$

Metodo intervallo

Con il metodo intervallo i tempi di tragitto dell'onda sismica si misurano fra due ricevitori consecutivi (figura 1) posti a differente profondità, consentendo così di migliorare la qualità delle misure (velocità d'intervallo).

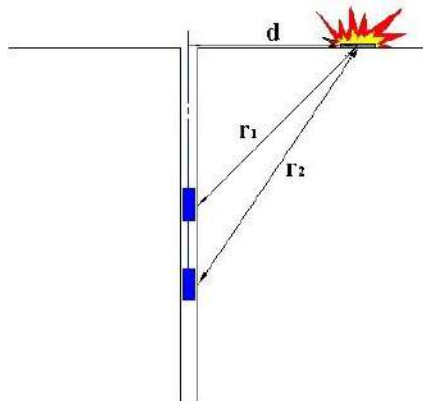


Figura 5 – Schema di down hole con metodo intervallo

Quando si dispone di un solo ricevitore, cioè nell'ipotesi in cui le coppie non corrispondano ad un unico impulso, i valori di velocità determinati vengono definiti di pseudo-intervalllo, consentendo solo un'apparente migliore definizione del profilo di velocità.

Ottenute le misure è possibile calcolare i tempi corretti con la 1.0) e la velocità intervallo delle onde P e S, con relativo grafico (figura 6), con la formula seguente:

$$v_{p,s} = \frac{z_2 - z_1}{t_{2corr} - t_{1corr}}$$

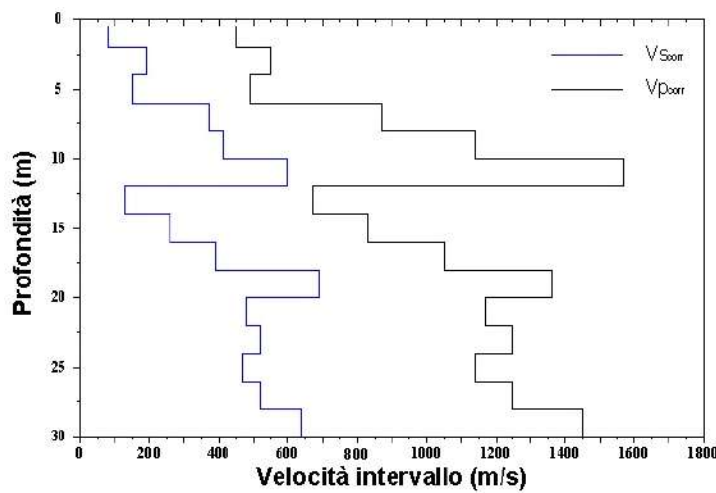


Figura 6 – Profilo delle velocità sismiche con metodo intervallo

Ottenute le velocità intervallo si calcolano la densità, il coefficiente di Poisson, il modulo di deformazione a taglio, il modulo di compressibilità edometrica, il modulo di Young, il modulo di compressibilità volumetrica per ogni intervallo con le formule riportate sopra. Il metodo intervallo presenta però dei limiti:

- non tiene conto della velocità degli strati sovrastanti;
- non è applicabile nel caso in cui $t_{2\text{corr}} < t_{1\text{corr}}$.

ELABORATI GRAFICI

Sottostante si riportano gli elaborati grafici ottenuti dalle misure Down Hole effettuate all'interno dei due fori di sondaggio S1 e S2

Gli elaborati sono così suddivisi:

- Sismogrammi delle onde di compressione, di taglio e stratigrafia del sondaggio;
- elaborato grafico con tabella parametri elastici e log velocità onde di taglio (V_s) e log velocità onde di compressione (V_p);
- elaborato grafico con log velocità onde di taglio, onde di compressione rapporto V_p/V_s ;
- log moduli elastici dinamici (Coefficiente di Poisson ν , Elasticità Edin, Taglio $G_{d,eq}$,).

CLASSIFICAZIONE SISMICA DEI SUOLI (NORME TECNICHE PER LE COSTRUZIONI - D.M. del 17 gennaio 2018)					
S1	$V_{S_{eq}} = \frac{H}{\sum_{i=1,H} \frac{h_i}{V_{S_i}}}$	Quota $V_s=800$ m/sec	> 30	m	
		$V_{S_{eq}} = 225$	225	m/sec	
		$G_{d,eq} = 1039$	1039	Kg/cm²	
		CATEGORIA SUOLO = C			

CLASSIFICAZIONE SISMICA DEI SUOLI (NORME TECNICHE PER LE COSTRUZIONI - D.M. del 17 gennaio 2018)					
S2	$V_{S_{eq}} = \frac{H}{\sum_{i=1,H} \frac{h_i}{V_{S_i}}}$	Quota $V_s=800$ m/sec	> 30	m	
		$V_{S_{eq}} = 230$	230	m/sec	
		$G_{d,eq} = 1099$	1099	Kg/cm²	
		CATEGORIA SUOLO = C			

Allegati

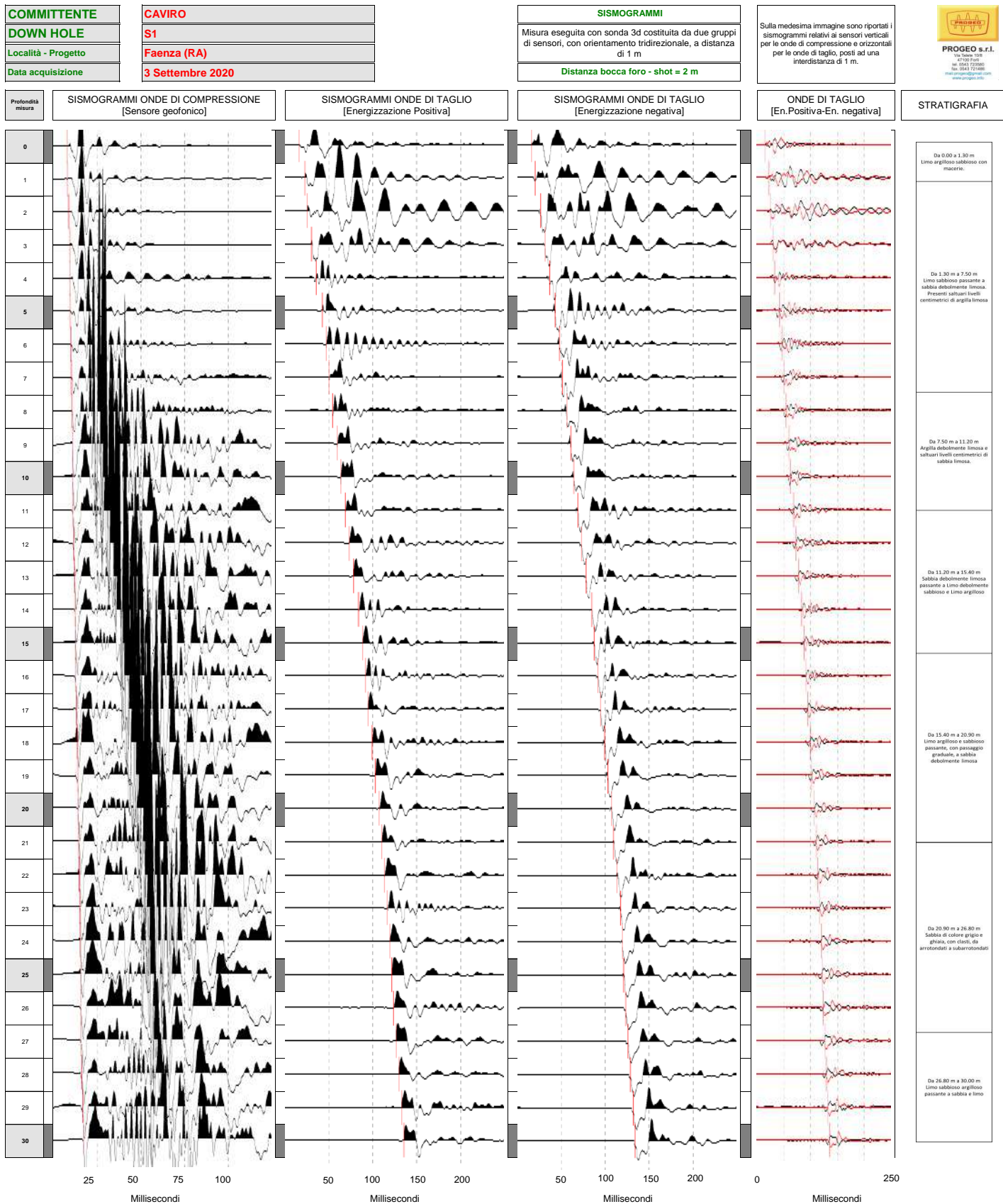


Fig. 7

COMMITTENTE	CAIRO
DOWN HOLE	S1
Località - Progetto	Faenza (RA)
Data acquisizione	3 Settembre 2020



Profondità misura	Tempi		Vp Km/sec.	Vs Km/sec.	γ - T/m³	Edin Kg/cm²	Gdin Kg/cm²	Kdin Kg/cm²	STRATIGRAFIA
	Onde p msec	Onde s msec							
0	3.33	10.00	0.66	0.13	0.48	1.49	761	257	6205
1	4.58	16.96	0.89	0.16	0.48	1.57	1276	430	12065
2	5.54	19.71	0.91	0.17	0.48	1.59	1361	459	12708
3	6.30	24.11	0.94	0.17	0.48	1.60	1447	488	13683
4	6.93	27.41	0.95	0.18	0.48	1.60	1500	506	14077
5	7.53	36.57	1.04	0.18	0.48	1.61	1573	530	16943
6	8.01	41.15	1.15	0.19	0.49	1.63	1738	585	21056
7	8.58	44.45	1.25	0.19	0.49	1.63	1784	600	25263
8	9.16	48.66	1.39	0.21	0.49	1.67	2204	740	31840
9	9.76	53.80	1.43	0.21	0.49	1.67	2230	749	34105
10	10.33	57.09	1.48	0.21	0.49	1.67	2231	749	36173
11	10.81	62.77	1.51	0.21	0.49	1.67	2231	749	37690
12	11.48	67.36	1.58	0.21	0.49	1.68	2311	775	41916
13	12.02	71.75	1.61	0.22	0.49	1.69	2466	827	43727
14	12.53	77.80	1.64	0.23	0.49	1.71	2677	898	45879
15	13.33	82.57	1.66	0.23	0.49	1.71	2677	898	46876
16	13.84	86.05	1.66	0.23	0.49	1.72	2860	960	47081
17	14.60	88.80	1.67	0.25	0.49	1.74	3182	1069	48256
18	15.08	93.19	1.68	0.26	0.49	1.76	3510	1179	49035
19	15.78	96.49	1.68	0.26	0.49	1.76	3510	1179	49085
20	16.48	101.62	1.68	0.26	0.49	1.76	3542	1190	49120
21	17.08	104.55	1.69	0.26	0.49	1.77	3669	1233	49685
22	17.56	107.67	1.72	0.33	0.48	1.87	6001	2025	53872
23	18.04	110.97	1.84	0.35	0.48	1.90	7074	2388	62633
24	18.61	113.53	1.89	0.37	0.48	1.93	7852	2652	66589
25	18.99	115.37	1.92	0.39	0.48	1.95	8912	3013	69729
26	19.57	117.75	1.98	0.39	0.48	1.96	8971	3031	73849
27	20.04	120.31	1.92	0.39	0.48	1.96	8963	3031	69216
28	20.62	123.25	1.79	0.35	0.48	1.90	6937	2343	59034
29	21.38	126.54	1.76	0.34	0.48	1.89	6653	2247	56618
30	22.05	129.11	1.75	0.34	0.48	1.89	6705	2265	56122

Legenda parametri dinamici									
Tp	Tempi onde di compresi: millisecondi	γ	Peso di volume	T/m³					
Ts	Tempi onde di taglio: millisecondi	Edin	Modulo di Elasticità dinamico	Kg/cm					
Vp	Velocità onde di compre Km/sec	Gdin	Modulo di Taglio dinamico	Kg/cm					
Vs	Velocità onde di taglio Km/sec	Kdin	Modulo di Compressibilità dinamico	Kg/cm					
v	Coefficiente di Poisson	i	Campioni di laboratorio						

Metodologia Down Hole
Differenziale
Progressivo
Distanza bocca foro - shot = 2 m

Falda = 6.00 m

STIMA DEGLI ERRORI									
Vp (km/sec)					Vs (km/sec)				
min	media	max	c		min	media	max	c	

Vp Km/sec.	Vs Km/sec.	γ T/m³	Edin Kg/cm²	Gdin Kg/cm²	Kdin Kg/cm²	STRATIGRAFIA	Vp Km/sec.	Vs Km/sec.	γ T/m³	Edin Kg/cm²	Gdin Kg/cm²	Kdin Kg/cm²	STRATIGRAFIA
0.66	0.13	0.48	1.49	761	257	6204.61	0.62	0.66	0.69	0.032	0.13	0.13	0.003
1.02	0.18	0.48	1.60	1525.49	513.89	16542.20	0.88	0.89	0.90	0.008	0.16	0.16	0.002
1.43	0.21	0.49	1.67	2221.43	745.90	34039.55	0.90	0.91	0.91	0.006	0.17	0.17	0.001
1.59	0.22	0.49	1.69	2421.38	812.30	42303.00	1.00	1.04	1.09	0.045	0.18	0.18	0.000
1.67	0.25	0.49	1.74	3213.70	1079.28	48242.11	1.31	1.39	1.45	0.069	0.21	0.21	0.003
1.85	0.35	0.48	1.90	7079.80	2390.54	62726.18	1.60	1.66	1.74	0.074	0.22	0.23	0.003
1.77	0.34	0.48	1.91	7314.45	2471.55	60247.43	1.68	1.72	1.75	0.036	0.32	0.33	0.005
							1.82	1.84	1.87	0.026	0.35	0.35	0.001
							1.80	1.89	1.98	0.088	0.37	0.37	0.002
							1.85	1.92	1.99	0.072	0.39	0.39	0.003
							1.94	1.98	2.01	0.032	0.39	0.39	0.003
							1.87	1.92	1.99	0.059	0.39	0.39	0.003
							1.76	1.79	1.81	0.027	0.35	0.35	0.001
							1.74	1.76	1.78	0.022	0.34	0.34	0.001
							1.74	1.75	1.76	0.012	0.34	0.34	0.001

CLASSIFICAZIONE SISMICA DEI SUOLI (NORME TECNICHE PER LE COSTRUZIONI - D.M. del 17 gennaio 2018)									
Quota Vs=800 m/sec	>	30	m						
Vs _{eq}	=	H							
		Σ h _i							
Vs _{eq}	=	225	m/sec						
G _{eq}	=	1039	Kg/cm²						
CATEGORIA SUOLO	=	C							

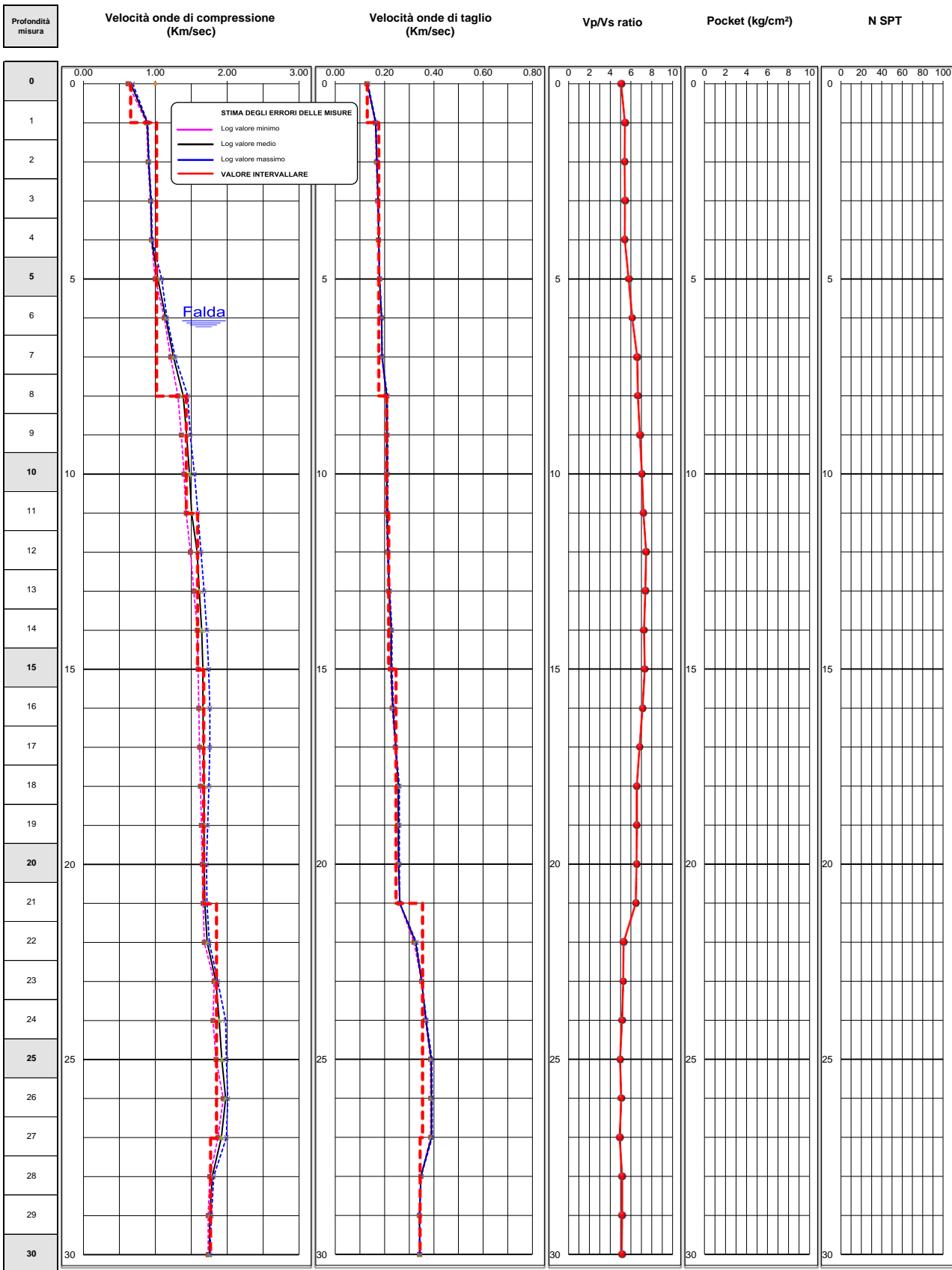
COMMITTENTE
DOWN HOLE
Località
Data acquisizione

CAVIRO
S1
Faenza (RA)
3 Settembre 2020

LOG DEI PARAMETRI ELASTICI
Progressivo
Distanza bocca foro - shot = 2 m



Stratigrafia sintetica



Da 1.00 a 1.30 m Limone argilloso sabbioso con macerie.
Da 1.30 m a 7.50 m Limone sabbioso passante a sabbia debolmente limosa. Presenti saltuari livelli centimetrici di argilla limosa
Da 7.50 m a 11.50 m Argilla distaccabile tenuta e saltuari livelli centimetrici di sabbia limosa.
Da 11.20 m a 15.40 m Sabbia debolmente limosa passante a Limone debolmente sabbioso e Limone argilloso
Da 15.40 m a 20.90 m Limone argilloso e sabbioso passante, con passaggio graduale, a sabbia debolmente limosa
Da 20.90 m a 26.80 m Sabbia di colore grigio e ghiaia, con clasti, da arrotondati a subarrotondati
Da 26.80 m a 30.00 m Limone sabbioso argilloso passante a sabbia e limone

Fig. 9

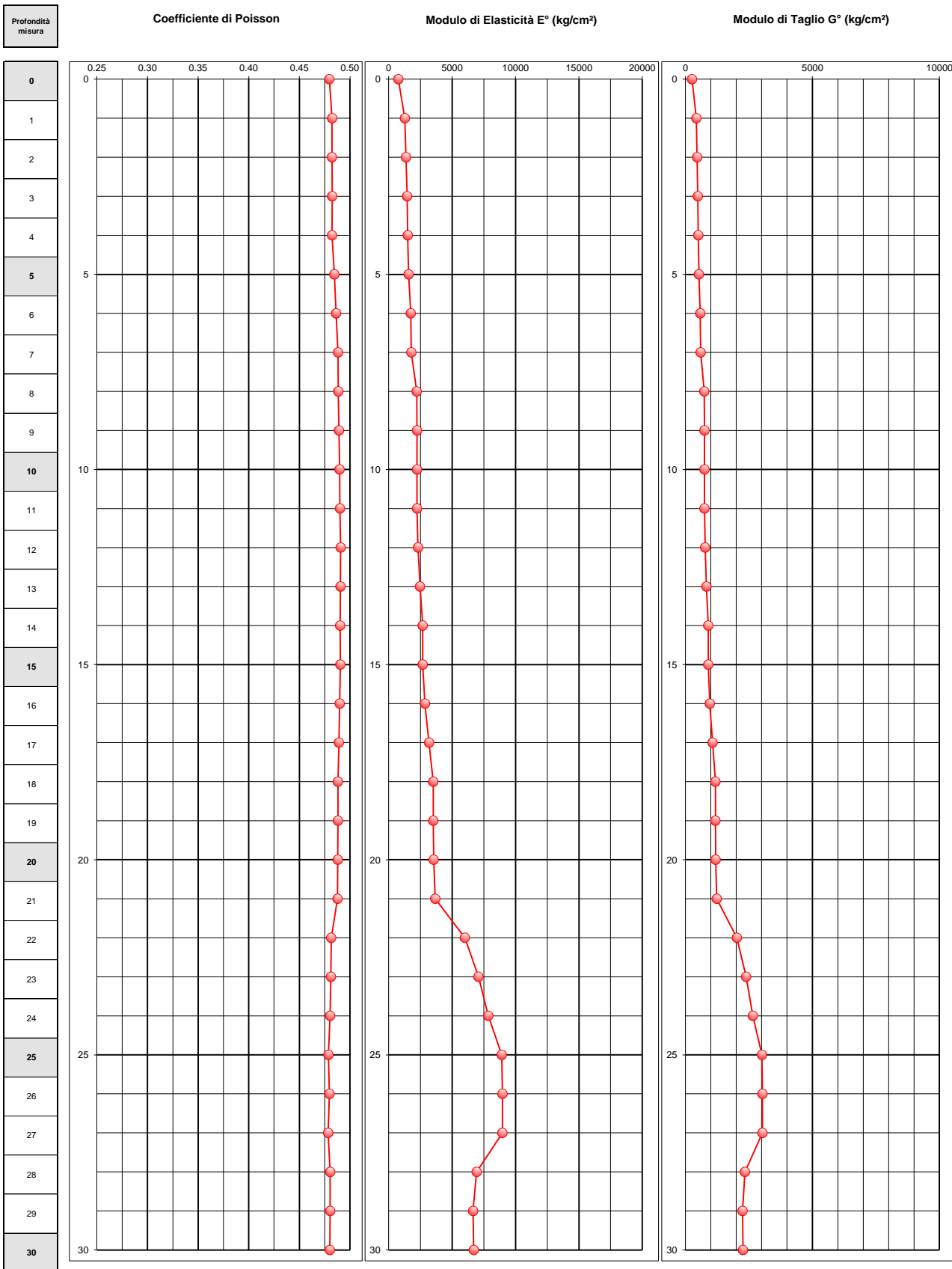
COMMITTENTE
DOWN HOLE
Località
Data acquisizione

CAVIRO
S1
Faenza (RA)
3 Settembre 2020

LOG DEI PARAMETRI ELASTICI
Progressivo
Distanza bocca foro - shot = 2 m



Stratigrafia sintetica



Da 0.00 a 1.30 m Limo argilloso sabbioso con macerie.
Da 1.30 m a 2.50 m Limo sabbioso passante a sabbia debolmente limosa. Presenti saltuari livelli centimetrici di argilla limosa.
Da 7.50 m a 11.20 m Argilla debolmente limosa e saltuari livelli centimetrici di sabbia limosa.
Da 11.20 m a 15.40 m Sabbia debolmente limosa passante a limo debolmente sabbioso e limo argilloso.
Da 15.40 m a 20.90 m Limo argilloso e sabbioso passante, con passaggio graduale, a sabbia debolmente limosa.
Da 20.90 m a 26.80 m Sabbia di colore grigio e gialla, con clasti, da arrotondati a subarrotondati.
Da 26.80 m a 30.00 m Limo sabbioso argilloso passante a sabbia e limo.

Fig. 10

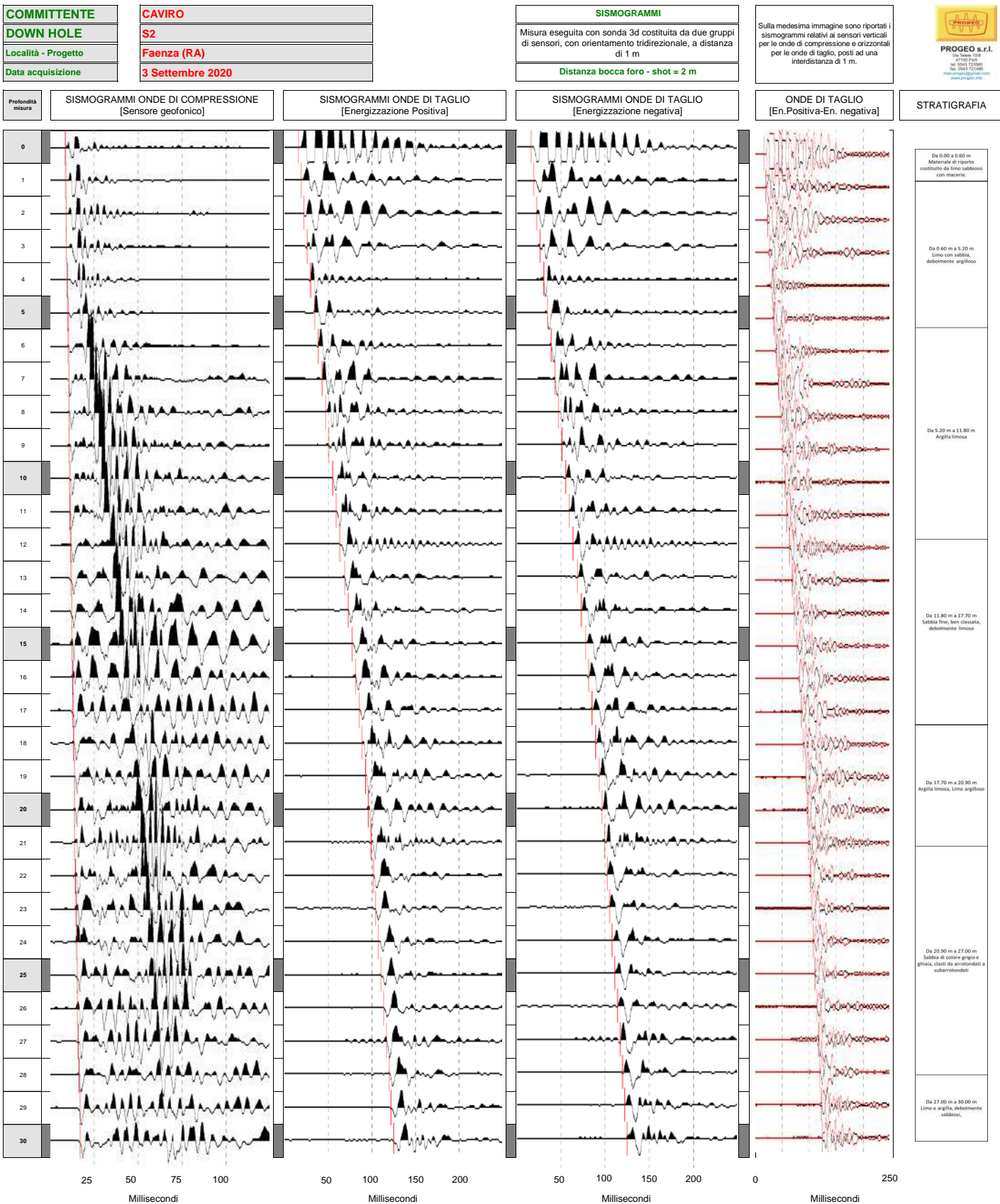


Fig. 7

COMMITTENTE	CAIRO
DOWN HOLE	S2
Località - Progetto	Faenza (RA)
Data acquisizione	3 Settembre 2020



Profondità misura	Tempi		Vp msec	Vs Km/sec.	γ T/m³	Edin Kg/cm²	Gdin Kg/cm²	Kdin Kg/cm²	STRATIGRAFIA
	Onde p msec	Onde s msec							
0	3.33	10.00	0.65	0.15	0.47	1.55	1093	372	6274
1	3.85	13.36	0.77	0.16	0.48	1.58	1280	434	8951
2	4.40	16.63	0.90	0.17	0.48	1.60	1462	494	12452
3	4.94	20.10	0.97	0.18	0.48	1.61	1594	538	14664
4	5.51	24.09	1.09	0.19	0.48	1.63	1746	588	18892
5	6.15	28.27	1.30	0.19	0.49	1.64	1829	614	27550
6	6.63	32.87	1.44	0.20	0.49	1.65	1980	664	34175
7	7.16	37.14	1.58	0.21	0.49	1.67	2143	718	41390
8	7.65	41.36	1.68	0.22	0.49	1.69	2452	822	47509
9	8.16	45.03	1.68	0.22	0.49	1.70	2510	842	47609
10	8.69	49.15	1.68	0.22	0.49	1.70	2564	860	47701
11	9.16	53.02	1.68	0.21	0.49	1.68	2333	782	47292
12	9.64	57.65	1.71	0.22	0.49	1.69	2418	810	49392
13	10.16	62.62	1.75	0.22	0.49	1.69	2472	828	51480
14	10.70	67.15	1.78	0.23	0.49	1.72	2779	932	54088
15	11.34	71.77	1.78	0.23	0.49	1.72	2797	938	54120
16	11.77	75.52	1.78	0.23	0.49	1.72	2842	953	54199
17	12.32	79.27	1.78	0.24	0.49	1.72	2917	978	54327
18	12.81	83.02	1.78	0.24	0.49	1.74	3137	1052	54682
19	13.39	86.90	1.79	0.25	0.49	1.76	3465	1163	55544
20	13.95	90.40	1.76	0.26	0.49	1.77	3689	1239	54479
21	14.46	93.44	1.75	0.28	0.49	1.80	4201	1412	54085
22	15.04	96.02	1.76	0.31	0.48	1.84	5222	1759	55838
23	15.63	98.81	1.85	0.33	0.48	1.87	6112	2060	62485
24	16.24	101.74	1.93	0.36	0.48	1.91	7365	2484	69282
25	17.03	104.79	1.96	0.38	0.48	1.94	8256	2788	71757
26	17.64	108.06	1.90	0.37	0.48	1.93	8076	2728	67404
27	18.32	111.02	1.86	0.37	0.48	1.93	8026	2713	64420
28	18.93	113.65	1.79	0.34	0.48	1.90	6783	2291	58598
29	19.73	116.24	1.68	0.34	0.48	1.88	6385	2158	51006
30	20.62	119.00	1.63	0.33	0.48	1.88	6188	2093	48315

Legenda parametri dinamici									
Tp	Tempi onde di compresi: millisecondi	γ	Peso di volume	T/m³					
Ts	Tempi onde di taglio: millisecondi	Edin	Modulo di Elasticità dinamico	Kg/cm					
Vp	Velocità onde di compre Km/sec	Gdin	Modulo di Taglio dinamico	Kg/cm					
Vs	Velocità onde di taglio Km/sec	Kdin	Modulo di Compressibilità dinamico	Kg/cm					
v	Coefficiente di Poisson	i	Campioni di laboratorio						

Metodologia Down Hole
Differenziale
Progressivo
Distanza bocca foro - shot = 2 m

Falda = 4.80

Vp Km/sec.	Vs Km/sec.	γ T/m³	Edin Kg/cm²	Gdin Kg/cm²	Kdin Kg/cm²	PARAMETRI INTERVALLARI MEDI			STIMA DEGLI ERRORI										
						0.65	0.15	0.47	1.55	1093.29	371.62	6274.48	0.64	0.65	0.67	0.015	0.15	0.15	0.16
0.65	0.15	0.47	1.55	1093.29	371.62	6274.48	0.75	0.77	0.78	0.015	0.16	0.16	0.17	0.004					
0.93	0.18	0.48	1.60	1520.68	513.36	13739.95	0.90	0.90	0.90	0.002	0.17	0.17	0.18	0.002					
1.58	0.21	0.49	1.67	2258.53	757.42	41889.38	1.63	1.68	1.71	0.040	0.21	0.22	0.22	0.003					
1.76	0.23	0.49	1.71	2703.95	906.47	52934.33	1.73	1.78	1.81	0.040	0.22	0.23	0.24	0.007					
1.77	0.26	0.49	1.77	3622.99	1216.73	54697.52	1.75	1.79	1.81	0.028	0.25	0.25	0.26	0.006					
1.88	0.35	0.48	1.90	7176.04	2421.93	65197.67	1.86	1.90	1.94	0.040	0.36	0.37	0.38	0.010					
1.70	0.34	0.48	1.88	6452.24	2180.50	52639.60	1.77	1.79	1.80	0.016	0.34	0.34	0.35	0.005					
1.67	1.68	1.68	1.68	0.009	0.33	0.34	1.62	1.63	1.64	0.010	0.33	0.33	0.33	0.008					
1.62	1.63	1.64	1.64	0.010	0.33	0.33	1.62	1.63	1.64	0.010	0.33	0.33	0.33	0.002					

CLASSIFICAZIONE SISMICA DEI SUOLI (NORME TECNICHE PER LE COSTRUZIONI - D.M. del 17 gennaio 2018)									
Quota Vs=800 m/sec	>	30	m						
Vs _{eq}	=	H							
		Σ h _i							
Vs _{eq}	=		230	m/sec					
G _{eq}	=		1099	Kg/cm²					
CATEGORIA SUOLO	=		C						

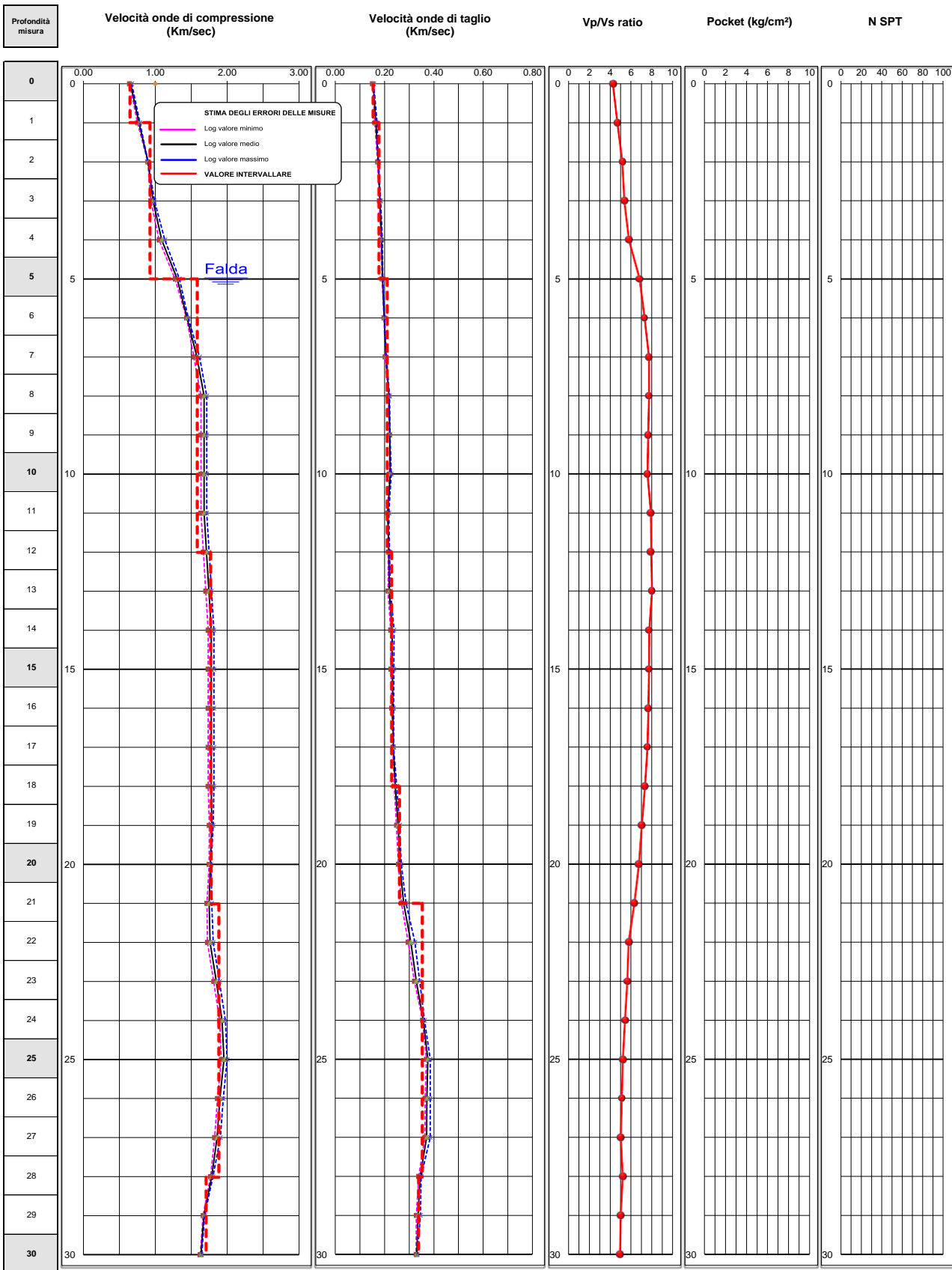
COMMITTENTE
DOWN HOLE
Località
Data acquisizione

CAVIRO
S2
Faenza (RA)
3 Settembre 2020

LOG DEI PARAMETRI ELASTICI
Progressivo
Distanza bocca foro - shot = 2 m



Stratigrafia sintetica



Da 0.00 a 0.60 m Materiale di riporto costituito da limo sabbioso con macerie.
Da 0.60 m a 5.20 m Limo con sabbia, debolmente argilloso
Da 5.20 m a 11.80 m Argilla limosa
Da 11.80 m a 17.70 m Sabbia fine, ben classata, debolmente limosa
Da 17.70 m a 20.90 m Argilla limosa, Limo argilloso
Da 20.90 m a 27.00 m Sabbia, sabbie grigie e ghiaccio, clasti da arrotondati a subarrotondati
Da 27.00 m a 30.00 m Limo e argilla, debolmente sabbiosi,

Fig. 9

COMMITTENTE
DOWN HOLE
Località
Data acquisizione

CAVIRO
S2
Faenza (RA)
3 Settembre 2020

LOG DEI PARAMETRI ELASTICI
Progressivo
Distanza bocca foro - shot = 2 m



Stratigrafia sintetica

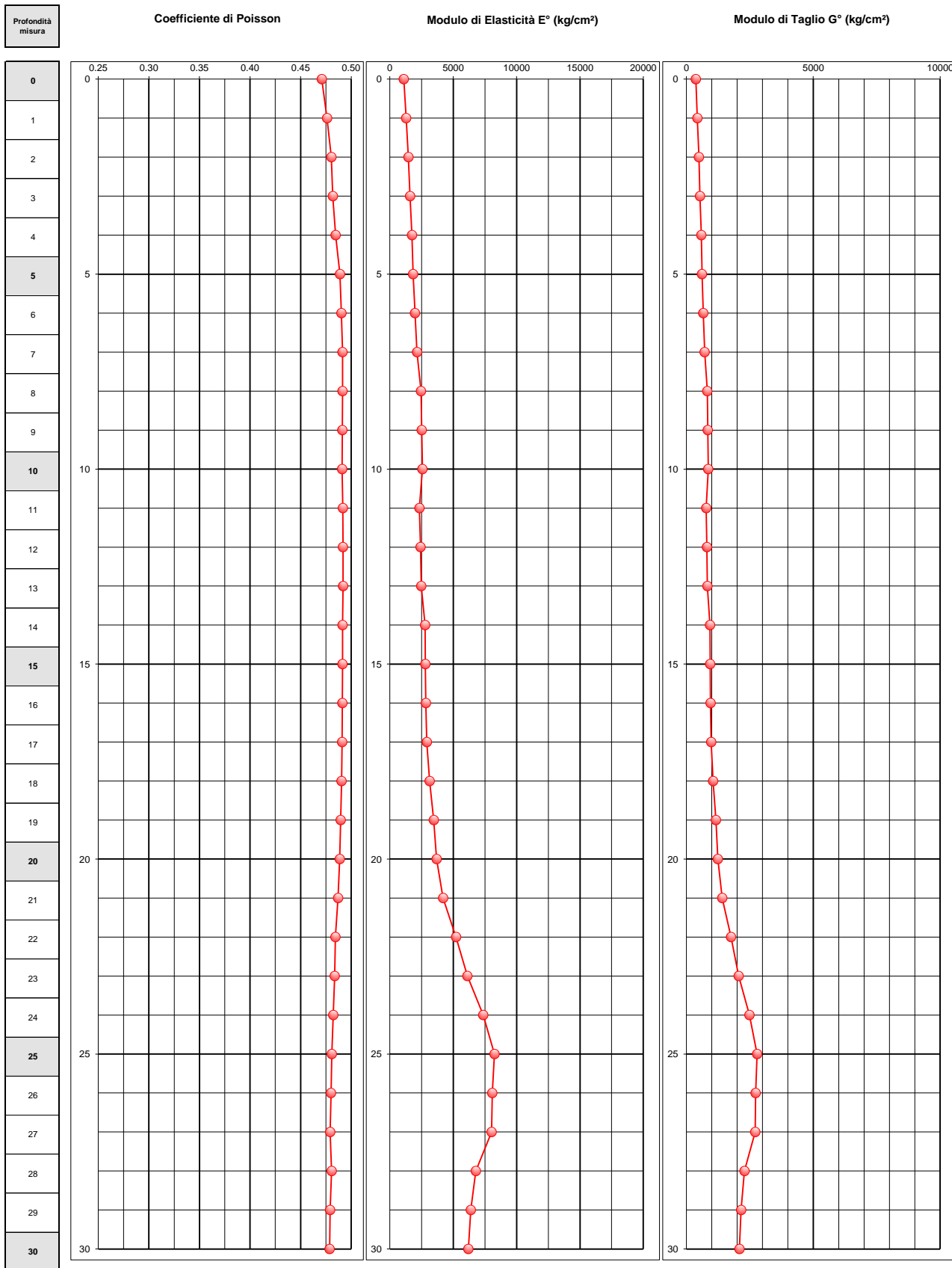


Fig. 10

Comune
Via
Localita'
Committente
Data

Faenza
Convertite
Stabilimento CAVIRO
ENOMONDO
18-ago-20

Falda

3.20 m

Sigla della Punta
Azzeramento
Ultimo taratura guadagno
Ultimo taratura per deriva termica

Tecnopenta 100707
Inizio prova
14-ago-2020
14-ago-2020

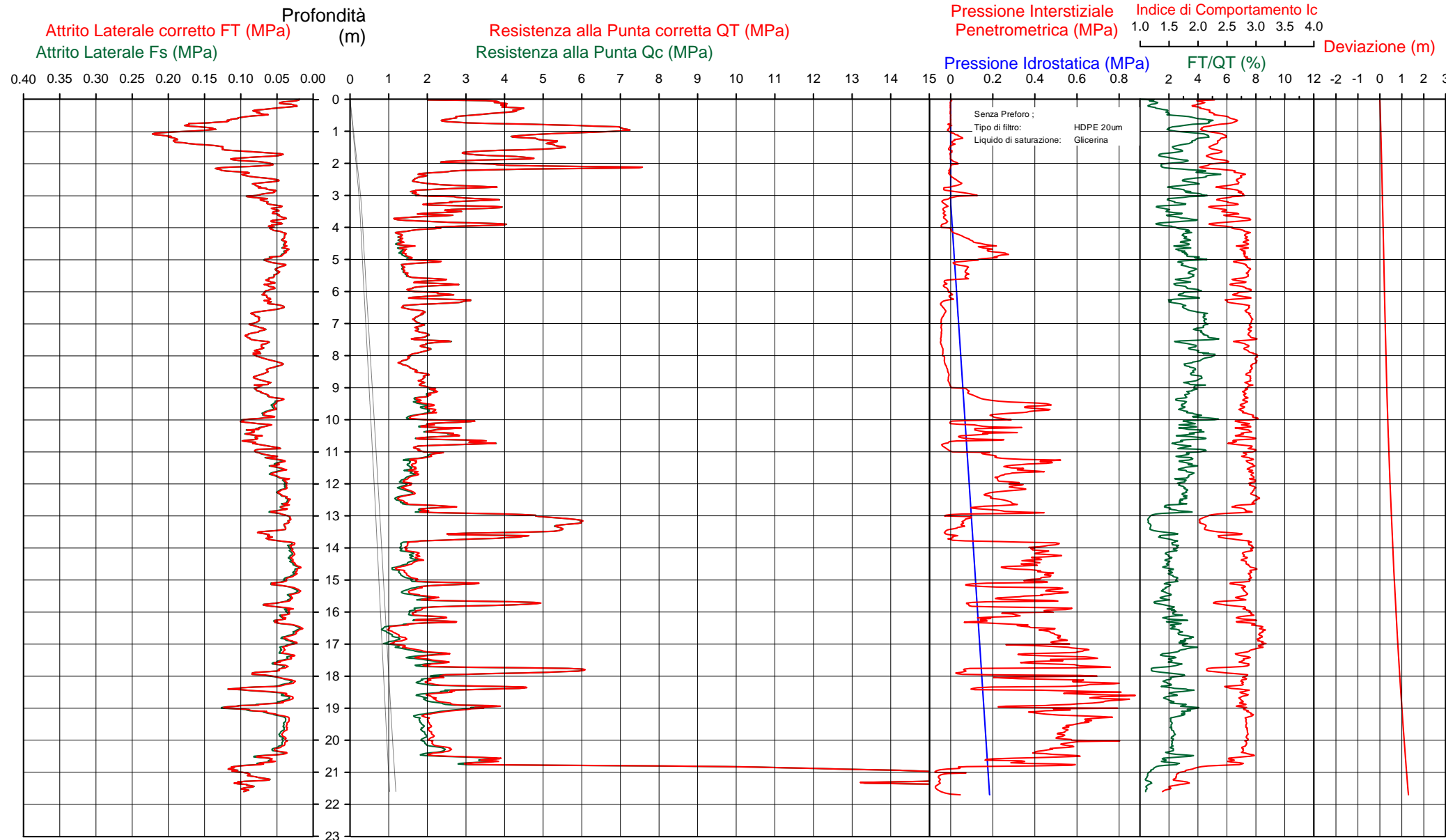


Società di
Geologia
Territoriale

S.G.T. sas
di Van Zutphen Albert & C.
www.geo55.com

CPTU

10



qt daN/cmq	Qc1N Idriss & Boulanger 2004	ft	FT/Qnet	lc	Litologia Idriss iterazione basato su Fr vs Qc1N	H m	Litologia grafica	Falda	Addensamento (Sabbia) Consistenza (Argilla)	Densità Relativa Tatsuoka 1990 %	Angolo Attrito ϕ' Kulhawy & Mayne 1990 %	Coesione non drenato Cu Benassi daN/cmq	OCR Marchi / SGT	Modulo Edometrico M Benassi daN/cmq	Velocità Vs Robertson & Cabal 2009 m/sec
						0.00									
33.8	57.4	0.31	0.9	2.09	sabbia limosa-limo sabbioso	0.10	::: :::		Mediamente Addensata	48.7	45.3	-	-	108.4	151
41.0	69.7	0.38	0.9	2.00	sabbia-sabbia limosa	0.30	::: :::		Mediamente Addensata	55.1	43.2	-	-	131.4	157
35.1	59.6	0.82	2.5	2.33	sabbia limosa-limo sabbioso	0.60	::: :::		Mediamente Addensata	49.9	40.5	-	-	169.5	178
24.5	41.6	1.16	4.8	2.65	limo argilloso-argilla limosa	0.70	::: :::		Solido-plastica (Duro)	-	-	1.21	45.87	140.2	183
39.2	66.6	1.59	4.2	2.48	sabbia limosa-limo sabbioso	0.80	::: :::		Mediamente Addensata	53.6	39.8	-	-	226.3	208
68.7	115.7	1.55	2.3	2.11	sabbia limosa-limo sabbioso	1.00	::: :::		Addensata	71.8	42.0	-	-	312.2	218
55.4	94.1	2.12	3.9	2.35	sabbia densa a sabbia argillosa	1.10	::: :::		fortemente sovraconsolidato	65.0	40.6	-	-	320.8	227
44.4	71.5	1.20	2.7	2.31	sabbia limosa-limo sabbioso	2.20	::: :::		Mediamente Addensata	55.9	38.4	-	-	235.4	194
20.3	32.0	0.80	4.0	2.68	limo argilloso-argilla limosa	2.70	::: :::		Solido-plastica (Duro)	-	-	1.08	12.10	117.4	167
31.7	44.7	0.71	2.3	2.42	sabbia limosa-limo sabbioso	2.80	::: :::		Mediamente Addensata	40.4	35.6	-	-	145.9	178
17.2	25.2	0.62	3.7	2.73	limo argilloso-argilla limosa	3.00	::: :::		Plastica	-	-	0.97	7.14	99.9	159
30.3	40.5	0.75	2.6	2.48	sabbia limosa-limo sabbioso	3.20	::: :::		Mediamente Addensata	37.2	35.1	-	-	155.9	180
21.7	29.3	0.61	2.9	2.62	limo argilloso-argilla limosa	3.30	::: :::		Solido-plastica (Duro)	-	-	1.13	8.06	123.0	167
28.1	36.7	0.51	2.0	2.43	sabbia limosa-limo sabbioso	3.60	::: :::		Sciolti	33.9	34.6	-	-	116.0	167
16.7	22.3	0.46	3.1	2.73	limo argilloso-argilla limosa	3.80	::: :::		Plastica	-	-	0.95	6.85	97.9	155
30.8	38.7	0.53	1.9	2.40	sabbia limosa-limo sabbioso	4.00	::: :::		Mediamente Addensata	35.7	34.9	-	-	123.4	173
14.4	18.3	0.43	3.2	2.80	limo argilloso-argilla limosa	5.00	::: :::		Plastica	-	-	0.86	5.91	84.0	150
21.2	25.4	0.62	3.1	2.68	limo argilloso-argilla limosa	5.10	::: :::		Solido-plastica (Duro)	-	-	1.11	6.08	128.2	170
14.9	17.8	0.49	3.6	2.84	limo argilloso-argilla limosa	5.60	::: :::		Plastica	-	-	0.88	3.97	86.9	156
22.3	25.6	0.61	2.9	2.67	limo argilloso-argilla limosa	5.80	::: :::		Solido-plastica (Duro)	-	-	1.15	5.64	127.0	173
19.0	21.5	0.63	3.6	2.78	limo argilloso-argilla limosa	6.20	::: :::		Plastica	-	-	1.04	4.56	110.7	169
27.0	29.7	0.62	2.5	2.57	sabbia limosa-limo sabbioso	6.30	::: :::		Sciolti	26.9	33.7	-	-	131.6	179
18.6	19.6	0.73	4.3	2.86	limo argilloso-argilla limosa	7.90	::: :::		Plastica	-	-	1.02	5.51	107.3	174
14.6	14.4	0.63	4.7	2.99	argilla-argilla limosa	8.30	::: :::		Plastica	-	-	0.86	3.27	83.5	165
18.1	17.4	0.68	4.1	2.89	limo argilloso-argilla limosa	9.00	::: :::		Plastica	-	-	1.01	2.97	104.9	175
21.5	20.1	0.74	3.7	2.81	limo argilloso-argilla limosa	9.20	::: :::		Solido-plastica (Duro)	-	-	1.12	4.01	124.5	183
18.6	17.2	0.52	3.1	2.81	limo argilloso-argilla limosa	9.50	::: :::		Plastica	-	-	1.02	3.63	111.0	168
21.1	19.3	0.57	2.9	2.76	limo argilloso-argilla limosa	9.80	::: :::		Solido-plastica (Duro)	-	-	1.11	3.70	120.9	175
17.0	15.3	0.70	4.6	2.96	argilla-argilla limosa	10.00	::: :::		Plastica	-	-	0.96	3.01	98.0	176

Data
Cantiere / Via
Località
Comune
Profondità falda idrica m.

18 agosto 2020
Convertite
Stabilimento CAVIRO
Faenza
3.20

qt daN/cmq	Qc1N Idriss & Boulanger 2004	ft daN/cmq	FT/Qnet %	lc Idriss iterazio ne	Litologia Idriss iterazione basato su Fr vs Qc1N	H m	Litologia grafica	Falda idrica	Addensamento (Sabbia) Consistenza (Argilla)	Densità Relativa	Angolo Attrito ϕ	Coesione non drenato Cu	OCR	Modulo Edometrico M	Velocità Vs
						0.00									
24.2	21.5	0.80	3.7	2.79	limo argilloso-argilla limosa	10.50	=:::=-=:::		Solido-plastica (Duro)	-	-	1.21	4.82	140.6	189
19.8	17.2	0.78	4.5	2.92	limo argilloso-argilla limosa	10.60	=:::=-=:::		Plastica	-	-	1.06	3.26	113.8	185
31.1	27.2	0.83	2.9	2.64	limo argilloso-argilla limosa	10.80	=:::=-=:::		Semi solida (Molto duro)	-	-	1.39	5.13	174.0	199
17.6	14.9	0.66	4.2	2.94	limo argilloso-argilla limosa	11.00	=:::=-=:::		Plastica	-	-	0.98	2.72	101.4	175
21.2	17.9	0.63	3.3	2.82	limo argilloso-argilla limosa	11.20	=:::=-=:::		Solido-plastica (Duro)	-	-	1.11	3.53	123.6	180
15.4	12.4	0.43	3.2	2.94	limo argilloso-argilla limosa	12.60	=:::=-=:::		Plastica	-	-	0.90	2.45	89.9	161
20.4	16.0	0.44	2.5	2.78	limo argilloso-argilla limosa	12.90	=:::=-=:::		Solido-plastica (Duro)	-	-	1.09	2.74	100.3	171
48.2	39.7	0.36	0.8	2.19	sabbia limosa-limo sabbioso	13.10	::::=::::=:::: =		Mediamente Addensata	36.5	35.3	-	-	152.6	186
59.8	49.9	0.33	0.6	2.03	sabbia-sabbia limosa	13.20	::::=::::=:::: =		Mediamente Addensata	44.0	36.3	-	-	184.0	189
54.5	44.8	0.44	0.9	2.15	sabbia limosa-limo sabbioso	13.50	::::=::::=:::: =		Mediamente Addensata	40.5	35.8	-	-	173.2	194
31.2	24.4	0.67	2.4	2.63	limo argilloso-argilla limosa	13.60	=:::=-=:::		Semi solida (Molto duro)	-	-	1.39	4.20	148.5	196
42.6	34.0	0.61	1.5	2.39	sabbia limosa-limo sabbioso	13.70	::::=::::=:::: =		Sciolta	31.4	34.6	-	-	155.3	200
17.8	13.3	0.37	2.4	2.86	limo argilloso-argilla limosa	14.00	=:::=-=:::		Plastica	-	-	0.99	3.18	84.9	161
16.8	12.2	0.28	2.0	2.83	limo argilloso-argilla limosa	14.50	=:::=-=:::		Plastica	-	-	0.95	1.90	69.3	155
14.5	10.2	0.26	2.2	2.91	limo argilloso-argilla limosa	15.00	=:::=-=:::		Plastica	-	-	0.86	1.77	63.3	149
24.2	17.5	0.46	2.2	2.73	limo argilloso-argilla limosa	15.20	=:::=-=:::		Solido-plastica (Duro)	-	-	1.21	2.88	107.4	180
18.0	12.6	0.26	1.7	2.78	limo argilloso-argilla limosa	15.60	=:::=-=:::		Plastica	-	-	1.00	2.14	68.2	156
38.1	28.3	0.49	1.5	2.46	sabbia limosa-limo sabbioso	15.80	::::=::::=:::: =		Sciolta	25.3	33.8	-	-	136.6	194
18.4	12.6	0.37	2.4	2.86	limo argilloso-argilla limosa	16.10	=:::=-=:::		Plastica	-	-	1.01	2.50	86.6	166
21.2	14.5	0.43	2.5	2.82	limo argilloso-argilla limosa	16.40	=:::=-=:::		Solido-plastica (Duro)	-	-	1.11	2.71	102.2	175
12.7	8.2	0.29	3.0	3.07	argilla-argilla limosa	17.20	=:::=-=:::		Plastica	-	-	0.78	1.24	73.6	148
21.3	14.0	0.38	2.1	2.79	limo argilloso-argilla limosa	17.70	=:::=-=:::		Solido-plastica (Duro)	-	-	1.12	2.46	92.4	172
52.6	37.9	0.54	1.1	2.28	sabbia limosa-limo sabbioso	17.90	::::=::::=:::: =		Sciolta	35.0	35.1	-	-	174.9	205
23.2	15.1	0.44	2.2	2.77	limo argilloso-argilla limosa	18.30	=:::=-=:::		Solido-plastica (Duro)	-	-	1.18	2.92	102.0	177
42.4	29.1	0.90	2.3	2.55	sabbia limosa-limo sabbioso	18.40	::::=::::=:::: =		Sciolta	26.3	34.1	-	-	194.8	217
23.8	15.1	0.48	2.3	2.78	limo argilloso-argilla limosa	18.90	=:::=-=:::		Solido-plastica (Duro)	-	-	1.19	2.81	107.9	180
35.5	23.4	1.13	3.6	2.75	limo argilloso-argilla limosa	19.00	=:::=-=:::		Semi solida (Molto duro)	-	-	1.49	3.63	206.5	223
22.8	13.9	0.46	2.4	2.83	limo argilloso-argilla limosa		=:::=-=:::		Solido-plastica (Duro)	-	-	1.17	2.78	107.9	180

Data
Cantiere / Via
Località
Comune
Profondità falda idrica m.

18 agosto 2020
Convertite
Stabilimento CAVIRO
Faenza
3.20

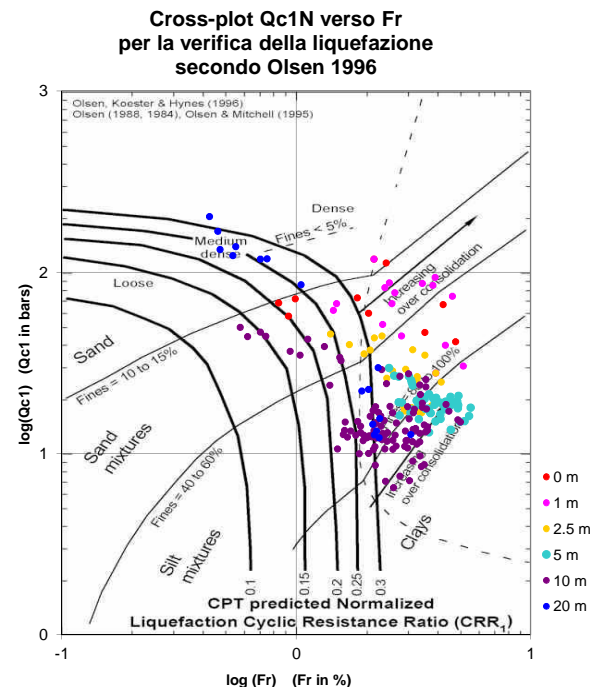
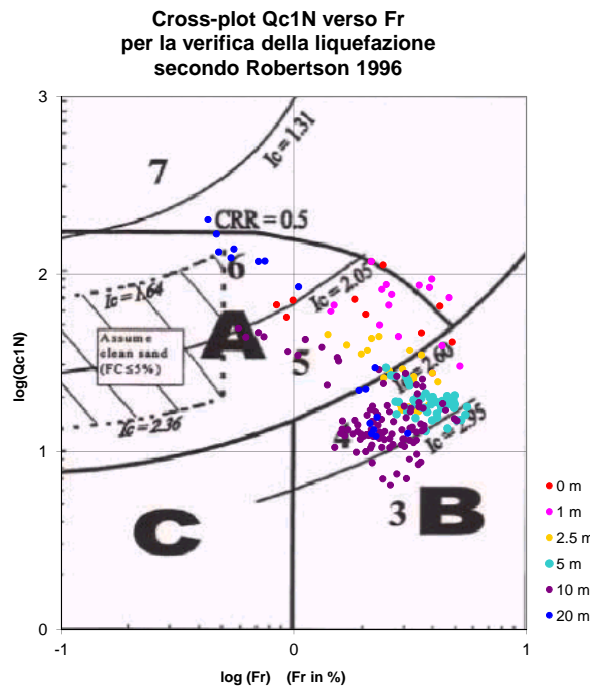
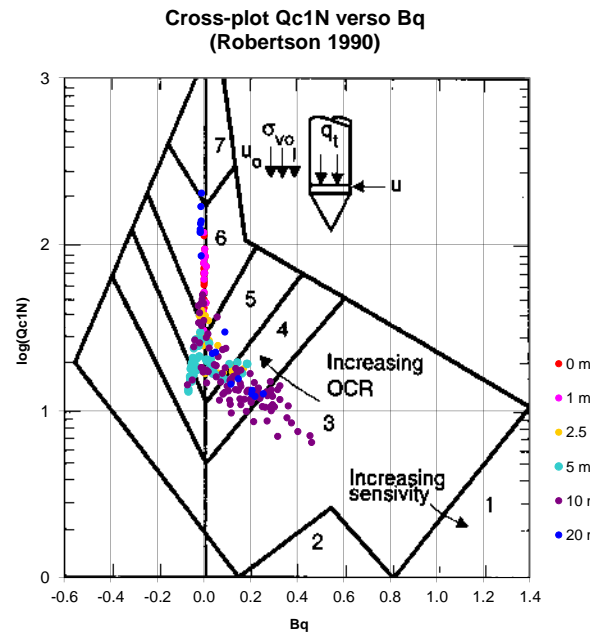
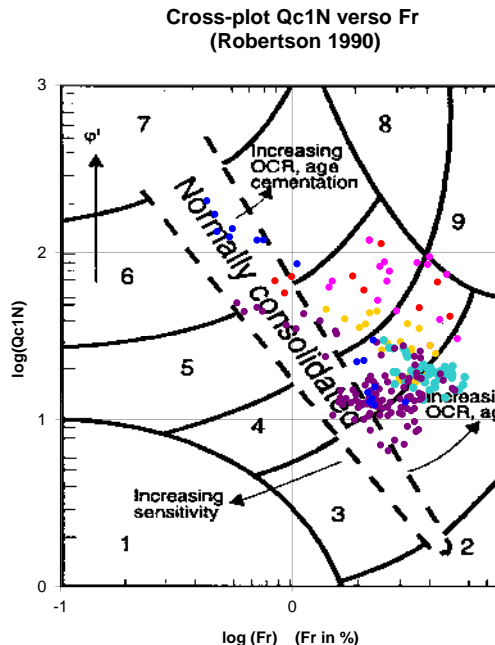
qt daN/cmq	Qc1N Idriss & Boulanger 2004	ft daN/cmq	FT/Qnet %	lc Idriss iterazio	Litologia Idriss iterazione basato su Fr vs Qc1N	H m	Litologia grafica idrica	Falda	Addensamento (Sabbia) Consistenza (Argilla)	Densità Relativa Tatsuoka 1990	Angolo Attrito ϕ Kulhawy & Mayne 1990	Coesione non drenato Cu Benassi daN/cmq	OCR Marchi / SGT Benassi daN/cmq	Modulo Edometrico M Robertson & Caball 2009 m/sec	Velocità Vs m/sec
						0.00	=:::=-:::=								
						20.60	=:::=-:::=								
40.5	26.1	0.70	2.1	2.58	sabbia limosa-limo sabbioso	20.80=.....		Sciolta	22.7	33.6	.	.	171.8	214
155.0	126.9	0.93	0.6	1.71	sabbia-sabbia limosa	21.50=.....		Addensata	74.9	40.0	.	.	479.7	249
226.1	203.7	0.94	0.4	1.44	sabbia-sabbia limosa	=.....		Molto addensato	>90	41.7	.	.	686.9	257

Comune
Via
Localita'
Committente
Data

Faenza
Convertite
Stabilimento CAVIRO
ENOMONDO
18-agosto-20

Numero prova
Quota falda

10
3.20



Litotipo secondo Robertson 1990

Zone	Tipo di comportamento
9	Terreni molto duri a grana fine
8	Sabbia molto densa e sabbia argillosa
7	Sabbia ghiosa – sabbia densa
6	Sabbia – sabbia limosa
5	Sabbia limosa – limo sabbioso
4	Limo argilloso – argilla limosa
3	Argilla limoso – argilla
2	Torba
1	Terreni fini sensiti

Potenziale di liquefabilità

Zone A	Liquefazione ciclica possibile - dipendente da ampiezza e tempo del carico ciclico.
Zone B	Liquefazione improbabile.
Zone C	Liquefazione fluida e liquefazione ciclica possibile - dipendente da plasticità e sensitività, da ampiezza e tempo del carico ciclico.

Comune
Via
Localita'
Committente

Faenza
Convertite
Stabilimento CAVI
ENOMONDO

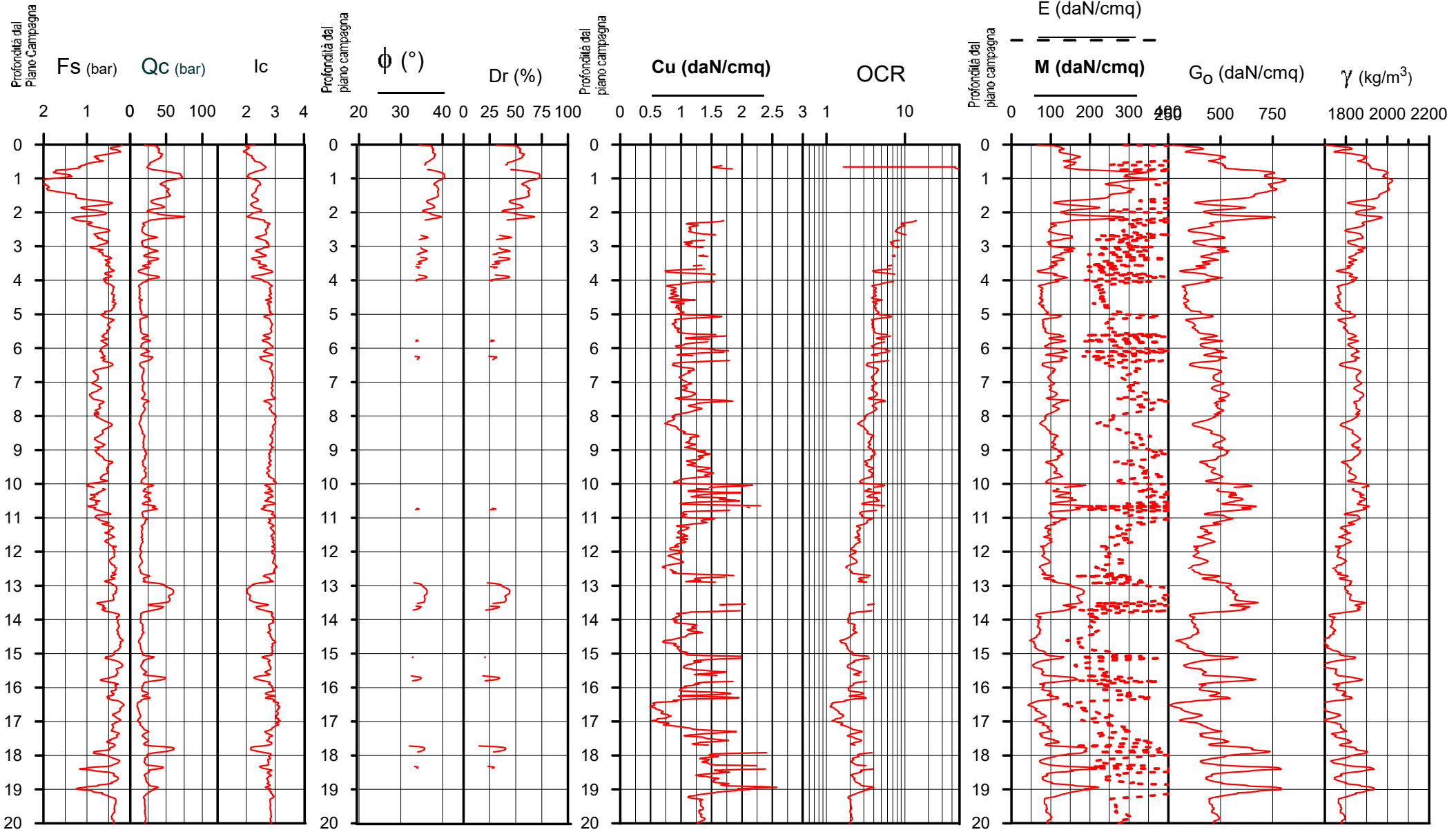
PARAMETRI GEOTECNICI

CPT 10



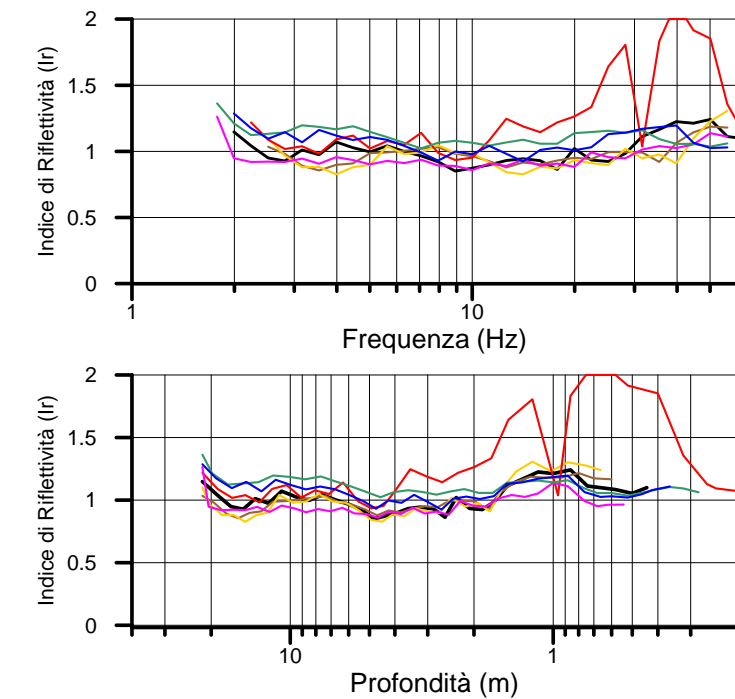
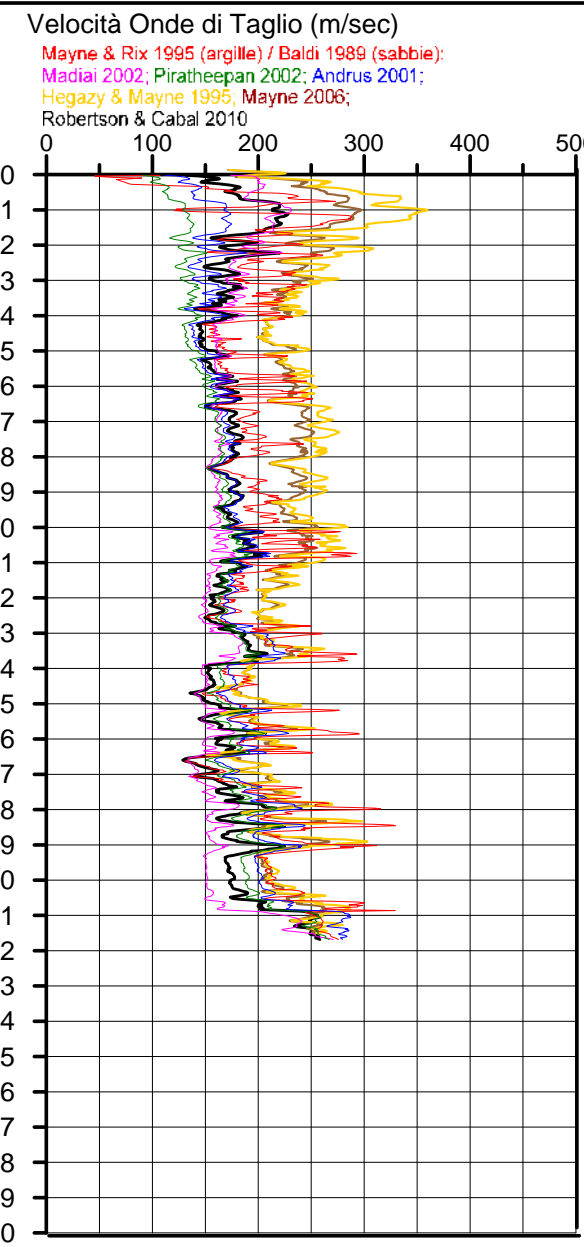
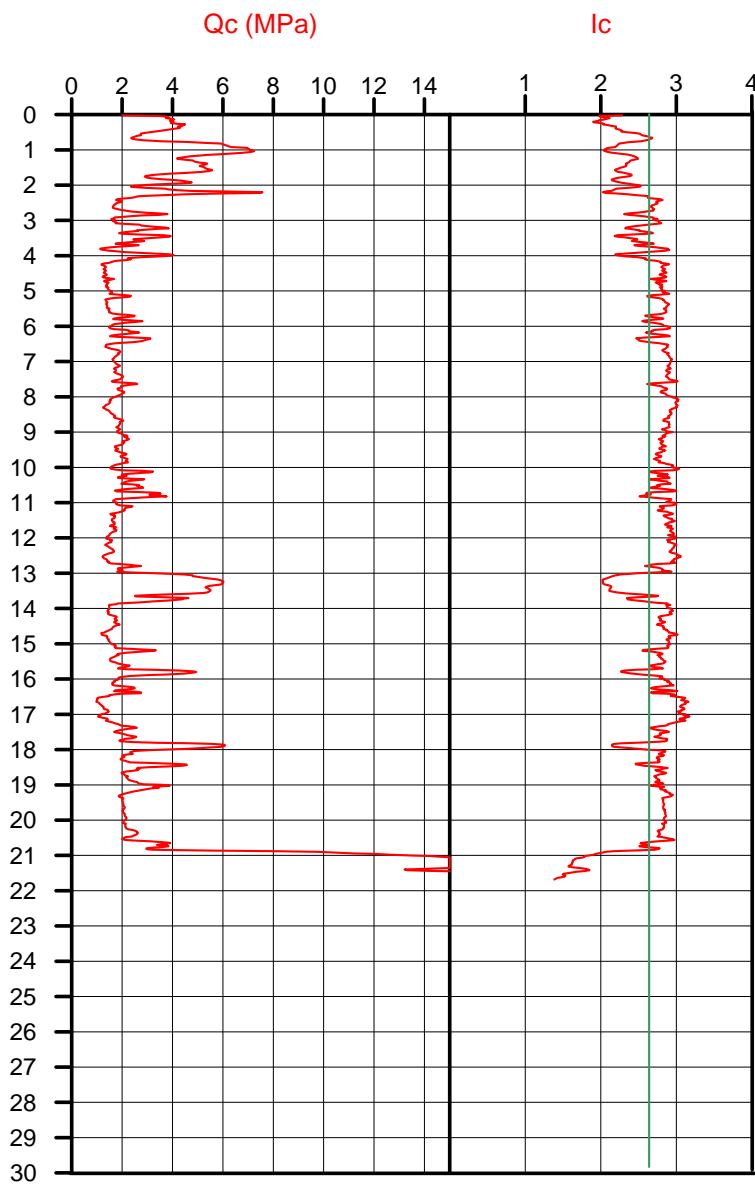
Società di
Geologia
Territoriale

S.G.T. sas
di Van Zutphen Albert & C.
Via Matteotti 50
48012 Bagnacavallo (RA)
www.geo55.com



Comune Faenza
Via Convertite
Localita' Stabilimento CAVIRO

CPT 10

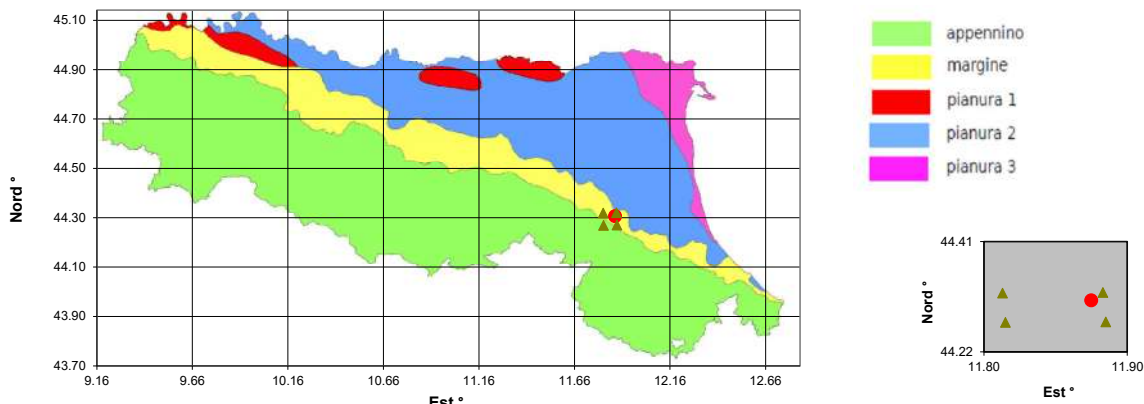


Autore	Vs21.7
Andrus et.al. 2001SF = 1	176
Piratheepan 2002	162
Madai 2002	165
Mayne & Rix 1995 (clays) / Baldi 1989 (sands)	195
Hegazy & Mayne 1995	221
Mayne 2006	230
Robertson Cabal 2010	173

VALUTAZIONE PARAMETRI SISMICI DEL SITO
 CON RIFERIMENTO AL PROGETTO
 SECONDO LE NTC 2018

Ubicazione del sito

Comune	Faenza
Località	Stabilimento CAVIRO
Longitudine (° decimali)	Google Earth (WSG84) 11.8738
Latitudine (° decimali)	NTC2018 (ED50) 11.8749 44.3088 44.3106



I 4 nodi del reticolo di riferimento per l'azione sismica intorno il punto di interesse

ID	Distanza al punto di interesse di (km)	Longitudine	Latitudine
17626	1.627	11.883	44.324
17848	4.142	11.885	44.274
17625	5.117	11.813	44.323
17847	6.340	11.815	44.273

Tipi di Costruzione

1	Costruzione Temporanee e provvisorie	< = 10	50
2	Costruzioni con livelli di prestazioni ordinari	> = 50	
3	Costruzioni con livelli di prestazioni elevati	> = 100	

Classe d'uso		Coefficiente Cu	Progetto Coefficiente Cu
1	Costruzioni con presenza solo occasionale di persone, edifici agricoli.	0.7	1
2	Costruzioni il cui uso preveda normali affollamenti, senza contenuti pericolosi per l'ambiente e senza funzioni pubbliche e sociali essenziali. Industrie con attività non pericolose per l'ambiente. Ponti, opere infrastrutturali, reti viaarie non ricadenti in Classe d'uso III o in Classe d'uso IV, reti ferroviarie la cui interruzione non provochi situazioni di emergenza. Digue il cui collasso non provochi conseguenze rilevanti.	1	
3	Costruzioni il cui uso preveda affollamenti significativi. Industrie con attività pericolose per l'ambiente. Reti viaarie extraurbane non ricadenti in Classe d'uso IV. Ponti e reti ferroviarie la cui interruzione provochi situazioni di emergenza. Digue rilevanti per le conseguenze di un loro eventuale collasso.	1.5	
4	Costruzioni con funzioni pubbliche o strategiche importanti, anche con riferimento alla gestione della protezione civile in caso di calamità. Industrie con attività particolarmente pericolose per l'ambiente. Reti viaarie di tipo A o B, di cui al DM 5/11/2001, n. 6792, "Norme funzionali e geometriche per la costruzione delle strade", e di tipo C quando appartenenti ad itinerari di collegamento tra capoluoghi di provincia non altresì serviti da strade di tipo A o B. Ponti e reti ferroviarie di importanza critica per il mantenimento delle vie di comunicazione, particolarmente dopo un evento sismico. Digue connesse al funzionamento di acquedotti e a impianti di produzione di energia elettrica.	2	

Periodo di riferimento per l'azione sismica $V_r = V_n * Cu = 50$ anni

Stati Limiti		Probabilità di superamento nel periodo di riferimento $V_r = 50$ anni Pvr	Periodo di ritorno dell'azione sismica Tr (anni)
SLO	Stato Limite di Operatività	81%	30
SLD	Stato Limite di Danno	63%	50
SLV	Stato Limite di salvaguardia della Vita	10%	475
SLC	Stato Limite di prevenzione del Collasso	5%	975

Valori sismici Decreto Ministeriale 14-01-2018

	a_g (in g/10)	a_g/g	Fo	Tc*
1. STATO LIMITE DI OPERATIVITÀ	0.663	0.066	2.404	0.260
2. STATO LIMITE DEL DANNO	0.846	0.085	2.395	0.270
3. STATO LIMITE SALVAGUARDIA DELLA VITA	2.041	0.204	2.441	0.300
4. STATO LIMITE DI PREVENZIONE DEL COLASSO	2.559	0.256	2.493	0.315

Valori applicati

	a_g (in g/10)	a_g/g	Fo	Tc*
3. STATO LIMITE SALVAGUARDIA DELLA VITA	2.041	0.204	2.441	0.300

Comune
Via
Localita'
Committente

Faenza
Convertite
Stabilimento CAVIRO
ENOMONDO

VALUTAZIONE DEL TIPO DI SUOLO BASATO SU CPT 10

		TIPO DI SUOLO SUGGERITO
Velocità di propagazione onde di taglio Vs (Andrus 2001)	176 m/sec	D
Velocità di propagazione onde di taglio Vs (Piratheepan 2002)	162 m/sec	D
Velocità di propagazione onde di taglio Vs (Madai 2002)	165 m/sec	D
Velocità di propagazione onde di taglio Vs (Mayne & Rix 1995 (argille) / Baldi 1989 (sabbie))	195 m/sec	C
Velocità di propagazione onde di taglio Vs (Hegazy & Mayne 1995)	230 m/sec	C
Velocità di propagazione onde di taglio Vs (Mayne 2006)	221 m/sec	C
Velocità di propagazione onde di taglio Vs (Robertson Cabal 2009) (m/sec)	173 m/sec	D
		TIPO DI SUOLO STIMATO
		C

ACCELERAZIONE ED AMPLIFICAZIONE SECONDO NTC 2018

Accelerazione massima al substrato sismico	amax al substrato sismico	2.041 m/sec ²	0.204 g
Amplificazione per tipo di suolo	C	Ss	1.40
Amplificazione topografica		ST	1.00
S totale		Ss * ST	1.40
Accelerazione massima in superficie		amax in superficie	2.848 m/sec ²
c (%) coefficiente di smorzamento viscoso equivalente	5	fattore 1	1.00

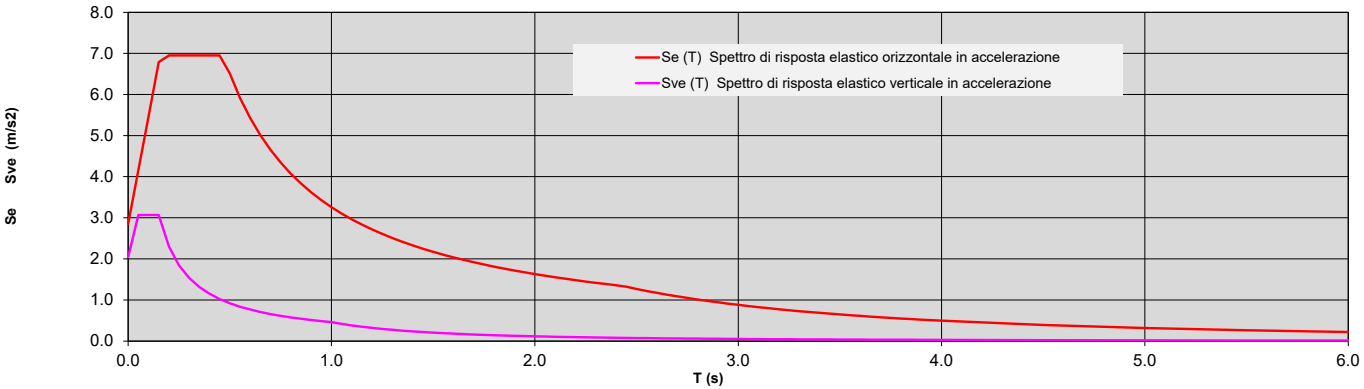
PERIODI DI SEPARAZIONI DEI RAMI DELLO SPETTO

Tipo di suolo	C	ORIZZONTALE	VERTICALE
Tb		0.16	0.05
Tc		0.47	0.15
Td		2.43	1.00
Te		6.00	
Tf		10.00	

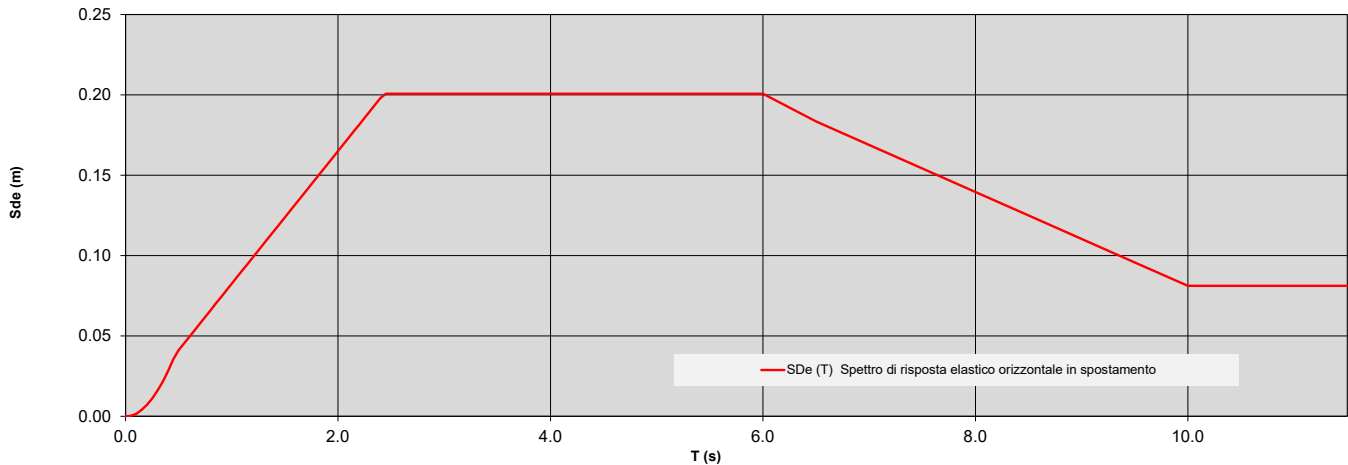
PARAMETRI DI PICCO

Accelerazione orizzontale massima	ag	2.848 m/sec ²
Velocità orizzontale massima	vg	0.21 m/sec
Spostamento orizzontale massimo	dg	0.08 m

Spettro di risposta elastico allo 3. STATO LIMITE SALVAGUARDIA DELLA VITA in accelerazione (m/sec²)



Spettro di risposta elastico allo 3. STATO LIMITE SALVAGUARDIA DELLA VITA in spostamento (m)



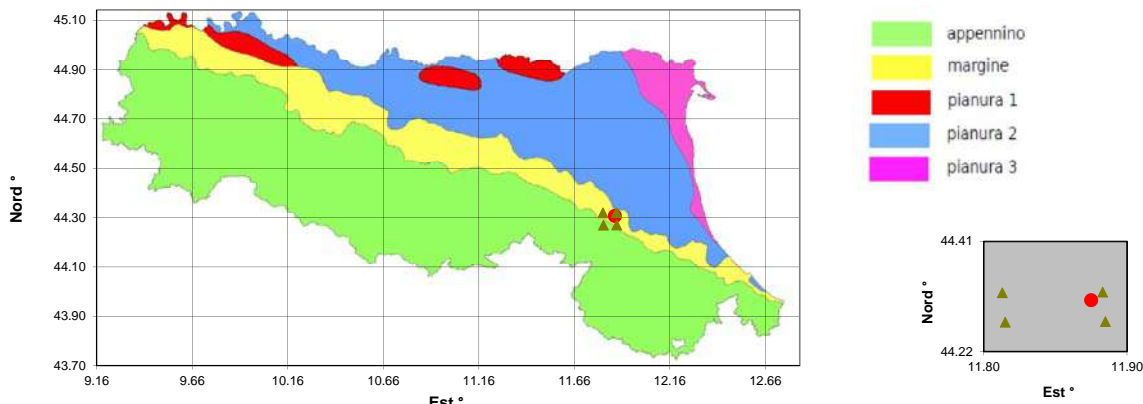
PARAMETRI SISMICI PER CATEGORIA DEL SUOLO C

STATO LIMITE	ag / g	Fo	Tc*	SS Amplificazione Stratigrafica	ST Amplificazione Topografica	ag / g * SS * ST Accelerazione totale	Tb (sec)	Tc (sec)	Td (sec)	Te (sec)	Tf (sec)	Fondazioni e Pendii			Opere di Sostegno		
												β_s Coefficiente di riduzione per a_g/g	K_h terreno Coefficiente sismico orizzontale	K_v terreno Coefficiente sismico verticale	β_s Coefficiente di riduzione per a_g/g	K_h terreno Coefficiente sismico orizzontale	K_v terreno Coefficiente sismico verticale
di Operatività	0.066	2.404	0.260	1.50	1.00	0.099	0.13	0.39	1.87	6.00	10.00	0.20	0.020	0.010	0.18	0.018	0.009
del Danno	0.085	2.395	0.270	1.50	1.00	0.127	0.15	0.44	1.94	6.00	10.00	0.20	0.025	0.013	0.24	0.030	0.015
Salvaguardia della Vita	0.204	2.441	0.300	1.40	1.00	0.286	0.16	0.47	2.42	6.00	10.00	0.28	0.080	0.040	0.31	0.089	0.044
Prevenzione del Collasso	0.256	2.493	0.315	1.32	1.00	0.337	0.16	0.48	2.62	6.00	10.00	0.28	0.094	0.047	0.31	0.105	0.052

VALUTAZIONE PARAMETRI SISMICI DEL SITO
CON RIFERIMENTO AL PROGETTO
SECONDO LE NTC 2018

Ubicazione del sito

Comune	Faenza
Località	Stabilimento CAVIRO
Longitude (° decimali)	Google Earth (WSG84) 11.8738
Latitudine (° decimali)	NTC2018 (ED50) 11.8750 44.3088 44.3106



I 4 nodi del reticolo di riferimento per l'azione sismica intorno il punto di interesse

ID	Distanza al punto di interesse (km)	Longitude	Latitudine
17626	1.624	11.883	44.324
17848	4.143	11.885	44.274
17625	5.119	11.813	44.323
17847	6.343	11.815	44.273

Tipi di Costruzione			
1	Costruzione Temporanee e provvisorie	< = 10	50
2	Costruzioni con livelli di prestazioni ordinari	> = 50	
3	Costruzioni con livelli di prestazioni elevati	> = 100	

Classe d'uso		Coefficiente Cu	Progetto Coefficiente Cu
1	Costruzioni con presenza solo occasionale di persone, edifici agricoli.	0.7	1
2	Costruzioni il cui uso preveda normali affollamenti, senza contenuti pericolosi per l'ambiente e senza funzioni pubbliche e sociali essenziali. Industrie con attività non pericolose per l'ambiente. Ponti, opere infrastrutturali, reti viaarie non ricadenti in Classe d'uso III o in Classe d'uso IV, reti ferroviarie la cui interruzione non provochi situazioni di emergenza. Digue il cui collasso non provochi conseguenze rilevanti.	1	
3	Costruzioni il cui uso preveda affollamenti significativi. Industrie con attività pericolose per l'ambiente. Reti viaarie extraurbane non ricadenti in Classe d'uso IV. Ponti e reti ferroviarie la cui interruzione provochi situazioni di emergenza. Digue rilevanti per le conseguenze di un loro eventuale collasso.	1.5	
4	Costruzioni con funzioni pubbliche o strategiche importanti, anche con riferimento alla gestione della protezione civile in caso di calamità. Industrie con attività particolarmente pericolose per l'ambiente. Reti viaarie di tipo A o B, di cui al DM 5/11/2001, n. 6792, "Norme funzionali e geometriche per la costruzione delle strade", e di tipo C quando appartenenti ad itinerari di collegamento tra capoluoghi di provincia non altresì serviti da strade di tipo A o B. Ponti e reti ferroviarie di importanza critica per il mantenimento delle vie di comunicazione, particolarmente dopo un evento sismico. Digue connesse al funzionamento di acquedotti e a impianti di produzione di energia elettrica.	2	

Periodo di riferimento per l'azione sismica $V_r = V_n * Cu = 50$ anni

Stati Limiti		Probabilità di superamento nel periodo di riferimento $V_r = 50$ anni Pvr	Periodo di ritorno dell'azione sismica Tr (anni)
SLO	Stato Limite di Operatività	81%	30
SLD	Stato Limite di Danno	63%	50
SLV	Stato Limite di salvaguardia della Vita	10%	475
SLC	Stato Limite di prevenzione del Collasso	5%	975

Valori sismici Decreto Ministeriale 14-01-2018

	a_g (in g/10)	a_g/g	Fo	Tc*
1. STATO LIMITE DI OPERATIVITÀ'	0.663	0.066	2.404	0.260
2. STATO LIMITE DEL DANNO	0.846	0.085	2.395	0.270
3. STATO LIMITE SALVAGUARDIA DELLA VITA	2.041	0.204	2.441	0.300
4. STATO LIMITE DI PREVENZIONE DEL COLASSO	2.559	0.256	2.493	0.315

Valori applicati	a_g (in g/10)	a_g/g	Fo	Tc*
2. STATO LIMITE DEL DANNO	0.846	0.085	2.395	0.270

Comune
Via
Località
Committente

Faenza
Convertite
Stabilimento CAVIRO
ENOMONDO

VALUTAZIONE DEL TIPO DI SUOLO BASATO SU CPT 10

		TIPO DI SUOLO SUGGERITO
Velocità di propagazione onde di taglio Vs (Andrus 2001)	176 m/sec	D
Velocità di propagazione onde di taglio Vs (Piratheeepan 2002)	162 m/sec	D
Velocità di propagazione onde di taglio Vs (Madai 2002)	165 m/sec	D
Velocità di propagazione onde di taglio Vs (Mayne & Rix 1995 (argille) / Baldi 1989 (sabbie))	195 m/sec	C
Velocità di propagazione onde di taglio Vs (Hegazy & Mayne 1995)	230 m/sec	C
Velocità di propagazione onde di taglio Vs (Mayne 2006)	221 m/sec	C
Velocità di propagazione onde di taglio Vs (Robertson Cabal 2009) (m/sec)	173 m/sec	D

TIPO DI SUOLO STIMATO
C

ACCELERAZIONE ED AMPLIFICAZIONE SECONDO NTC 2018

Accelerazione massima al substrato sismico		amax al substrato sismico	0.846 m/sec ²	0.085 g
Amplificazione per tipo di suolo	C	S _s	1.50	
Amplificazione topografica		ST	1.00	
S totale		S _s * ST	1.50	
Accelerazione massima in superficie		amax in superficie	1.269 m/sec ²	0.127 g

c (%) coefficiente di smorzamento viscoso equivalente	5	fattore 1	1.00
---	---	-----------	------

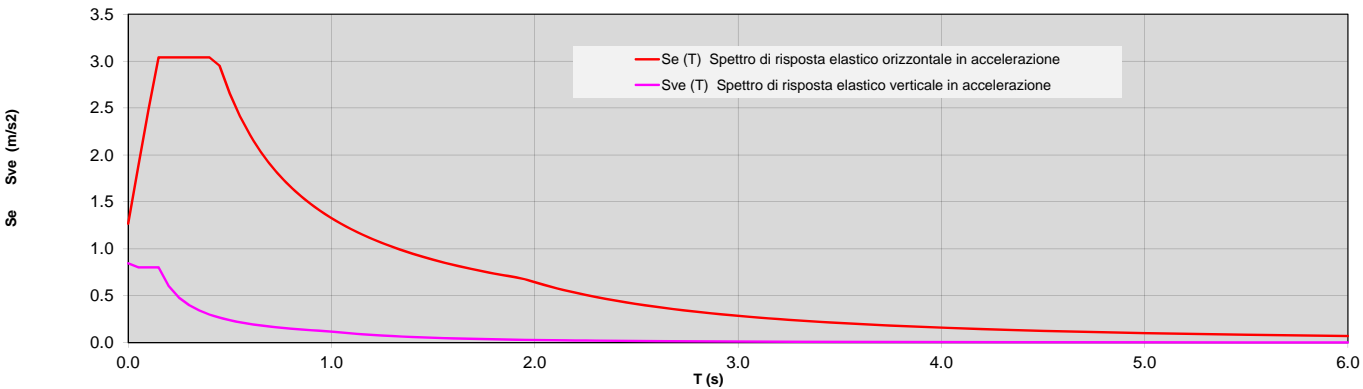
PERIODI DI SEPARAZIONI DEI RAMI DELLO SPETTRO

Tipo di suolo	C	ORIZZONTALE	VERTICALE
T _b		0.15	0.05
T _c		0.44	0.15
T _d		1.94	1.00
T _e		6.00	
T _f		10.00	

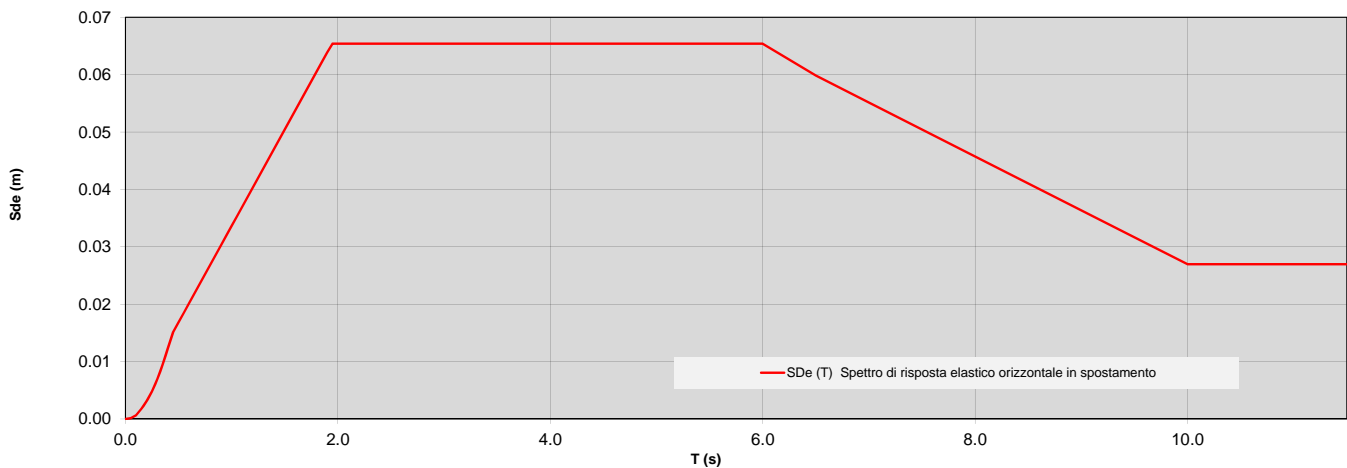
PARAMETRI DI PICCO

Accelerazione orizzontale massima	a _g	1.269 m/sec ²
Velocità orizzontale massima	v _g	0.09 m/sec
Spostamento orizzontale massimo	d _g	0.03 m

Spettro di risposta elastico allo 2. STATO LIMITE DEL DANNO in accelerazione (m/sec²)



Spettro di risposta elastico allo 2. STATO LIMITE DEL DANNO in spostamento (m)



PARAMETRI SISMICI PER CATEGORIA DEL SUOLO C

STATO LIMITE	ag / g	Fo	Tc*	SS Amplificazione Stratigrafica	ST Amplificazione Topografica	ag / g * SS * ST Accelerazione totale	Tb (sec)	Tc (sec)	Td (sec)	Te (sec)	Tf (sec)	Fondazioni e Pendii			Opere di Sostegno		
												β_s Coefficiente di riduzione per a _g /g	K _h terreno Coefficiente sismico orizzontale	K _v terreno Coefficiente sismico verticale	β_s Coefficiente di riduzione per a _g /g	K _h terreno Coefficiente sismico orizzontale	K _v terreno Coefficiente sismico verticale
di Operatività	0.066	2.404	0.260	1.50	1.00	0.099	0.13	0.39	1.87	6.00	10.00	0.20	0.020	0.010	0.18	0.018	0.009
del Danno	0.085	2.395	0.270	1.50	1.00	0.127	0.15	0.44	1.94	6.00	10.00	0.20	0.025	0.013	0.24	0.030	0.015
Salvaguardia della Vita	0.204	2.441	0.300	1.40	1.00	0.286	0.16	0.47	2.42	6.00	10.00	0.28	0.080	0.040	0.31	0.089	0.044
Prevenzione del Collasso	0.256	2.493	0.315	1.32	1.00	0.337	0.16	0.48	2.62	6.00	10.00	0.28	0.094	0.047	0.31	0.105	0.052

Comune
Via
Localita'
Committente
Data

Faenza
Convertite
Stabilimento CAVIRO
ENOMONDO
18-ago-20

CPT

10

Falda presunta 2 metri

NTC 2018

latitudine 44.31055°	amax substrato (m/sec2)
longitude 11.874942°	2.041
tipo di suolo	fattore amplificazione
C	1.395
amplificazione topografica	amax al p.c. (m/sec2)
1.000	2.848
3. STATO LIMITE SALVAGUARDIA DELLA VITA	magnitude
DELLA VITA	6.140

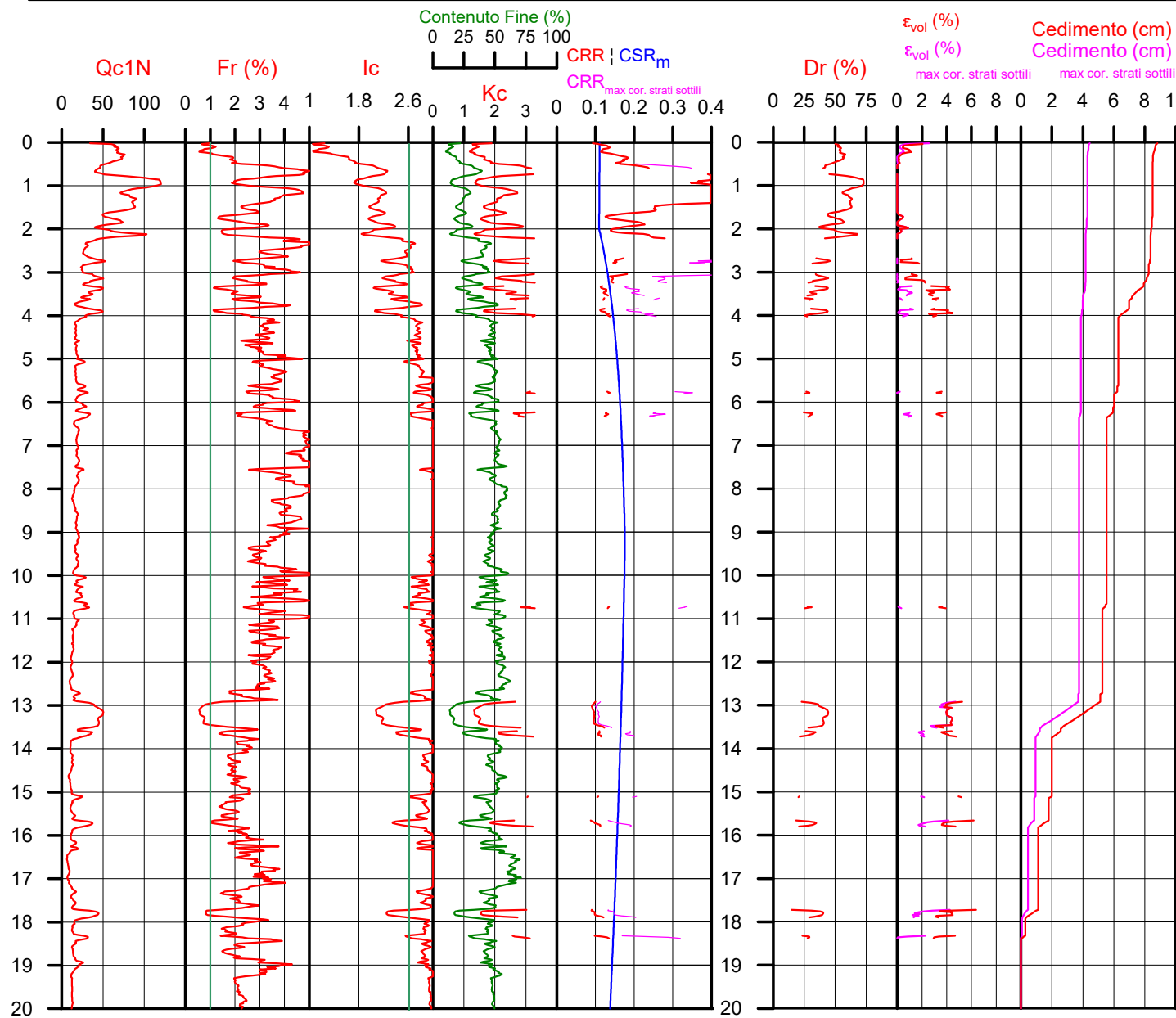
DGR Emilia-Romagna 630 / 2019

latitudine 44.31055°	amax substrato (m/sec2)
longitude 11.874942°	2.041
Suolo di riferimento	fattore amplificazione
Pianura 3	1.700
amplificazione topografica	amax al p.c. (m/sec2)
1.000	3.470
	magnitude
	6.140



Società di
Geologia
Territoriale

S.G.T. sas
di Van Zutphen Albert & C.
Via Matteotti 50
48012 Bagnacavallo (RA)
www.geo55.com



PROCEDURA

VERIFICADI LIQUEFAZIONE SECONDO LE LINEE GUIDAAGI 2005

- * amax e fattore di amplificazione secondo NTC 2018
- * CSR 6.14 calcolato con MSF secondo Idriss & Boulanger 2004 (correzione per magnitudo)
- * CRR (Cyclic Resistance Ratio) calcolato con
 - Qc1N secondo Robertson & Wride 1998
 - Fattore Kc per la correzione di Qc1N a Qc1N_{cs} per granulometria calcolato da Ic e Qc1N secondo Robertson & Wride 1998
 - Fattore Kh per la correzione di Qc1N_{cs} per strati sottili di sabbia in mezzo argilla
- * Applicazione di criteri di esclusione di liquefazione secondo Robertson & Wride 1998:
 - Ic > 2.60 e Fr > 1% e spessori sopra falda presunta
- * Fattore di sicurezza per liquefazione: F_{slq} = CRR 7.5 / CSR 6.14

CALCOLO DEL CEDIMENTO E DELL' INDICE DI SPOSTAMENTO LATERALE (ISHIHARA & YOSEMINE 1993)

Parametri utilizzati:

- * Densità Relativa Dr secondo Tatsuaki 1990
- * Fattore di sicurezza per liquefazione come sopra

Cedimento ed indice di spostamento laterale calcolato tra piano campagna e massima profondità della prova	Cedimento	Indice di spostamento laterale LDI (cm)
Cedimento totale	9	75
Cedimento totale considerando strati sottili	4	46

VALUTAZIONE DELL' INDICE I_L DEL POTENZIALE DI LIQUEFAZIONE (IWASAKI 1982) (Riferimento Linee Guida AGI 2005; pagina 105)

Metodo di valutazione degli effetti di liquefazione basato su F_{slq} e la profondità.

INDICE I _L DEL POTENZIALE DI LIQUEFAZIONE AGI 2005 senza correzione per strati sottili	con correzione per strati sottili	POTENZIALE DI ROTTURA
2.2	0.7	IL <= 5 BASSO
		5 < IL <= 15 ELEVATO
		IL > 15 ESTREMAMENTE ELEVATO

VALUTAZIONE DELL' INDICE I_L DEL POTENZIALE DI LIQUEFAZIONE E LA PROBABILITÀ DI LIQUEFAZIONE PPbi (FACCIORUSSO & VANNUCCHI 2009)

Metodo di valutazione degli effetti di liquefazione basato su F_{slq} e la profondità.

INDICE I _L DEL POTENZIALE DI LIQUEFAZIONE (Facciorusso 2009) senza correzione per strati sottili	con correzione per strati sottili	POTENZIALE DI LIQUEFAZIONE
2.2	0.7	IL <= 2 BASSA
		2 < IL <= 5 MODERATA
		5 < IL <= 15 ELEVATA
		IL > 15 MOLTO ALTA

INDICE PPbi DI PROBABILITÀ DI LIQUEFAZIONE (Facciorusso 2009) senza correzione per strati sottili	con correzione per strati sottili	%	GUIDIZIO DI PERICOLISITÀ
11	6	PPbi <= 15	NON LIQUEFAZIONE QUASI CERTA
		15 < PPbi <= 35	LIQUEFAZIONE IMPROBABLE
		35 < PPbi <= 65	LIQUEFAZIONE E NON LIQUEFAZIONE UGUALMENTE PROBABLE
		65 < PPbi <= 85	LIQUEFAZIONE MOLTO PROBABLE
		PPbi > 85	LIQUEFAZIONE QUASI CERTA

Comune Faenza
Via Convertite
Localita' Stabilimento CAVIRO
Committente ENOMONDO
Data 18-ago-20

CPT

10

Falda presunta 2 metri

NTC 2018

latitude 44.31055°	amax substrato (m/sec2)	2.041
longitude 11.874942°		
tipo di suolo C	fattore amplificazione	1.395
amplificazione topografica 1.000	amax al p.c. (m/sec2)	2.848
3. STATO LIMITE SALVAGUARDIA DELLA VITA	magnitude	6.140

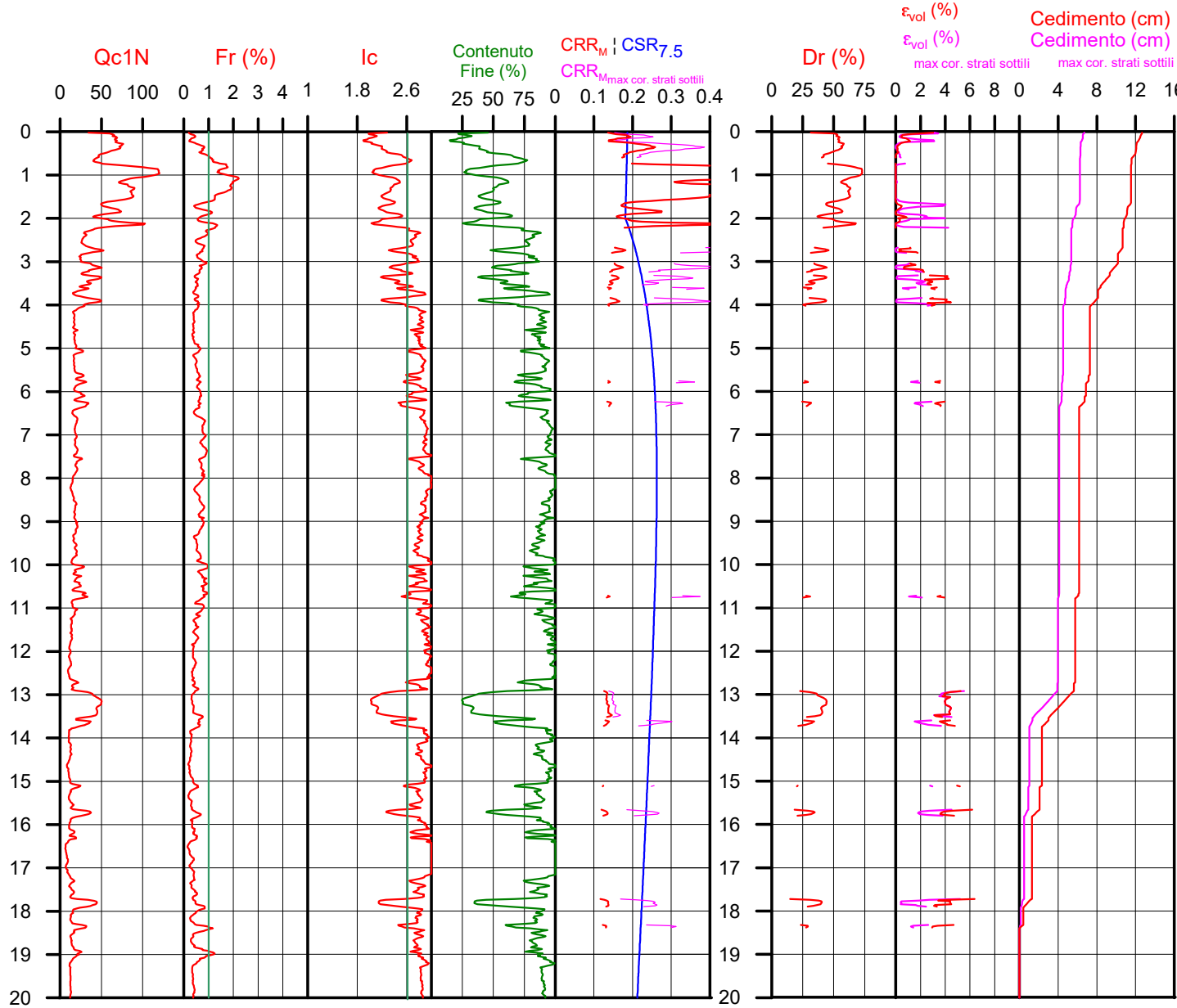
DGR Emilia-Romagna 630 / 2019

latitude 44.31055°	amax substrato (m/sec2)	2.041
longitude 11.874942°		
Suolo di riferimento Pianura 3	fattore amplificazione	1.700
amplificazione topografica 1.000	amax al p.c. (m/sec2)	3.470
	magnitude	6.140



Società di
Geologia
Territoriale

S.G.T. sas
di Van Zutphen Albert & C.
Via Matteotti 50
48012 Bagnacavallo (RA)
www.geo55.com



PROCEDURA

VERIFICADI LIQUEFAZIONE SECONDO BOULANGER & IDRISI 2014

- * amax e fattore di amplificazione secondo NTC 2018
- * CSR secondo Boulanger & Idriss 2014 (Cyclic Stress Ratio per magnitudine 7.5)
- * CRR_M (Cyclic Resistance Ratio corretto per magnitudine 6.14) calcolato con
 - Qc1N secondo Qc1N secondo Robertson & Wride 1998
 - Contenuto di fine secondo Boulanger & Idriss 2014
 - Correzione di Qc1N a Qc1Ncs basato su contenuto di fine e Qc1N
 - MSF (Magnitude Scaling Factor secondo Boulanger & Idriss 2014*)
 - Fattore Kh per la correzione di Qc1Ncs per strati sottili di sabbia in mezzo argilla
- * Applicazione di correzione per tensione efficace K_s secondo Boulanger & Idriss 2014.
- * Applicazione di criteri di esclusione di liquefazione secondo Robertson & Wride 1998: Ic > 2.60 e Fr > 1% e spessori sopra falda presunta.
- * Fattore di sicurezza per liquefazione: $F_{slq} = CRR6.14 * K_s / CSR7.5$

CALCOLO DEL CEDIMENTO E DELL' INDICE DI SPOSTAMENTO LATERALE (ISHIHARA & YOSEMINE 1993)

Parametri utilizzati:

- * Densità Relativa Dr secondo Tatsuaki 1990
- * Fattore di sicurezza per liquefazione come sopra

Cedimento ed indice di spostamento laterale calcolato tra piano campagna e massima profondità della prova	Cedimento (cm)	Indice di spostamento laterale LDI (cm)
Cedimento totale	12.7	111
Cedimento totale correzione strati sottili	6.7	55

VALUTAZIONE DELL' INDICE I_L DEL POTENZIALE DI LIQUEFAZIONE (SONMEZ 2003)

Metodo di valutazione degli effetti di liquefazione basato su F_{slq} e la profondità,

INDICE I _L DEL POTENZIALE DI LIQUEFAZIONE (Sonmez 2005)	POTENZIALE DI LIQUEFAZIONE
senza correzione per strati sottili	con correzione per strati sottili
1.1	IL <= 2 BASSA
5.1	2 < IL <= 5 MODERATA
	5 < IL <= 15 ELEVATA
	IL > 15 MOLTO ALTA

PROBABILITÀ DI LIQUEFAZIONE PP_{b1} (FACCIORUSSO & VANNUCCHI 2009)

INDICE PP _{b1} DI PROBABILITÀ DI LIQUEFAZIONE (Facciorusso 2009)	GUIDIZIO DI PERICOLISITÀ
senza correzione per strati sottili	con correzione per strati sottili
9	%
16	PP _{b1} <= 15 NON LIQUEFAZIONE QUASI CERTA
	15 < PP _{b1} <= 35 LIQUEFAZIONE IMPROBABLE
	35 < PP _{b1} <= 65 LIQUEFAZIONE E NON LIQUEFAZIONE UGUALMENTE PROBABLE
	65 < PP _{b1} <= 85 LIQUEFAZIONE MOLTO PROBABLE
	PP _{b1} > 85 LIQUEFAZIONE QUASI CERTA

Comune
Via
Localita'
Committente
Data

Faenza
Convertite
Stabilimento CAVIRO
ENOMONDO
18-ago-20

CPT

10

Falda presunta 2 metri

NTC 2018

latitudine 44.31055°	amax substrato (m/sec2)
longitude 11.874942°	2.041
tipo di suolo	fattore amplificazione
C	1.395
amplificazione topografica	amax al p.c. (m/sec2)
1.000	2.848
3. STATO LIMITE SALVAGUARDIA DELLA VITA	magnitude
	6.140

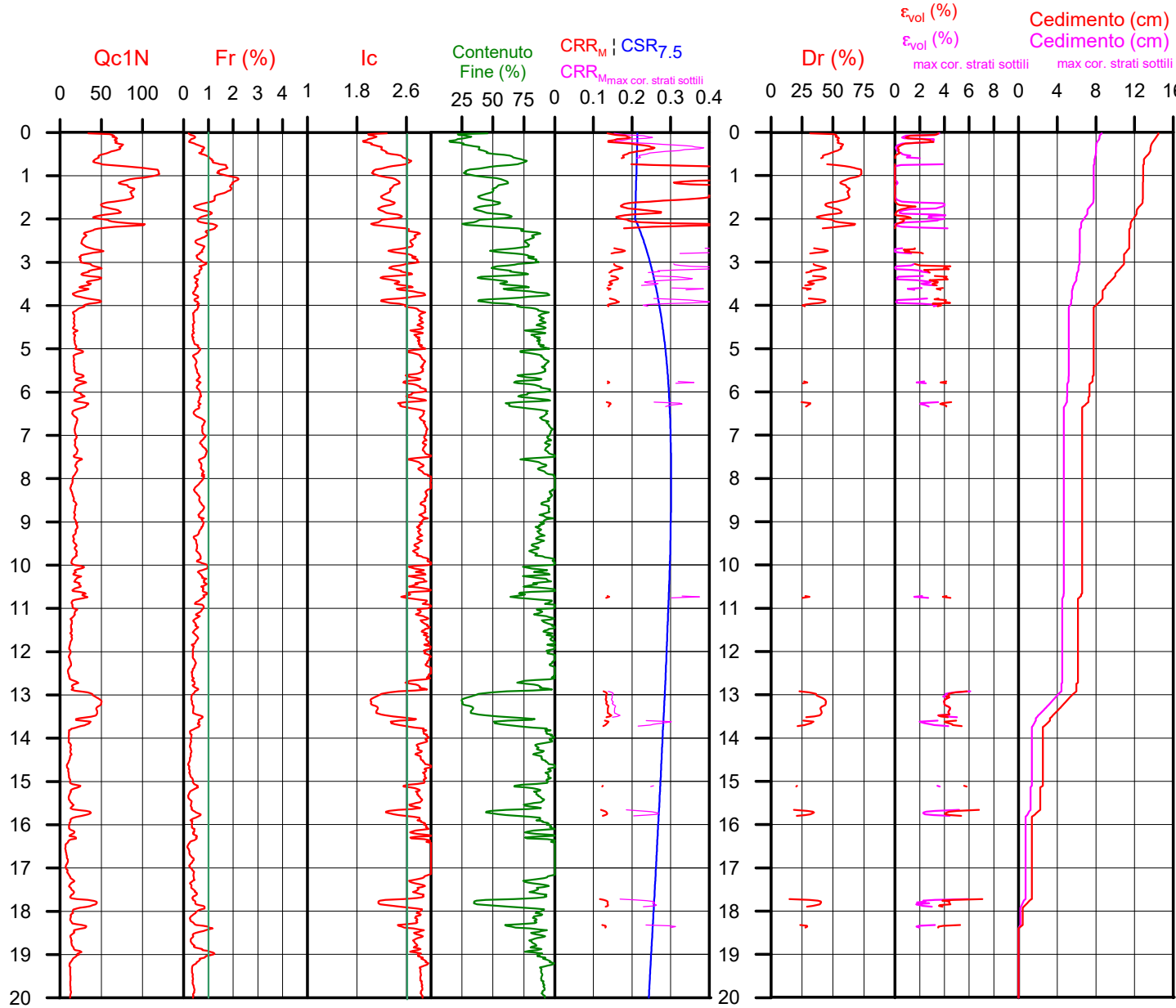
DGR Emilia-Romagna 630 / 2019

latitudine 44.31055°	amax substrato (m/sec2)
longitude 11.874942°	2.041
Suolo di riferimento	fattore amplificazione
Margine	1.600
amplificazione topografica	amax al p.c. (m/sec2)
1.000	3.266
	magnitude
	6.140



Società di
Geologia
Territoriale

S.G.T. sas
di Van Zutphen Albert & C.
Via Matteotti 50
48012 Bagnacavallo (RA)
www.geo55.com



PROCEDURA

VERIFICADI LIQUEFAZIONE SECONDO BOULANGER & IDRISI 2014

- * amax e fattore di amplificazione secondo DGR Emilia-Romagna 630 / 2019
- * CSR secondo Boulanger & Idriss 2014 (Cyclic Stress Ratio per magnitudine 7.5)
- * CRR_M (Cyclic Resistance Ratio corretto per magnitudine 6.14) calcolato con
 - Qc1N secondo Qc1N secondo Robertson & Wride 1998
 - Contenuto di fine secondo Boulanger & Idriss 2014
 - Correzione di Qc1N a Qc1Ncs basato su contenuto di fine e Qc1N
 - MSF (Magnitude Scaling Factor secondo Boulanger & Idriss 2014*)
 - Fattore Kh per la correzione di Qc1Ncs per strati sottili di sabbia in mezzo argilla
- * Applicazione di correzione per tensione efficace K_s secondo Boulanger & Idriss 2014.
- * Applicazione di criteri di esclusione di liquefazione secondo Robertson & Wride 1998: Ic > 2.60 e Fr > 1% e spessori sopra falda presunta.
- * Fattore di sicurezza per liquefazione: $F_{slq} = CRR6.14 * K_s / CSR7.5$

CALCOLO DEL CEDIMENTO E DELL' INDICE DI SPOSTAMENTO LATERALE (ISHIHARA & YOSEMINE 1993)

Parametri utilizzati:

- * Densità Relativa Dr secondo Tatsuaki 1990
- * Fattore di sicurezza per liquefazione come sopra

Cedimento ed indice di spostamento laterale calcolato tra piano campagna e massima profondità della prova	Cedimento	Indice di spostamento laterale LDI (cm)
Cedimento totale	14.5	148
Cedimento totale correzione strati sottili	8.6	79

VALUTAZIONE DELL' INDICE I_L DEL POTENZIALE DI LIQUEFAZIONE (SONMEZ 2003)

Metodo di valutazione degli effetti di liquefazione basato su F_{slq} e la profondità,

INDICE I _L DEL POTENZIALE DI LIQUEFAZIONE (Sonmez 2005)	POTENZIALE DI LIQUEFAZIONE
senza correzione per strati sottili	IL <= 2 BASSA
con correzione per strati sottili	2 < IL <= 5 MODERATA
6.9	5 < IL <= 15 ELEVATA
	IL > 15 MOLTO ALTA

PROBABILITÀ DI LIQUEFAZIONE PP_{b1} (FACCIORUSSO & VANNUCCHI 2009)

INDICE PP _{b1} DI PROBABILITÀ DI LIQUEFAZIONE (Facciorusso 2009)	GUIDIZIO DI PERICOLISITÀ
senza correzione per strati sottili	%
12	PP _{b1} <= 15 NON LIQUEFAZIONE QUASI CERTA
18	15 < PP _{b1} <= 35 LIQUEFAZIONE IMPROBABLE
	35 < PP _{b1} <= 65 LIQUEFAZIONE E NON LIQUEFAZIONE UGUALMENTE PROBABLE
	65 < PP _{b1} <= 85 LIQUEFAZIONE MOLTO PROBABLE
	PP _{b1} > 85 LIQUEFAZIONE QUASI CERTA

Comune
Via
Localita'
Committente
Data

Faenza
Convertite
Stabilimento CAVIRO
ENOMONDO
18-ago-20

CPT

10

Falda presunta 0.7 metri

NTC 2018

latitudine 44.310567°	amax substrato (m/sec2)
longitudine 11.874974°	0.846
tipo di suolo	fattore amplificazione
C	1.500
amplificazione topografica	amax al p.c. (m/sec2)
1.000	1.269
2. STATO LIMITE DEL DANNO	magnitude
	6.140

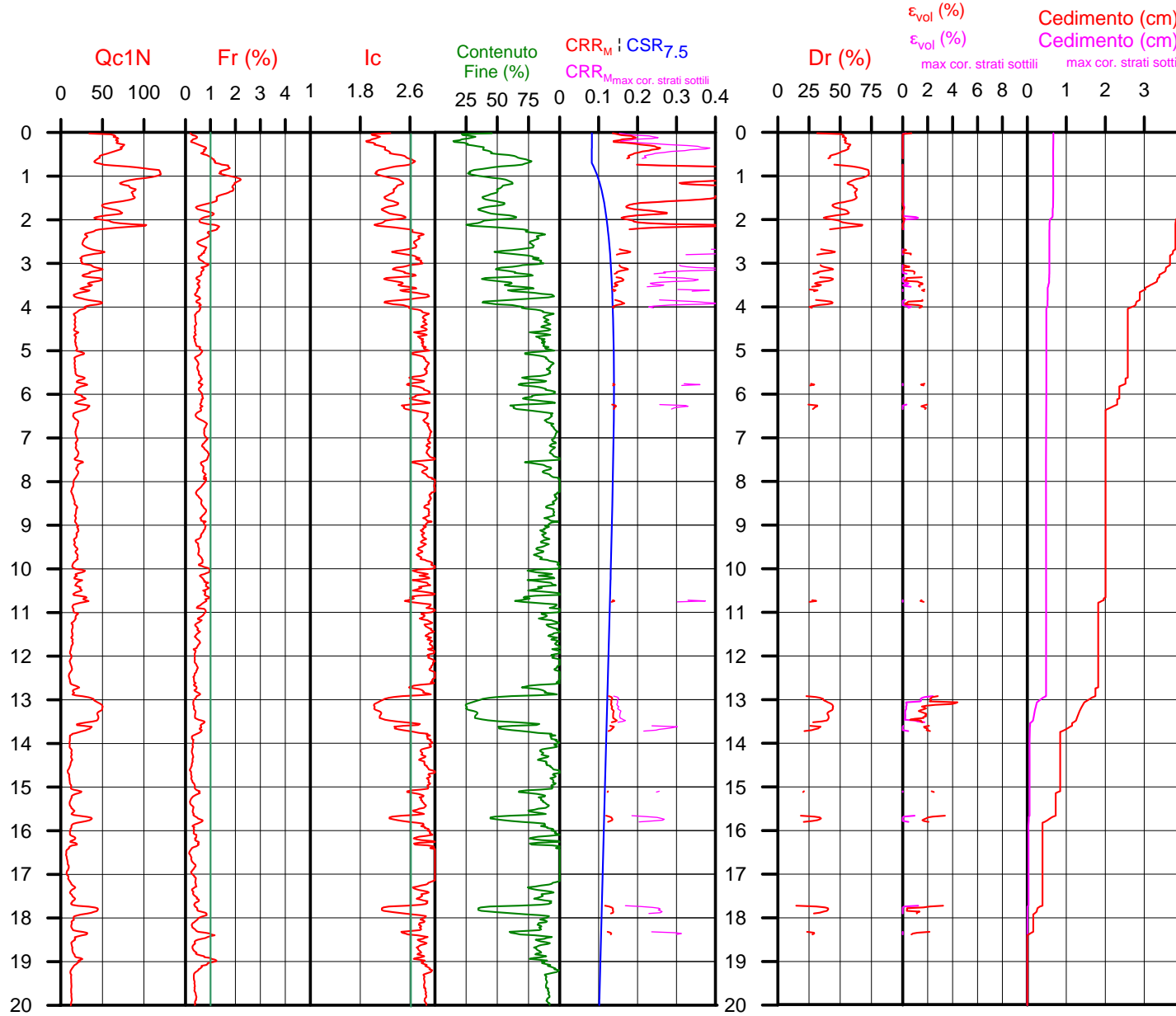
DGR Emilia-Romagna 630 / 2019

latitudine 44.310567°	amax substrato (m/sec2)
longitudine 11.874974°	0.846
Suolo di riferimento	fattore amplificazione
Appennino	2.000
amplificazione topografica	amax al p.c. (m/sec2)
1.000	1.691
	magnitude
	6.140



Società di
Geologia
Territoriale

S.G.T. sas
di Van Zutphen Albert & C.
Via Matteotti 50
48012 Bagnacavallo (RA)
www.geo55.com



PROCEDURA

VERIFICHE DI LIQUEFAZIONE SECONDO BOULANGER & IDRISI 2014

- * amax e fattore di amplificazione secondo NTC 2018
- * CSR secondo Boulanger & Idriss 2014 (Cyclic Stress Ratio per magnitudine 6.14)
- * CRR_M (Cyclic Resistance Ratio corretto per magnitudine 7.5) calcolato con
 - Qc1N secondo Qc1N secondo Robertson & Wride 1998
 - Contenuto di fine secondo Boulanger & Idriss 2014
 - Correzione di Qc1N a Qc1Ncs basata su contenuto di fine e Qc1N
 - MSF (Magnitude Scaling Factor secondo Boulanger & Idriss 2014)
 - Fattore Kh per la correzione di Qc1N_{cs} per strati sottili di sabbia in mezzo argilla
- * Applicazione di correzione per tensione efficace K_s secondo Boulanger & Idriss 2014.
- * Applicazione di criteri di esclusione di liquefazione secondo Robertson & Wride 1998: Ic > 2.60 e Fr > 1 e spessore sopra falda presunta.
- * Fattore di sicurezza per liquefazione: $F_{Sliq} = CRR6.14 * K_s / CSR7.5$

CALCOLO DEL CEDIMENTO E DELL' INDICE DI SPOSTAMENTO LATERALE (ISHIHARA & YOSEMINE 1993)

Parametri utilizzati:

- * Densità Relativa Dr secondo Tatsuaki 1990
- * Fattore di sicurezza per liquefazione come sopra

Cedimento ed indice di spostamento laterale calcolato tra piano campagna e massima profondità della prova	Cedimento	Indice di spostamento laterale LDI (cm)
Cedimento totale	3.9	6
Cedimento totale correzione strati sottili	0.7	1

VALUTAZIONE DELL' INDICE I_L DEL POTENZIALE DI LIQUEFAZIONE (SONMEZ 2003)

Metodo di valutazione degli effetti di liquefazione basato su F_{Sliq} e la profondità,

INDICE I _L DEL POTENZIALE DI LIQUEFAZIONE (Sonmez 2005)	POTENZIALE DI LIQUEFAZIONE
senza correzione per strati sottili	con correzione per strati sottili
0.1	0.0
	IL <= 2
	2 < IL <= 5
	5 < IL <= 15
	IL > 15
	BASSA
	MODERATA
	ELEVATA
	MOLTO ALTA

PROBABILITÀ DI LIQUEFAZIONE PP_{b1} (FACCIORUSSO & VANNUCCHI 2009)

INDICE PP _{b1} DI PROBABILITÀ DI LIQUEFAZIONE (Facciorusso 2009)	GUIDIZIO DI PERICOLISITÀ
senza correzione per strati sottili	con correzione per strati sottili
6	2
	%
	PP _{b1} <= 15
	15 < PP _{b1} <= 35
	35 < PP _{b1} <= 65
	65 < PP _{b1} <= 85
	PP _{b1} > 85
	NON LIQUEFAZIONE QUASI CERTA
	LIQUEFAZIONE IMPROBABLE
	LIQUEFAZIONE E NON LIQUEFAZIONE UGUALMENTE PROBABLE
	LIQUEFAZIONE MOLTO PROBABLE
	LIQUEFAZIONE QUASI CERTA

Comune Faenza
Via Convertite
Localita' Stabilimento CAVIRO
Committente ENOMONDO
Data 18-ago-20

CPT 10

Falda presunta 2 metri

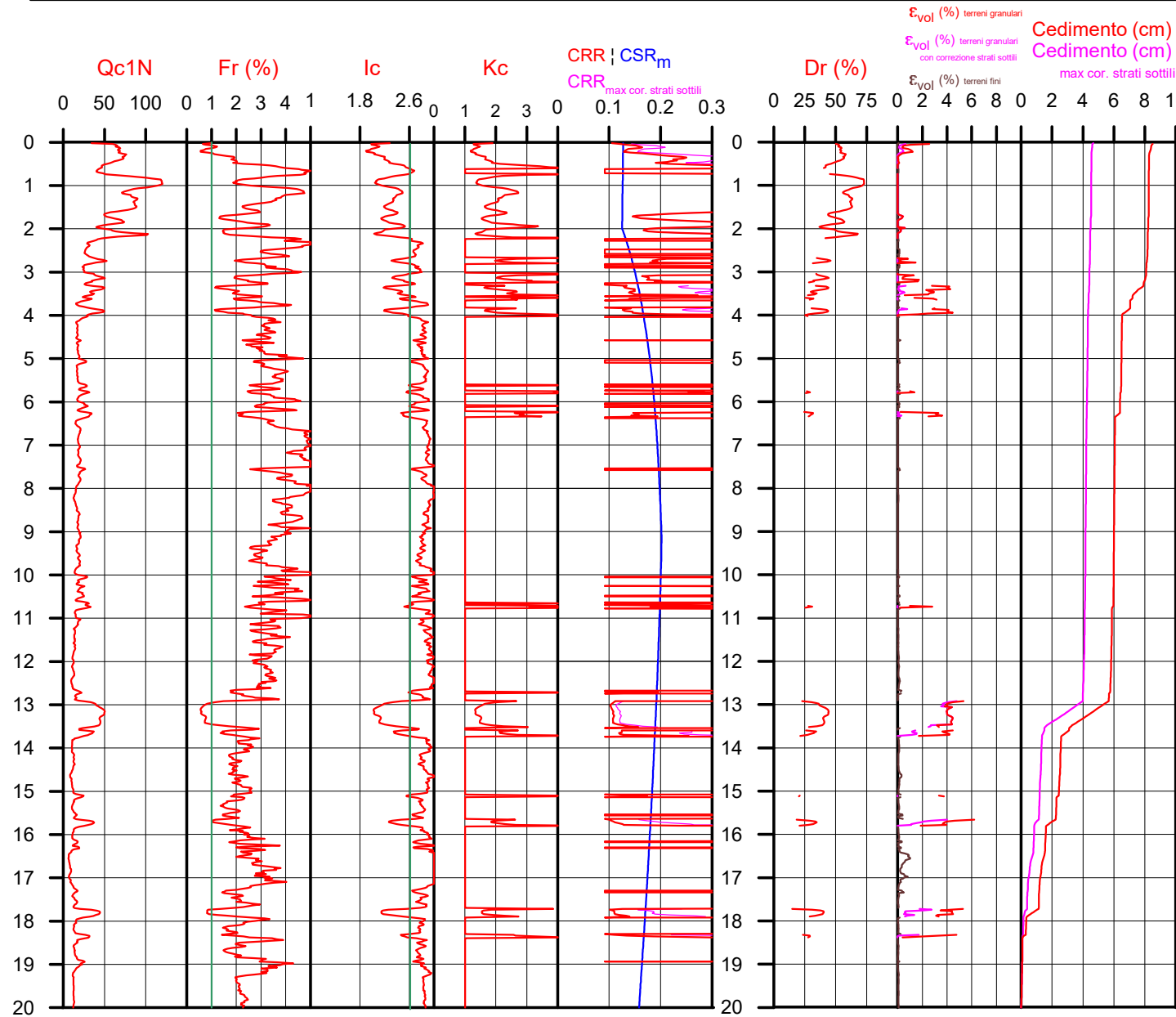
NTC 2018	
latitudine	44.31055°
longitude	11.874942°
tipo di suolo	C
fattore amplificazione	1.395
amplificazione topografica	1.000
amax al p.c. (m/sec ²)	2.041
5. STATO LIMITE SALVAGUARDIA DELLA VITA	magnitude
	6.140

DGR Emilia-Romagna 630 / 2019	
latitudine	44.31055°
longitude	11.874942°
Suolo di riferimento	Margine
fattore amplificazione	1.600
amax substrato (m/sec ²)	2.041
amplificazione topografica	1.000
amax al p.c. (m/sec ²)	3.266
magnitude	6.140



Società di
Geologia
Territoriale

S.G.T. sas
di Van Zutphen Albert & C.
Via Matteotti 50
48012 Bagnacavallo (RA)
www.geo55.com



PROCEDURA

VERIFICA DI LIQUEFAZIONE SECONDO ROBERTSON & CABAL 2009

- * amax e fattore di amplificazione secondo DGR Emilia-Romagna 630 / 2019
- * CSR 6.14 calcolato MSF secondo Idriss & Boulanger 2004 (correzione per magnitudine)
- * CRR (Cyclic Resistance Ratio) calcolato con
 - Qc1N secondo Idriss & Boulanger 2004
 - Fattore Kc per la correzione di Qc1N a Qc1Ncs per granulometria calcolata da Ic secondo Robertson & Cabal 2009
 - Fattore Kh per la correzione di Qc1N_{cs} per strati sottili di sabbia in mezzo argilla
- * Fattore di sicurezza per liquefazione: $F_{slq} = CRR \cdot 7.5 / CSR \cdot 6.14$

CALCOLO DEL CEDIMENTO E DELL' INDICE DI SPOSTAMENTO LATERALE PER TERRENI GRANULARI (ISHIHARA & YOSEMINE 1993)

Parametri utilizzati:

- * Densità Relativa Dr secondo Tatsuaki 1990
- * Fattore di sicurezza per liquefazione come sopra

Cedimento ed indice di spostamento laterale calcolato tra piano campagna e massima profondità della prova per terreni granulari	Cedimento	Indice di spostamento laterale LDI
Cedimento	7	73
Cedimento considerando strati sottili	3	45

CALCOLO DEL CEDIMENTO PER TERRENI FINI (ROBERTSON 2009)

Parametri utilizzati:

- * Qc1N secondo Idriss & Boulanger 2004
- * Fattore di sicurezza per liquefazione come sopra

Cedimento laterale calcolato tra piano campagna e massima profondità della prova per terreni fini	Cedimento terreni fini	Cedimento totale fini + granulari (cm)
Cedimento	1	9
Cedimento considerando strati sottili	1	5

VALUTAZIONE DELL' INDICE I_L DEL POTENZIALE DI LIQUEFAZIONE (IWASAKI 1982) (Riferimento Linee Guida AGI 2005; pagina 105)

Metodo di valutazione degli effetti di liquefazione basato su F_{slq} e la profondità,

- * Fattore di sicurezza per liquefazione come sopra
- * Profondità

INDICE I _L DEL POTENZIALE DI LIQUEFAZIONE senza correzione per strati sottili	con correzione per strati sottili	POTENZIALE DI ROTTURA
	0.7	IL <= 2 BASSO
		2 < IL <= 5 MODERATO
5.5		5 < IL <= 15 ELEVATO
		IL > 15 ESTREMAMENTE ELEVATO

Comune Faenza
Via Convertite
Localita' Stabilimento CAVIRO
Committente ENOMONDO
Data 18-ago-20

CPT 10

Falda presunta 2 metri

NTC 2018

latitudine 44.31055°	amax substrato (m/sec ²)
longitudine 11.874942°	2.041
tipo di suolo	fattore amplificazione
C	1.395
amplificazione topografica	amax al p.c. (m/sec ²)
1.000	2.848
3. STATO LIMITE SALVAGUARDIA DELLA VITA	magnitude
	6.140

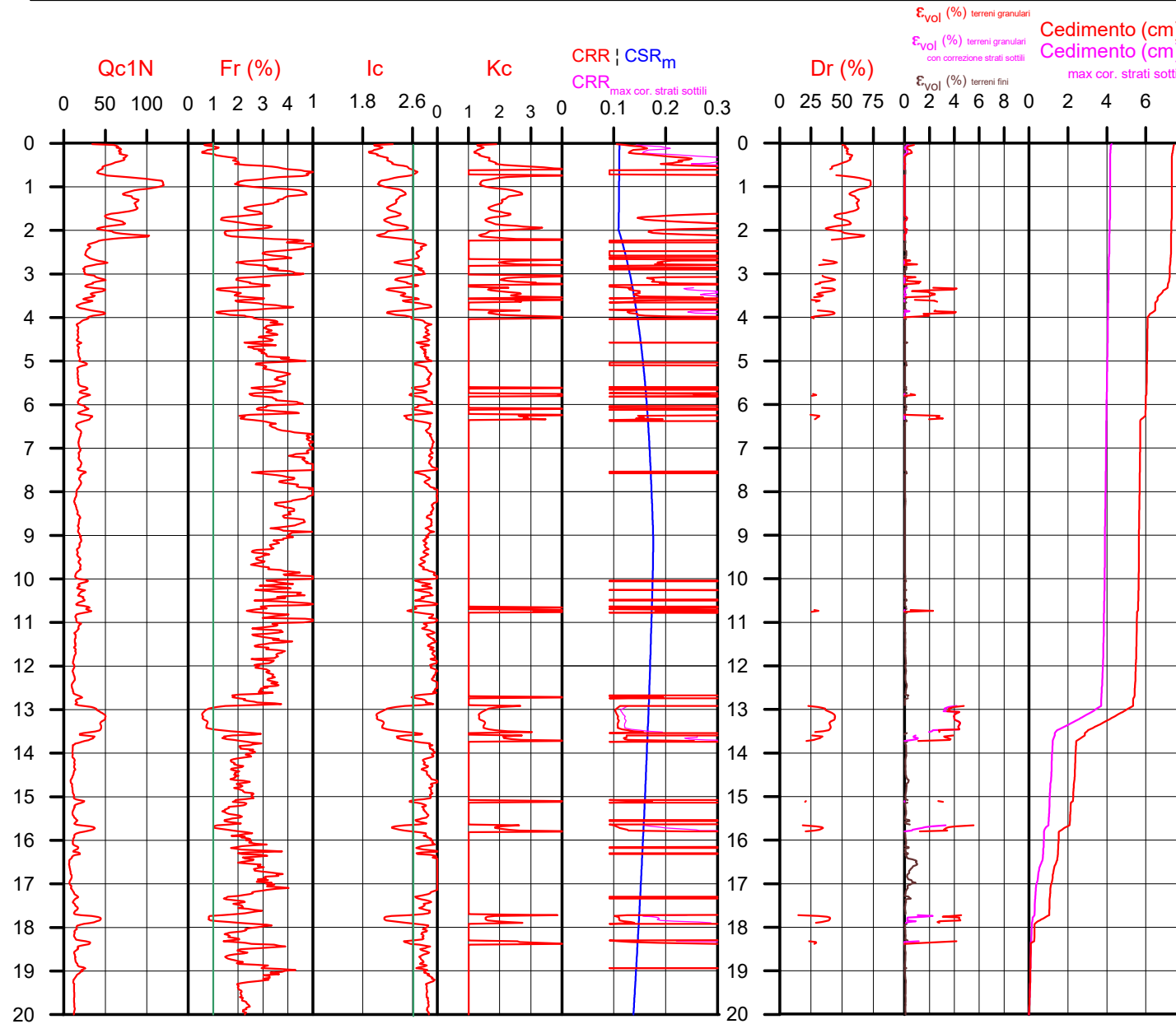
DGR Emilia-Romagna 630 / 2019

latitudine 44.31055°	amax substrato (m/sec ²)
longitudine 11.874942°	2.041
Suolo di riferimento	fattore amplificazione
Pianura 3	1.700
amplificazione topografica	amax al p.c. (m/sec ²)
1.000	3.470
	magnitude
	6.140



Società di
Geologia
Territoriale

S.G.T. sas
di Van Zutphen Albert & C.
Via Matteotti 50
48012 Bagnacavallo (RA)
www.geo55.com



PROCEDURA

VERIFICA DI LIQUEFAZIONE SECONDO ROBERTSON & CABAL 2009

- * amax e fattore di amplificazione secondo NTC 2018
- * CSR 6.14 calcolato MSF secondo Idriss & Boulanger 2004 (correzione per magnitudine)
- * CRR (Cyclic Resistance Ratio) calcolato con
 - Qc1N secondo Idriss & Boulanger 2004
 - Fattore Kc per la correzione di Qc1N a Qc1Ncs per granulometria calcolata da Ic secondo Robertson & Cabal 2009
 - Fattore Kh per la correzione di Qc1N_{cs} per strati sottili di sabbia in mezzo argilla
- * Fattore di sicurezza per liquefazione: $F_{\text{slq}} = \text{CRR} 7.5 / \text{CSR} 6.14$

CALCOLO DEL CEDIMENTO E DELL' INDICE DI SPOSTAMENTO LATERALE PER TERRENI GRANULARI (ISHIHARA & YOSEMINE 1993)

Parametri utilizzati:

- * Densità Relativa Dr secondo Tatsuaki 1990
- * Fattore di sicurezza per liquefazione come sopra

Cedimento ed indice di spostamento laterale calcolato tra piano campagna e massima profondità della prova per terreni granulari	Cedimento	Indice di spostamento laterale LDI
Cedimento	6	62
Cedimento considerando strati sottili	3	44

CALCOLO DEL CEDIMENTO PER TERRENI FINI (ROBERTSON 2009)

Parametri utilizzati:

- * Qc1N secondo Idriss & Boulanger 2004
- * Fattore di sicurezza per liquefazione come sopra

Cedimento laterale calcolato tra piano campagna e massima profondità della prova per terreni fini	Cedimento terreni fini	Cedimento totale fini + granulari (cm)
Cedimento	1	7
Cedimento considerando strati sottili	1	4

VALUTAZIONE DELL' INDICE I_L DEL POTENZIALE DI LIQUEFAZIONE (IWASAKI 1982) (Riferimento Linee Guida AGI 2005; pagina 105)

Metodo di valutazione degli effetti di liquefazione basato su F_{slq} e la profondità,

- * Fattore di sicurezza per liquefazione come sopra
- * Profondità

INDICE I _L DEL POTENZIALE DI LIQUEFAZIONE senza correzione per strati sottili	con correzione per strati sottili	POTENZIALE DI ROTTURA
	0.5	BASSO
4.1		MODERATO
	2 < IL <= 5	ELEVATO
	5 < IL <= 15	ESTREMAMENTE ELEVATO
	IL > 15	

Comune Faenza
Via Convertite
Localita' Stabilimento CAVIRO
Committente ENOMONDO
Data 18-ago-20

CPT 10

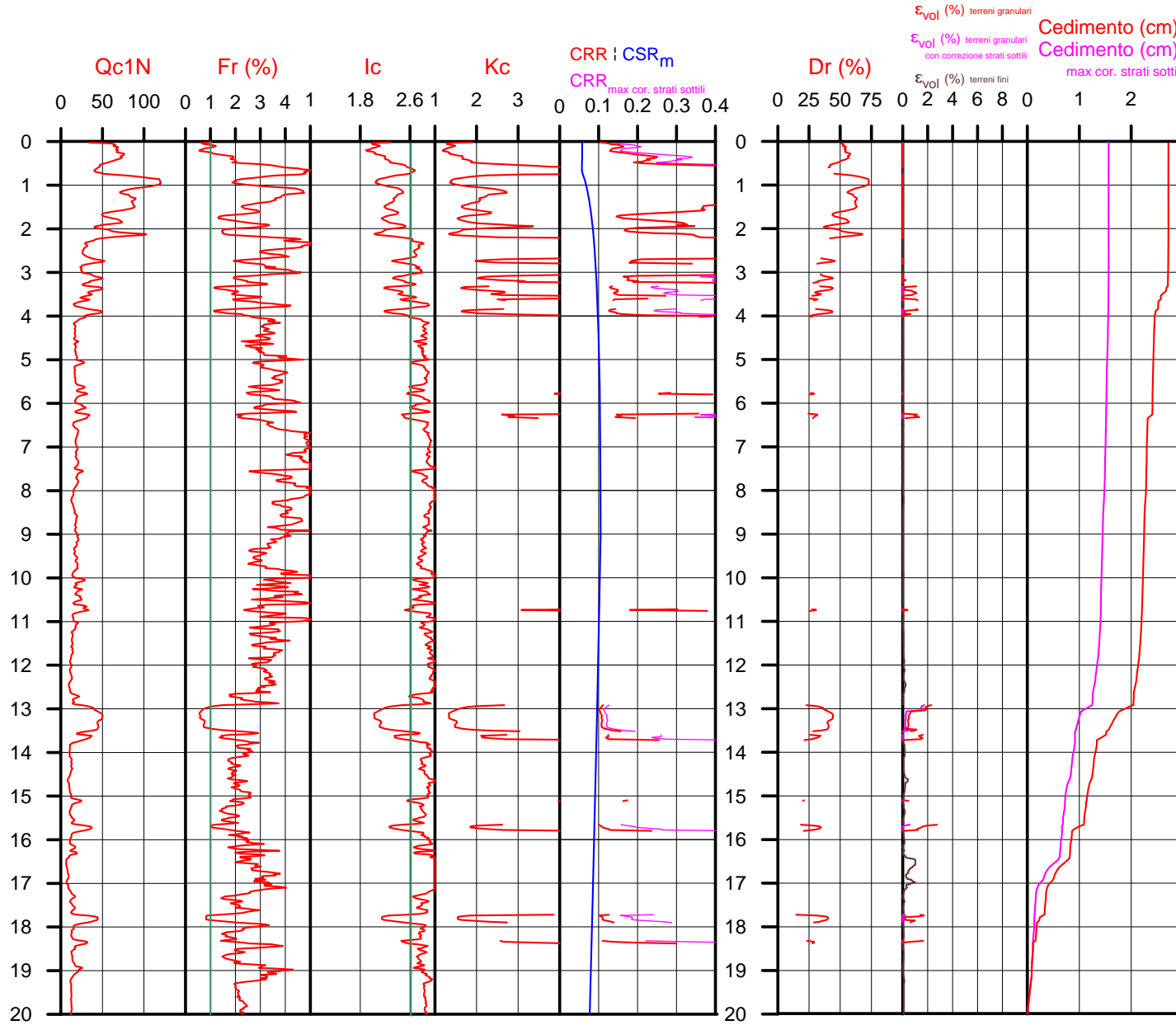
Falda presunta 0.7 metr

NTC 2018

	DGR Emilia-Romagna 630 / 2019
(2)	latitudine 44.310567°
46	longitude 11.874974°
00	Suolo di riferimento
	Appennino
69	amplificazione topografica
	1.000
40	ammax substrato (m/sec2)
	0.846
	fattore amplificazione
	2.000
	ammax el p.c. (m/sec2)
	1.69
	magnitude
	6.14



S.G.T. sas
di Van Zutphen Albert & C.
Via Matteotti 50
48012 Bagnacavallo (RA)
www.ge055.com



PROCEDURA

VERIFICA DI LIQUEFAZIONE SECONDO ROBERTSON & CABAL 2009

- * amax e fattore di amplificazione secondo NTC 2018
 - * CSR 6.14 calcolato MSF secondo Idriss & Boulanger 2004 (correzione per magnitudine)
 - * CRR (Cyclic Resistance Ratio) calcolato con
 - Qc1N secondo Idriss & Boulanger 2004
 - Fattore Kc per la correzione di Qc1N a Qc1Ncs per granulometria calcolato da Ic secondo Robertson & Cabal 2009
 - Fattore Kh per la correzione di Qc1N_{cs} per strati sottili di sabbia in mezzo argilla
 - * Fattore di sicurezza per liquefazione: $F_{sliq} = \text{CRR 7.5} / \text{CSR 6.14}$

CALCOLO DEL CEDIMENTO E DELL' INDICE DI SPOSTAMENTO LATERALE PER TERRENI GRANULARI (ISHIHARA & YOSEMINE 1993)

Parametri utilizzati

- * Densità Relativa Dr secondo Tatsuaki 1990
 - * Fattore di sicurezza per liquefazione come sopra

Cedimento ed indice di spostamento laterale calcolato tra piano campagna e massima profondità della prova per terreni granulari	Cedimento terreni granulari (cm)	Indice di spostamento laterale LDI (cm)
Cedimento	2	2
Cedimento considerando strati sottili	0	1

CALCOLO DEL CEDIMENTO PER TERRENI FINI (ROBERTSON 2009)

Parametri utilizzati

- * Qc1N secondo Idriss & Boulanger 2004
 - * Fattore di sicurezza per liquefazione come sopra

Cedimento laterale calcolato tra piano campagna e massima profondità della prova per terreni fini	Cedimento terreni fini (cm)	Cedimento totale fini + granulari (cm)
Cedimento	1	3
Cedimento considerando strati sottili	1	2

**VALUTAZIONE DELL' INDICE I_L DEL POTENZIALE DI LIQUEFAZIONE
(IWASAKI 1982)** (Riferimento Linee Guida AGI 2005; pagina 105)

Metodo di valutazione degli effetti di liquefazione basato su F_{sliq} e la profondità,

- * Fattore di sicurezza per liquefazione come sopra
 - * Profondità

INDICE I _L DEL POTENZIALE DI LIQUEFAZIONE		POTENZIALE DI ROTTURA
senza correzione per strati sottili	con correzione per strati sottili	
0.5	0.0	IL <= 2 BASSO
		2 < IL <= 5 MODERATO
		5 < IL <= 15 ELEVATO
		IL > 15 ESTREMAMENTE ELEVATO

VERIFICHE ALLA FLUIDIFICAZIONE SECONDO JEFFRIES CON ψ : METODO ROBERTSON 2010

Comune
Via
Localita'
Committente
Data

Faenza
Convertite
Stabilimento CAVIRO
ENOMONDO
18-agosto-20

CPT

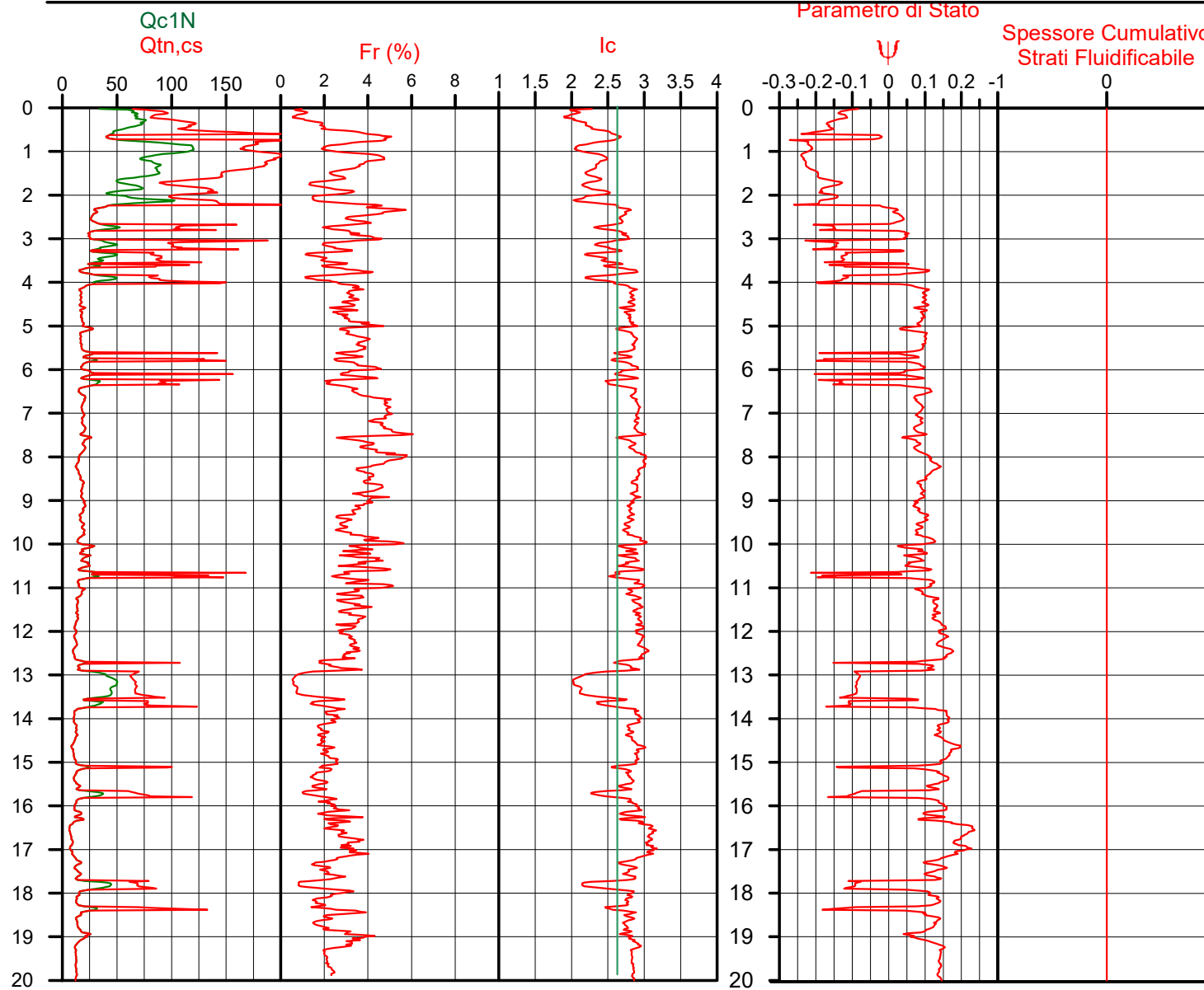
10

Falda presunta 2 metri



S.G.T. sas

www.geo55.com



PROCEDURA

Stima del parametro di stato (ψ) - P.K.Robertson (2010)

Il parametro ψ è definito come la differenza tra l'indice dei vuoti (e) in situ e lo stato critico dell'indice dei vuoti per quel deposito (e_{cs}). La determinazione in situ di tale parametro permette di valutare il comportamento dilatativo o contrattivo di un determinato deposito sottoposto a sforzo ciclico (Been and Jefferies, 1985).

$$\psi = 0.485 - 0.314 \log Q_{tn,cs}$$

Dove:

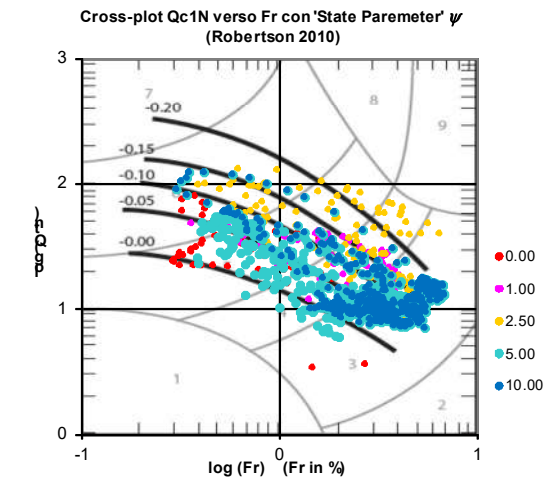
$Q_{tn,cs}$ = resistenza penetrometrica della prova CPTU
normalizzata (Q_{tn}) equivalente per sabbie pulite
(Robertson & Wride, 1998)

$Q_{tn,cs} = K_c * Q_{tn}$,
dove K_c dipende dall'indice di comportamento I_c ;
se $I_c \leq 1.64$ allora $K_c = 1$
se $I_c > 1.64$ allora $K_c = 5.581 * I_c^3 - 0.403 * I_c^4 - 21.63 * I_c^2 + 33.75 * I_c - 17.88$

Stima del potenziale di fluidificazione - (Shuttle & Cunning, 2008)

Il comportamento del deposito contrattivo (soggetto a fluidificazione) o dilatante (soggetto a mobilità ciclica o liq. Ciclica) è funzione del valore di ψ .

per $\psi < -0.05$ si hanno fenomeni di mobilità ciclica o liquefazione ciclica.
per $\psi > 0.05$ si hanno fenomeni di fluidificazione.



FAENZA VIA CONVERTITE - NUOVA URBANIZZAZIONE ENOMONDO T1

Instrument: TEN-0017/01-07

Data format: 16 byte

Full scale [mV]: 51

Start recording: 26/08/20 19:10:01 End recording: 26/08/20 19:29:55

Channel labels: NORTH SOUTH; EAST WEST ; UP DOWN

GPS data not available

Trace length: 0h19'48". Analyzed 85% trace (manual window selection)

Sampling rate: 128 Hz

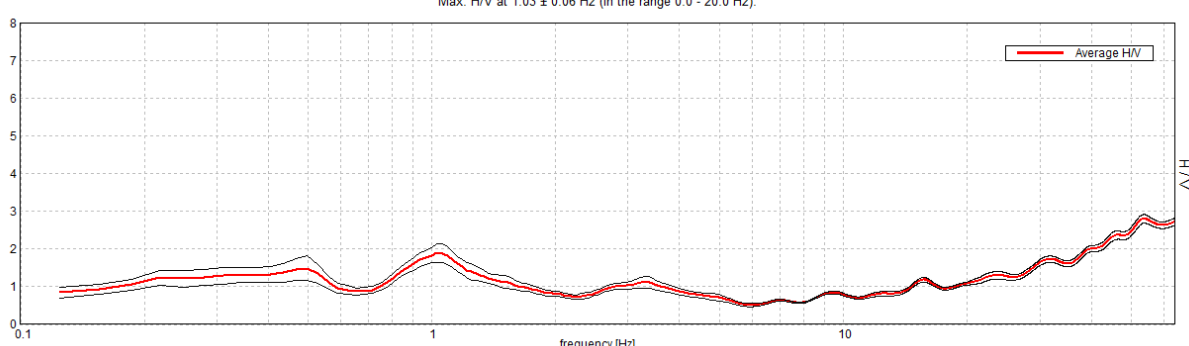
Window size: 20 s

Smoothing type: Triangular window

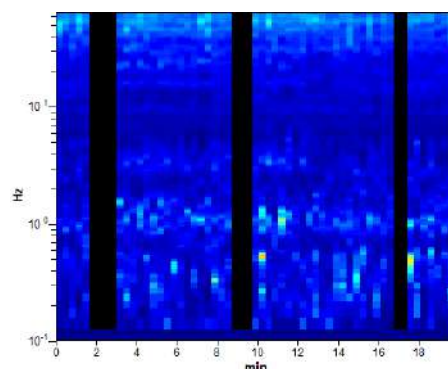
Smoothing: 10%

HORIZONTAL TO VERTICAL SPECTRAL RATIO

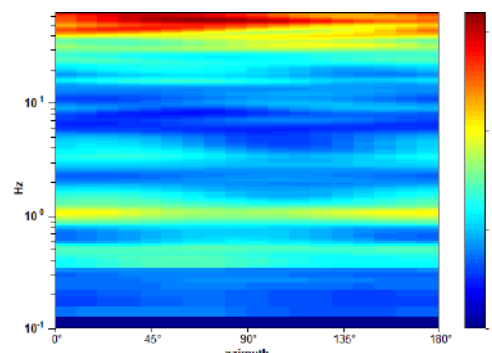
Max. H/V at 1.03 ± 0.06 Hz (in the range 0.0 - 20.0 Hz).



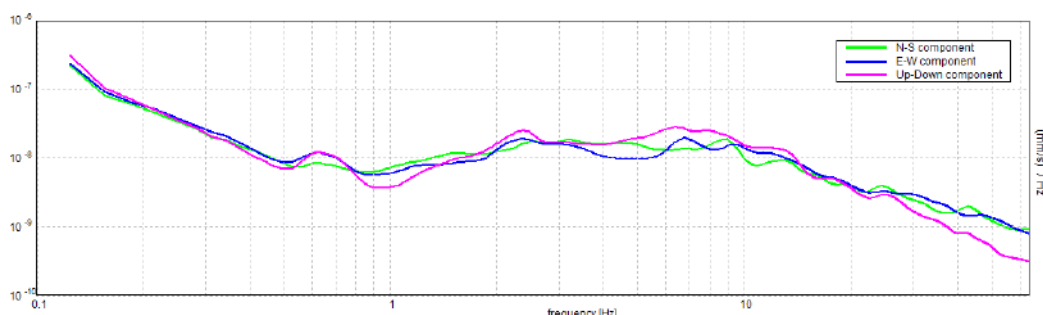
H/V TIME HISTORY



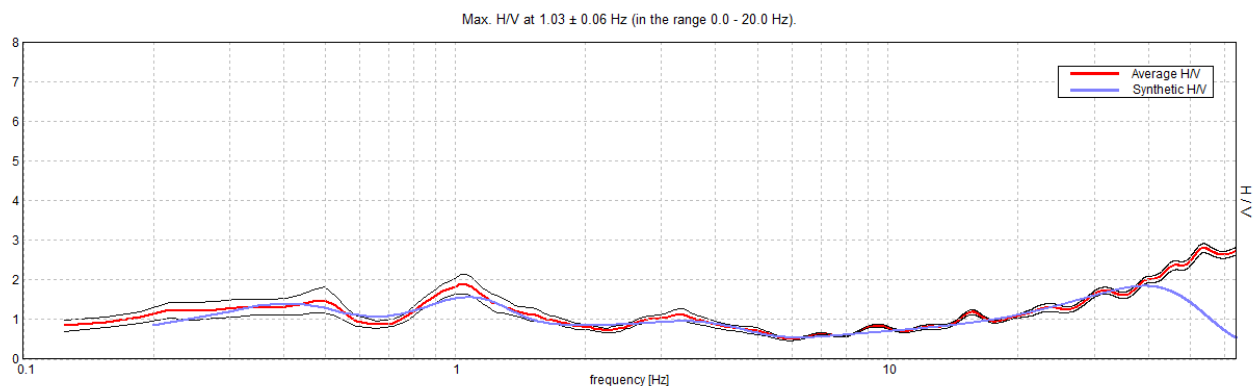
DIRECTIONAL H/V



SINGLE COMPONENT SPECTRA

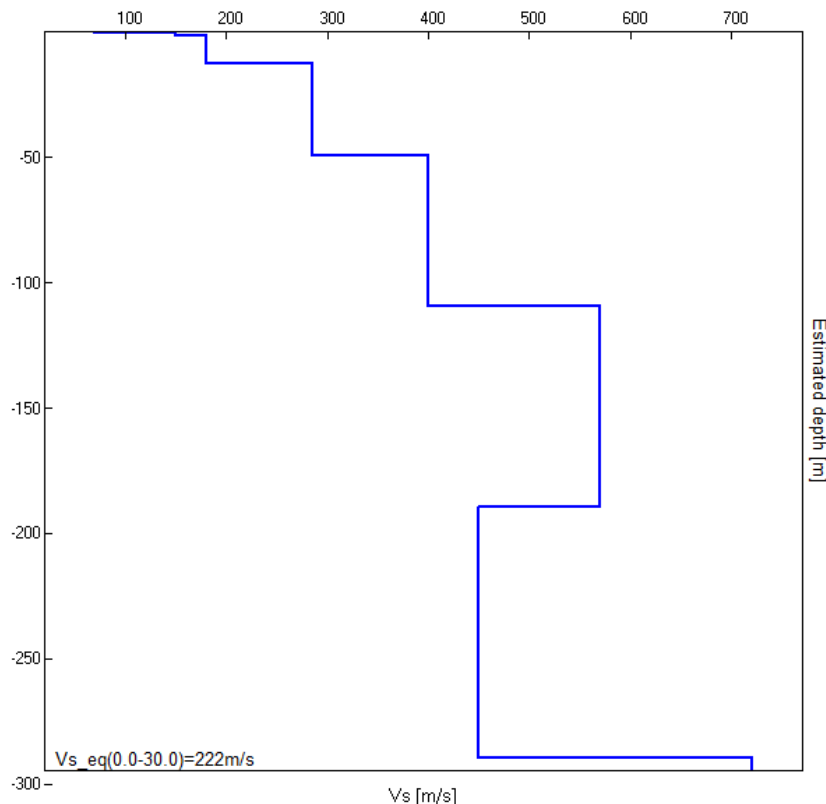


EXPERIMENTAL vs. SYNTHETIC H/V



Depth at the bottom of the layer [m]	Thickness [m]	Vs [m/s]	Poisson ratio
0.40	0.40	70	0.35
1.40	1.00	150	0.35
12.40	11.00	180	0.40
49.40	37.00	285	0.35
109.40	60.00	400	0.40
189.40	80.00	570	0.40
289.40	100.00	450	0.40
inf.	inf.	720	0.40

$Vs_{eq}(0.0-30.0) = 222$ m/s



[According to the SESAME, 2005 guidelines. Please read carefully the *Grilla* manual before interpreting the following tables.]

Max. H/V at 1.03 ± 0.06 Hz (in the range 0.0 - 20.0 Hz).

Criteria for a reliable H/V curve

[All 3 should be fulfilled]

$f_0 > 10 / L_w$	$1.03 > 0.50$	OK	
$n_c(f_0) > 200$	$1031.3 > 200$	OK	
$\sigma_A(f) < 2$ for $0.5f_0 < f < 2f_0$ if $f_0 > 0.5\text{Hz}$ $\sigma_A(f) < 3$ for $0.5f_0 < f < 2f_0$ if $f_0 < 0.5\text{Hz}$	Exceeded 0 out of 50 times	OK	

Criteria for a clear H/V peak

[At least 5 out of 6 should be fulfilled]

Exists f^- in $[f_0/4, f_0]$ $A_{H/V}(f^-) < A_0 / 2$	0.719 Hz	OK	
Exists f^+ in $[f_0, 4f_0]$ $A_{H/V}(f^+) < A_0 / 2$	1.75 Hz	OK	
$A_0 > 2$	$1.90 > 2$		NO
$f_{peak}[A_{H/V}(f) \pm \sigma_A(f)] = f_0 \pm 5\%$	$ 0.05488 < 0.05$		NO
$\sigma_f < \varepsilon(f_0)$	$0.0566 < 0.10313$	OK	
$\sigma_A(f_0) < \theta(f_0)$	$0.2432 < 1.78$	OK	

L_w	window length
n_w	number of windows used in the analysis
$n_c = L_w n_w f_0$	number of significant cycles
f	current frequency
f_0	H/V peak frequency
σ_f	standard deviation of H/V peak frequency
$\varepsilon(f_0)$	threshold value for the stability condition $\sigma_f < \varepsilon(f_0)$
A_0	H/V peak amplitude at frequency f_0
$A_{H/V}(f)$	H/V curve amplitude at frequency f
f^-	frequency between $f_0/4$ and f_0 for which $A_{H/V}(f^-) < A_0/2$
f^+	frequency between f_0 and $4f_0$ for which $A_{H/V}(f^+) < A_0/2$
$\sigma_A(f)$	standard deviation of $A_{H/V}(f)$, $\sigma_A(f)$ is the factor by which the mean $A_{H/V}(f)$ curve should be multiplied or divided
$\sigma_{\log H/V}(f)$	standard deviation of $\log A_{H/V}(f)$ curve
$\theta(f_0)$	threshold value for the stability condition $\sigma_A(f) < \theta(f_0)$

Threshold values for σ_f and $\sigma_A(f_0)$

Freq. range [Hz]	< 0.2	0.2 – 0.5	0.5 – 1.0	1.0 – 2.0	> 2.0
$\varepsilon(f_0)$ [Hz]	$0.25 f_0$	$0.2 f_0$	$0.15 f_0$	$0.10 f_0$	$0.05 f_0$
$\theta(f_0)$ for $\sigma_A(f_0)$	3.0	2.5	2.0	1.78	1.58
$\log \theta(f_0)$ for $\sigma_{\log H/V}(f_0)$	0.48	0.40	0.30	0.25	0.20

**PROVE PENETROMETRICHE ESEGUITE SUL
SITO ENOMONDO PER PROGETTO
DI REALIZZAZIONE DI CAPANNONE E TETTOIA**

Comune
Via
Localita'
Committente
Data

Faenza
Convertite
Stabilimento CAVIRO
Enomondo
14/07/2020

Falda

2.40 m

Sigla della Punta
Azzeramento
Ultimo taratura guadagno
Ultimo taratura per deriva termica

Tecnopenta 100707
Inizio prova
31-gen-2020
31-gen-2020

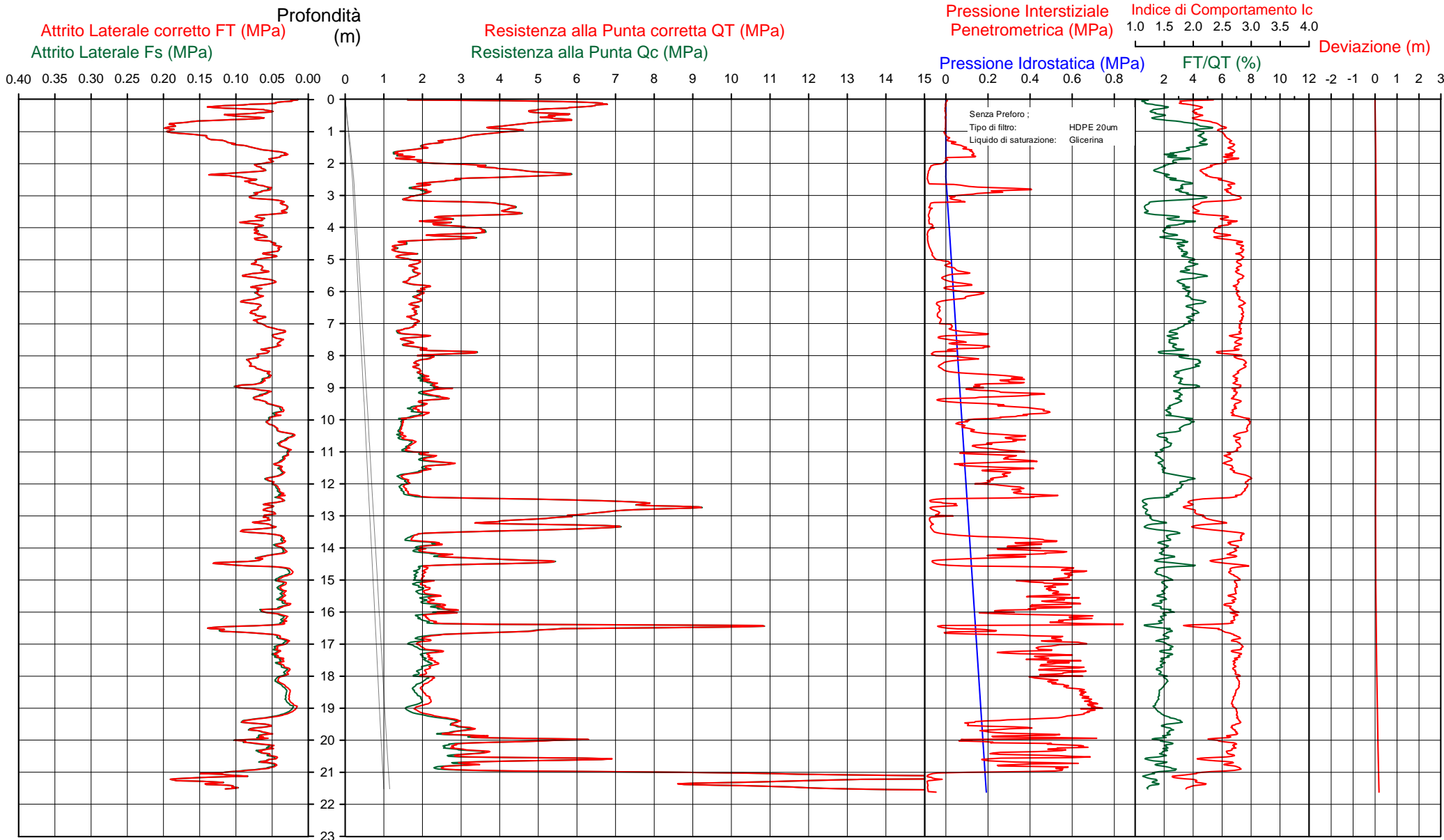


Società di
Geologia
Territoriale

S.G.T. sas
di Van Zutphen Albert & C.
www.geo55.com

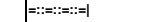
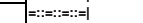
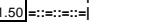
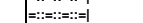
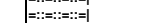
CPTU

1



Data
Cantiere / Via
Località
Comune
Profondità falda idrica m.

14/07/2020
Convertite
Stabilimento CAVIRO
Faenza
2.40

qt daN/cmq	Qc1N Idriss & Boulanger 2004	ft daN/cmq	FT/Qnet %	Ic	Litologia Idriss iterazione basato su Fr vs Qc1N	H m	Litologia grafica idrica	Falda	Addensamento (Sabbia) Consistenza (Argilla)	Densità Relativa Tatsuoka 1990 %	Angolo Attrito ψ Kulhawy & Mayne 1990 %	Coesione non drenato Cu Benassi daN/cmq	OCR Marchi / SGT daN/cmq	Modulo Edometrico M Benassi daN/cmq	Velocità Vs Robertson & Caball 2009 m/sec
46.1	78.3	0.29	0.7	1.92	sabbia-sabbia limosa	0.10			Mediamente Addensata	58.9	46.8	.	.	142.8	158
62.3	105.8	0.99	1.6	2.01	sabbia-sabbia limosa	0.30			Addensata	68.9	45.1	.	.	231.5	195
53.1	90.2	0.88	1.6	2.08	sabbia limosa-limo sabbioso	0.70			Mediamente Addensata	63.6	42.2	.	.	199.1	187
39.8	67.7	1.77	4.5	2.49	limo argilloso-argilla limosa	1.20			Semi solida (Molto duro)	.	.	1.58	57.58	229.0	210
23.7	40.2	1.08	4.6	2.65	limo argilloso-argilla limosa	1.50			Solido-plastica (Duro)	.	.	1.19	23.47	136.0	179
16.8	28.5	0.48	2.9	2.63	limo argilloso-argilla limosa	2.00			Plastica	.	.	0.95	12.51	95.1	147
42.5	62.6	0.83	2.0	2.26	sabbia limosa-limo sabbioso	2.50			Mediamente Addensata	51.6	37.5	.	.	177.5	186
20.2	31.1	0.66	3.4	2.64	limo argilloso-argilla limosa	3.20			Solido-plastica (Duro)	.	.	1.08	11.28	117.9	162
42.0	56.6	0.35	0.8	2.06	sabbia limosa-limo sabbioso	3.60			Mediamente Addensata	48.2	36.9	.	.	133.3	164
25.7	35.6	0.72	3.0	2.56	limo argilloso-argilla limosa	4.00			Solido-plastica (Duro)	.	.	1.25	10.09	148.4	174
34.6	45.5	0.72	2.1	2.38	sabbia limosa-limo sabbioso	4.20			Mediamente Addensata	41.0	35.8	.	.	150.1	182
26.7	35.3	0.66	2.7	2.53	limo argilloso-argilla limosa	4.40			Solido-plastica (Duro)	.	.	1.28	9.03	138.2	174
14.1	19.1	0.47	3.6	2.82	limo argilloso-argilla limosa	4.90			Plastica	.	.	0.84	4.90	82.0	150
18.1	21.9	0.69	4.0	2.80	limo argilloso-argilla limosa	7.10			Plastica	.	.	1.00	4.09	104.8	168
14.8	16.5	0.39	2.9	2.81	limo argilloso-argilla limosa	7.30			Plastica	.	.	0.87	3.70	83.4	150
17.6	19.1	0.45	2.8	2.75	limo argilloso-argilla limosa	7.80			Plastica	.	.	0.98	4.44	94.5	158
25.0	26.4	0.65	2.9	2.65	limo argilloso-argilla limosa	8.10			Solido-plastica (Duro)	.	.	1.23	6.01	142.8	179
18.9	19.5	0.71	4.1	2.84	limo argilloso-argilla limosa	8.60			Plastica	.	.	1.03	3.99	109.2	174
22.6	22.5	0.68	3.2	2.73	limo argilloso-argilla limosa	9.40			Solido-plastica (Duro)	.	.	1.16	4.10	131.7	178
19.0	18.2	0.45	2.7	2.75	limo argilloso-argilla limosa	10.00			Plastica	.	.	1.04	3.68	99.1	164

Data
Cantiere / Via
Località
Comune
Profondità falda idrica m.

14/07/2020
Convertite
Stabilimento CAVIRO
Faenza
2.40

qt daN/cmq	Qc1N Idriss & Boulanger 2004	ft daN/cmq	FT/Qnet %	lc Idriss iterazio ne	Litologia Idriss iterazione basato su Fr vs Qc1N	H m	Litologia grafica	Falda idrica	Addensamento (Sabbia) Consistenza (Argilla)	Densità Relativa Tatsuoka 1990 %	Angolo Attrito ψ Kulhawy & Mayne 1990 %	Coesione non drenato Cu Benassi daN/cmq	OCR Marchi / SGT Benassi daN/cmq	Modulo Edometrico M Robertson & Caball 2009 m/sec	Velocità Vs 163
14.9	13.9	0.53	4.1	2.96	argilla-argilla limosa	10.20			Plastica	.	.	0.88	2.69	85.9	163
15.8	14.4	0.33	2.4	2.80	limo argilloso-argilla limosa	11.00			Plastica	.	.	0.92	2.51	74.0	151
22.3	19.8	0.36	1.8	2.62	limo argilloso-argilla limosa	11.60			Solido-plastica (Duro)	.	.	1.15	3.39	86.4	163
16.3	13.9	0.43	3.1	2.88	limo argilloso-argilla limosa	12.40			Plastica	.	.	0.94	2.83	97.3	161
69.4	61.7	0.49	0.8	2.02	sabbia-sabbia limosa	12.90			Mediamente Addensata	51.1	37.2	.	.	218.7	200
50.8	43.5	0.58	1.3	2.26	sabbia limosa-limo sabbioso	13.30			Mediamente Addensata	39.5	35.7	.	.	174.8	200
67.6	58.5	0.52	0.8	2.04	sabbia-sabbia limosa	13.40			Mediamente Addensata	49.3	37.0	.	.	213.2	203
43.3	36.3	0.88	2.3	2.48	limo argilloso-argilla limosa	13.50			Semi solida (Molto duro)	.	.	1.64	6.12	198.5	213
18.6	14.7	0.41	2.5	2.82	limo argilloso-argilla limosa	13.80			Plastica	.	.	1.02	2.81	92.3	165
22.8	17.9	0.41	2.0	2.69	limo argilloso-argilla limosa	14.30			Solido-plastica (Duro)	.	.	1.16	3.31	95.1	170
45.2	36.7	0.91	2.2	2.46	limo argilloso-argilla limosa	14.50			Semi solida (Molto duro)	.	.	1.67	5.67	199.8	213
21.0	15.8	0.36	2.0	2.72	limo argilloso-argilla limosa	15.50			Solido-plastica (Duro)	.	.	1.11	2.93	86.6	166
24.2	17.7	0.39	1.8	2.67	limo argilloso-argilla limosa	16.00			Solido-plastica (Duro)	.	.	1.21	2.71	95.7	172
26.4	19.4	0.35	1.7	2.64	limo argilloso-argilla limosa	16.40			Solido-plastica (Duro)	.	.	1.27	2.89	99.5	174
95.2	78.8	1.10	1.3	2.04	sabbia-sabbia limosa	16.50			Mediamente Addensata	59.1	38.2	.	.	326.3	242
42.7	32.1	0.97	2.4	2.55	limo argilloso-argilla limosa	16.70			Semi solida (Molto duro)	.	.	1.63	6.08	203.4	216
21.4	14.3	0.33	1.8	2.75	limo argilloso-argilla limosa	18.90			Solido-plastica (Duro)	.	.	1.12	2.42	84.6	167
18.6	11.8	0.18	1.2	2.72	limo argilloso-argilla limosa	19.10			Plastica	.	.	1.02	1.96	62.4	151
28.0	18.3	0.61	2.4	2.73	limo argilloso-argilla limosa	19.90			Solido-plastica (Duro)	.	.	1.31	2.10	134.2	191
51.7	36.0	0.75	1.6	2.39	sabbia limosa-limo sabbioso	20.00			Sciolta	33.2	34.9	.	.	191.7	218

Data
Cantiere / Via
Località
Comune
Profondità falda idrica m.

14/07/2020

Convertite
Stabilimento CAVIRO
Faenza
2.40

qt daN/cmq	Qc1N Idriss & Boulanger 2004	ft daN/cmq	FT/Qnet %	lc	Litologia Idriss iterazione basato su Fr vs Qc1N	H m	Litologia grafica	Falda idrica	Addensamento (Sabbia) Consistenza (Argilla)	Densità Relativa Tatsuoka 1990 %	Angolo Attrito ψ Kulhawy & Mayne 1990 %	Coesione non drenato Cu Benassi daN/cmq	OCR Marchi / SGT Benassi daN/cmq	Modulo Edometrico M Robertson & Caballero 2009 m/sec	Velocità Vs 199
32.5	21.1	0.63	2.2	2.66	limo argilloso-argilla limosa 20.30	2.66	=:::=-:::= =:::=-:::= =:::=-:::= =:::=-:::=		Semi solida (Molto duro)	.	.	1.42	3.99	144.2	199
33.2	21.3	0.59	2.0	2.63	limo argilloso-argilla limosa 20.50	2.63	=:::=-:::= =:::=-:::= =:::=-:::= =:::=-:::=		Semi solida (Molto duro)	.	.	1.44	3.56	137.7	198
55.4	38.4	0.46	1.0	2.25	sabbia limosa-limo sabbioso 20.60	2.25	::::::::::=-:::=		Mediamente Addensata	35.4	35.2	.	.	178.7	206
36.2	23.4	0.52	1.7	2.56	limo argilloso-argilla limosa 20.80	2.56	=:::=-:::= =:::=-:::= =:::=-:::= =:::=-:::=		Semi solida (Molto duro)	.	.	1.50	3.96	137.2	198
25.4	15.5	0.53	2.5	2.79	limo argilloso-argilla limosa 20.90	2.79	=:::=-:::= =:::=-:::= =:::=-:::= =:::=-:::=		Solido-plastica (Duro)	.	.	1.24	2.44	123.2	188
52.1	35.8	0.93	2.2	2.50	limo argilloso-argilla limosa 21.00	2.50	=:::=-:::= =:::=-:::= =:::=-:::= =:::=-:::=		Solda (Durissimo)	.	.	1.77	4.99	229.9	234
139.5	113.4	1.42	1.1	1.89	sabbia-sabbia limosa 21.30	1.89			Addensata	71.1	39.6	.	.	461.3	265
91.7	67.4	1.29	1.5	2.15	sabbia limosa-limo sabbioso 21.40	2.15	::::::::::=-:::=		Mediamente Addensata	54.0	37.5	.	.	329.4	253
145.9	95.3	1.09	0.9	1.91	sabbia-sabbia limosa 21.40	1.91			Addensata	65.4	39.7	.	.	468.0	271

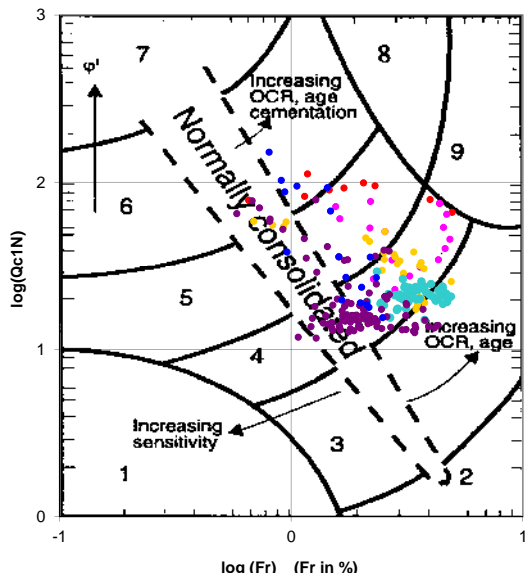
Comune
Via
Localita'
Committente
Data

Faenza
Convertite
Stabilimento CAVIRO
Enomondo
14/07/2020

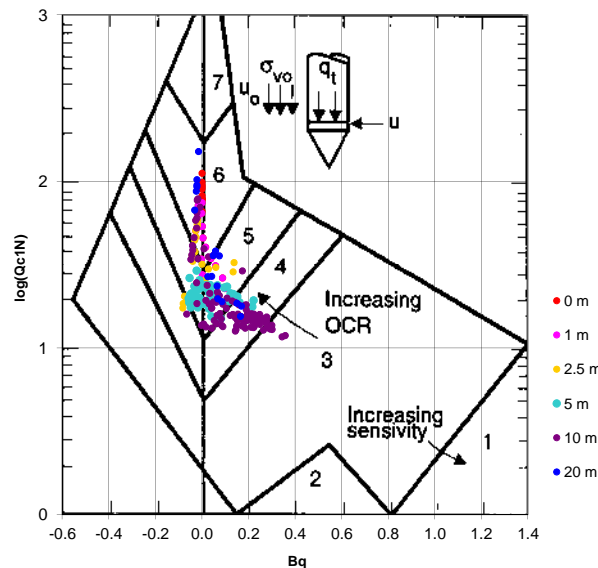
Numero prova
Quota falda

1
2.40

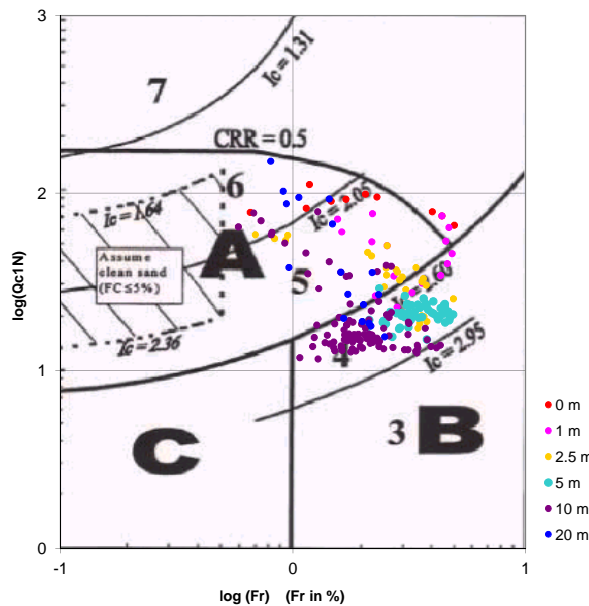
Cross-plot Qc1N verso Fr
(Robertson 1990)



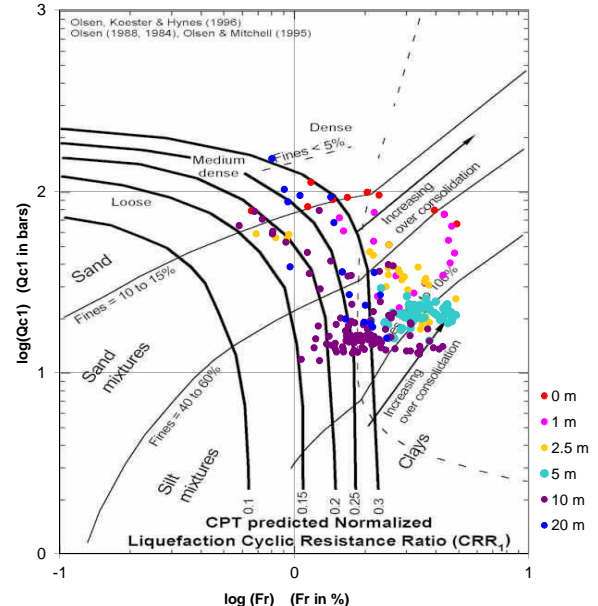
Cross-plot Qc1N verso Bq
(Robertson 1990)



Cross-plot Qc1N verso Fr
per la verifica della liquefazione
secondo Robertson 1996



Cross-plot Qc1N verso Fr
per la verifica della liquefazione
secondo Olsen 1996



Litotipo secondo Robertson 1990

Zone	Tipo di comportamento
9	Terreni molto duri a grana fine
8	Sabbia molto densa e sabbia argillosa
7	Sabbia ghiosa – sabbia densa
6	Sabbia – sabbia limosa
5	Sabbia limosa – limo sabbioso
4	Limo argilloso – argilla limosa
3	Argilla limoso – argilla
2	Torba
1	Terreni fini sensiti

Potenziale di liquefabilità

Zone A	Liquefazione ciclica possibile - dipendente da ampiezza e tempo del carico ciclico.
Zone B	Liquefazione improbabile.
Zone C	Liquefazione fluida e liquefazione ciclica possibile - dipendente da plasticità e sensitività, da ampiezza e tempo del carico ciclico.

Comune
Via
Localita'
Committente
Data

Faenza
Convertite
Stabilimento CAVIRO
Enomondo
14-lug-20

Falda

2.00 m

Sigla della Punta
Azzeramento
Ultimo taratura guadagno
Ultimo taratura per deriva termica

Tecnopenta 100707
Inizio prova
31-gen-2020
31-gen-2020

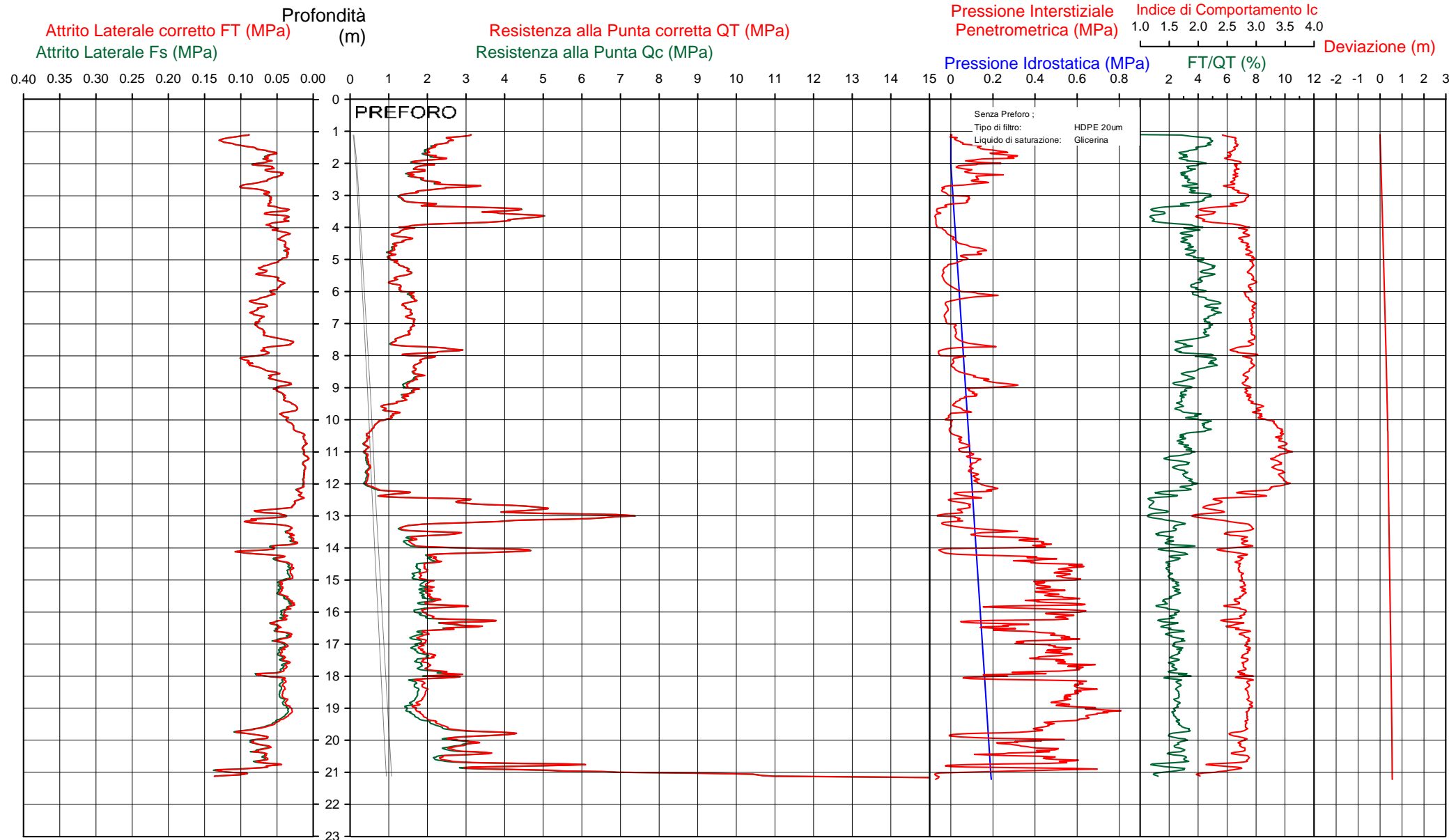


Società di
Geologia
Territoriale

S.G.T. sas
di Van Zutphen Albert & C.
www.geo55.com

CPTU

2



Data
Cantiere / Via
Località
Comune
Profondità falda idrica m.

14 luglio 2020
Convertite
Stabilimento CAVIRO
Faenza
2.00

qt daN/cmq	Qc1N Idriß & Boulanger 2004	ft daN/cmq	FT/Qnet %	lc	Litologia Idriß iterazione basato su Fr vs Qc1N	H m	Litologia grafica idrica	Falda	Addensamento (Sabbia) Consistenza (Argilla)	Densità Relativa Tatsuoka 1990 %	Angolo Attrito ψ Kulhawy & Mayne 1990 %	Coesione non drenato Cu Benassi daN/cmq	OCR Marchi / SGT daN/cmq	Modulo Edometrico M Benassi daN/cmq	Velocità Vs Robertson & Caball 2009 m/sec
25.3	43.0	1.10	4.4	2.62	limo argilloso-argilla limosa	1.50			Solido-plastica (Duro)	.	.	1.24	27.40	145.7	181
21.2	36.1	0.63	3.0	2.56	limo argilloso-argilla limosa	1.90			Solido-plastica (Duro)	.	.	1.11	14.96	125.6	160
17.6	29.9	0.59	3.4	2.65	limo argilloso-argilla limosa	2.50			Plastica	.	.	0.98	9.97	102.4	154
24.8	40.0	0.84	3.5	2.57	limo argilloso-argilla limosa	2.80			Solido-plastica (Duro)	.	.	1.22	11.05	144.1	173
16.1	26.5	0.62	4.1	2.75	limo argilloso-argilla limosa	3.30			Plastica	.	.	0.93	8.83	92.8	154
38.5	53.9	0.47	1.4	2.19	sabbia limosa-limo sabbioso	3.90			Mediamente Addensata	46.6	36.7	.	.	135.5	169
12.4	18.5	0.42	3.6	2.84	limo argilloso-argilla limosa	5.00			Plastica	.	.	0.77	5.53	72.1	141
13.8	19.0	0.65	5.0	2.91	limo argilloso-argilla limosa	5.50			Plastica	.	.	0.83	3.79	78.9	156
11.5	15.6	0.50	4.7	2.96	argilla-argilla limosa	5.70			Plastica	.	.	0.73	3.67	66.1	146
15.1	18.7	0.68	4.9	2.91	limo argilloso-argilla limosa	7.30			Plastica	.	.	0.88	3.07	86.1	162
13.4	15.7	0.57	4.7	2.96	argilla-argilla limosa	7.50			Plastica	.	.	0.82	3.58	77.1	156
11.7	13.6	0.33	3.2	2.90	limo argilloso-argilla limosa	7.70			Plastica	.	.	0.74	2.77	68.5	140
17.2	18.5	0.59	3.8	2.84	limo argilloso-argilla limosa	9.50			Plastica	.	.	0.97	5.12	99.7	163
8.9	9.0	0.23	3.3	3.06	argilla-argilla limosa	9.70			Molle-plastica (Soffice)	.	.	0.59	1.71	51.7	128
10.8	10.8	0.38	4.3	3.06	argilla-argilla limosa	10.00			Plastica	.	.	0.69	2.24	62.5	144
6.3	6.1	0.28	6.4	3.37	argilla-argilla limosa	10.40			Molle-plastica (Soffice)	.	.	0.45	1.41	44.2	121
4.5	4.2	0.12	4.9	3.43	argilla-argilla limosa				Fluido-plastica (Molto Soffice)	.	.	0.33	0.77	29.6	95

Data
Cantiere / Via
Località
Comune
Profondità falda idrica m.

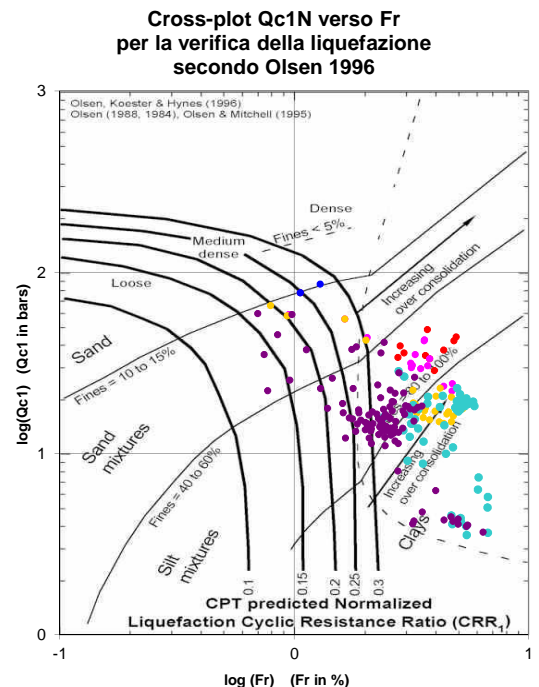
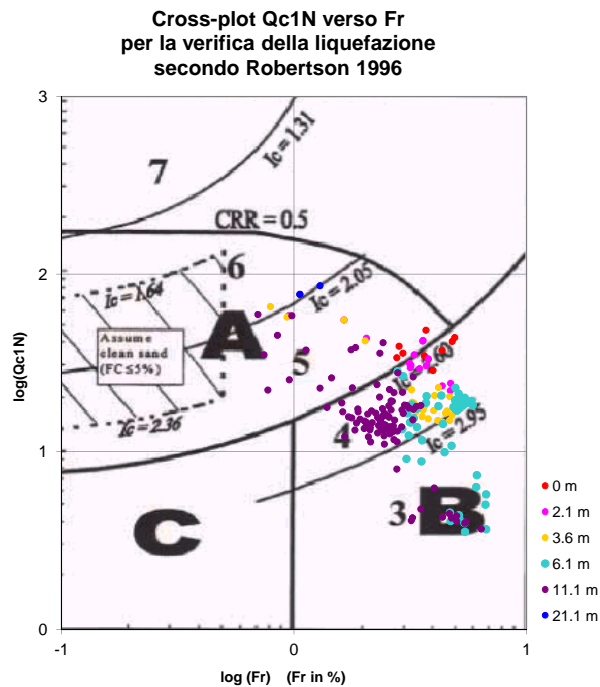
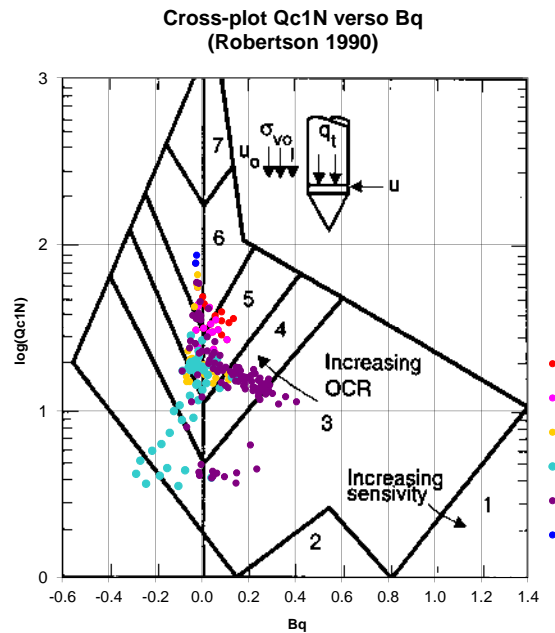
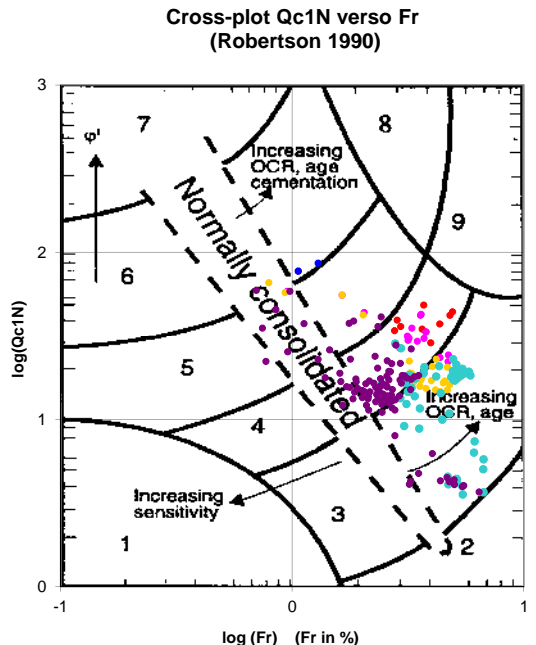
14 luglio 2020
Convertite
Stabilimento CAVIRO
Faenza
2.00

qt daN/cmq	Qc1N Idriss & Boulanger 2004	ft daN/cmq	FT/Qnet %	lc Idriss iterazio ne	Litologia Idriss iterazione basato su Fr vs Qc1N	H m	Litologia grafica	Falda idrica	Addensamento (Sabbia) Consistenza (Argilla)	Densità Relativa Tatsuoka 1990 %	Angolo Attrito ψ Kulhawik & Mayne 1990 %	Coesione non drenato Cu Benassi daN/cmq	OCR Marchi / SGT	Modulo Edometrico M Benassi daN/cmq	Velocità Vs Robertson & Caballero 2009 m/sec
9.9	8.8	0.19	2.8	3.02	argilla-argilla limosa	12.10			Molle-plastica (Soffice)	-	-	0.65	1.16	54.1	126
24.7	22.3	0.16	0.8	2.41	limo argilloso-argilla limosa	12.40			Solido-plastica (Duro)	-	-	1.22	4.02	77.6	151
33.6	30.4	0.26	0.8	2.30	sabbia limosa-limo sabbioso	12.50			Sciolti	27.7	34.0	-	-	106.6	165
46.4	42.2	0.57	1.3	2.27	sabbia limosa-limo sabbioso	12.70			Mediamente Addensata	38.5	35.5	-	-	161.6	193
64.6	59.0	0.51	0.8	2.04	sabbia-sabbia limosa	12.90			Mediamente Addensata	49.6	37.1	-	-	204.8	198
30.4	26.8	0.73	2.8	2.66	limo argilloso-argilla limosa	13.10			Semi solida (Molto duro)	-	-	1.37	6.24	165.0	190
18.4	15.5	0.33	2.2	2.76	limo argilloso-argilla limosa	14.00			Plastica	-	-	1.02	2.02	81.0	156
43.6	37.6	0.73	1.8	2.39	sabbia limosa-limo sabbioso	14.10			Sciolti	34.7	35.0	-	-	168.6	202
24.0	19.9	0.55	2.5	2.71	limo argilloso-argilla limosa	14.50			Solido-plastica (Duro)	-	-	1.20	4.48	118.5	177
20.4	16.0	0.36	2.1	2.73	limo argilloso-argilla limosa	16.10			Solido-plastica (Duro)	-	-	1.08	2.60	86.2	164
26.9	20.6	0.47	2.1	2.65	limo argilloso-argilla limosa	16.60			Solido-plastica (Duro)	-	-	1.28	2.73	113.4	179
20.3	14.7	0.42	2.4	2.81	limo argilloso-argilla limosa	18.10			Solido-plastica (Duro)	-	-	1.08	2.38	97.6	169
18.5	12.5	0.37	2.5	2.87	limo argilloso-argilla limosa	19.30			Plastica	-	-	1.02	2.04	89.2	165
23.7	16.0	0.60	2.9	2.83	limo argilloso-argilla limosa	19.70			Solido-plastica (Duro)	-	-	1.19	2.23	134.6	185
30.0	20.2	0.73	2.8	2.74	limo argilloso-argilla limosa	20.70			Semi solida (Molto duro)	-	-	1.37	4.12	164.7	200
53.0	37.5	0.54	1.1	2.28	sabbia limosa-limo sabbioso	20.80			Sciolti	34.6	35.1	-	-	176.1	205
45.8	31.9	1.02	2.5	2.56	limo argilloso-argilla limosa	21.00			Semi solida (Molto duro)	-	-	1.68	3.40	223.7	222
123.1	81.8	1.19	1.2	2.02	sabbia-sabbia limosa	21.00			Mediamente Addensata	60.4	39.1	-	-	413.3	268

Comune
Via
Localita'
Committente
Data
Numero prova
Quota falda

Faenza
Convertite
Stabilimento CAVIRO
Enomondo
14-lug-20

2
2.00



Litotipo secondo Robertson 1990

Zone	Tipo di comportamento
9	Terreni molto duri a grana fine
8	Sabbia molto densa e sabbia argillosa
7	Sabbia ghiosa – sabbia densa
6	Sabbia – sabbia limosa
5	Sabbia limosa – limo sabbioso
4	Limo argilloso – argilla limosa
3	Argilla limoso – argilla
2	Torba
1	Terreni fini sensiti

Potenziale di liquefabilità

Zone A	Liquefazione ciclica possibile - dipendente da ampiezza e tempo del carico ciclico.
Zone B	Liquefazione improbabile.
Zone C	Liquefazione fluida e liquefazione ciclica possibile - dipendente da plasticità e sensitività, da ampiezza e tempo del carico ciclico.

Comune
Via
Localita'
Committente
Data

Faenza
Convertite
Stabilimento CAVIRO
Enomondo
14-lug-20

Falda

foro chiuso e asciutto a 2.80m

Sigla della Punta
Azzeramento
Ultimo taratura guadagno
Ultimo taratura per deriva termica

Tecnopenta 100707
Inizio prova
31-gen-2020
31-gen-2020

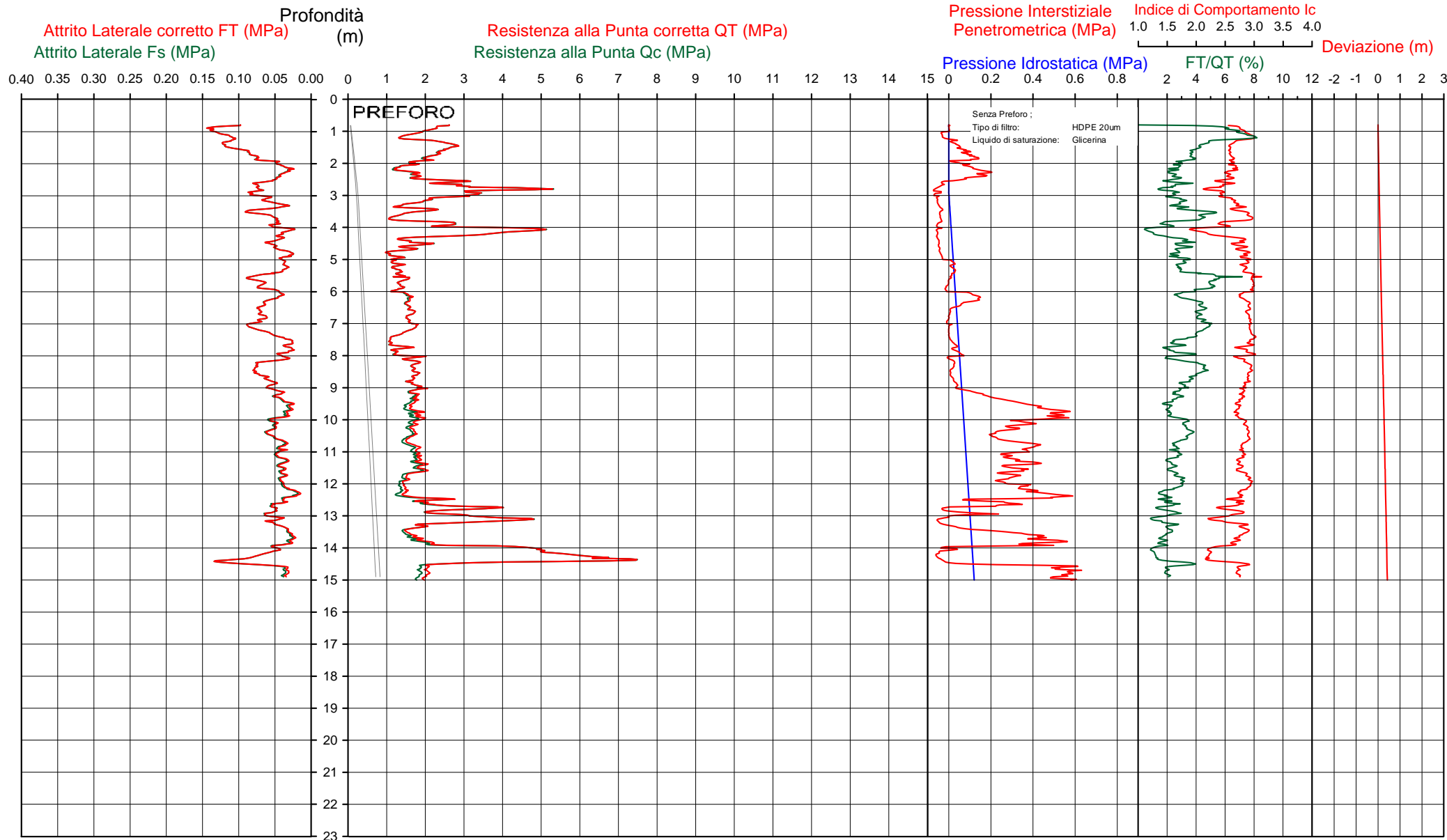


Società di
Geologia
Territoriale

S.G.T. sas
di Van Zutphen Albert & C.
www.geo55.com

CPTU

3



Data
Cantiere / Via
Località
Comune
Profondità falda idrica m.

14 luglio 2020
Convertite
Stabilimento CAVIRO
Faenza
2.90
foro chiuso e asciutto a 2.80m

qt daN/cmq	Qc1N Idriss & Boulanger 2004	ft daN/cmq	FT/Qnet %	lc	Litologia Idriss iterazione basato su Fr vs Qc1N	H m	Litologia grafica	Falda idrica	Addensamento (Sabbia) Consistenza (Argilla)	Densità Relativa Tatsuoka 1990 %	Angolo Attrito ψ Kulhawik & Mayne 1990 %	Coesione non drenato Cu Benassi daN/cmq	OCR Marchi / SGT daN/cmq	Modulo Edometrico M Benassi daN/cmq	Velocità Vs Robertson & Caballero 2009 m/sec
22.2	37.8	1.32	6.0	2.75	limo argilloso-argilla limosa	1.00	=:::=-:::		Solido-plastica (Duro)	.	.	1.15	32.70	125.0	185
16.5	28.0	1.15	7.2	2.90	limo argilloso-argilla limosa	1.30	=:::=-:::		Plastica	.	.	0.94	18.81	90.5	175
24.1	41.0	0.96	4.0	2.60	limo argilloso-argilla limosa	1.90	=:::=-:::		Solido-plastica (Duro)	.	.	1.20	19.46	139.6	175
16.3	27.7	0.45	2.8	2.63	limo argilloso-argilla limosa	2.10	=:::=-:::		Plastica	.	.	0.93	10.37	89.8	146
12.4	21.1	0.29	2.4	2.68	limo argilloso-argilla limosa	2.20	=:::=-:::		Plastica	.	.	0.77	7.12	59.6	131
17.3	28.9	0.41	2.4	2.57	limo argilloso-argilla limosa	2.50	=:::=-:::		Plastica	.	.	0.98	8.58	82.1	144
27.1	40.7	0.68	2.6	2.47	limo argilloso-argilla limosa	2.70	=:::=-:::		Solido-plastica (Duro)	.	.	1.29	13.37	138.5	171
36.5	50.6	0.77	2.2	2.36	sabbia limosa-limo sabbioso	3.00		Mediamente Addensata	44.5	36.3	.	.	163.3	184
22.7	32.4	0.61	2.9	2.58	limo argilloso-argilla limosa	3.20	=:::=-:::		Solido-plastica (Duro)	.	.	1.16	10.32	125.8	166
15.1	21.7	0.57	4.0	2.81	limo argilloso-argilla limosa	3.80	=:::=-:::		Plastica	.	.	0.89	5.98	87.5	154
26.7	35.4	0.50	2.0	2.44	limo argilloso-argilla limosa	4.00	=:::=-:::		Solido-plastica (Duro)	.	.	1.28	9.57	110.0	166
44.4	55.5	0.33	0.8	2.05	sabbia-sabbia limosa	4.20		Mediamente Addensata	47.5	36.8	.	.	139.6	167
27.4	35.3	0.44	1.7	2.42	limo argilloso-argilla limosa	4.30	=:::=-:::		Solido-plastica (Duro)	.	.	1.30	9.24	105.6	165
13.6	17.7	0.41	3.2	2.82	limo argilloso-argilla limosa	5.40	=:::=-:::		Plastica	.	.	0.82	4.24	79.7	146
13.6	16.5	0.68	5.4	2.98	argilla-argilla limosa	6.00	=:::=-:::		Plastica	.	.	0.82	3.63	77.0	161
16.0	18.1	0.65	4.4	2.89	limo argilloso-argilla limosa	7.30	=:::=-:::		Plastica	.	.	0.92	3.73	92.0	165
11.9	12.9	0.44	4.1	2.99	argilla-argilla limosa	7.50	=:::=-:::		Plastica	.	.	0.74	2.91	68.6	149
12.5	13.2	0.32	2.9	2.89	limo argilloso-argilla limosa	8.00	=:::=-:::		Plastica	.	.	0.77	2.41	70.7	143
17.2	17.6	0.65	4.1	2.88	limo argilloso-argilla limosa	8.60	=:::=-:::		Plastica	.	.	0.97	3.59	99.6	169
17.3	16.5	0.46	3.0	2.81	limo argilloso-argilla limosa	10.50	=:::=-:::		Plastica	.	.	0.98	3.17	99.7	162
15.4	13.9	0.44	3.2	2.90	limo argilloso-argilla limosa	10.70	=:::=-:::		Plastica	.	.	0.90	2.72	90.1	159
18.2	16.0	0.40	2.5	2.78	limo argilloso-argilla limosa	10.70	=:::=-:::		Plastica	.	.	1.01	2.71	87.9	162

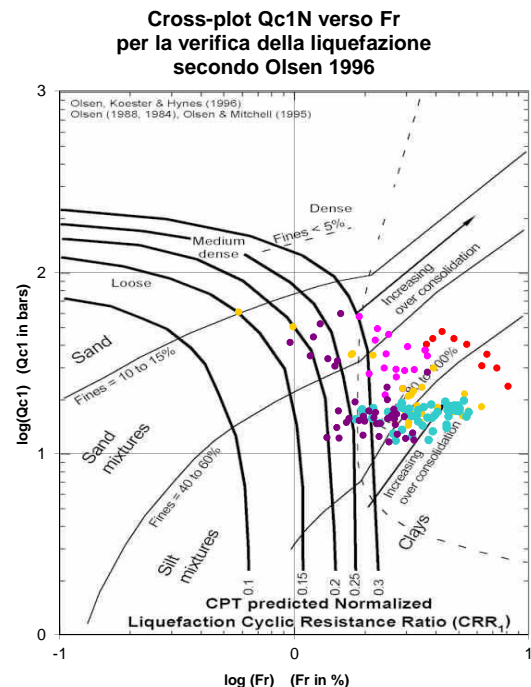
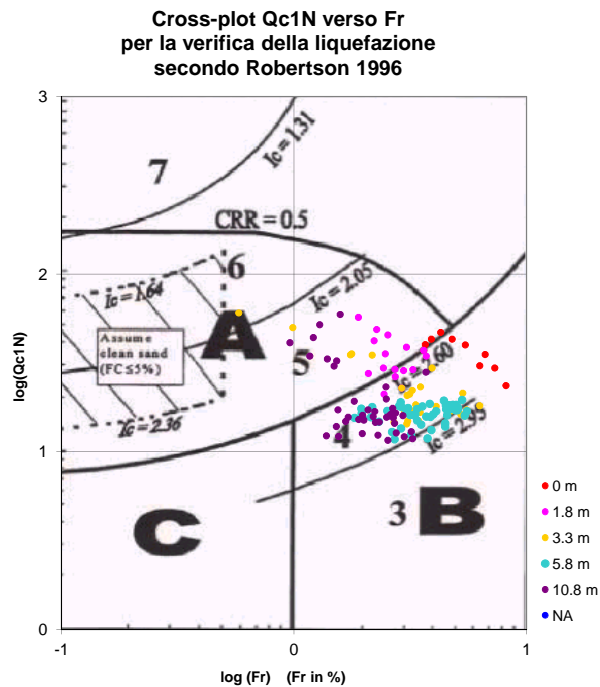
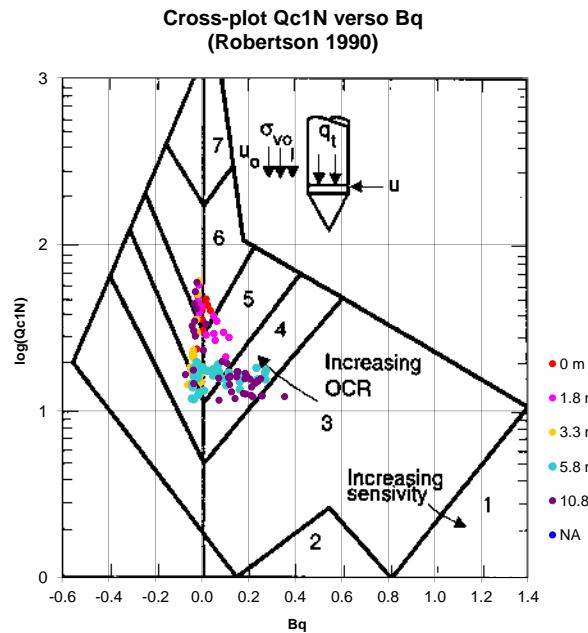
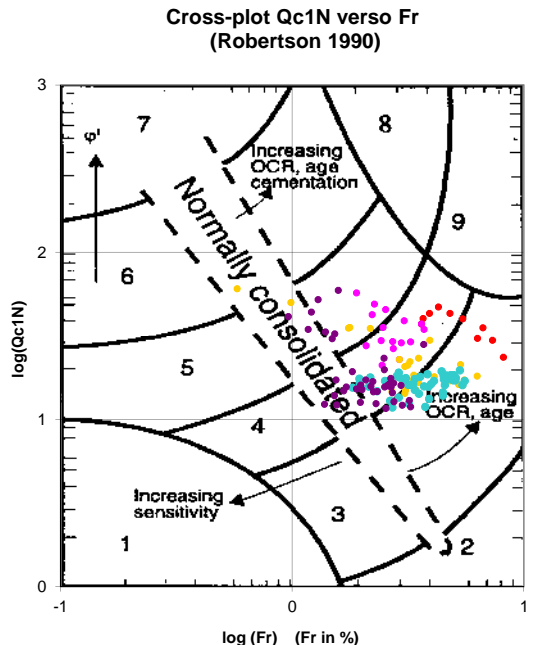
Data
Cantieri / Via
Località
Comune
Profondità falda idrica m.

14 luglio 2020
Convertite
Stabilimento CAVIRO
Faenza
2.90 foro chiuso e asciutto a 2.80rr

Comune
Via
Localita'
Committente
Data
Numero prova
Quota falda

Faenza
Convertite
Stabilimento CAVIRO
Enomondo
14-lug-20

3
2.90



Litotipo secondo Robertson 1990

Zone	Tipo di comportamento
9	Terreni molto duri a grana fine
8	Sabbia molto densa e sabbia argillosa
7	Sabbia ghiosa – sabbia densa
6	Sabbia – sabbia limosa
5	Sabbia limosa – limo sabbioso
4	Limo argilloso – argilla limosa
3	Argilla limoso – argilla
2	Torba
1	Terreni fini sensiti

Potenziale di liquefabilità

Zone A	Liquefazione ciclica possibile - dipendente da ampiezza e tempo del carico ciclico.
Zone B	Liquefazione improbabile.
Zone C	Liquefazione fluida e liquefazione ciclica possibile - dipendente da plasticità e sensitività, da ampiezza e tempo del carico ciclico.

Comune
Via
Localita'
Committente
Data

Faenza
Convertite
Stabilimento CAVIRO
Enomondo
15-lug-20

Falda	2.60 m
Sigla della Punta	Tecnopenta 100707
Azzeramento	Inizio prova
Ultimo taratura guadagno	31-gen-2020
Ultimo taratura per deriva termica	31-gen-2020

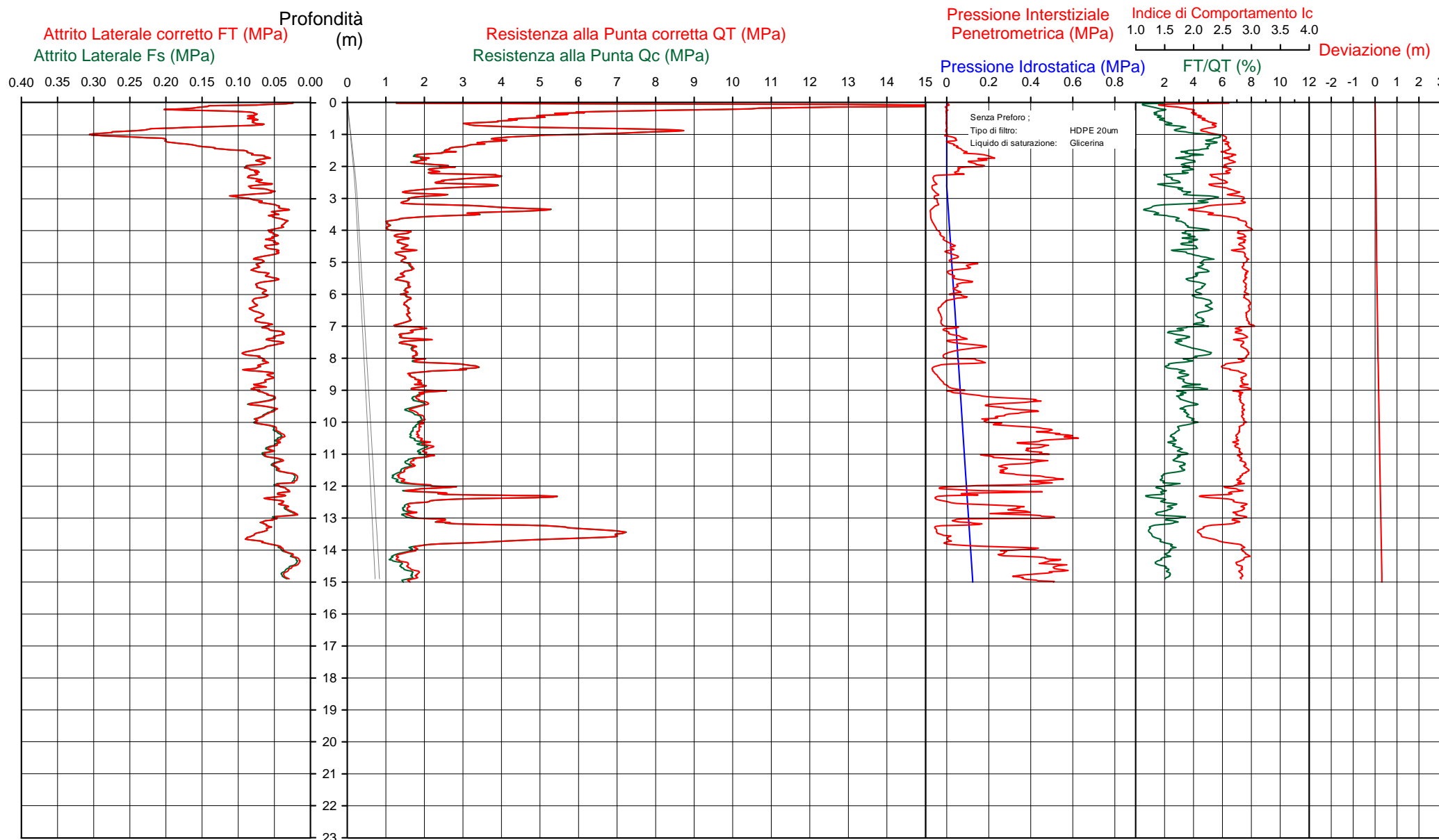


Società di
Geologia
Territoriale

S.G.T. sas
di Van Zutphen Albert & C.

CPTU

4



Data
Cantiere / Via
Località
Comune
Profondità falda idrica m.

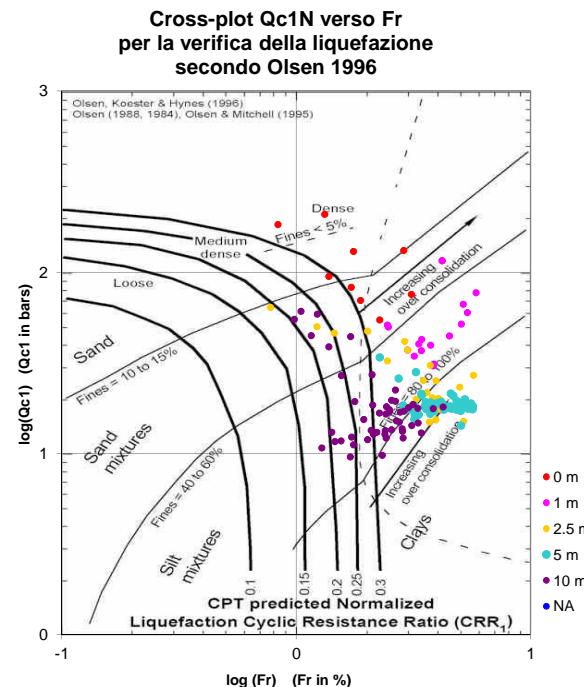
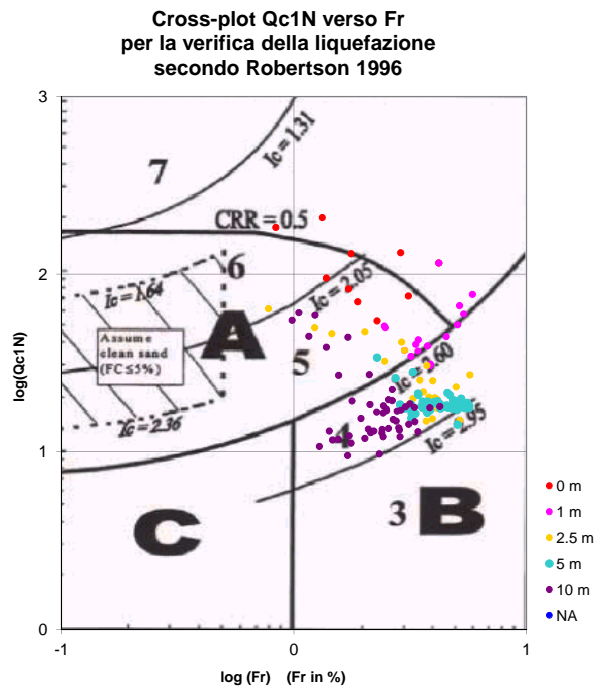
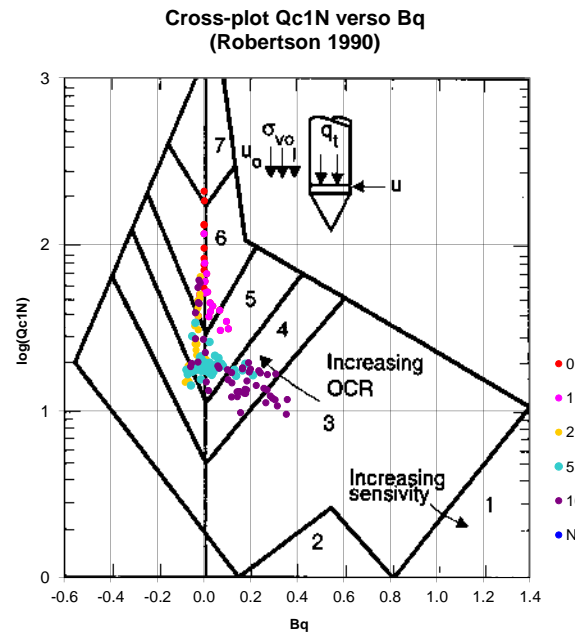
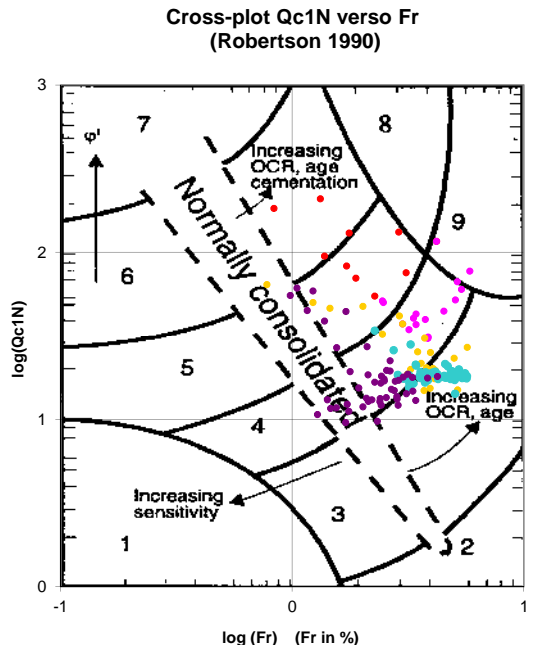
15 luglio 2020
Convertite
Stabilimento CAVIRO
Faenza
2.60

qt daN/cmq	Qc1N Idriss & Boulanger 2004	ft daN/cmq	FT/Qnet %	lc Idriss iterazio ne	Litologia Idriss iterazione basato su Fr vs Qc1N	H m	Litologia grafica	Falda idrica	Addensamento (Sabbia) Consistenza (Argilla)	Densità Relativa Tatsuoka 1990 %	Angolo Attrito ψ Kulhawik & Mayne 1990 %	Coesione non drenato Cu Benassi daN/cmq	OCR Marchi / SGT Benassi daN/cmq	Modulo Edometrico M Robertson & Caballero 2009 m/sec	Velocità Vs m/sec
115.6	196.5	1.12	1.1	1.74	sabbia-sabbia limosa	0.20			Molto addensata	89.3	49.5	.	.	380.8	224
66.5	113.0	1.08	1.6	2.01	sabbia-sabbia limosa	0.40			Addensata	71.0	44.3	.	.	244.3	199
41.7	70.9	0.93	2.2	2.25	sabbia limosa-limo sabbioso	0.80			Mediamente Addensata	55.7	40.5	.	.	187.3	185
75.9	124.3	2.61	3.5	2.23	sabbia limosa-limo sabbioso	1.00			Addensata	74.2	42.4	.	.	441.7	247
45.5	77.3	2.64	5.8	2.54	terreni duri a grana fine	1.10			fortemente sovraconsolidato	.	.	1.68	50.09	256.5	233
35.1	59.6	1.81	5.2	2.57	limo argilloso-argilla limosa	1.40			Semi solida (Molto duro)	.	.	1.48	36.34	199.9	208
22.3	37.6	0.80	3.7	2.60	limo argilloso-argilla limosa	2.20			Solido-plastica (Duro)	.	.	1.15	17.05	129.4	167
33.7	50.7	0.80	2.5	2.39	sabbia limosa-limo sabbioso	2.40			Mediamente Addensata	44.6	36.3	.	.	162.4	181
24.3	37.3	0.71	3.0	2.54	limo argilloso-argilla limosa	2.50			Solido-plastica (Duro)	.	.	1.21	11.73	141.0	169
32.9	47.6	0.64	2.0	2.35	sabbia limosa-limo sabbioso	2.60			Mediamente Addensata	42.5	36.0	.	.	137.6	175
19.5	28.9	0.74	4.1	2.72	limo argilloso-argilla limosa	3.20			Plastica	.	.	1.05	12.30	112.5	166
40.4	53.6	0.44	1.2	2.16	sabbia limosa-limo sabbioso	3.50			Mediamente Addensata	46.4	36.6	.	.	135.1	170
23.5	32.5	0.53	2.4	2.54	limo argilloso-argilla limosa	3.60			Solido-plastica (Duro)	.	.	1.19	8.92	113.0	165
11.1	16.0	0.41	4.0	2.90	limo argilloso-argilla limosa	4.00			Plastica	.	.	0.70	4.70	64.0	139
15.0	19.1	0.62	4.4	2.87	limo argilloso-argilla limosa	6.20			Plastica	.	.	0.88	4.72	86.2	159
15.6	17.8	0.74	5.2	2.94	limo argilloso-argilla limosa	6.90			Plastica	.	.	0.91	3.74	88.6	169
12.7	14.2	0.58	5.1	3.01	argilla-argilla limosa	7.00			Plastica	.	.	0.78	3.03	72.6	157
17.0	18.2	0.60	3.9	2.85	limo argilloso-argilla limosa	8.10			Plastica	.	.	0.96	4.33	98.4	166
28.7	29.3	0.73	2.8	2.60	limo argilloso-argilla limosa	8.40			Solido-plastica (Duro)	.	.	1.33	5.27	153.6	187
19.1	17.9	0.58	3.4	2.82	limo argilloso-argilla limosa	8.80			Plastica	.	.	1.04	3.17	111.3	171

Comune
Via
Localita'
Committente
Data
Numero prova
Quota falda

Faenza
Convertite
Stabilimento CAVIRO
Enomondo
15-lug-20

4
2.60



Litotipo secondo Robertson 1990

Zone	Tipo di comportamento
9	Terreni molto duri a grana fine
8	Sabbia molto densa e sabbia argillosa
7	Sabbia ghiosa – sabbia densa
6	Sabbia – sabbia limosa
5	Sabbia limosa – limo sabbioso
4	Limo argilloso – argilla limosa
3	Argilla limoso – argilla
2	Torba
1	Terreni fini sensiti

Potenziale di liquefabilità

Zone A	Liquefazione ciclica possibile - dipendente da ampiezza e tempo del carico ciclico.
Zone B	Liquefazione improbabile.
Zone C	Liquefazione fluida e liquefazione ciclica possibile - dipendente da plasticità e sensitività, da ampiezza e tempo del carico ciclico.

Comune
Via
Localita'
Committente
Data

Faenza
Convertite
Stabilimento CAVIRO
Enomondo
15-lug-20

Falda

3.20 m

Sigla della Punta
Azzeramento
Ultimo taratura guadagno
Ultimo taratura per deriva termica

Tecnopenta 100707
Inizio prova
31-gen-2020
31-gen-2020

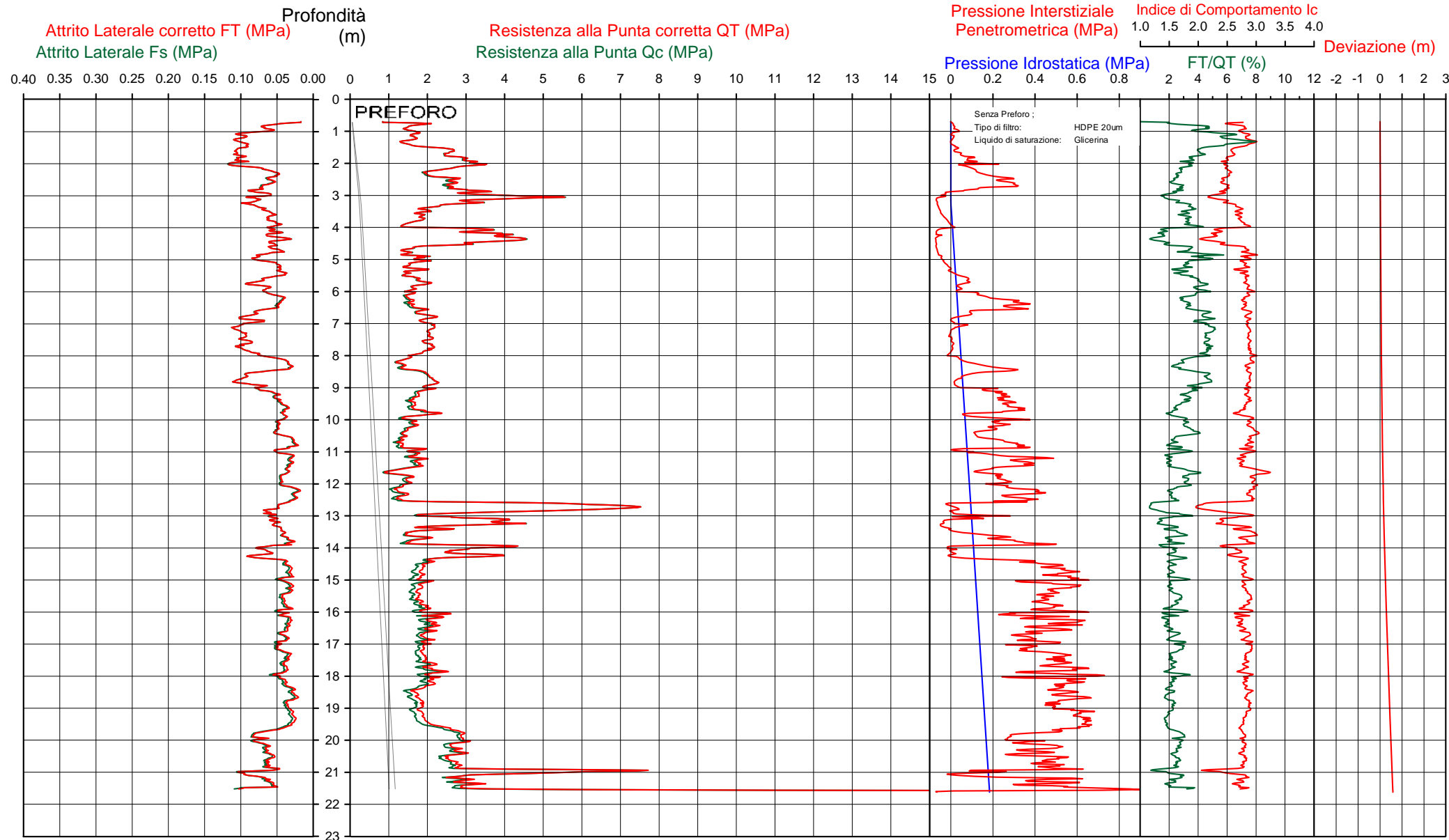


Società di
Geologia
Territoriale

S.G.T. sas
di Van Zutphen Albert & C.
www.geo55.com

CPTU

5



Data
Cantiere / Via
Località
Comune
Profondità falda idrica m.

15 luglio 2020
Convertite
Stabilimento CAVIRO
Faenza
3.20

qt daN/cmq	Qc1N Idriss & Boulanger 2004	ft daN/cmq	FT/Qnet %	lc Idriss iterazio ne	Litologia Idriss iterazione basato su Fr vs Qc1N	H m	Litologia grafica	Falda idrica	Addensamento (Sabbia) Consistenza (Argilla)	Densità Relativa	Angolo Attrito ϕ	Coesione non drenato Cu	OCR	Modulo Edometrico M	Velocità Vs m/sec
16.0	27.2	0.82	5.2	2.80	limo argilloso-argilla limosa	1.50	=:::=-:::		Plastica	.	.	0.92	18.96	91.0	161
28.5	47.9	1.05	3.8	2.53	limo argilloso-argilla limosa	2.10	=:::=-:::		Solido-plastica (Duro)	.	.	1.33	17.83	165.5	182
25.6	39.3	0.63	2.5	2.48	limo argilloso-argilla limosa	2.90	=:::=-:::		Solido-plastica (Duro)	.	.	1.25	12.67	126.5	166
41.0	54.5	0.71	1.8	2.28	sabbia limosa-limo sabbioso	3.10	:::::::::::		Mediamente Addensata	47.0	36.7	.	.	161.1	185
27.0	36.3	0.81	3.2	2.57	limo argilloso-argilla limosa	3.40	=:::=-:::		<u>H2O</u> Solido-plastica (Duro)	.	.	1.29	11.96	157.7	180
17.3	23.4	0.58	3.5	2.75	limo argilloso-argilla limosa	4.00	=:::=-:::		Plastica	.	.	0.97	6.94	100.7	160
34.9	42.8	0.53	1.7	2.33	sabbia limosa-limo sabbioso	4.60	:::::::::::		Mediamente Addensata	39.0	35.5	.	.	132.2	175
14.9	18.8	0.51	3.6	2.83	limo argilloso-argilla limosa	4.80	=:::=-:::		Plastica	.	.	0.88	4.62	86.8	155
16.8	20.2	0.62	3.9	2.82	limo argilloso-argilla limosa	5.80	=:::=-:::		Plastica	.	.	0.96	4.46	97.6	164
15.8	17.9	0.53	3.6	2.84	limo argilloso-argilla limosa	6.50	=:::=-:::		Plastica	.	.	0.92	4.09	92.1	160
20.2	21.2	0.92	4.8	2.87	limo argilloso-argilla limosa	7.90	=:::=-:::		Solido-plastica (Duro)	.	.	1.08	4.29	115.5	184
14.5	14.4	0.46	3.5	2.90	limo argilloso-argilla limosa	8.40	=:::=-:::		Plastica	.	.	0.86	3.44	84.3	156
18.2	16.9	0.59	3.5	2.85	limo argilloso-argilla limosa	10.30	=:::=-:::		Plastica	.	.	1.01	3.14	105.9	169
14.1	12.4	0.49	4.0	3.00	argilla-argilla limosa	10.50	=:::=-:::		Plastica	.	.	0.85	2.42	81.8	161
13.7	11.8	0.28	2.4	2.88	limo argilloso-argilla limosa	=:::=-:::			Plastica	.	.	0.83	2.24	64.6	147

Data
Cantiere / Via
Località
Comune
Profondità falda idrica m.

15 luglio 2020
Convertite
Stabilimento CAVIRO
Faenza
3.20

qt daN/cmq	Qc1N Idriss & Boulanger 2004	ft daN/cmq	FT/Qnet %	lc	Litologia Idriss iterazione basato su Fr vs Qc1N	H m	Litologia grafica	Falda idrica	Addensamento (Sabbia) Consistenza (Argilla)	Densità Relativa Tatsuoka 1990 %	Angolo Attrito ϕ Kulhawy & Mayne 1990 %	Coesione non drenato Cu Benassi daN/cmq	OCR Marchi / SGT Benassi daN/cmq	Modulo Edometrico M Robertson & Caball 2009 m/sec	Velocità Vs
						10.90									
17.4	14.7	0.35	2.3	2.79	limo argilloso-argilla limosa	11.50			Plastica	.	.	0.98	2.68	80.4	158
13.4	10.8	0.33	3.0	2.97	argilla-argilla limosa	12.50			Plastica	.	.	0.81	1.84	78.7	150
29.6	24.5	0.34	1.6	2.55	limo argilloso-argilla limosa	12.60			Solido-plastica (Duro)	.	.	1.35	4.31	110.2	182
60.2	51.5	0.54	1.0	2.14	sabbia limosa-limo sabbioso	12.90			Mediamente Addensata	45.1	36.4	.	.	196.6	202
19.8	15.6	0.59	3.4	2.88	limo argilloso-argilla limosa	13.00			Plastica	.	.	1.06	2.81	115.2	178
35.7	29.0	0.54	1.7	2.48	limo argilloso-argilla limosa	13.30			Semi solida (Molto duro)	.	.	1.50	4.50	136.1	191
18.1	13.8	0.38	2.6	2.84	limo argilloso-argilla limosa	13.90			Plastica	.	.	1.00	2.84	90.5	165
38.5	30.4	0.68	1.9	2.49	limo argilloso-argilla limosa	14.00			Semi solida (Molto duro)	.	.	1.55	5.13	157.3	201
28.2	21.6	0.64	2.5	2.68	limo argilloso-argilla limosa	14.20			Solido-plastica (Duro)	.	.	1.32	3.74	138.3	191
34.6	26.8	0.85	2.7	2.63	limo argilloso-argilla limosa	14.30			Semi solida (Molto duro)	.	.	1.47	4.53	183.7	207
18.8	13.4	0.37	2.3	2.82	limo argilloso-argilla limosa	16.00			Plastica	.	.	1.03	2.59	85.6	165
20.6	13.7	0.39	2.3	2.81	limo argilloso-argilla limosa	18.30			Solido-plastica (Duro)	.	.	1.09	2.70	92.9	171
18.3	11.3	0.29	1.9	2.85	limo argilloso-argilla limosa	19.40			Plastica	.	.	1.01	1.96	74.7	162
21.8	13.4	0.31	1.7	2.76	limo argilloso-argilla limosa	19.60			Solido-plastica (Duro)	.	.	1.13	2.05	83.3	169
27.9	17.3	0.65	2.7	2.77	limo argilloso-argilla limosa				Solido-plastica (Duro)	.	.	1.31	2.58	145.1	197

Data
Cantiere / Via
Località
Comune
Profondità falda idrica m.

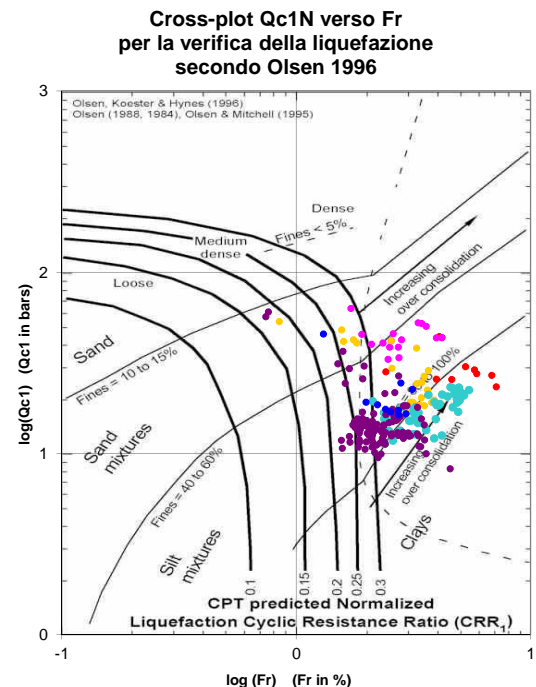
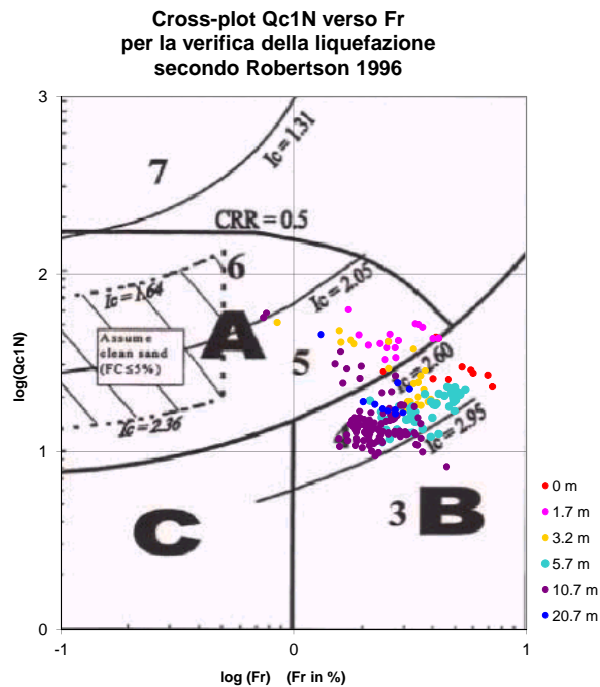
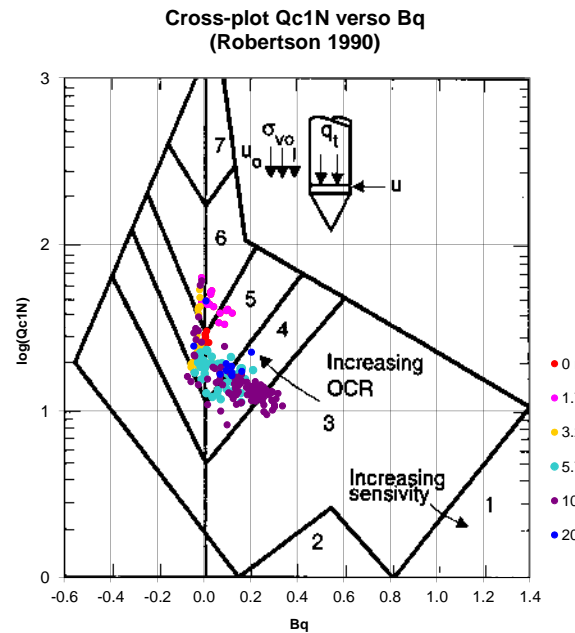
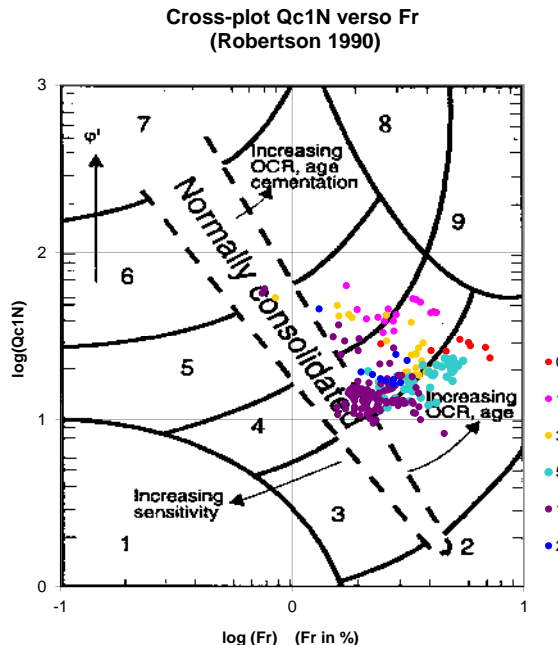
15 luglio 2020
Convertite
Stabilimento CAVIRO
Faenza
3.20

qt daN/cmq	Qc1N Idriss & Boulanger 2004	ft daN/cmq	FT/Qnet %	lc	Litologia Idriss iterazione basato su Fr vs Qc1N	H m	Litologia grafica	Falda idrica	Addensamento (Sabbia) Consistenza (Argilla)	Densità Relativa Tatsuoka 1990 %	Angolo Attrito ψ Kulhawy & Mayne 1990 %	Coesione non drenato Cu Benassi daN/cmq	OCR Marchi / SGT Benassi daN/cmq	Modulo Edometrico M Robertson & Caball 2009 m/sec	Velocità Vs
						20.90	=:::;::=;								
66.5	45.9	0.79	1.3	2.24	sabbia limosa-limo sabbioso	21.00	::::::::::::::::::		Mediamente Addensata	41.3	36.0	-	-	229.6	226
31.4	19.1	0.70	2.6	2.73	limo argilloso-argilla limosa	21.50	=:::;::=;		Semi solida (Molto duro)	.	.	1.40	3.61	157.2	203
133.5	22.6	1.03	3.1	2.72	limo argilloso-argilla limosa	=:::;::=;			Solida (Durissimo)	.	.	2.36	12.26	780.3	442

Comune
Via
Localita'
Committente
Data
Numero prova
Quota falda

Faenza
Convertite
Stabilimento CAVIRO
Enomondo
15-lug-20

5
3.20



Litotipo secondo Robertson 1990

Zone	Tipo di comportamento
9	Terreni molto duri a grana fine
8	Sabbia molto densa e sabbia argillosa
7	Sabbia ghiosa – sabbia densa
6	Sabbia – sabbia limosa
5	Sabbia limosa – limo sabbioso
4	Limo argilloso – argilla limosa
3	Argilla limoso – argilla
2	Torba
1	Terreni fini sensiti

Potenziale di liquefabilità

Zone A	Liquefazione ciclica possibile - dipendente da ampiezza e tempo del carico ciclico.
Zone B	Liquefazione improbabile.
Zone C	Liquefazione fluida e liquefazione ciclica possibile - dipendente da plasticità e sensitività, da ampiezza e tempo del carico ciclico.

Comune
Via
Localita'
Committente
Data

Faenza
Convertite
Stabilimento CAVIRO
Enomondo
15-lug-20

Falda

3.20 m

Sigla della Punta
Azzeramento
Ultimo taratura guadagno
Ultimo taratura per deriva termica

Tecnopenta 100707
Inizio prova
31-gen-2020
31-gen-2020

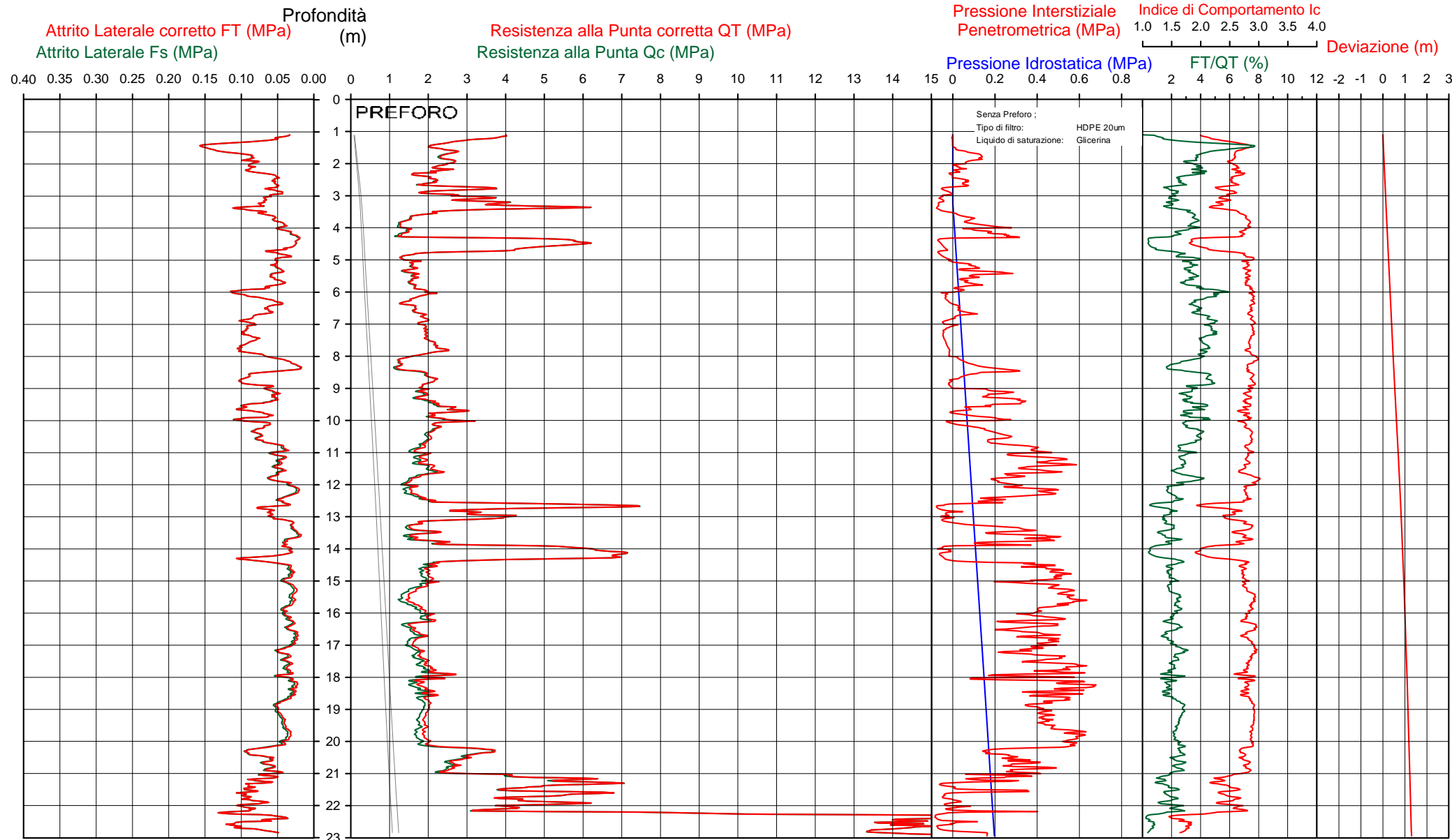


Società di
Geologia
Territoriale

S.G.T. sas
di Van Zutphen Albert & C.
www.geo55.com

CPTU

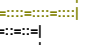
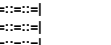
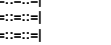
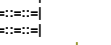
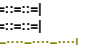
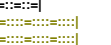
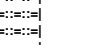
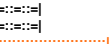
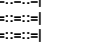
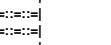
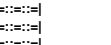
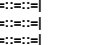
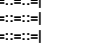
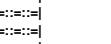
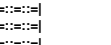
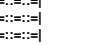
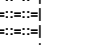
6



Data
Cantiere / Via
Località
Comune
Profondità falda idrica m.

15 luglio 2020

Convertite
Stabilimento CAVIRO
Faenza
3.20

qt daN/cmq	Qc1N Idriss & Boulanger 2004	ft daN/cmq	FT/Qnet %	lc	Litologia Idriss iterazione basato su Fr vs Qc1N	H m	Litologia grafica	Falda idrica	Addensamento (Sabbia) Consistenza (Argilla)	Densità Relativa Tatsuoka 1990 %	Angolo Attrito ϕ Kulhawy & Mayne 1990	Coesione non drenato Cu Benassi daN/cmq	OCR Marchi / SGT daN/cmq	Modulo Edometrico M Benassi daN/cmq	Velocità Vs Robertson & Caball 2009 m/sec
35.1	59.6	0.51	1.5	2.19	sabbia limosa-limo sabbioso	1.30			Mediamente Addensata	49.9	38.2	.	.	127.8	163
23.8	40.3	1.04	4.5	2.63	limo argilloso-argilla limosa				Solido-plastica (Duro)		.	1.19	16.81	137.0	177
19.9	31.7	0.53	2.8	2.58	limo argilloso-argilla limosa	2.30			Plastica		.	1.07	8.48	107.6	156
34.7	49.2	0.59	1.7	2.30	sabbia limosa-limo sabbioso	2.80			Mediamente Addensata	43.6	36.2	.	.	133.3	174
22.8	33.1	0.51	2.3	2.52	limo argilloso-argilla limosa	3.00			Solido-plastica (Duro)		.	1.16	9.26	104.5	160
33.2	44.7	0.66	2.1	2.38	sabbia limosa-limo sabbioso	3.20			Mediamente Addensata	40.4	35.7	.	.	141.2	178
45.5	58.0	0.85	1.9	2.28	sabbia limosa-limo sabbioso	3.40			Mediamente Addensata	49.0	37.1	.	.	184.8	194
24.0	32.0	0.76	3.3	2.63	limo argilloso-argilla limosa	3.60			Solido-plastica (Duro)		.	1.20	10.11	139.9	176
14.4	19.4	0.42	3.1	2.76	limo argilloso-argilla limosa	4.30			Plastica		.	0.86	5.37	86.3	147
52.2	61.8	0.29	0.6	1.94	sabbia-sabbia limosa	4.70			Mediamente Addensata	51.1	37.4	.	.	160.8	169
16.5	19.9	0.51	3.4	2.79	limo argilloso-argilla limosa	5.90			Plastica		.	0.94	7.15	96.0	158
18.8	21.5	0.96	5.4	2.89	limo argilloso-argilla limosa	6.20			Plastica		.	1.03	4.96	107.0	182
14.2	16.1	0.51	3.9	2.90	limo argilloso-argilla limosa	6.40			Plastica		.	0.85	3.74	82.4	157
18.6	20.0	0.82	4.7	2.88	limo argilloso-argilla limosa	7.50			Plastica		.	1.02	3.87	106.5	178
22.3	22.8	0.96	4.6	2.83	limo argilloso-argilla limosa	7.90			Solido-plastica (Duro)		.	1.15	4.55	127.9	190
13.8	13.8	0.40	3.1	2.89	limo argilloso-argilla limosa	8.40			Plastica		.	0.83	3.62	80.5	149
19.2	18.4	0.70	3.9	2.85	limo argilloso-argilla limosa	9.40			Plastica		.	1.04	3.18	111.2	176
23.7	21.9	0.80	3.7	2.78	limo argilloso-argilla limosa	9.90			Solido-plastica (Duro)		.	1.19	3.95	137.9	187
24.9	22.7	1.02	4.5	2.82	limo argilloso-argilla limosa	10.00			Solido-plastica (Duro)		.	1.23	4.36	143.4	198
21.8	19.5	0.74	3.7	2.82	limo argilloso-argilla limosa	10.60			Solido-plastica (Duro)		.	1.13	4.28	126.8	184
18.7	16.0	0.48	2.9	2.82	limo argilloso-argilla limosa				Plastica		.	1.03	3.17	104.6	168

Data
Cantiere / Via
Località
Comune
Profondità falda idrica m.

15 luglio 2020
Convertite
Stabilimento CAVIRO
Faenza
3.20

qt daN/cmq	Qc1N Idriss & Boulanger 2004	ft daN/cmq	FT/Qnet %	lc	Litologia Idriss iterazione basato su Fr vs Qc1N	H m	Litologia grafica	Falda idrica	Addensamento (Sabbia) Consistenza (Argilla)	Densità Relativa Tatsuoka 1990 %	Angolo Attrito ψ Kulhawy & Mayne 1990 %	Coesione non drenato Cu Benassi daN/cmq	OCR Marchi / SGT Benassi daN/cmq	Modulo Edometrico M Robertson & Caball 2009 m/sec	Velocità Vs 174
21.5	18.0	0.47	2.5	2.74	limo argilloso-argilla limosa	11.40			Solido-plastica (Duro)	.	.	1.12	3.27	103.9	172
16.1	13.0	0.36	2.6	2.86	limo argilloso-argilla limosa	11.70			Plastica	.	.	0.93	2.59	82.2	157
26.9	22.1	0.43	2.1	2.63	limo argilloso-argilla limosa	12.40			Solido-plastica (Duro)	.	.	1.28	2.92	115.3	178
69.6	60.0	0.50	0.7	2.00	sabbia-sabbia limosa	12.60			Mediamente Addensata	50.2	37.1	.	.	217.6	202
35.2	28.7	0.59	1.9	2.51	limo argilloso-argilla limosa	12.70			Semi solida (Molto duro)	.	.	1.48	5.42	140.1	193
17.5	13.3	0.26	1.8	2.77	limo argilloso-argilla limosa	13.10			Plastica	.	.	0.98	2.57	68.3	154
26.0	20.1	0.39	1.8	2.63	limo argilloso-argilla limosa	13.70			Solido-plastica (Duro)	.	.	1.26	2.97	102.1	176
65.0	53.4	0.47	0.8	2.05	sabbia-sabbia limosa	13.90			Mediamente Addensata	46.3	36.6	.	.	203.7	199
33.0	25.4	0.83	2.8	2.67	limo argilloso-argilla limosa	14.40			Semi solida (Molto duro)	.	.	1.43	4.28	179.9	206
20.6	15.0	0.35	1.9	2.74	limo argilloso-argilla limosa	15.10			Solido-plastica (Duro)	.	.	1.09	2.71	83.9	166
16.4	11.4	0.28	2.1	2.86	limo argilloso-argilla limosa	15.80			Plastica	.	.	0.94	2.37	69.5	155
19.7	13.6	0.36	2.2	2.80	limo argilloso-argilla limosa	16.30			Plastica	.	.	1.06	2.18	86.3	167
17.4	11.5	0.32	2.3	2.87	limo argilloso-argilla limosa	17.60			Plastica	.	.	0.98	1.73	78.6	161
21.2	13.8	0.35	2.0	2.78	limo argilloso-argilla limosa	18.10			Solido-plastica (Duro)	.	.	1.11	2.20	88.6	171
19.7	12.2	0.38	2.3	2.86	limo argilloso-argilla limosa	20.20			Plastica	.	.	1.06	1.86	91.4	170
33.6	21.2	0.83	2.8	2.71	limo argilloso-argilla limosa	20.50			Semi solida (Molto duro)	.	.	1.45	3.48	180.0	210
26.5	16.0	0.58	2.6	2.79	limo argilloso-argilla limosa	21.00			Solido-plastica (Duro)	.	.	1.27	2.70	133.0	193
53.2	35.2	0.67	1.4	2.36	sabbia limosa-limo sabbioso				Sciolta	32.5	34.9	.	.	188.1	215

Data
Cantiere / Via
Località
Comune
Profondità falda idrica m.

15 luglio 2020
Convertite
Stabilimento CAVIRO
Faenza
3.20

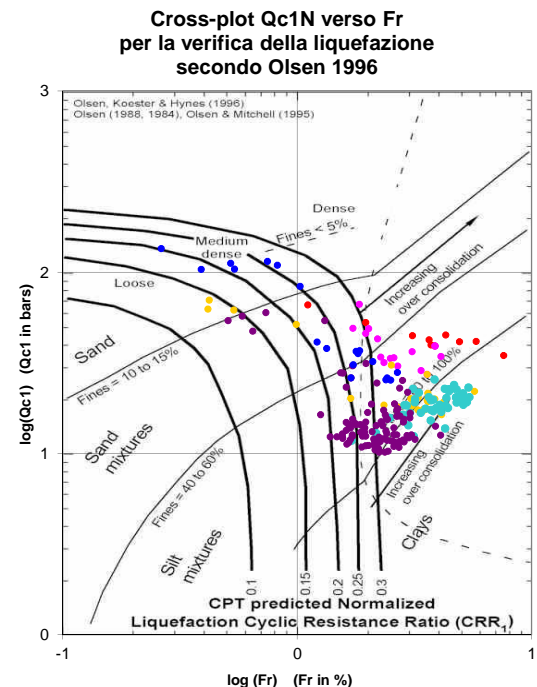
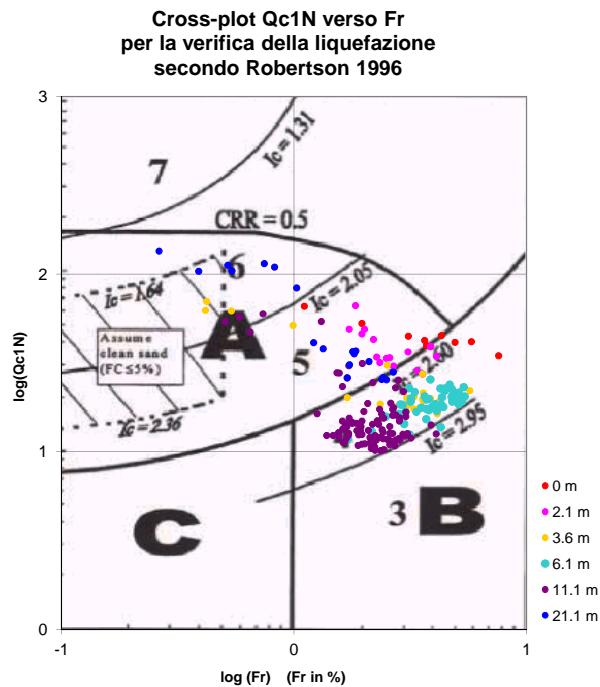
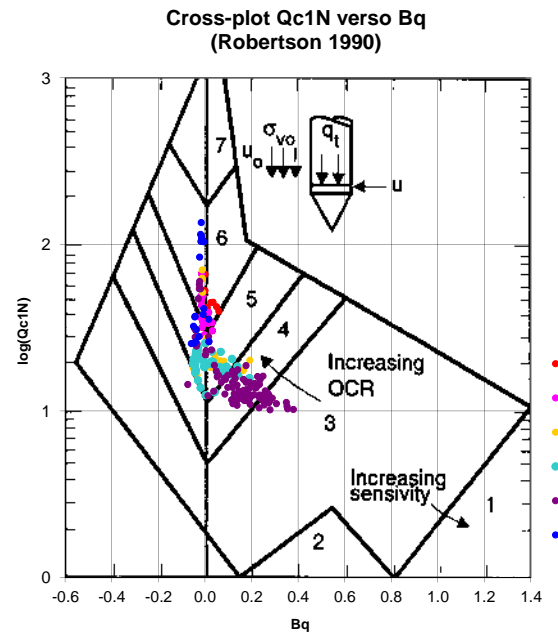
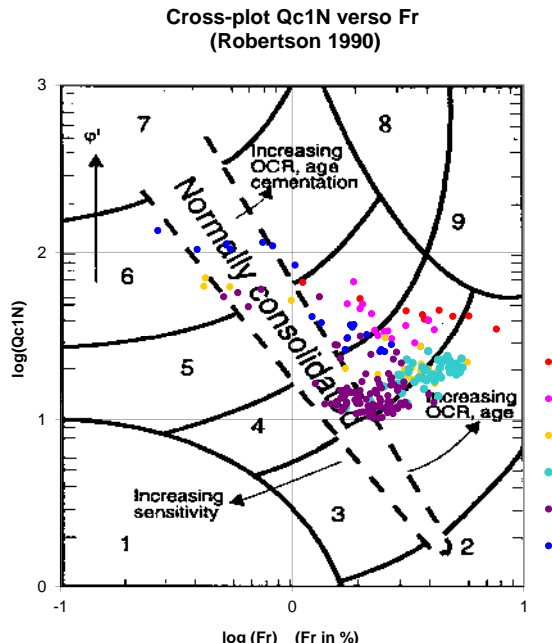
qt daN/cmq	Qc1N Idriss & Boulanger 2004	ft daN/cmq	FT/Qnet %	lc	Litologia Idriss iterazione basato su Fr vs Qc1N	H m	Litologia grafica	Falda idrica	Addensamento (Sabbia) Consistenza (Argilla)	Densità Relativa Tatsuoka 1990 %	Angolo Attrito ψ Kulhawy & Mayne 1990 %	Coesione non drenato Cu Benassi daN/cmq	OCR Marchi / SGT Benassi daN/cmq	Modulo Edometrico M Robertson & Caball 2009 m/sec	Velocità Vs
						21.30:::.....::: :::.....:::								
52.0	33.9	0.91	2.0	2.46	limo argilloso-argilla limosa		=:::;=:::;= =:::;=:::;= =:::;=:::;= =:::;=:::;= =:::;=:::;= =:::;=:::;=	Solida (Durissimo)		.	.	1.77	5.12	213.8	227
45.3	28.5	0.89	2.3	2.56	limo argilloso-argilla limosa	21.70	=:::;=:::;= =:::;=:::;= =:::;=:::;= =:::;=:::;= =:::;=:::;= =:::;=:::;=	Semi solida (Molto duro)		.	.	1.67	3.70	205.6	224
140.8	109.4	0.79	0.6	1.74	sabbia-sabbia limosa	22.20:::.....::: :::.....::: :::.....::: :::.....::: :::.....::: :::.....:::	Addensata	70.0	39.4	.	.	434.4	242	

Comune
Via
Localita'
Committente
Data

Numero prova
Quota falda

Faenza
Convertite
Stabilimento CAVIRO
Enomondo
15-lug-20

6
3.20



Litotipo secondo Robertson 1990

Zone	Tipo di comportamento
9	Terreni molto duri a grana fine
8	Sabbia molto densa e sabbia argillosa
7	Sabbia ghiosa – sabbia densa
6	Sabbia – sabbia limosa
5	Sabbia limosa – limo sabbioso
4	Limo argilloso – argilla limosa
3	Argilla limoso – argilla
2	Torba
1	Terreni fini sensiti

Potenziale di liquefabilità

Zone A	Liquefazione ciclica possibile - dipendente da ampiezza e tempo del carico ciclico.
Zone B	Liquefazione improbabile.
Zone C	Liquefazione fluida e liquefazione ciclica possibile - dipendente da plasticità e sensitività, da ampiezza e tempo del carico ciclico.

Comune
Via
Localita'
Committente
Data

Faenza
Convertite
Stabilimento CAVIRO
Enomondo
15-lug-20

Falda

3.70 m

Sigla della Punta
Azzeramento
Ultimo taratura guadagno
Ultimo taratura per deriva termica

Tecnopenta 100707

Inizio prova

31-gen-2020

31-gen-2020

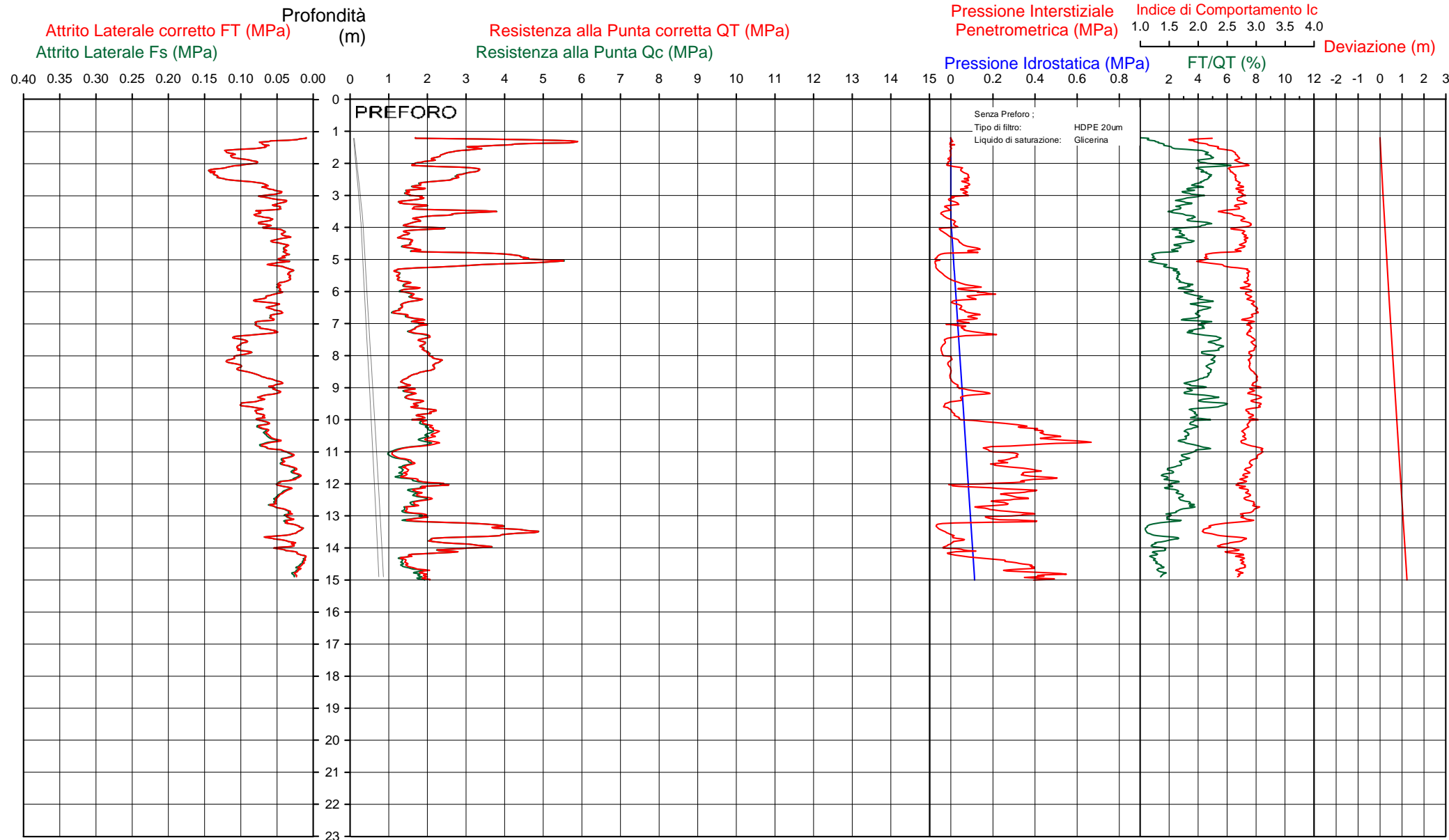


Società di
Geologia
Territoriale

S.G.T. sas
di Van Zutphen Albert & C.
www.geo55.com

CPTU

7



Data
Cantiere / Via
Località
Comune
Profondità falda idrica m.

15 luglio 2020

Convertite
Stabilimento CAVIRO
Faenza
3.70

qt daN/cmq	Qc1N Idriss & Boulanger 2004	ft	FT/Qnet	lc	Litologia Idriss iterazione basato su Fr vs Qc1N	H m	Litologia grafica idrica	Falda	Addensamento (Sabbia) Consistenza (Argilla)	Densità Relativa Tatsuoka 1990 %	Angolo Attrito ψ Kulhawy & Mayne 1990 %	Coesione non drenato Cu Benassi daN/cmq	OCR Marchi / SGT Benassi daN/cmq	Modulo Edometrico M Robertson & Caball 2009 m/sec	Velocità Vs
46.7	78.6	0.49	1.0	2.00	sabbia-sabbia limosa	1.40			Mediamente Addensata	59.0	39.4	.	.	152.1	166
33.3	56.7	0.82	2.5	2.35	sabbia limosa-limo sabbioso	1.60			Mediamente Addensata	48.3	37.5	.	.	165.9	176
23.5	40.0	1.09	4.7	2.66	limo argilloso-argilla limosa	1.90			Solido-plastica (Duro)	.	.	1.19	18.34	135.0	179
18.2	30.9	0.90	5.1	2.76	limo argilloso-argilla limosa	2.10			Plastica	.	.	1.01	11.53	103.7	168
30.0	47.0	1.33	4.5	2.60	limo argilloso-argilla limosa	2.50			Solido-plastica (Duro)	.	.	1.36	17.19	172.4	195
17.2	25.5	0.59	3.5	2.72	limo argilloso-argilla limosa	3.40			Plastica	.	.	0.97	9.31	100.2	157
28.5	36.6	0.69	2.5	2.51	limo argilloso-argilla limosa	3.60			Solido-plastica (Duro)	.	.	1.33	9.66	141.8	179
17.3	22.2	0.67	4.1	2.80	limo argilloso-argilla limosa	4.00		H2O	Plastica	.	.	0.98	6.63	100.3	166
20.0	24.9	0.51	2.7	2.65	limo argilloso-argilla limosa	4.10			Solido-plastica (Duro)	.	.	1.07	6.35	104.5	163
15.0	18.5	0.42	3.0	2.78	limo argilloso-argilla limosa	4.70			Plastica	.	.	0.88	4.41	87.3	151
22.9	27.1	0.39	1.9	2.54	limo argilloso-argilla limosa	4.80			Solido-plastica (Duro)	.	.	1.17	6.63	93.8	162
43.9	49.9	0.41	1.0	2.14	sabbia limosa-limo sabbioso	5.00			Mediamente Addensata	44.0	36.3	.	.	141.4	176
52.0	58.1	0.42	0.8	2.05	sabbia-sabbia limosa	5.10			Mediamente Addensata	49.1	37.0	.	.	164.5	181
35.0	39.7	0.57	1.7	2.37	sabbia limosa-limo sabbioso	5.20			Mediamente Addensata	36.5	35.1	.	.	132.9	181
13.6	15.7	0.34	2.7	2.82	limo argilloso-argilla limosa	5.70			Plastica	.	.	0.82	4.82	72.5	145
15.5	17.1	0.55	3.8	2.87	limo argilloso-argilla limosa	6.40			Plastica	.	.	0.90	3.66	89.8	161
12.7	13.6	0.52	4.5	3.00	argilla-argilla limosa	6.70			Plastica	.	.	0.78	3.16	73.0	156
17.9	18.3	0.80	4.8	2.91	limo argilloso-argilla limosa	7.80			Plastica	.	.	1.00	3.23	102.6	177
21.3	20.6	1.04	5.2	2.90	limo argilloso-argilla limosa	8.50			Solido-plastica (Duro)	.	.	1.11	3.88	121.2	193
15.6	14.3	0.67	4.8	2.99	argilla-argilla limosa	9.60			Plastica	.	.	0.91	3.15	89.4	171
19.2	16.9	0.72	4.2	2.90	limo argilloso-argilla limosa	10.10			Plastica	.	.	1.04	3.35	110.9	181
21.2	18.2	0.62	3.2	2.80	limo argilloso-argilla limosa	10.80			Solido-plastica (Duro)	.	.	1.11	3.32	124.0	179
12.6	10.4	0.42	3.9	3.05	argilla-argilla limosa	11.20			Plastica	.	.	0.78	2.47	73.3	154

Data
Cantiere / Via
Località
Comune
Profondità falda idrica m.

15 luglio 2020

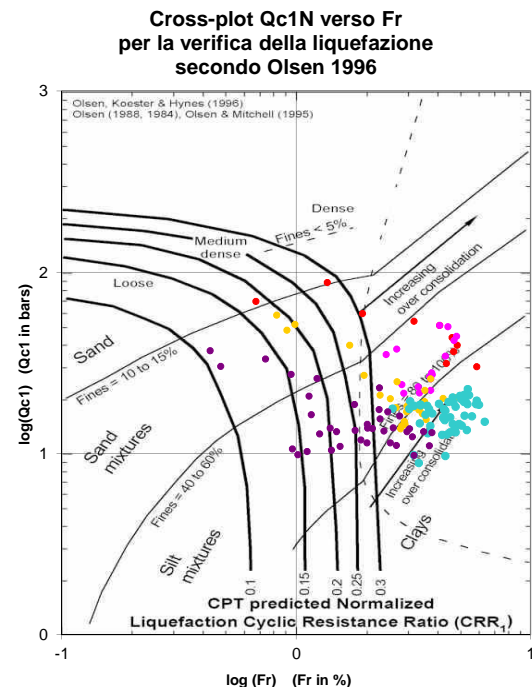
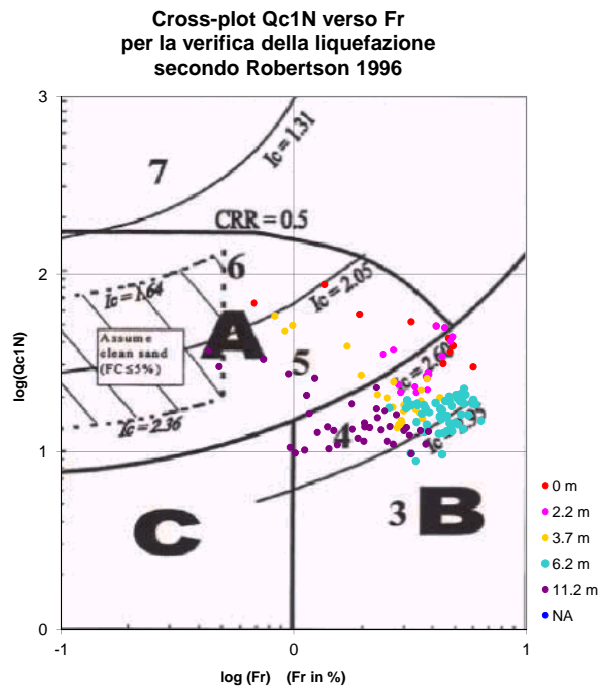
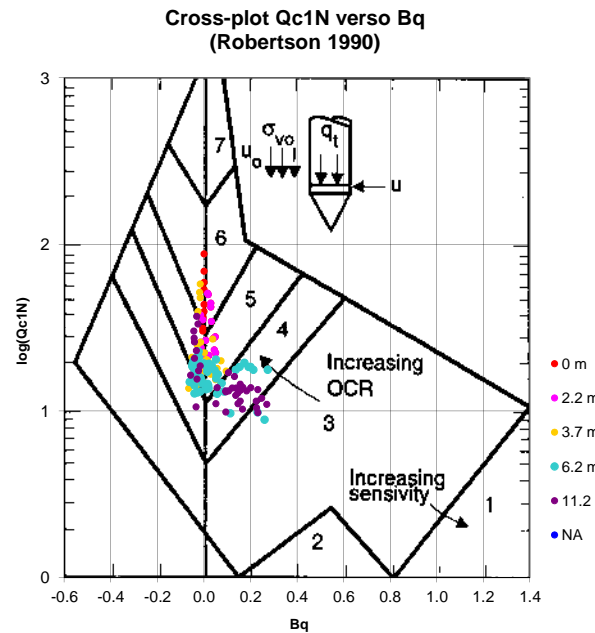
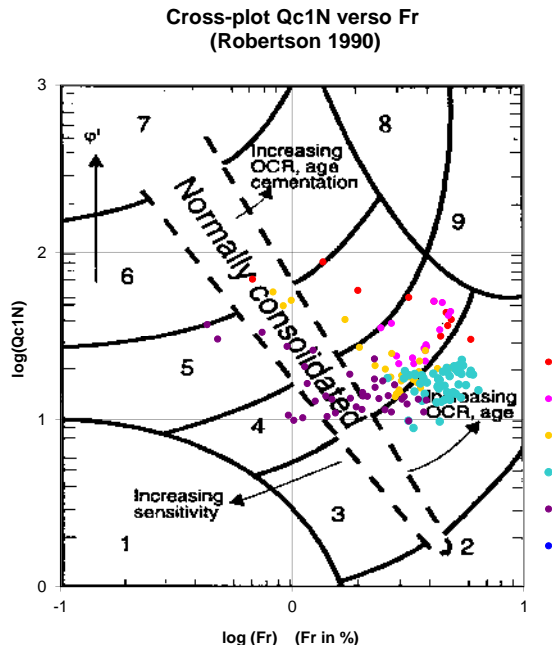
Convertite
Stabilimento CAVIRO
Faenza
3.70

qt daN/cmq	Qc1N Idriss & Boulanger 2004	ft daN/cmq	FT/Qnet %	lc Idriss iterazio ne	Litologia Idriss iterazione basato su Fr vs Qc1N	H m	Litologia grafica	Falda idrica	Addensamento (Sabbia) Consistenza (Argilla)	Densità Relativa Tatsuoka 1990 %	Angolo Attrito ψ Kulhawy & Mayne 1990 %	Coesione non drenato Cu Benassi daN/cmq	OCR Marchi / SGT	Modulo Edometrico M Benassi daN/cmq	Velocità Vs Robertson & Caball 2009 m/sec
15.1	12.2	0.30	2.3	2.85	limo argilloso-argilla limosa	11.90	=:::;:::;=		Plastica	.	.	0.89	2.31	68.3	151
19.1	15.1	0.44	2.7	2.82	limo argilloso-argilla limosa	12.60	=:::;:::;=		Plastica	.	.	1.04	3.07	99.2	169
15.8	12.1	0.51	3.7	2.99	argilla-argilla limosa	12.80	=:::;:::;=		Plastica	.	.	0.92	2.40	91.9	168
17.4	13.2	0.33	2.3	2.83	limo argilloso-argilla limosa	13.20	=:::;:::;=		Plastica	.	.	0.98	2.03	78.8	160
40.4	32.0	0.24	0.6	2.21	sabbia limosa-limo sabbioso	13.60	:::::::::::;::		Sciolta	29.4	34.4	.	.	125.2	172
26.7	20.1	0.38	1.6	2.59	limo argilloso-argilla limosa	14.20	=:::;:::;=		Solido-plastica (Duro)	.	.	1.28	3.94	99.8	174
16.4	11.6	0.17	1.2	2.74	limo argilloso-argilla limosa		=:::;:::;=		Plastica	.	.	0.94	1.89	55.6	144

Comune
Via
Localita'
Committente
Data
Numero prova
Quota falda

Faenza
Convertite
Stabilimento CAVIRO
Enomondo
15-lug-20

7
3.70



Litotipo secondo Robertson 1990

Zone	Tipo di comportamento
9	Terreni molto duri a grana fine
8	Sabbia molto densa e sabbia argillosa
7	Sabbia ghiosa – sabbia densa
6	Sabbia – sabbia limosa
5	Sabbia limosa – limo sabbioso
4	Limo argilloso – argilla limosa
3	Argilla limoso – argilla
2	Torba
1	Terreni fini sensiti

Potenziale di liquefabilità

Zone A	Liquefazione ciclica possibile - dipendente da ampiezza e tempo del carico ciclico.
Zone B	Liquefazione improbabile.
Zone C	Liquefazione fluida e liquefazione ciclica possibile - dipendente da plasticità e sensitività, da ampiezza e tempo del carico ciclico.

Comune
Via
Localita'
Committente
Data

Faenza
Convertite
Stabilimento CAVIRO
Enomondo
15-lug-20

Falda

foro chiuso a 3.70m

Sigla della Punta
Azzeramento
Ultimo taratura guadagno
Ultimo taratura per deriva termica

Tecnopenta 100707
Inizio prova
31-gen-2020
31-gen-2020

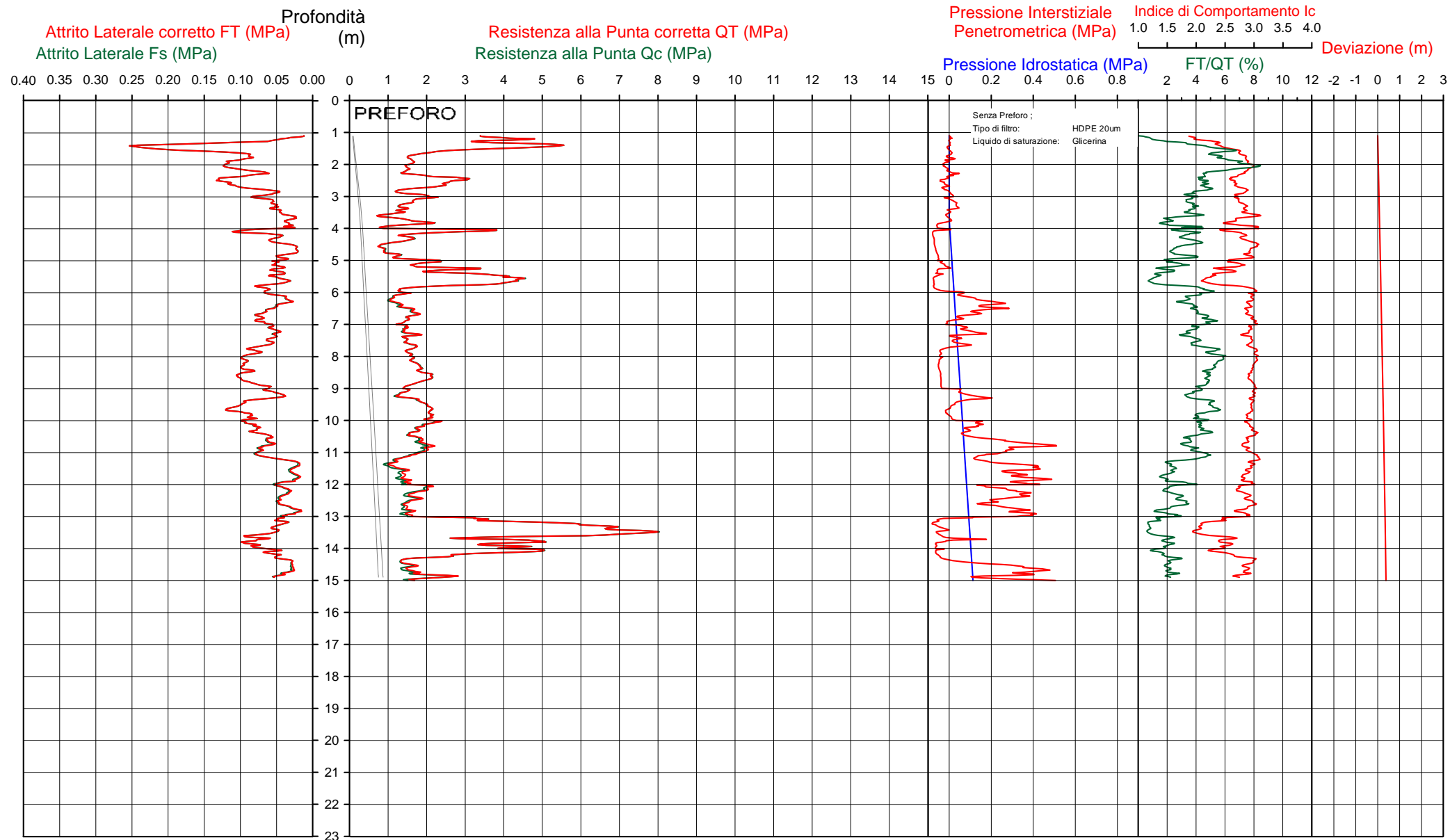


Società di
Geologia
Territoriale

S.G.T. sas
di Van Zutphen Albert & C.
www.geo55.com

CPTU

8



qt daN/cmq	Qc1N Idriss & Boulanger 2004	ft daN/cmq	FT/Qnet %	lc	Litologia Idriss iterazione basato su Fr vs Qc1N	H m	Litologia grafica	Falda idrica	Addensamento (Sabbia) Consistenza (Argilla)	Densità Relativa Tatsuoka 1990 %	Angolo Attrito ° Kulhawy & Mayne 1990 Benassi daN/cmq	Coesione non drenato Cu Marchi / SGT Benassi daN/cmq	OCR Marchi / SGT Benassi daN/cmq	Modulo Edometrico M Robertson & Cabal 2009 m/sec	Velocità Vs
41.8	70.8	0.90	2.0	2.18	sabbia limosa-limo sabbioso	1.40:::		Mediamente Addensata	55.6	39.0	-	-	175.8	174
47.3	79.7	2.39	5.1	2.49	terreni duri a grana fine	1.50	-----		fortemente sovraconsolidato	-	-	1.70	40.61	269.9	229
27.1	46.0	1.74	6.5	2.72	limo argilloso-argilla limosa	1.60	-----		Solido-plastica (Duro)	-	-	1.29	21.61	151.0	201
16.6	28.3	1.01	6.2	2.85	limo argilloso-argilla limosa	2.00	-----		Plastica	-	-	0.95	12.98	93.2	170
14.7	24.9	0.95	6.6	2.90	limo argilloso-argilla limosa	2.30	-----		Plastica	-	-	0.87	8.38	81.6	164
25.1	38.6	1.13	4.6	2.67	limo argilloso-argilla limosa	2.70	-----		Solido-plastica (Duro)	-	-	1.23	10.53	144.1	185
14.3	22.0	0.64	4.6	2.84	limo argilloso-argilla limosa	2.90	-----		Plastica	-	-	0.85	6.95	81.9	154
18.4	26.4	0.65	3.6	2.72	limo argilloso-argilla limosa	3.20	-----		Plastica	-	-	1.01	7.70	106.9	163
13.6	19.0	0.50	3.8	2.84	limo argilloso-argilla limosa	3.50	-----		Plastica	-	-	0.82	4.96	79.1	151
10.2	13.8	0.32	3.5	2.92	limo argilloso-argilla limosa	3.70	-----		Plastica	-	-	0.66	3.29	59.2	135
17.4	22.2	0.34	2.1	2.62	limo argilloso-argilla limosa	3.90	-----		Plastica	-	-	0.98	5.57	74.2	149
8.6	11.3	0.33	4.2	3.04	argilla-argilla limosa	4.00	-----		Molle-plastica (Soffice)	-	-	0.58	2.78	49.7	133
32.8	39.7	0.94	3.0	2.53	limo argilloso-argilla limosa	4.10	-----		Semi solida (Molto duro)	-	-	1.43	10.43	191.2	194
16.1	20.1	0.59	3.8	2.82	limo argilloso-argilla limosa	4.40	-----		Plastica	-	-	0.93	5.61	93.6	161
8.9	11.2	0.30	3.6	3.00	argilla-argilla limosa	4.70	-----		Molle-plastica (Soffice)	-	-	0.60	3.00	52.0	131
13.1	15.7	0.37	3.1	2.85	limo argilloso-argilla limosa	5.00	-----		Plastica	-	-	0.80	2.87	76.4	145
22.4	25.9	0.48	2.4	2.61	limo argilloso-argilla limosa	5.40	-----		Solido-plastica (Duro)	-	-	1.15	5.71	106.6	165
41.0	45.4	0.44	1.1	2.21	sabbia limosa-limo sabbioso	5.70:::		Mediamente Addensata	40.9	35.8	-	-	135.8	177
23.5	26.0	0.65	3.5	2.71	limo argilloso-argilla limosa	5.90	-----		Solido-plastica (Duro)	-	-	1.18	8.13	136.7	175
12.7	14.1	0.52	4.5	2.98	argilla-argilla limosa	6.20	-----		Plastica	-	-	0.78	3.25	73.0	155
15.5	15.8	0.69	4.8	2.96	argilla-argilla limosa	8.50	-----		Plastica	-	-	0.90	2.36	89.1	169
21.1	20.0	1.02	5.2	2.91	limo argilloso-argilla limosa	8.70	-----		Solido-plastica (Duro)	-	-	1.11	4.00	120.0	193
15.3	14.1	0.64	4.6	2.99	argilla-argilla limosa	9.30	-----		Plastica	-	-	0.90	3.53	87.9	169
20.3	18.1	0.93	5.0	2.93	limo argilloso-argilla limosa	10.20	-----		Solido-plastica (Duro)	-	-	1.08	3.10	116.1	190
16.8	14.4	0.73	4.9	3.00	argilla-argilla limosa	10.50	-----		Plastica	-	-	0.95	2.91	96.0	178
19.6	16.5	0.64	3.7	2.87	limo argilloso-argilla limosa	11.00	-----		Plastica	-	-	1.06	2.97	113.7	179
13.9	11.1	0.35	2.9	2.94	limo argilloso-argilla limosa	11.50	-----		Plastica	-	-	0.83	2.58	77.9	151

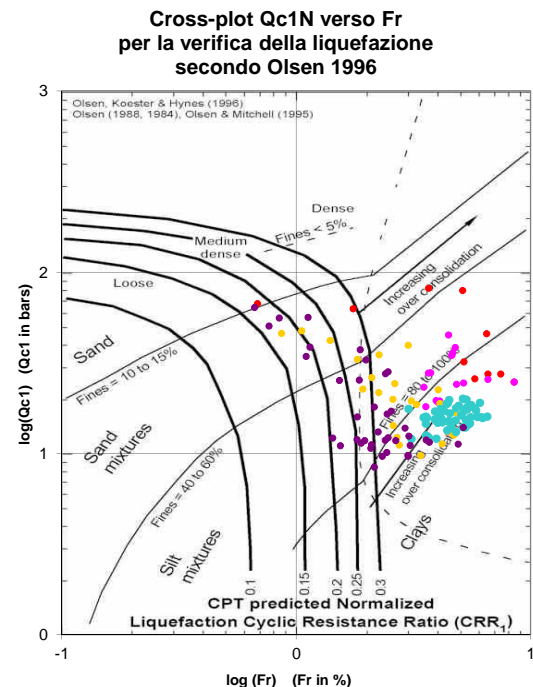
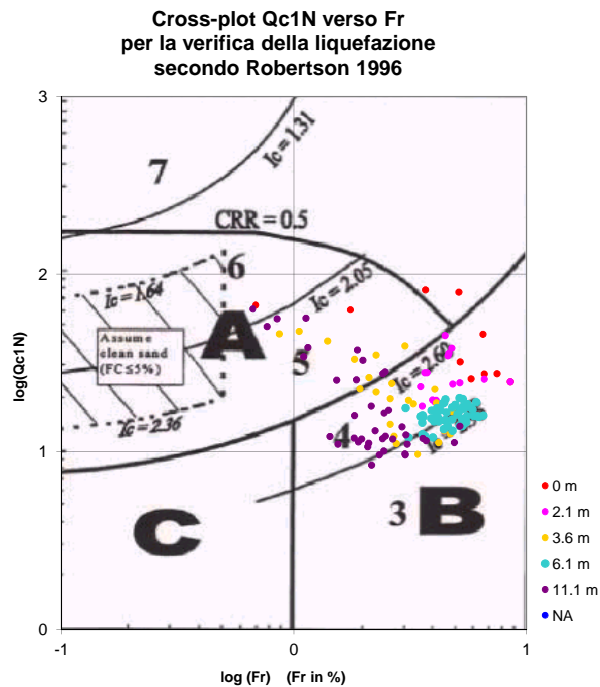
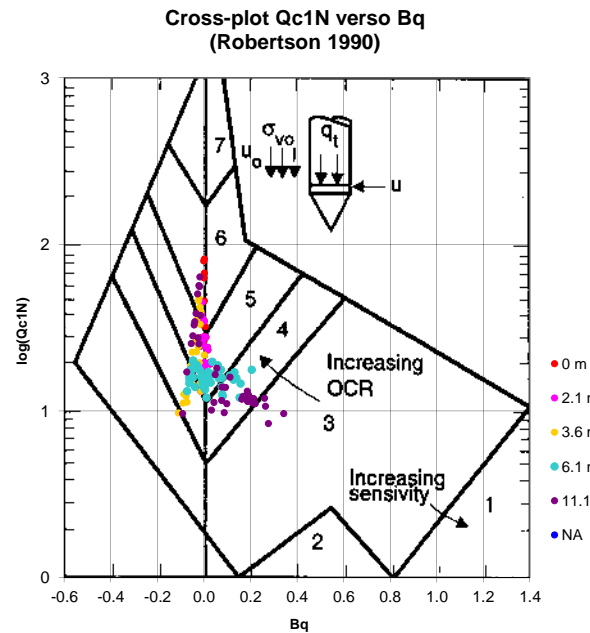
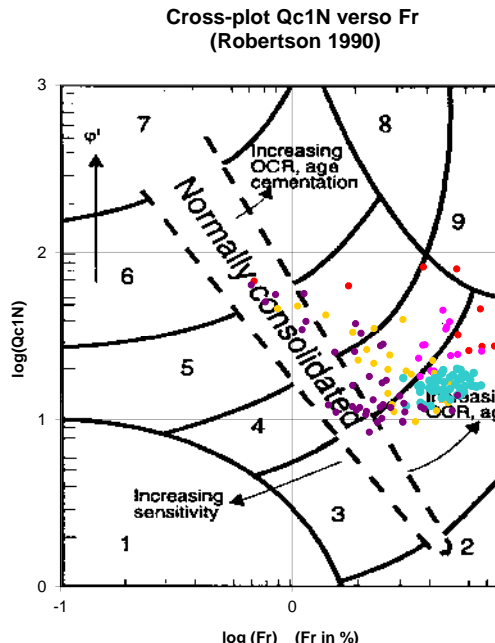
Data
Cantiere / Via
Località
Comune
Profondità falda idrica m.

15 luglio 2020
Convertite
Stabilimento CAVIRO
Faenza
3.70 foro chiuso a 3.70m

Comune
Via
Localita'
Committente
Data
Numero prova
Quota falda

Faenza
Convertite
Stabilimento CAVIRO
Enomondo
15-lug-20

8
3.70



Litotipo secondo Robertson 1990

Zone	Tipo di comportamento
9	Terreni molto duri a grana fine
8	Sabbia molto densa e sabbia argillosa
7	Sabbia ghiosa – sabbia densa
6	Sabbia – sabbia limosa
5	Sabbia limosa – limo sabbioso
4	Limo argilloso – argilla limosa
3	Argilla limoso – argilla
2	Torba
1	Terreni fini sensiti

Potenziale di liquefabilità

Zone A	Liquefazione ciclica possibile - dipendente da ampiezza e tempo del carico ciclico.
Zone B	Liquefazione improbabile.
Zone C	Liquefazione fluida e liquefazione ciclica possibile - dipendente da plasticità e sensitività, da ampiezza e tempo del carico ciclico.

Comune
Via
Localita'
Committente
Data

Faenza
Convertite
Stabilimento CAVIRO
Enomondo
15-lug-20

Falda

2.50 m

Sigla della Punta
Azzeramento
Ultimo taratura guadagno
Ultimo taratura per deriva termica

Tecnopenta 100707
Inizio prova
31-gen-2020
31-gen-2020

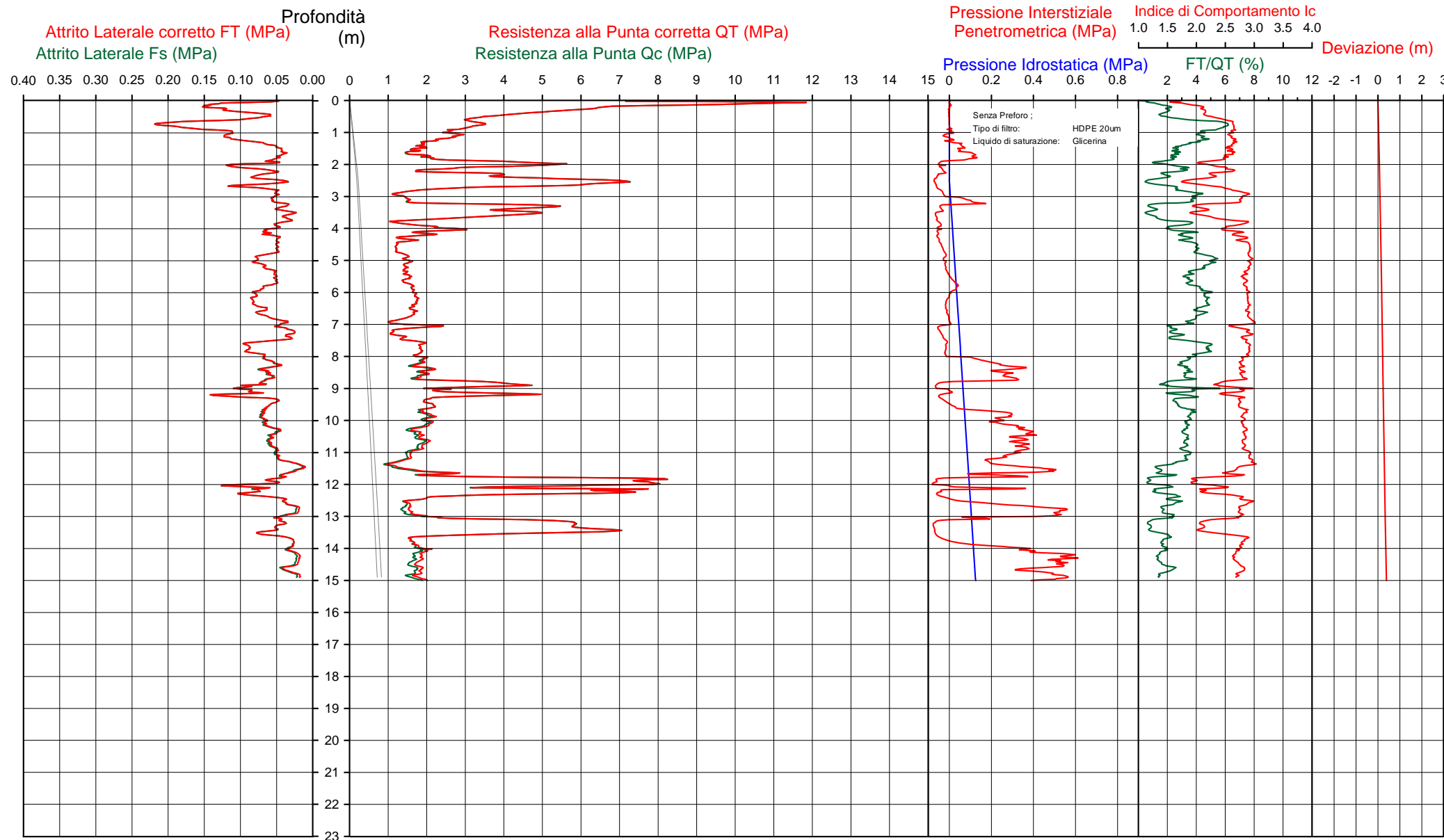


Società di
Geologia
Territoriale

S.G.T. sas
di Van Zutphen Albert & C.
www.geo55.com

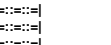
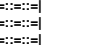
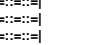
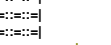
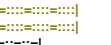
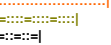
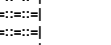
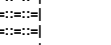
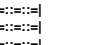
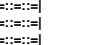
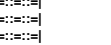
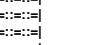
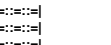
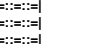
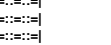
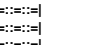
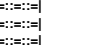
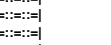
CPTU

9



Data
Cantiere / Via
Località
Comune
Profondità falda idrica m.

15 luglio 2020
Convertite
Stabilimento CAVIRO
Faenza
2.50

qt daN/cmq	Qc1N Idriss & Boulanger 2004	ft	FT/Qnet	lc	Litologia Idriss iterazione basato su Fr vs Qc1N	H m	Litologia grafica	Falda idrica	Addensamento (Sabbia) Consistenza (Argilla)	Densità Relativa Tatsuoka 1990	Angolo Attrito ψ Kulhawy & Mayne 1990	Coesione non drenato Cu Benassi	OCR Marchi / SGT daN/cmq	Modulo Edometrico M Benassi	Velocità Vs Robertson & Caball 2009 m/sec
90.6	154.0	1.18	1.4	1.85	sabbia-sabbia limosa	0.20			Addensata	81.3	48.3	.	.	317.9	211
45.6	77.5	0.92	2.1	2.21	sabbia limosa-limo sabbioso	0.60			Mediamente Addensata	58.6	41.9	.	.	193.9	186
32.1	54.5	1.84	5.8	2.63	limo argilloso-argilla limosa	0.90			Semi solida (Molto duro)	.	.	1.41	49.84	181.1	207
25.1	42.8	1.11	4.5	2.62	limo argilloso-argilla limosa	1.30			Solido-plastica (Duro)	.	.	1.23	27.12	144.7	181
18.2	30.9	0.48	2.7	2.58	limo argilloso-argilla limosa	1.80			Plastica	.	.	1.01	14.60	95.3	149
39.4	61.3	0.80	2.2	2.28	sabbia limosa-limo sabbioso	2.10			Mediamente Addensata	50.9	37.5	.	.	172.3	181
21.0	35.2	0.67	3.3	2.59	limo argilloso-argilla limosa	2.20			Solido-plastica (Duro)	.	.	1.11	11.75	122.8	162
34.6	52.1	0.68	2.0	2.33	sabbia limosa-limo sabbioso	2.40			Mediamente Addensata	45.5	36.5	.	.	145.8	176
51.0	69.4	0.66	1.6	2.14	sabbia limosa-limo sabbioso	2.80			Mediamente Addensata	54.9	38.1	.	.	190.0	183
13.3	21.0	0.51	4.1	2.82	limo argilloso-argilla limosa	3.00			Plastica	.	.	0.81	6.18	76.7	147
15.4	23.6	0.54	3.7	2.75	limo argilloso-argilla limosa	3.20			Plastica	.	.	0.90	6.43	89.6	152
41.4	55.3	0.37	1.0	2.10	sabbia limosa-limo sabbioso	3.70			Mediamente Addensata	47.4	36.8	.	.	134.0	166
14.3	20.7	0.42	3.2	2.76	limo argilloso-argilla limosa	3.90			Plastica	.	.	0.85	5.16	83.4	146
24.0	32.7	0.57	2.5	2.54	limo argilloso-argilla limosa	4.10			Solido-plastica (Duro)	.	.	1.20	8.35	118.8	166
17.0	23.5	0.56	3.5	2.75	limo argilloso-argilla limosa	4.30			Plastica	.	.	0.96	6.91	98.8	158
13.0	17.9	0.50	4.2	2.88	limo argilloso-argilla limosa	4.80			Plastica	.	.	0.80	5.21	75.2	149
14.7	18.9	0.63	4.6	2.88	limo argilloso-argilla limosa	5.70			Plastica	.	.	0.87	4.51	84.5	159
16.6	19.7	0.73	4.7	2.88	limo argilloso-argilla limosa	6.80			Plastica	.	.	0.95	4.26	95.1	169
11.9	13.6	0.42	4.0	2.96	argilla-argilla limosa	7.00			Plastica	.	.	0.75	2.98	68.8	147
21.4	23.9	0.47	2.3	2.63	limo argilloso-argilla limosa	7.10			Solido-plastica (Duro)	.	.	1.12	5.14	99.4	164
11.7	13.1	0.29	2.8	2.89	limo argilloso-argilla limosa	7.30			Plastica	.	.	0.73	2.95	64.1	138
13.7	15.1	0.36	2.9	2.84	limo argilloso-argilla limosa	7.50			Plastica	.	.	0.83	3.12	77.8	147
19.5	20.4	0.69	3.9	2.81	limo argilloso-argilla limosa	8.80			Plastica	.	.	1.06	4.04	113.2	174
42.5	42.6	0.75	1.8	2.36	sabbia limosa-limo sabbioso	8.90			Mediamente Addensata	38.8	35.5	.	.	168.0	197
26.3	25.8	0.79	3.3	2.70	limo argilloso-argilla limosa	9.60			Solido-plastica (Duro)	.	.	1.27	5.80	153.2	186
20.3	19.2	0.67	3.6	2.82	limo argilloso-argilla limosa	9.60			Solido-plastica (Duro)	.	.	1.08	3.50	118.2	177

Data
Cantiere / Via
Località
Comune
Profondità falda idrica m.

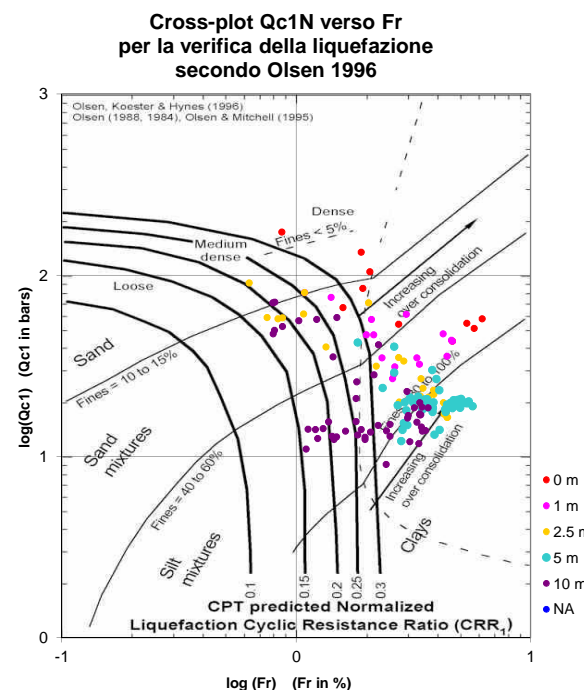
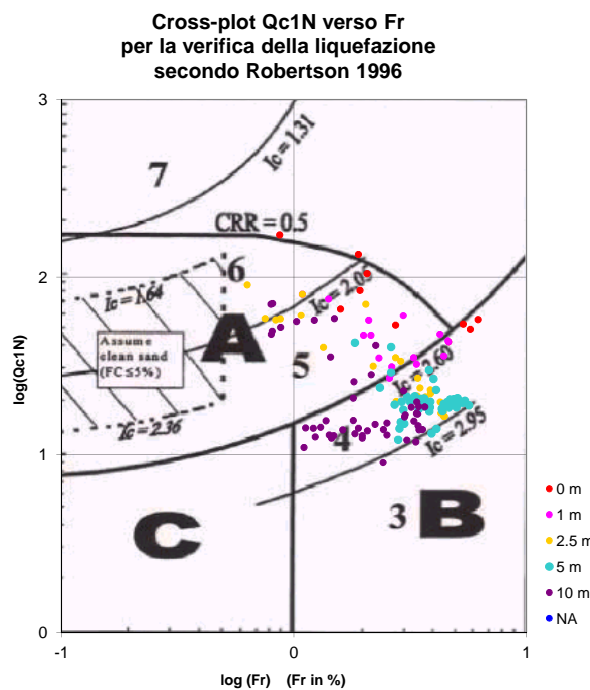
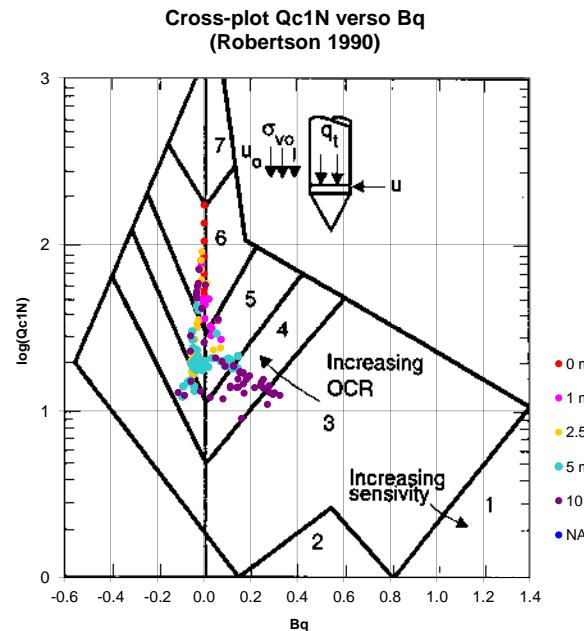
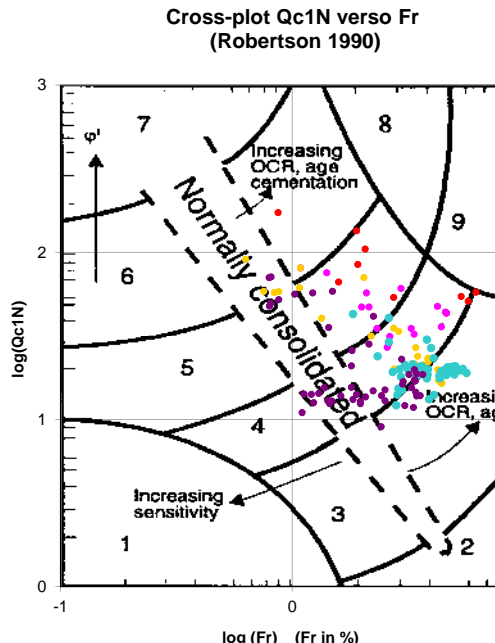
15 luglio 2020
Convertite
Stabilimento CAVIRO
Faenza
2.50

qt daN/cmq	Qc1N Idriss & Boulanger 2004	ft daN/cmq	FT/Qnet %	lc	Litologia Idriss iterazione basato su Fr vs Qc1N	H m	Litologia grafica	Falda idrica	Addensamento (Sabbia) Consistenza (Argilla)	Densità Relativa Tatsuoka 1990 %	Angolo Attrito ψ Kulhawy & Mayne 1990 %	Coesione non drenato Cu Benassi daN/cmq	OCR Marchi / SGT Benassi daN/cmq	Modulo Edometrico M Robertson & Caball 2009 m/sec	Velocità Vs 168
						10.20	=:::=-=::: =								
17.8	16.1	0.52	3.3	2.85	limo argilloso-argilla limosa	11.20	=:::=-=::: =		Plastica	.	.	0.99	2.87	104.1	168
12.1	10.5	0.30	2.9	2.97	argilla-argilla limosa	11.40	=:::=-=::: =		Plastica	.	.	0.75	2.22	67.3	142
15.4	13.3	0.17	1.2	2.69	limo argilloso-argilla limosa	11.60	=:::=-=::: =		Plastica	.	.	0.90	2.06	52.3	137
24.0	20.9	0.37	1.8	2.60	limo argilloso-argilla limosa	11.70	=:::=-=::: =		Solido-plastica (Duro)	.	.	1.20	3.83	94.0	168
65.4	59.2	0.54	1.0	2.10	sabbia limosa-limo sabbioso	12.00	=:::=-=::: =		Mediamente Addensata	49.7	37.1	.	.	213.0	203
47.0	41.5	1.00	2.2	2.44	limo argilloso-argilla limosa	12.10	=:::=-=::: =		Semi solida (Molto duro)	.	.	1.70	7.28	211.2	217
65.0	58.0	0.83	1.4	2.18	sabbia limosa-limo sabbioso	12.30	=:::=-=::: =		Mediamente Addensata	49.0	37.0	.	.	226.9	217
17.9	14.7	0.36	2.2	2.79	limo argilloso-argilla limosa	12.90	=:::=-=::: =		Plastica	.	.	1.00	4.03	80.1	156
24.8	20.4	0.41	2.0	2.66	limo argilloso-argilla limosa	13.10	=:::=-=::: =		Solido-plastica (Duro)	.	.	1.22	2.67	103.6	172
55.1	46.9	0.54	1.1	2.20	sabbia limosa-limo sabbioso	13.60	=:::=-=::: =		Mediamente Addensata	42.0	36.0	.	.	183.2	199
18.0	13.7	0.26	1.7	2.74	limo argilloso-argilla limosa		=:::=-=::: =		Plastica	.	.	1.00	2.23	68.8	154

Comune
Via
Localita'
Committente
Data
Numero prova
Quota falda

Faenza
Convertite
Stabilimento CAVIRO
Enomondo
15-lug-20

9
2.50



Litotipo secondo Robertson 1990

Zone	Tipo di comportamento
9	Terreni molto duri a grana fine
8	Sabbia molto densa e sabbia argillosa
7	Sabbia ghiosa – sabbia densa
6	Sabbia – sabbia limosa
5	Sabbia limosa – limo sabbioso
4	Limo argilloso – argilla limosa
3	Argilla limoso – argilla
2	Torba
1	Terreni fini sensiti

Potenziale di liquefabilità

Zone A	Liquefazione ciclica possibile - dipendente da ampiezza e tempo del carico ciclico.
Zone B	Liquefazione improbabile.
Zone C	Liquefazione fluida e liquefazione ciclica possibile - dipendente da plasticità e sensitività, da ampiezza e tempo del carico ciclico.

CPTU

1

Profondità (m) 13.00

Tmax (sec)	2.8
Tmin (sec)	0.5

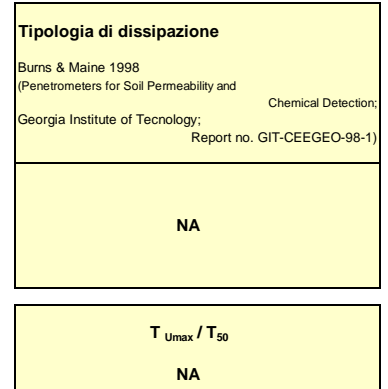
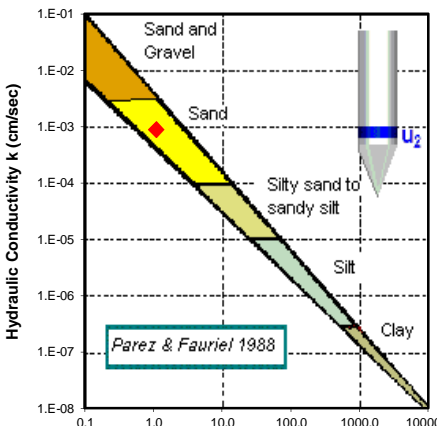
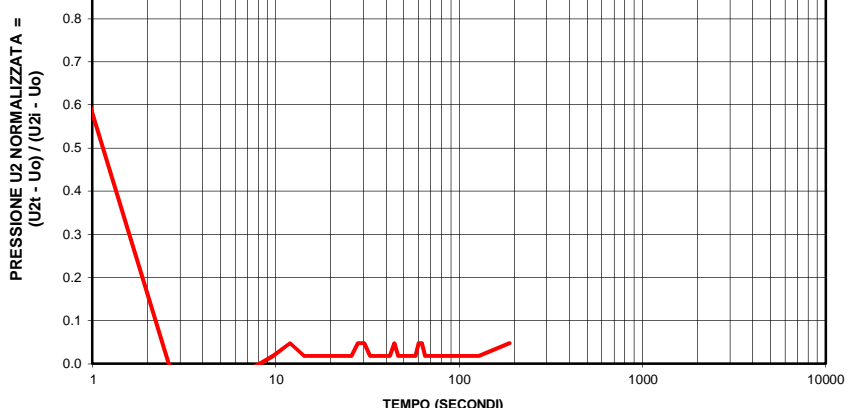
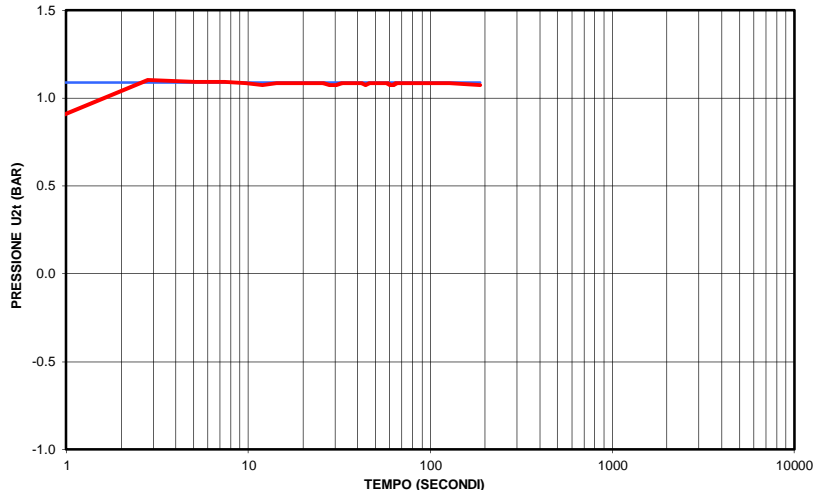
Profondità	
Falda m	2.10

Ultima lettura	
Uo oppure	
Uafida (bar)	1.090

(Perez & Fauriel 1988)

T50 (sec)	Permeabilità Kh (cm/sec)	Litologia
1	8.84E-04	sabbia

T(sec.)	U2(bar)	T(sec) Umin=0	Udito(bar)	Norm.U2
0.5	0.78	0.0	1.090	1.000
2.8	1.10	2.3	1.090	-0.041
5.1	1.09	4.6	1.090	-0.011
7.4	1.09	6.9	1.090	-0.011
9.7	1.08	9.2	1.090	0.019
12.0	1.08	11.5	1.090	0.048
14.3	1.08	13.8	1.090	0.019
16.6	1.08	16.1	1.090	0.019
18.9	1.08	18.4	1.090	0.019
21.2	1.08	20.7	1.090	0.019
23.5	1.08	23.0	1.090	0.019
25.8	1.08	25.3	1.090	0.019
28.1	1.08	27.6	1.090	0.048
30.4	1.08	29.9	1.090	0.048
32.7	1.08	32.2	1.090	0.019
35.0	1.08	34.5	1.090	0.019
37.3	1.08	36.8	1.090	0.019
39.6	1.08	39.1	1.090	0.019
41.9	1.08	41.4	1.090	0.019
44.2	1.08	43.7	1.090	0.048
46.5	1.08	46.0	1.090	0.019
48.8	1.08	48.3	1.090	0.019
51.1	1.08	50.6	1.090	0.019
53.4	1.08	52.9	1.090	0.019
55.7	1.08	55.2	1.090	0.019
58.0	1.08	57.5	1.090	0.019
60.3	1.08	59.8	1.090	0.048
62.7	1.08	62.2	1.090	0.048
65.0	1.08	64.5	1.090	0.019
67.3	1.08	66.8	1.090	0.019
127.8	1.08	127.3	1.090	0.019
188.4	1.08	187.9	1.090	0.048



CPTU

1

Profondità (m) 21.62

Tmax (sec)	62.7
Tmin (sec)	0.5

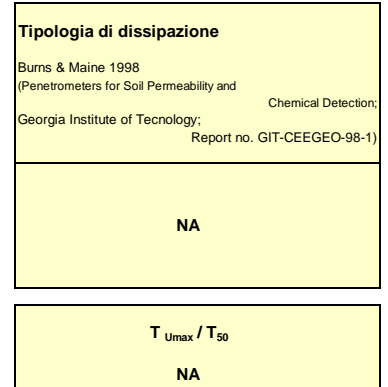
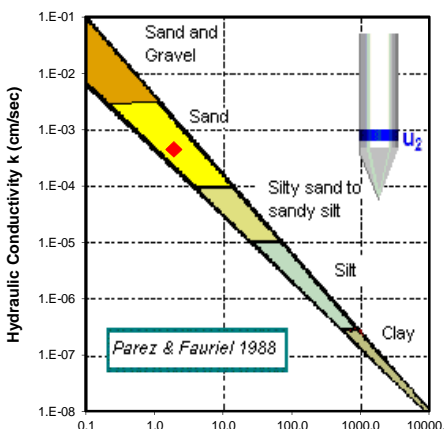
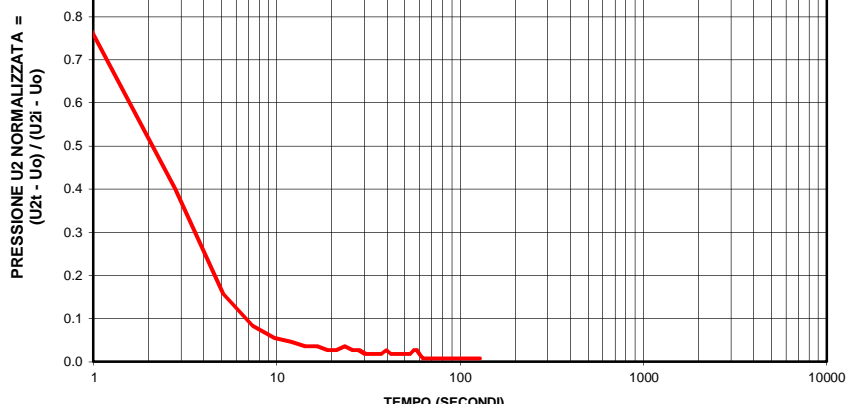
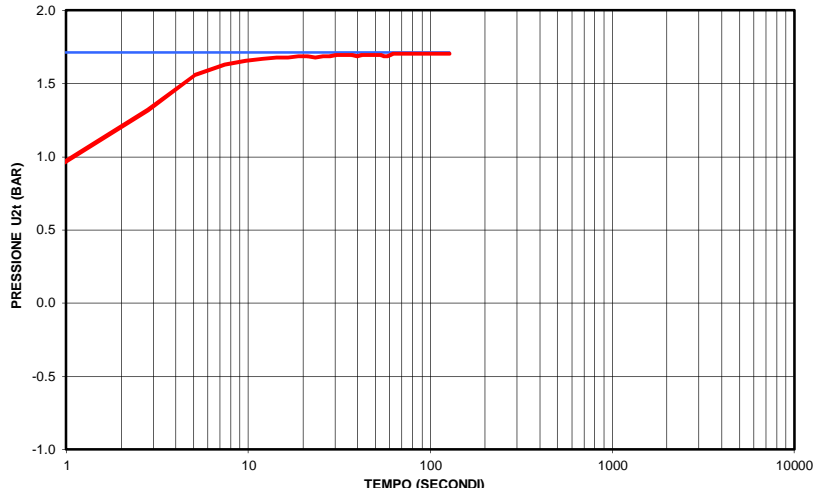
Profondità Falda m	4.50
--------------------------	------

Ultima lettura Uo oppure Uafida (bar)	1.712
---	-------

(Parez & Fauriel 1988)

T50 (sec)	Permeabilità Kh (cm/sec)	Litologia
2	4.43E-04	sabbia

T(sec.)	U2(bar)	T(sec) Umin=0	Udito(bar)	Norm.U2
0.5	0.74	0.0	1.712	1.000
2.8	1.32	2.3	1.712	0.401
5.1	1.56	4.6	1.712	0.158
7.4	1.63	6.9	1.712	0.083
9.7	1.66	9.2	1.712	0.055
12.0	1.67	11.5	1.712	0.046
14.3	1.68	13.8	1.712	0.036
16.6	1.68	16.1	1.712	0.036
18.9	1.69	18.4	1.712	0.027
21.2	1.69	20.7	1.712	0.027
23.5	1.68	23.0	1.712	0.036
25.8	1.69	25.3	1.712	0.027
28.1	1.69	27.6	1.712	0.027
30.4	1.69	29.9	1.712	0.018
32.7	1.69	32.2	1.712	0.018
35.0	1.69	34.5	1.712	0.018
37.3	1.69	36.8	1.712	0.018
39.6	1.69	39.1	1.712	0.027
41.9	1.69	41.4	1.712	0.018
44.2	1.69	43.7	1.712	0.018
46.5	1.69	46.0	1.712	0.018
48.8	1.69	48.3	1.712	0.018
51.1	1.69	50.6	1.712	0.018
53.4	1.69	52.9	1.712	0.018
55.8	1.69	55.3	1.712	0.027
58.1	1.69	57.6	1.712	0.027
60.4	1.69	59.9	1.712	0.018
62.7	1.70	62.2	1.712	0.008
65.0	1.70	64.5	1.712	0.008
67.3	1.70	66.8	1.712	0.008
127.9	1.70	127.4	1.712	0.008



CPTU **2**
Profondità (m) 21.22

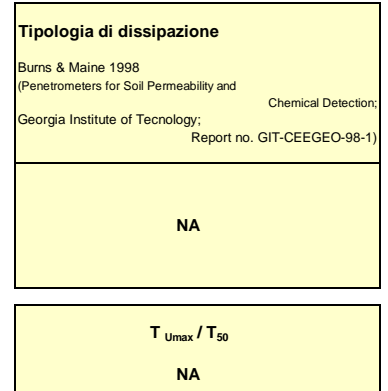
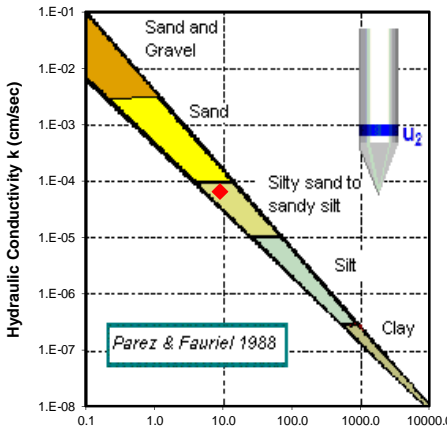
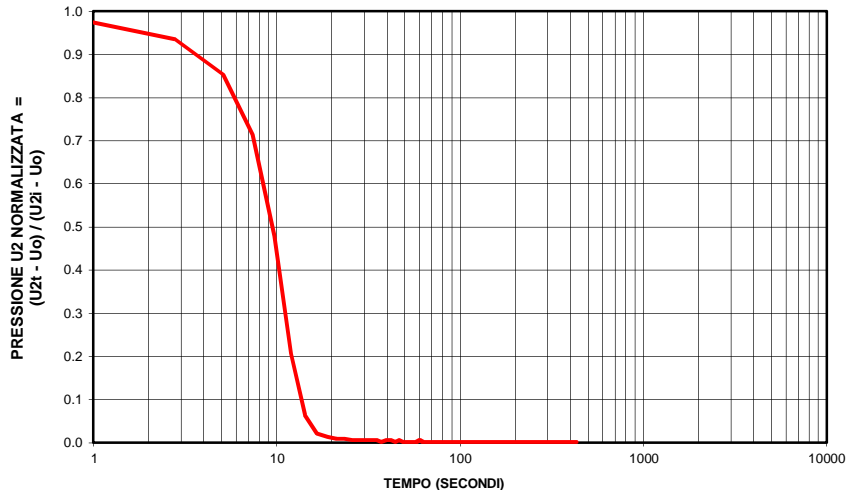
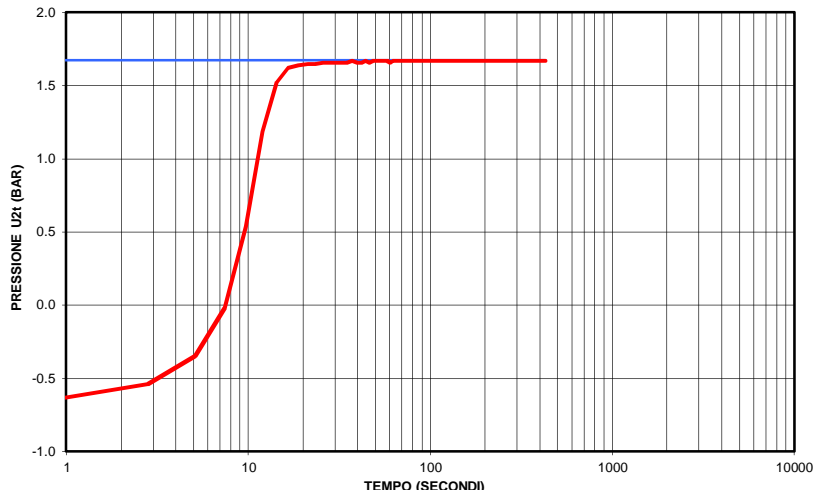
Tmax (sec)	37.3
Tmin (sec)	0.5

Profondità	Falda
m	4.50

Ultima lettura	Uo oppure
	Ufida (bar)

(Perez & Fauriel 1988)		
T50 (sec)	Permeabilità Kh (cm/sec)	Litologia
9	6.42E-05	sabbia limosa a limo sabbioso

T(sec.)	U2(bar)	T(sec) Umin=0	Uldro(bar)	Norm.U2
0.5	-0.69	0.0	1.672	1.000
2.8	-0.54	2.3	1.672	0.934
5.1	-0.35	4.6	1.672	0.854
7.4	-0.02	6.9	1.672	0.715
9.7	0.54	9.2	1.672	0.480
12.0	1.18	11.5	1.672	0.206
14.3	1.52	13.8	1.672	0.064
16.6	1.62	16.1	1.672	0.021
18.9	1.64	18.4	1.672	0.013
21.2	1.65	20.7	1.672	0.010
23.5	1.65	23.0	1.672	0.010
25.8	1.66	25.3	1.672	0.006
28.1	1.66	27.6	1.672	0.006
30.4	1.66	29.9	1.672	0.006
32.7	1.66	32.2	1.672	0.006
35.0	1.66	34.5	1.672	0.006
37.3	1.67	36.8	1.672	0.002
39.6	1.66	39.1	1.672	0.006
41.9	1.66	41.4	1.672	0.006
44.2	1.67	43.7	1.672	0.002
46.5	1.66	46.0	1.672	0.006
48.8	1.67	48.3	1.672	0.002
51.1	1.67	50.6	1.672	0.002
53.4	1.67	52.9	1.672	0.002
55.7	1.67	55.2	1.672	0.002
58.0	1.67	57.5	1.672	0.002
60.4	1.66	59.9	1.672	0.006
62.7	1.67	62.2	1.672	0.002
65.0	1.67	64.5	1.672	0.002
67.3	1.67	66.8	1.672	0.002
127.9	1.67	127.4	1.672	0.002
188.4	1.67	187.9	1.672	0.002
248.9	1.67	248.4	1.672	0.002
309.4	1.67	308.9	1.672	0.002
369.9	1.67	369.4	1.672	0.002
430.4	1.67	429.9	1.672	0.002

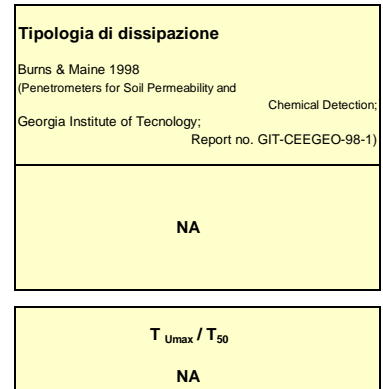
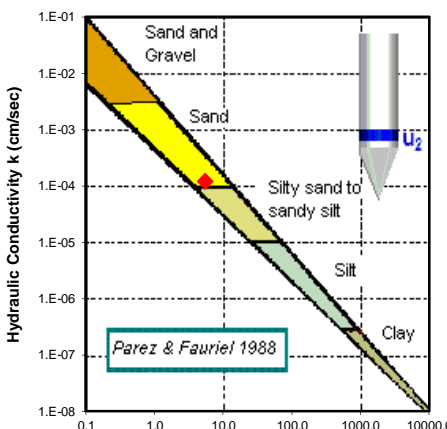
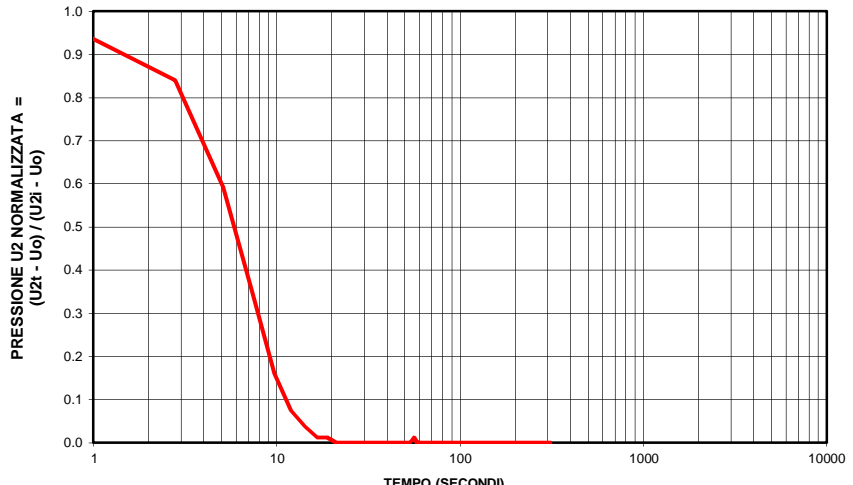
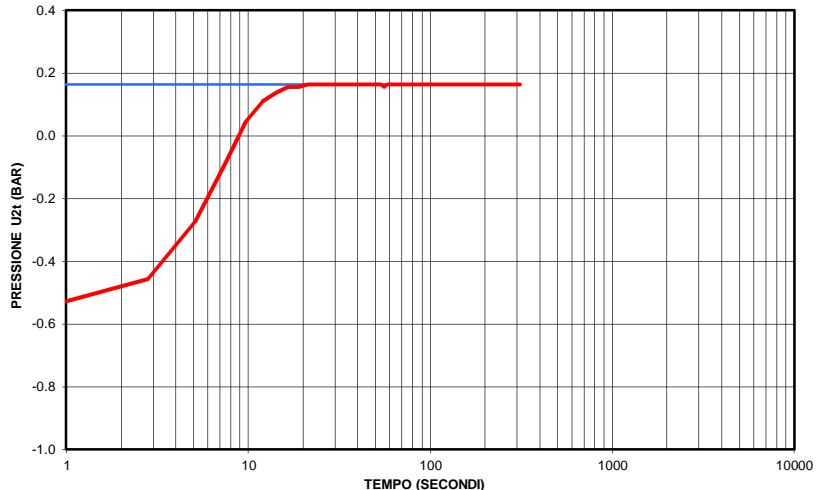


CPTU **2**
Profondità (m) 3.54

Tmax (sec)	U2(bar)	Profondità Falda m	Ultima lettura Uo oppure Ufalda (bar)
21.2			
0.5	2.3	1.90	0.164

(Perez & Fauriel 1988)		
T50 (sec)	Permeabilità Kh (cm/sec)	Litologia
5	1.20E-04	sabbia

T(sec.)	U2(bar)	T(sec) Umin=0	Uldro(bar)	Norm.U2
0.5	-0.57	0.0	0.164	1.000
2.8	-0.46	2.3	0.164	0.840
5.1	-0.27	4.6	0.164	0.593
7.4	-0.09	6.9	0.164	0.346
9.7	0.05	9.2	0.164	0.160
12.0	0.11	11.5	0.164	0.074
14.3	0.14	13.8	0.164	0.037
16.6	0.15	16.1	0.164	0.012
18.9	0.15	18.4	0.164	0.012
21.2	0.16	20.7	0.164	0.000
23.5	0.16	23.0	0.164	0.000
25.8	0.16	25.3	0.164	0.000
28.1	0.16	27.6	0.164	0.000
30.4	0.16	29.9	0.164	0.000
32.7	0.16	32.2	0.164	0.000
35.0	0.16	34.5	0.164	0.000
37.3	0.16	36.8	0.164	0.000
39.6	0.16	39.1	0.164	0.000
41.9	0.16	41.4	0.164	0.000
44.2	0.16	43.7	0.164	0.000
46.5	0.16	46.0	0.164	0.000
48.9	0.16	48.4	0.164	0.000
51.2	0.16	50.7	0.164	0.000
53.5	0.16	53.0	0.164	0.000
55.8	0.15	55.3	0.164	0.012
58.1	0.16	57.6	0.164	0.000
60.4	0.16	59.9	0.164	0.000
62.7	0.16	62.2	0.164	0.000
65.0	0.16	64.5	0.164	0.000
67.3	0.16	66.8	0.164	0.000
127.9	0.16	127.4	0.164	0.000
188.5	0.16	188.0	0.164	0.000
249.1	0.16	248.6	0.164	0.000
309.7	0.16	309.2	0.164	0.000



CPTU

3

Profondità (m) 2.90

Tmax (sec)	48.9
Tmin (sec)	0.5

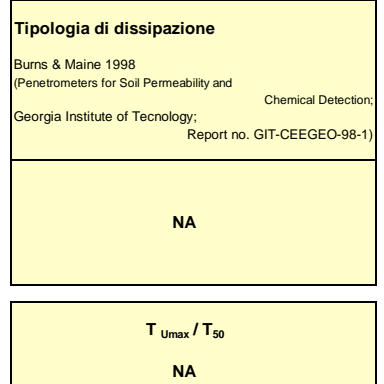
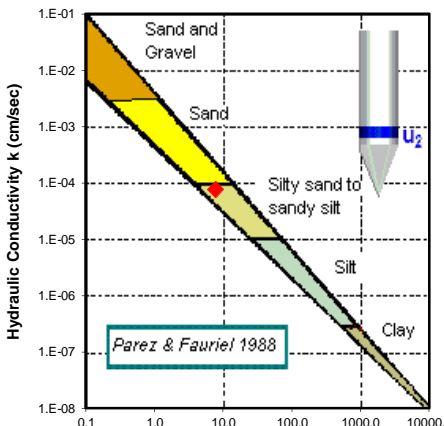
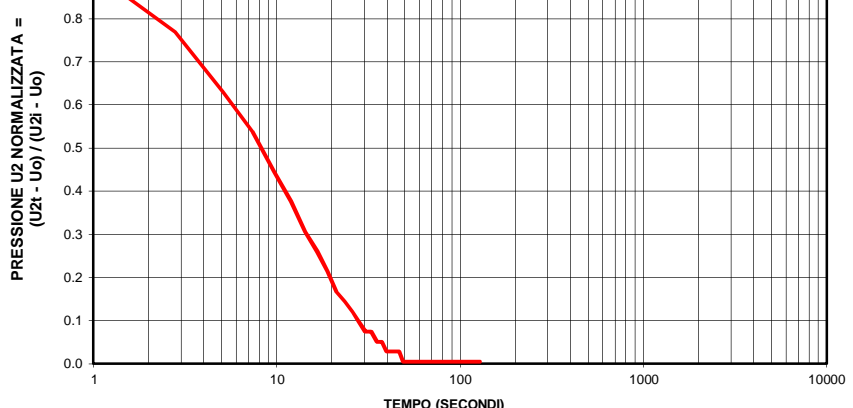
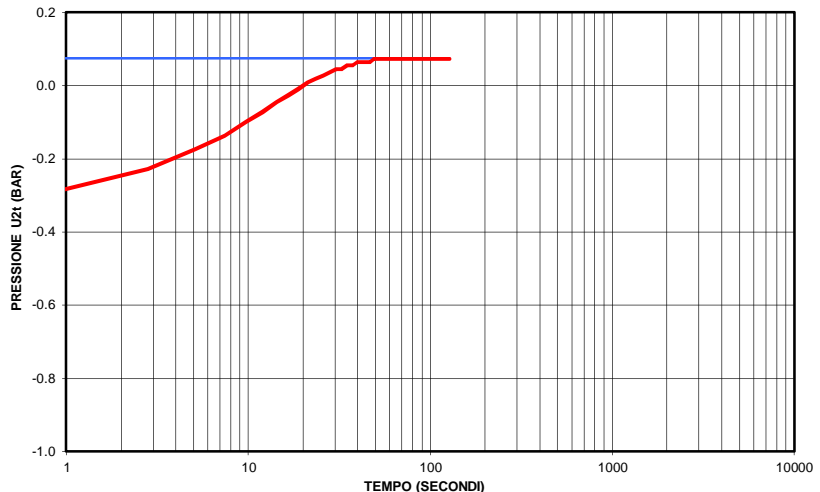
Profondità	
Falda m	2.15

Ultima lettura	
Uo oppure	
Uafida (bar)	0.075

(Perez & Fauriel 1988)

T50 (sec)	Permeabilità Kh (cm/sec)	Litologia
8	7.64E-05	sabbia limosa a limo sabbioso

T(sec.)	U2(bar)	T(sec) Umin=0	Udro(bar)	Norm.U2
0.5	-0.32	0.0	0.075	1.000
2.8	-0.23	2.3	0.075	0.769
5.1	-0.17	4.6	0.075	0.630
7.4	-0.14	6.9	0.075	0.537
9.7	-0.10	9.2	0.075	0.445
12.0	-0.07	11.5	0.075	0.375
14.3	-0.05	13.8	0.075	0.306
16.6	-0.03	16.1	0.075	0.260
18.9	-0.01	18.4	0.075	0.214
21.2	0.01	20.7	0.075	0.167
23.5	0.02	23.0	0.075	0.144
25.8	0.03	25.3	0.075	0.121
28.1	0.04	27.6	0.075	0.098
30.4	0.05	29.9	0.075	0.075
32.7	0.05	32.2	0.075	0.075
35.1	0.05	34.6	0.075	0.052
37.4	0.05	36.9	0.075	0.052
39.7	0.06	39.2	0.075	0.028
42.0	0.06	41.5	0.075	0.028
44.3	0.06	43.8	0.075	0.028
46.6	0.06	46.1	0.075	0.028
48.9	0.07	48.4	0.075	0.005
51.2	0.07	50.7	0.075	0.005
53.5	0.07	53.0	0.075	0.005
55.8	0.07	55.3	0.075	0.005
58.1	0.07	57.6	0.075	0.005
60.4	0.07	59.9	0.075	0.005
62.7	0.07	62.2	0.075	0.005
65.0	0.07	64.5	0.075	0.005
67.3	0.07	66.8	0.075	0.005
127.9	0.07	127.4	0.075	0.005



CPTU

5

Profondità (m) 21.62

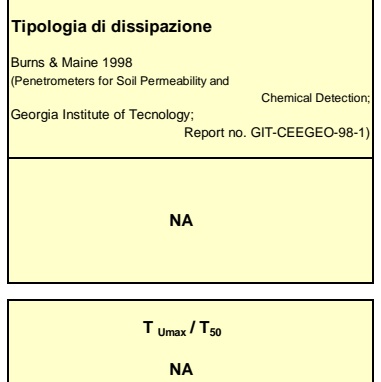
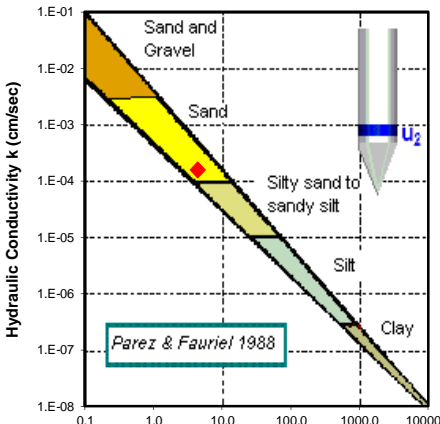
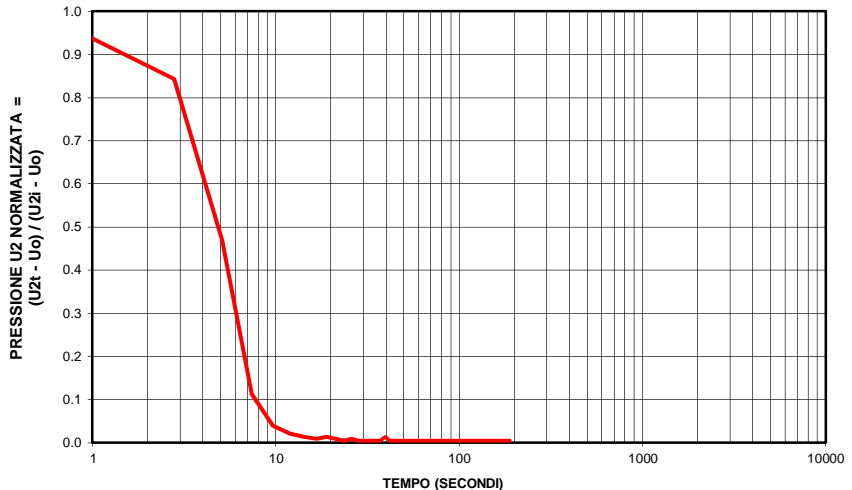
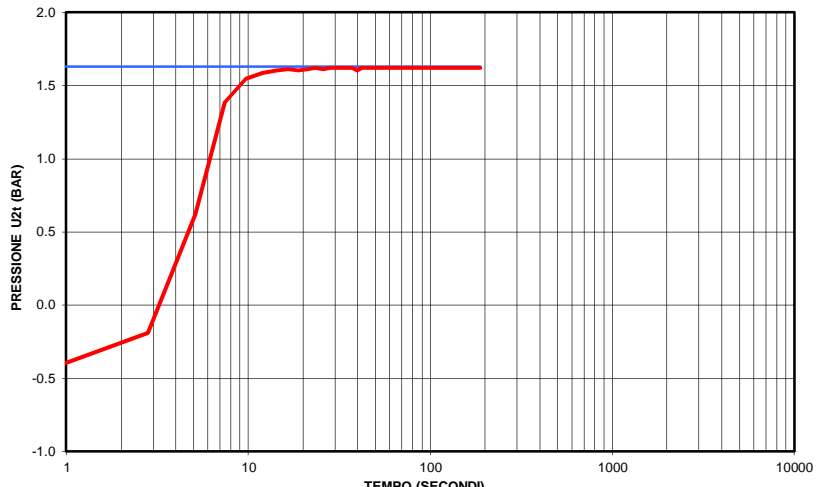
Tmax (sec)	23.5
Tmin (sec)	0.5

Profondità	Falda
m	5.30

Ultima lettura	Uo oppure
	Uafida (bar)

(Perez & Fauriel 1988)		
T50 (sec)	Permeabilità Kh (cm/sec)	Litologia
4	1.57E-04	sabbia

T(sec.)	U2(bar)	T(sec) Umin=0	Udido(bar)	Norm.U2
0.5	-0.53	0.0	1.632	1.000
2.8	-0.19	2.3	1.632	0.844
5.1	0.62	4.6	1.632	0.469
7.4	1.39	6.9	1.632	0.114
9.7	1.55	9.2	1.632	0.038
12.0	1.59	11.5	1.632	0.022
14.3	1.60	13.8	1.632	0.013
16.6	1.61	16.1	1.632	0.009
18.9	1.60	18.4	1.632	0.013
21.2	1.61	20.7	1.632	0.009
23.5	1.62	23.0	1.632	0.005
25.8	1.61	25.3	1.632	0.009
28.1	1.62	27.6	1.632	0.005
30.4	1.62	29.9	1.632	0.005
32.7	1.62	32.2	1.632	0.005
35.0	1.62	34.5	1.632	0.005
37.3	1.62	36.8	1.632	0.005
39.6	1.60	39.1	1.632	0.013
41.9	1.62	41.4	1.632	0.005
44.2	1.62	43.7	1.632	0.005
46.5	1.62	46.0	1.632	0.005
48.8	1.62	48.3	1.632	0.005
51.1	1.62	50.6	1.632	0.005
53.4	1.62	52.9	1.632	0.005
55.7	1.62	55.2	1.632	0.005
58.0	1.62	57.5	1.632	0.005
60.3	1.62	59.8	1.632	0.005
62.7	1.62	62.2	1.632	0.005
65.0	1.62	64.5	1.632	0.005
67.3	1.62	66.8	1.632	0.005
127.8	1.62	127.3	1.632	0.005
188.4	1.62	187.9	1.632	0.005

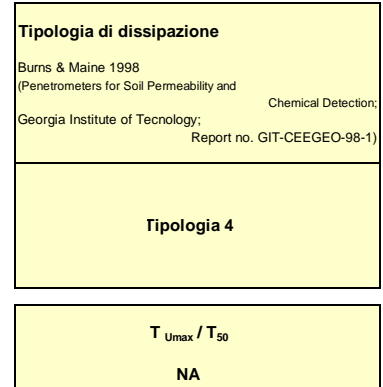
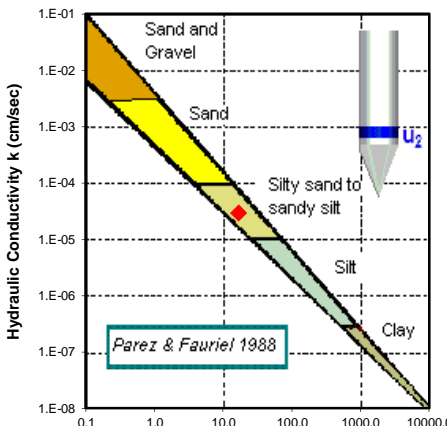
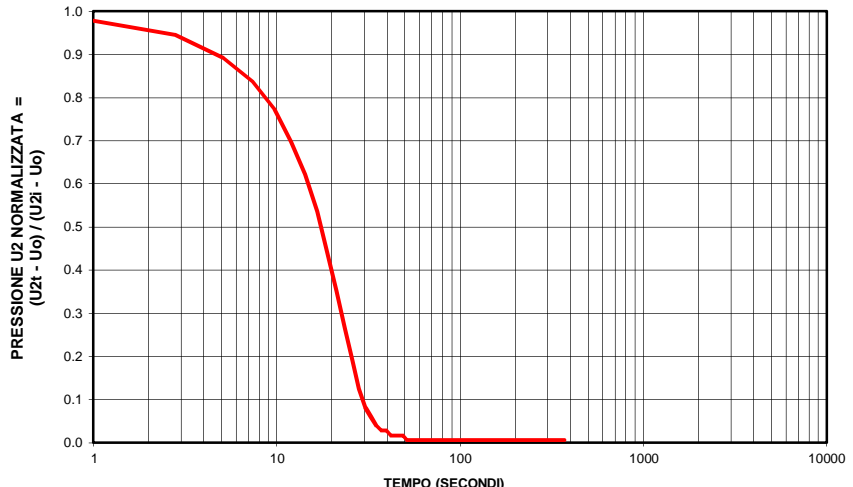
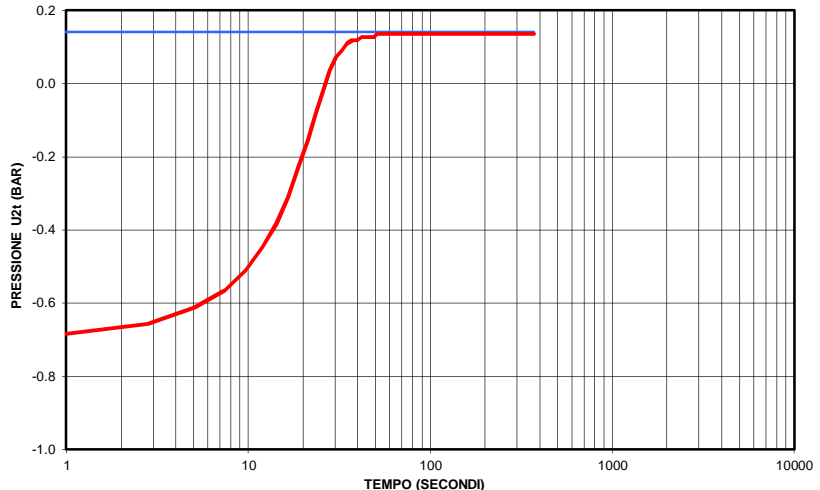


CPTU 5
Profondità (m) 4.22

Tmax (sec)	U2(bar)	Profondità Falda m	Ultima lettura Uo oppure Ufalda (bar)
51.2		2.80	0.142
0.5			

(Perez & Fauriel 1988)		Litologia
T50 (sec)	Permeabilità Kh (cm/sec)	
17	2.91E-05	sabbia limosa a limo sabbioso

T(sec.)	U2(bar)	T(sec) Umin=0	Uldro(bar)	Norm.U2
0.5	-0.70	0.0	0.142	1.000
2.8	-0.66	2.3	0.142	0.946
5.1	-0.61	4.6	0.142	0.892
7.4	-0.56	6.9	0.142	0.838
9.7	-0.51	9.2	0.142	0.773
12.0	-0.45	11.5	0.142	0.698
14.3	-0.38	13.8	0.142	0.622
16.6	-0.31	16.1	0.142	0.536
18.9	-0.23	18.4	0.142	0.438
21.2	-0.15	20.7	0.142	0.352
23.5	-0.08	23.0	0.142	0.266
25.8	-0.02	25.3	0.142	0.190
28.1	0.04	27.6	0.142	0.125
30.4	0.07	29.9	0.142	0.082
32.7	0.09	32.2	0.142	0.060
35.0	0.11	34.5	0.142	0.039
37.3	0.12	36.8	0.142	0.028
39.6	0.12	39.1	0.142	0.028
42.0	0.13	41.5	0.142	0.017
44.3	0.13	43.8	0.142	0.017
46.6	0.13	46.1	0.142	0.017
48.9	0.13	48.4	0.142	0.017
51.2	0.14	50.7	0.142	0.006
53.5	0.14	53.0	0.142	0.006
55.8	0.14	55.3	0.142	0.006
58.1	0.14	57.6	0.142	0.006
60.4	0.14	59.9	0.142	0.006
62.7	0.14	62.2	0.142	0.006
65.0	0.14	64.5	0.142	0.006
67.3	0.14	66.8	0.142	0.006
127.9	0.14	127.4	0.142	0.006
188.5	0.14	188.0	0.142	0.006
249.1	0.14	248.6	0.142	0.006
309.7	0.14	309.2	0.142	0.006
370.3	0.14	369.8	0.142	0.006



Comune Faenza
Via Convertite
Localita' Stabilimento CAVIRO
Committente Enomondo
Data 15-lug-20

CPTU

6

Profondità (m) 22,94

Tmax (sec)	12.0
Tmin (sec)	0.5

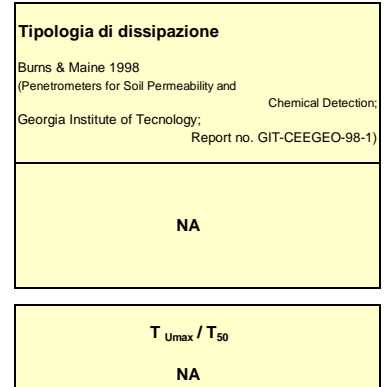
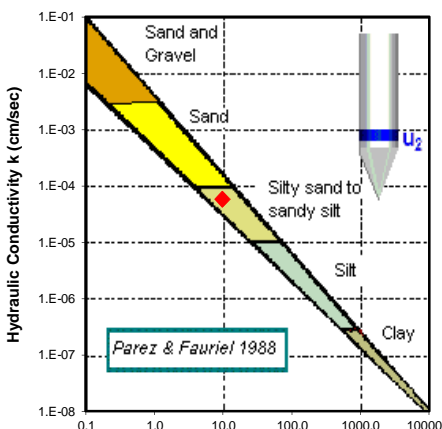
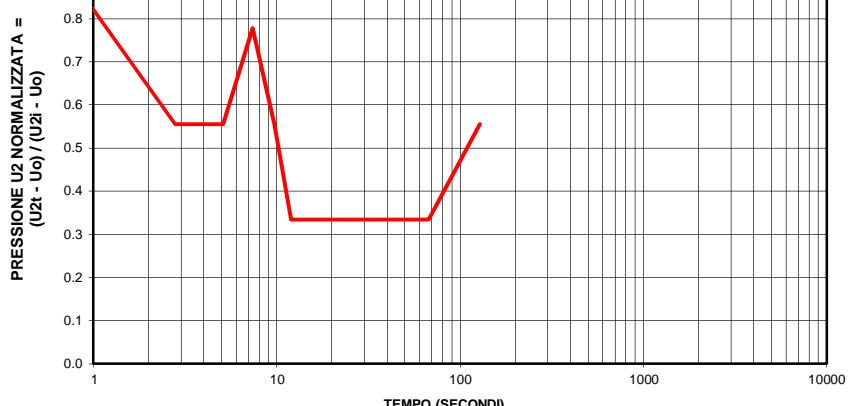
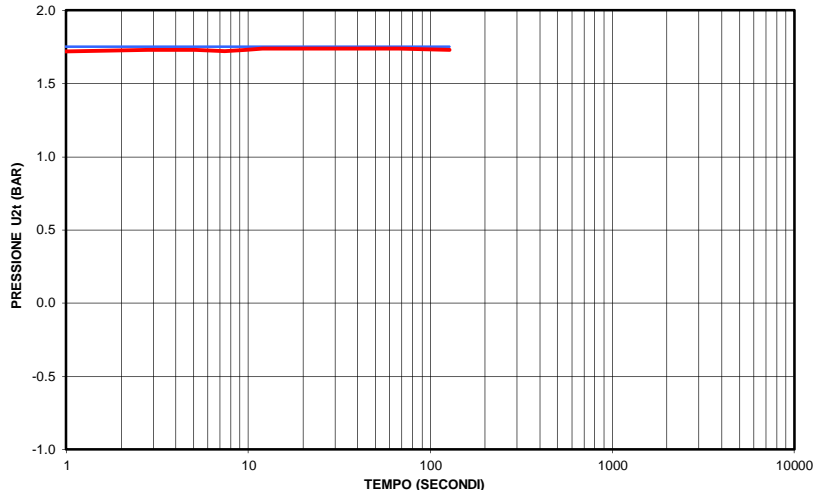
Profondità	
Falda m	5.40

Ultima lettura	
Uo oppure	
Uafida (bar)	1.754

(Parez & Fauriel 1988)

T50 (sec)	Permeabilità Kh (cm/sec)	Litologia
10	5.79E-05	sabbia limosa a limo sabbioso

T(sec.)	U2(bar)	T(sec) Umin=0	Uldro(bar)	Norm.U2
0.5	1.71	0.0	1.754	1.000
2.8	1.73	2.3	1.754	0.556
5.1	1.73	4.6	1.754	0.556
7.4	1.72	6.9	1.754	0.778
9.7	1.73	9.2	1.754	0.556
12.0	1.74	11.5	1.754	0.334
14.3	1.74	13.8	1.754	0.334
16.7	1.74	16.2	1.754	0.334
19.0	1.74	18.5	1.754	0.334
21.3	1.74	20.8	1.754	0.334
23.6	1.74	23.1	1.754	0.334
25.9	1.74	25.4	1.754	0.334
28.2	1.74	27.7	1.754	0.334
30.5	1.74	30.0	1.754	0.334
32.8	1.74	32.3	1.754	0.334
35.1	1.74	34.6	1.754	0.334
37.4	1.74	36.9	1.754	0.334
39.7	1.74	39.2	1.754	0.334
42.0	1.74	41.5	1.754	0.334
44.3	1.74	43.8	1.754	0.334
46.6	1.74	46.1	1.754	0.334
48.9	1.74	48.4	1.754	0.334
51.2	1.74	50.7	1.754	0.334
53.5	1.74	53.0	1.754	0.334
55.8	1.74	55.3	1.754	0.334
58.1	1.74	57.6	1.754	0.334
60.4	1.74	59.9	1.754	0.334
62.8	1.74	62.3	1.754	0.334
65.1	1.74	64.6	1.754	0.334
67.4	1.74	66.9	1.754	0.334
127.9	1.73	127.4	1.754	0.556



CPTU

6

Profondità (m)

6.00

Tmax (sec)	U2(bar)
128.0	
0.5	0.380

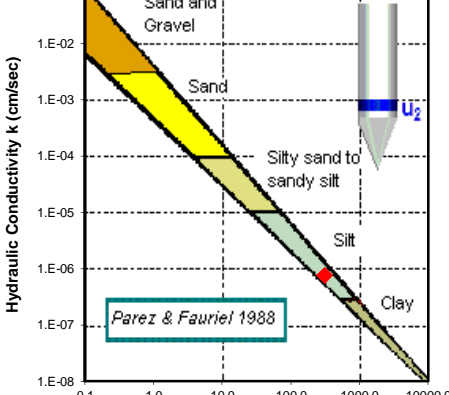
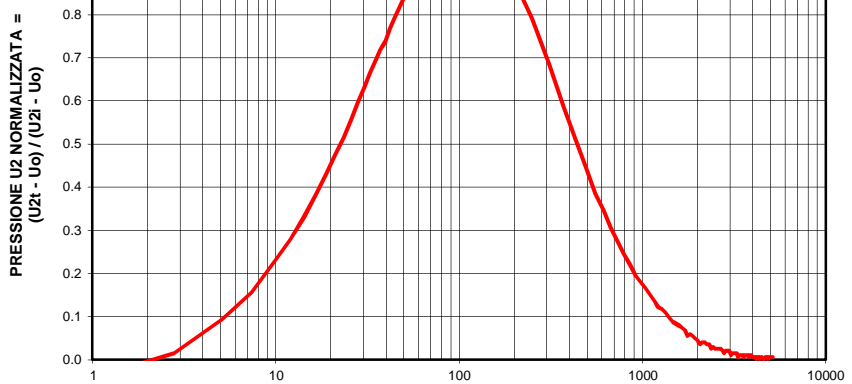
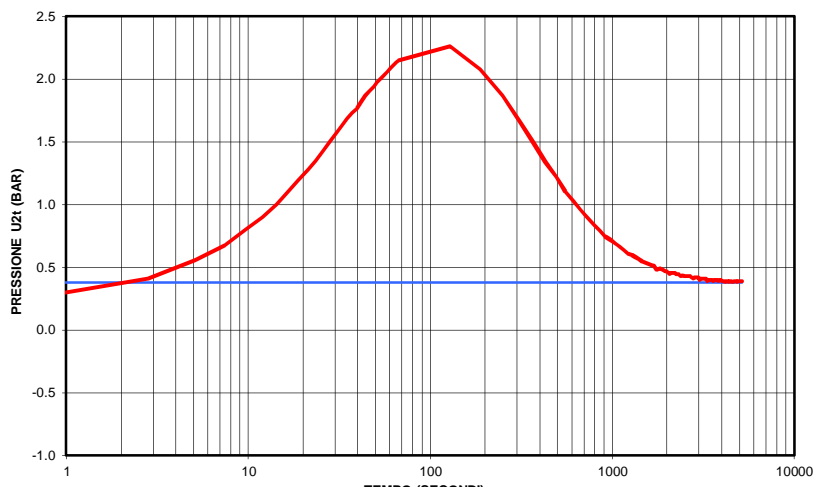
Profondità Falda m	U2(bar)
2.20	0.380

Ultima lettura Uo oppure Uafida (bar)
0.380

(Parez & Fauriel 1988)

T50 (sec)	Permeabilità Kh (cm/sec)	Litologia
313	7.61E-07	limo

T(sec.)	U2(bar)	T(sec) Umin=0	Udito(bar)	Norm.U2
0.5	0.23	-127.5	0.380	-0.081
2.8	0.41	-125.2	0.380	0.016
5.1	0.56	-122.9	0.380	0.094
7.4	0.67	-120.6	0.380	0.157
9.7	0.80	-118.3	0.380	0.224
12.0	0.90	-116.0	0.380	0.278
14.3	1.00	-113.7	0.380	0.331
16.6	1.10	-111.4	0.380	0.384
18.9	1.19	-109.1	0.380	0.433
21.2	1.28	-106.8	0.380	0.476
23.5	1.35	-104.5	0.380	0.515
25.8	1.43	-102.2	0.380	0.559
28.1	1.50	-99.9	0.380	0.598
30.4	1.57	-97.6	0.380	0.632
32.7	1.63	-95.3	0.380	0.666
35.0	1.69	-93.0	0.380	0.695
37.3	1.73	-90.7	0.380	0.719
39.6	1.77	-88.4	0.380	0.738
41.9	1.82	-86.1	0.380	0.767
44.2	1.87	-83.8	0.380	0.792
46.5	1.90	-81.5	0.380	0.811
48.9	1.94	-79.1	0.380	0.830
51.2	1.98	-76.8	0.380	0.850
53.5	2.00	-74.5	0.380	0.864
55.8	2.03	-72.2	0.380	0.879
58.1	2.06	-69.9	0.380	0.893
60.4	2.09	-67.6	0.380	0.908
62.8	2.11	-65.2	0.380	0.922
65.1	2.13	-62.9	0.380	0.932
67.4	2.15	-60.6	0.380	0.942
128.0	2.26	0.0	0.380	1.000
188.5	2.08	60.5	0.380	0.903
249.1	1.87	121.1	0.380	0.792
309.7	1.67	181.7	0.380	0.685
370.3	1.49	242.3	0.380	0.588
430.9	1.34	302.9	0.380	0.510
491.5	1.22	363.5	0.380	0.447
552.1	1.10	424.1	0.380	0.384
612.5	1.03	484.5	0.380	0.346
673.1	0.96	545.1	0.380	0.307
733.7	0.89	605.7	0.380	0.273
794.3	0.84	666.3	0.380	0.244
854.8	0.79	726.8	0.380	0.220
915.4	0.75	787.4	0.380	0.195
976.0	0.72	848.0	0.380	0.161
1036.6	0.69	908.6	0.380	0.166
1097.2	0.67	969.2	0.380	0.152
1157.8	0.64	1029.8	0.380	0.137
1218.4	0.61	1090.4	0.380	0.123
1278.9	0.60	1150.9	0.380	0.118
1339.5	0.58	1211.5	0.380	0.108
1400.1	0.56	1272.1	0.380	0.098
1460.7	0.55	1332.7	0.380	0.089
1521.3	0.54	1393.3	0.380	0.084
1581.9	0.53	1453.9	0.380	0.079
1642.0	0.52	1514.0	0.380	0.074
1702.6	0.51	1574.6	0.380	0.069
1763.2	0.48	1635.2	0.380	0.055
1823.8	0.49	1695.8	0.380	0.060
1884.4	0.48	1756.4	0.380	0.055
1945.0	0.47	1817.0	0.380	0.050
2005.5	0.46	1877.5	0.380	0.045
2066.1	0.45	1938.1	0.380	0.035
2126.7	0.46	1998.7	0.380	0.040
2187.3	0.46	2059.3	0.380	0.040
2247.9	0.45	2119.9	0.380	0.035
2308.5	0.45	2180.5	0.380	0.035
2369.1	0.43	2241.1	0.380	0.026
2429.7	0.44	2301.7	0.380	0.031
2490.2	0.43	2362.2	0.380	0.026
2550.7	0.43	2422.7	0.380	0.026
2611.3	0.43	2483.3	0.380	0.026
2671.9	0.43	2543.9	0.380	0.026
2732.5	0.42	2604.5	0.380	0.021
2793.1	0.41	2665.1	0.380	0.016
2853.7	0.42	2725.7	0.380	0.021
2914.2	0.42	2786.2	0.380	0.021
2974.8	0.42	2846.8	0.380	0.021
3035.4	0.40	2907.4	0.380	0.011
3096.0	0.41	2968.0	0.380	0.016
3156.6	0.41	3028.6	0.380	0.016
3217.2	0.41	3089.2	0.380	0.016
3277.8	0.41	3149.8	0.380	0.016
3338.4	0.39	3210.4	0.380	0.006



Tipologia di dissipazione

Burns & Maine 1998
(Penetrometers for Soil Permeability and Chemical Detection;
Georgia Institute of Technology;
Report no. GIT-CEE GEO-98-1)

Tipologia 4

T_{Umax} / T₅₀

NA

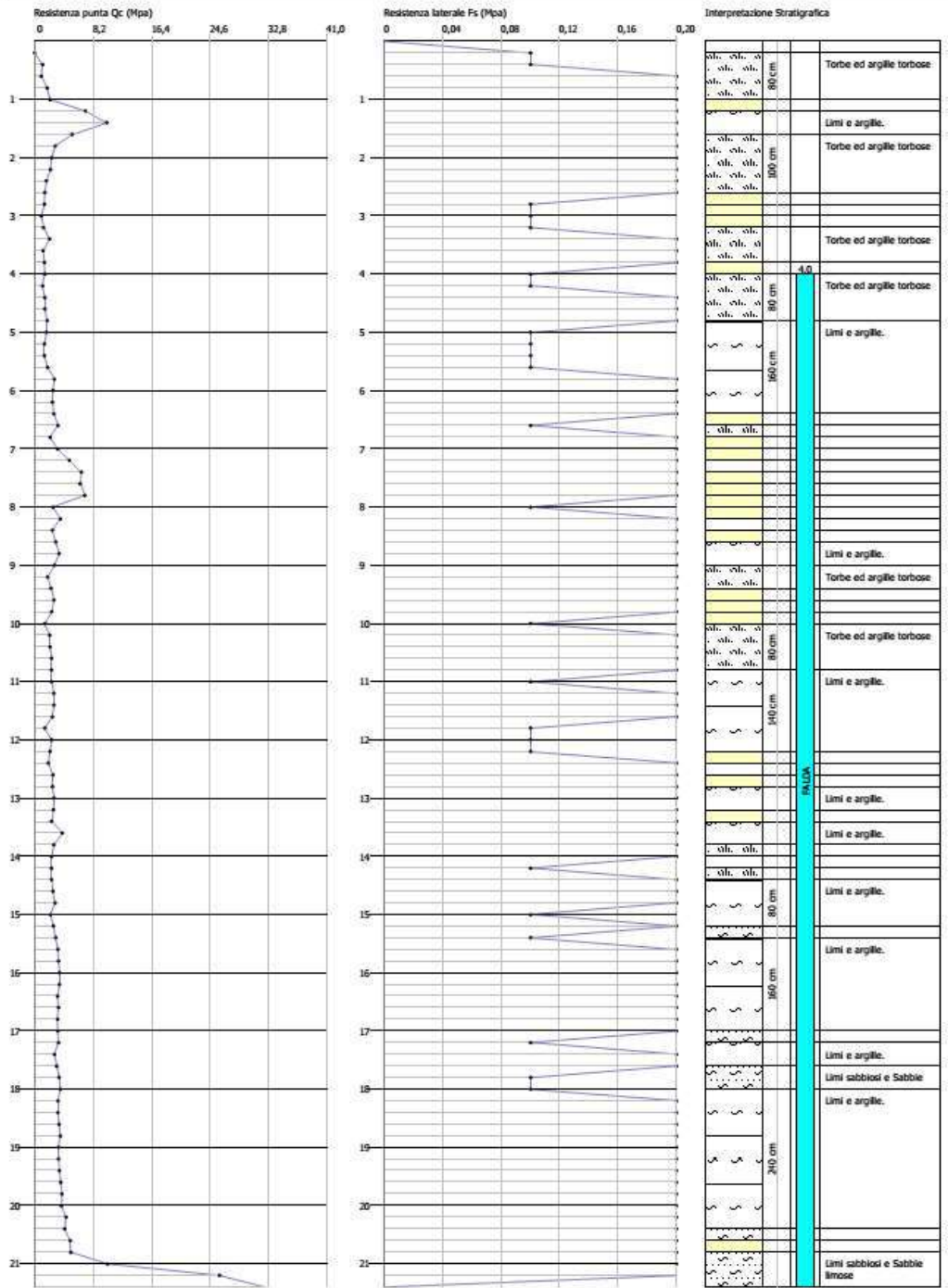
PROVE DI REPERTORIO ESEGUITE IN PASSATO AREA CAVIRO

Prove fornite dalla committente

Probe CPT - Cone Penetration Nr.1
Strumento utilizzato GOUDA 100 kN

Committente: CAVIRO Distillerie
Cantieri: v. Concerie
Località: Faenza

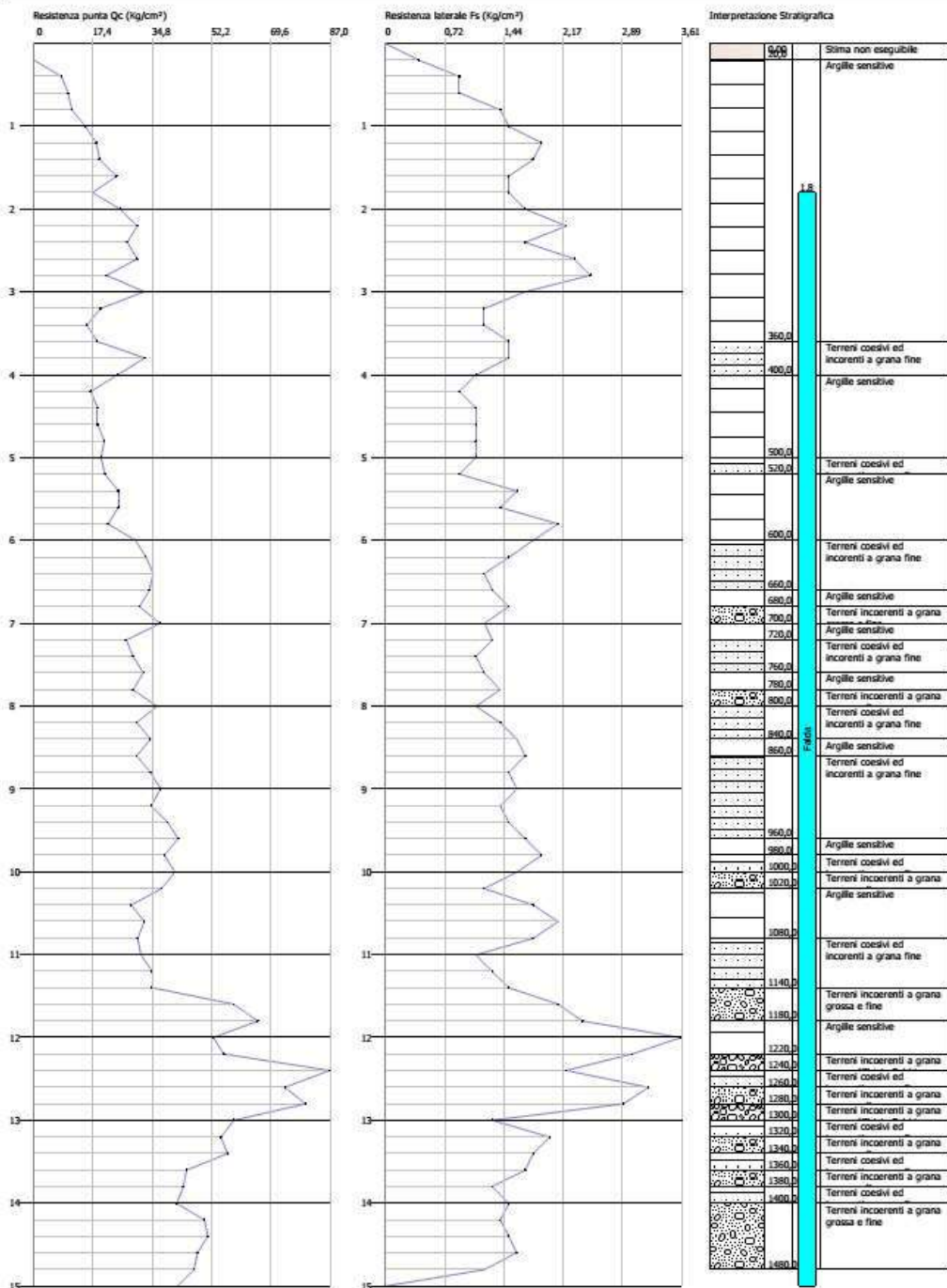
Data: 14/02/2012



Probe CPT - Cone Penetration Nr.1
Strumento utilizzato GOUDA 100 kN

Committente: CAVIRO
Cantieri: campo
Località: Faenza

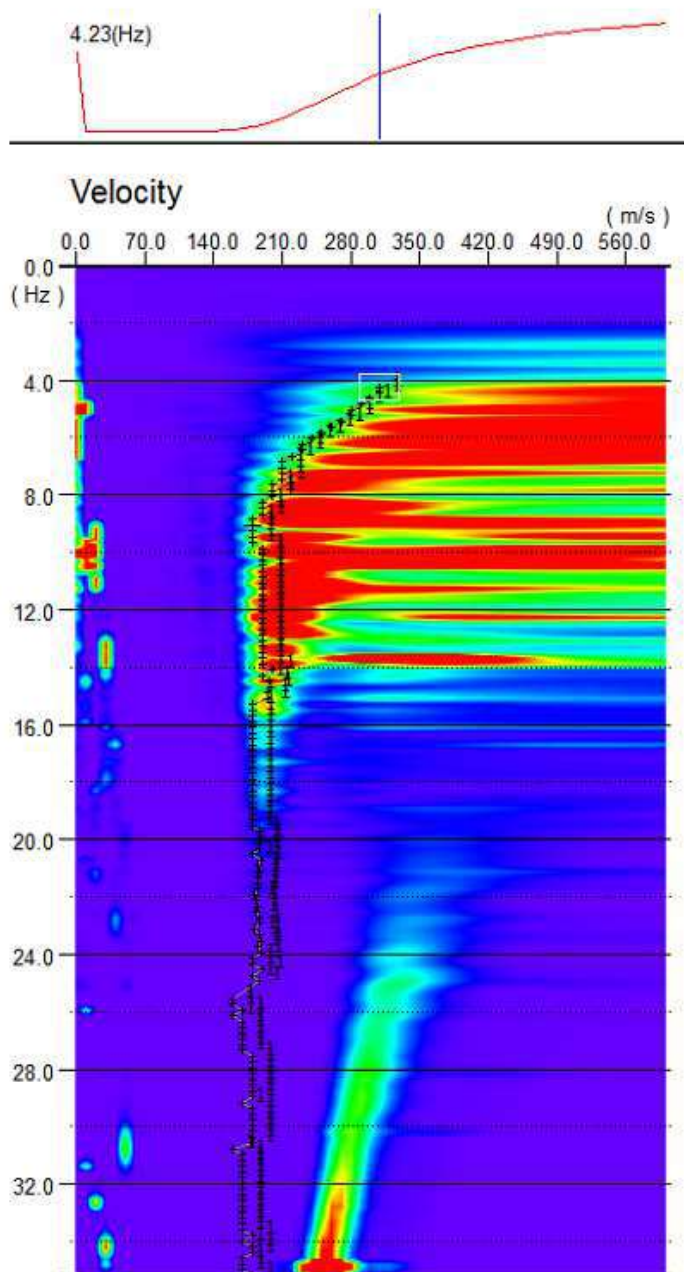
Data: 23/12/2013



Linea 1

L'indagine eseguita ha permesso la determinazione dell'andamento della velocità delle Vs fino a oltre 35 m di profondità.

Di seguito si riportano le immagini relative alla curva di dispersione delle onde di Rayleigh e del modello che ne deriva previa inversione dei dati. L'errore RMS calcolato è dello 0.64%.



CURVA DI DISPERSIONE CUMULATIVA METODI ATTIVO E PASSIVO

Di seguito si riportano i dati relativi all'acquisizione sismica:

Start recording: 09/05/16 08:51:33 End recording: 09/05/16 09:21:34

Channel labels: NORTH SOUTH; EAST WEST ; UP DOWN

GPS data not available

Trace length: 0h30'00". Analyzed 98% trace (automatic window selection)

Sampling frequency: 128 Hz

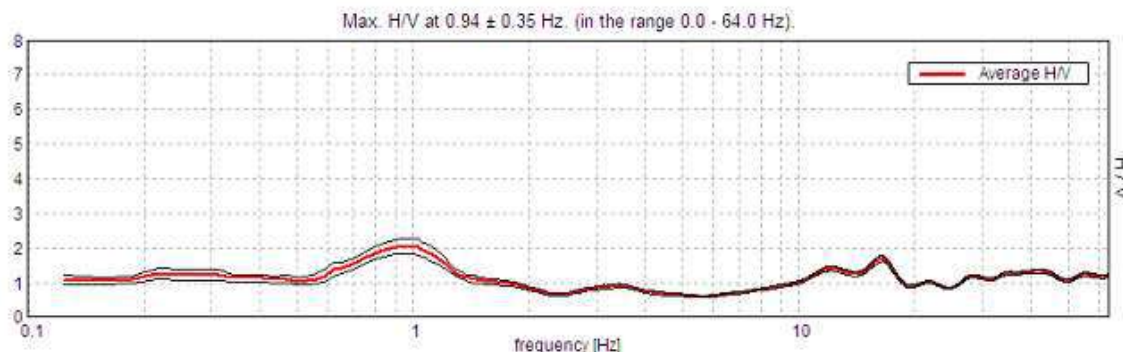
Window size: 20 s

Smoothing window: Triangular window

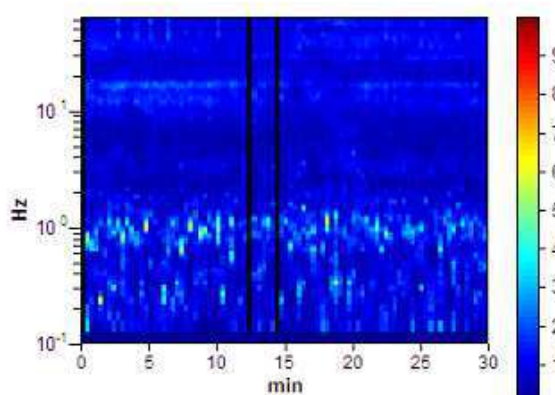
Smoothing: 10%

Nel grafico che segue è rappresentata la curva sperimentale H/V frutto dell'elaborazione mediante algoritmo dei microtremori registrato dall'apparecchiatura, in ascissa la frequenza di risonanza del terreno, in ordinata il rapporto H/V:

HORIZONTAL TO VERTICAL SPECTRAL RATIO



H/V TIME HISTORY



Di seguito si riportano i dati relativi all'acquisizione sismica:

Start recording: 29/09/16 09:25:29 End recording: 29/09/16 09:55:30

Channel labels: NORTH SOUTH; EAST WEST; UP DOWN

GPS data not available

Trace length: 0h30'00". Analyzed 101% trace (automatic window selection)

Sampling frequency: 128 Hz

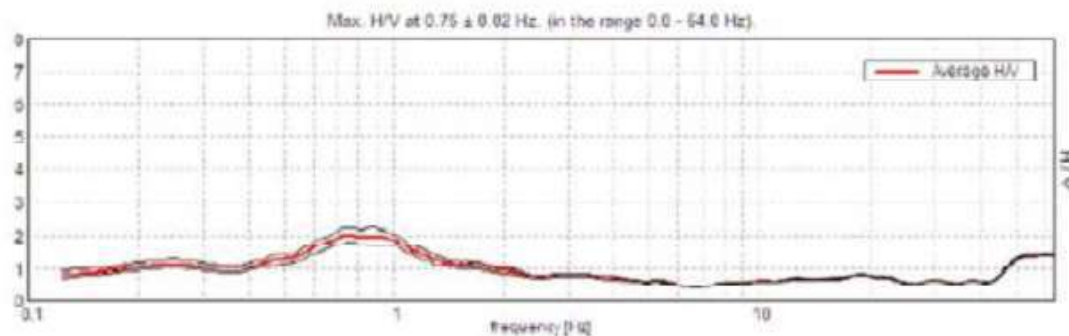
Window size: 20 s

Smoothing window: Triangular window

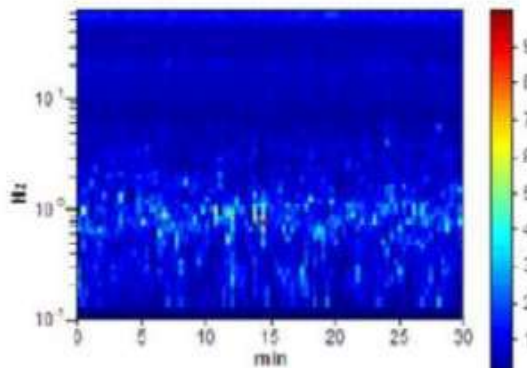
Smoothing: 10%

Nel grafico che segue è rappresentata la curva sperimentale H/V frutto dell'elaborazione mediante algoritmo dei microtremori registrato dall'apparecchiatura, in ascissa la frequenza di risonanza del terreno, in ordinata il rapporto H/V:

HORIZONTAL TO VERTICAL SPECTRAL RATIO



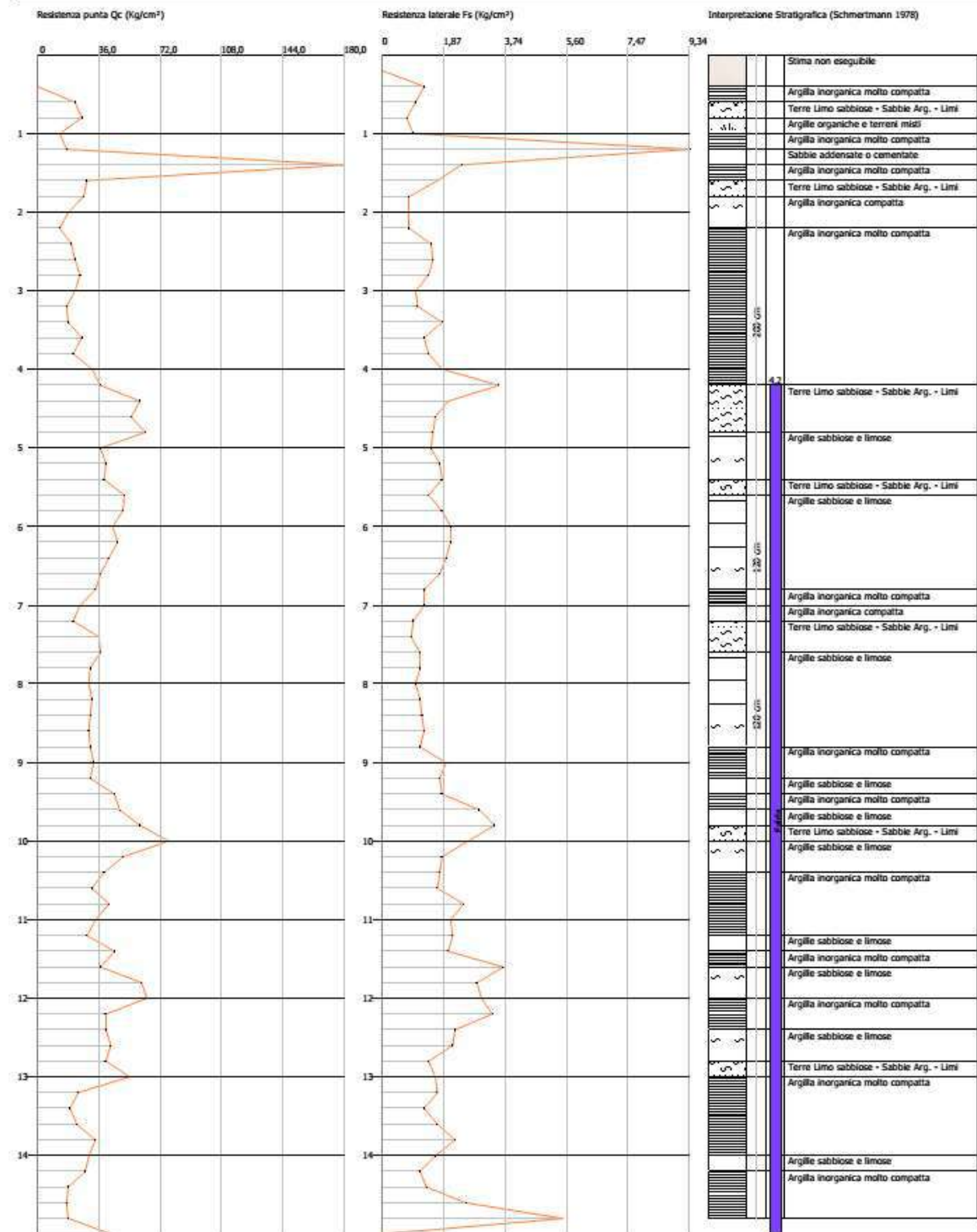
H/V TIME HISTORY



Probe CPT - Cone Penetration Nr.1
Strumento utilizzato GOUDA 100 kN

Committente: CAVIRO Distillerie
Cantiere: scarico palabili
Località: Faenza

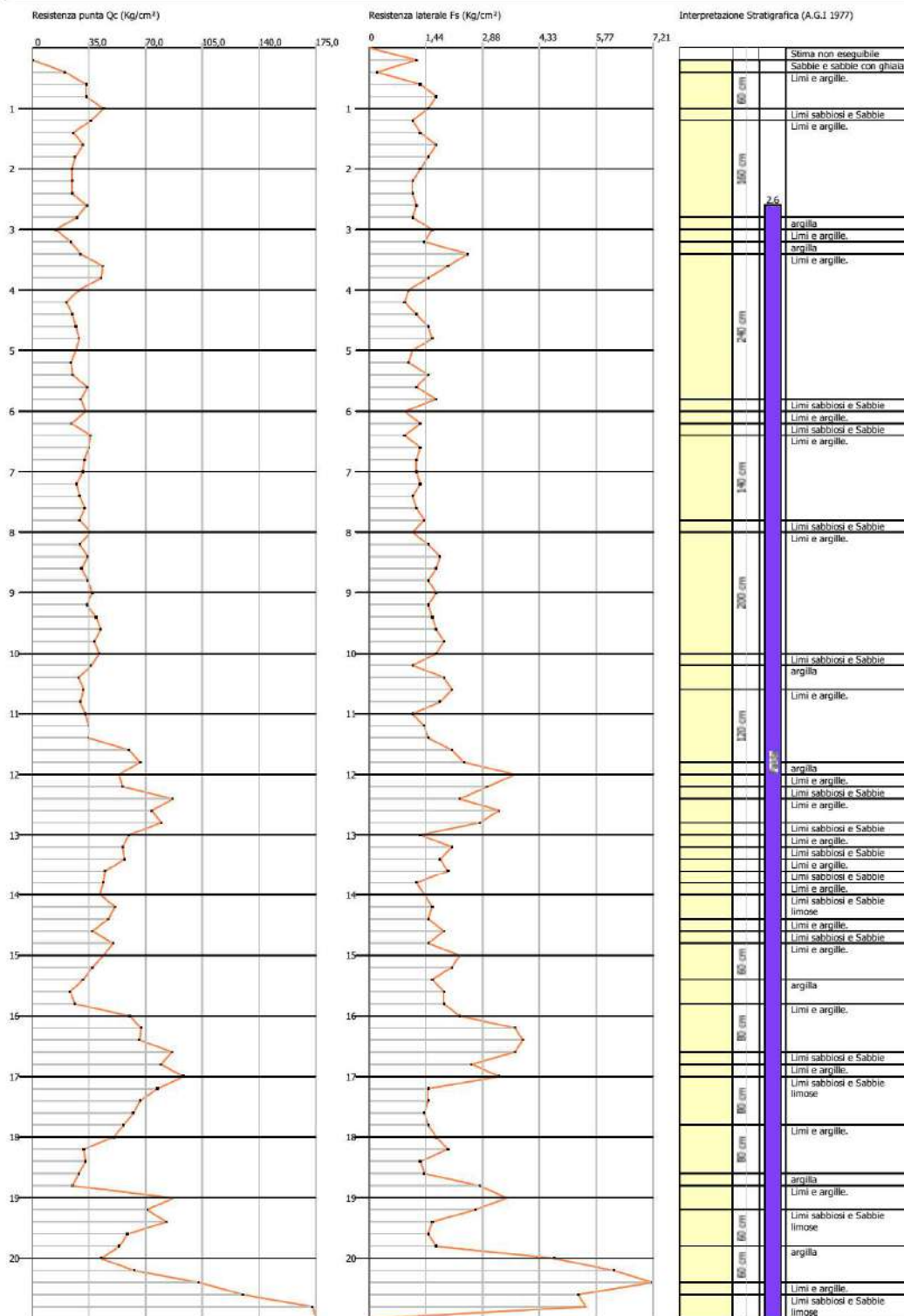
Data: 09/05/2016



Probe CPT - Cone Penetration Nr.1
Strumento utilizzato GOLDA 100 KN

Committente: CAVIRO
Cantiere: parco
Località: Fiesola

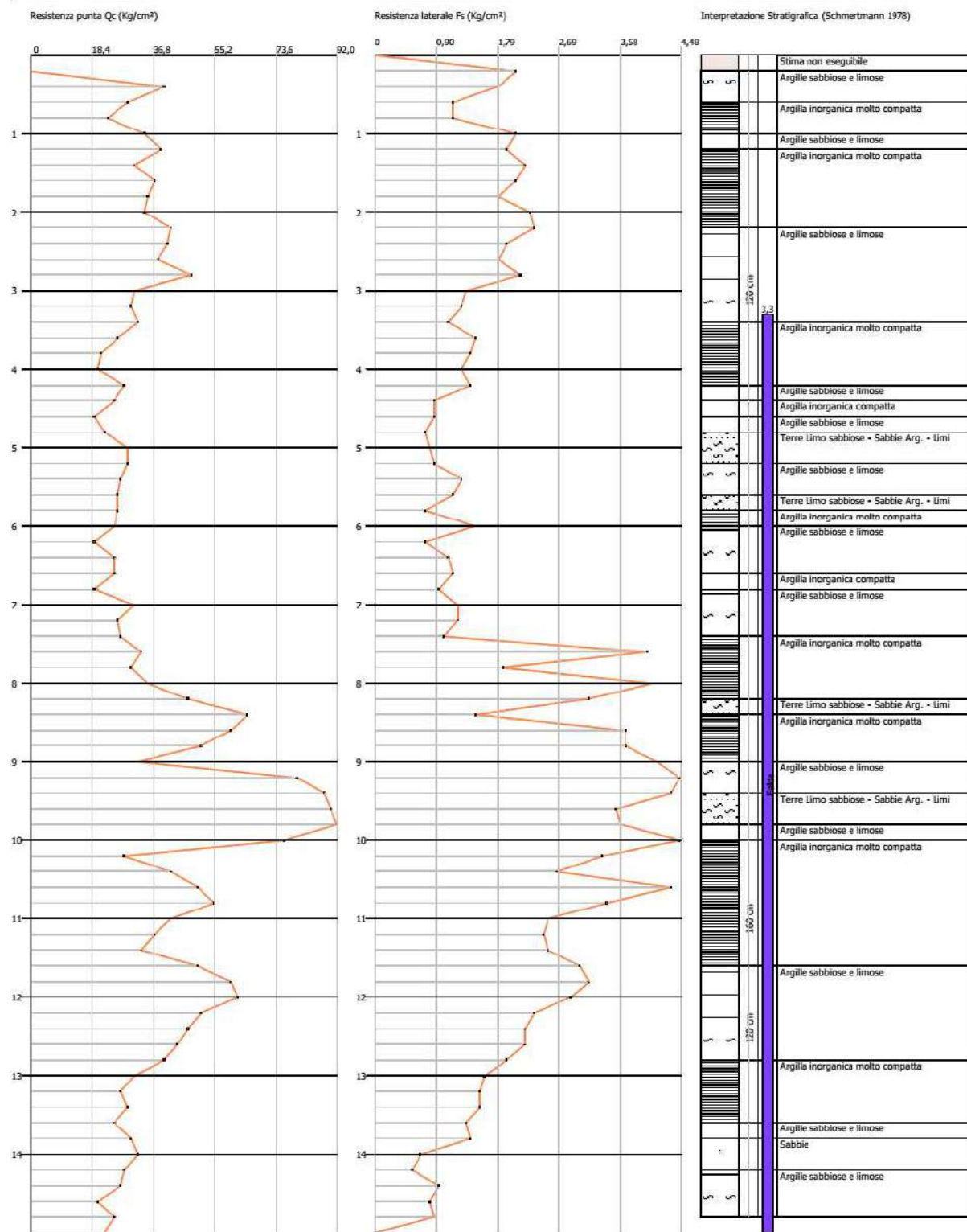
Data: 17/10/2013



Probe CPT - Cone Penetration Nr.1
Strumento utilizzato GOUDA 100 kN

Committente: CAVIRO srl
Cantiere: v.Convertite
Località: Faenza

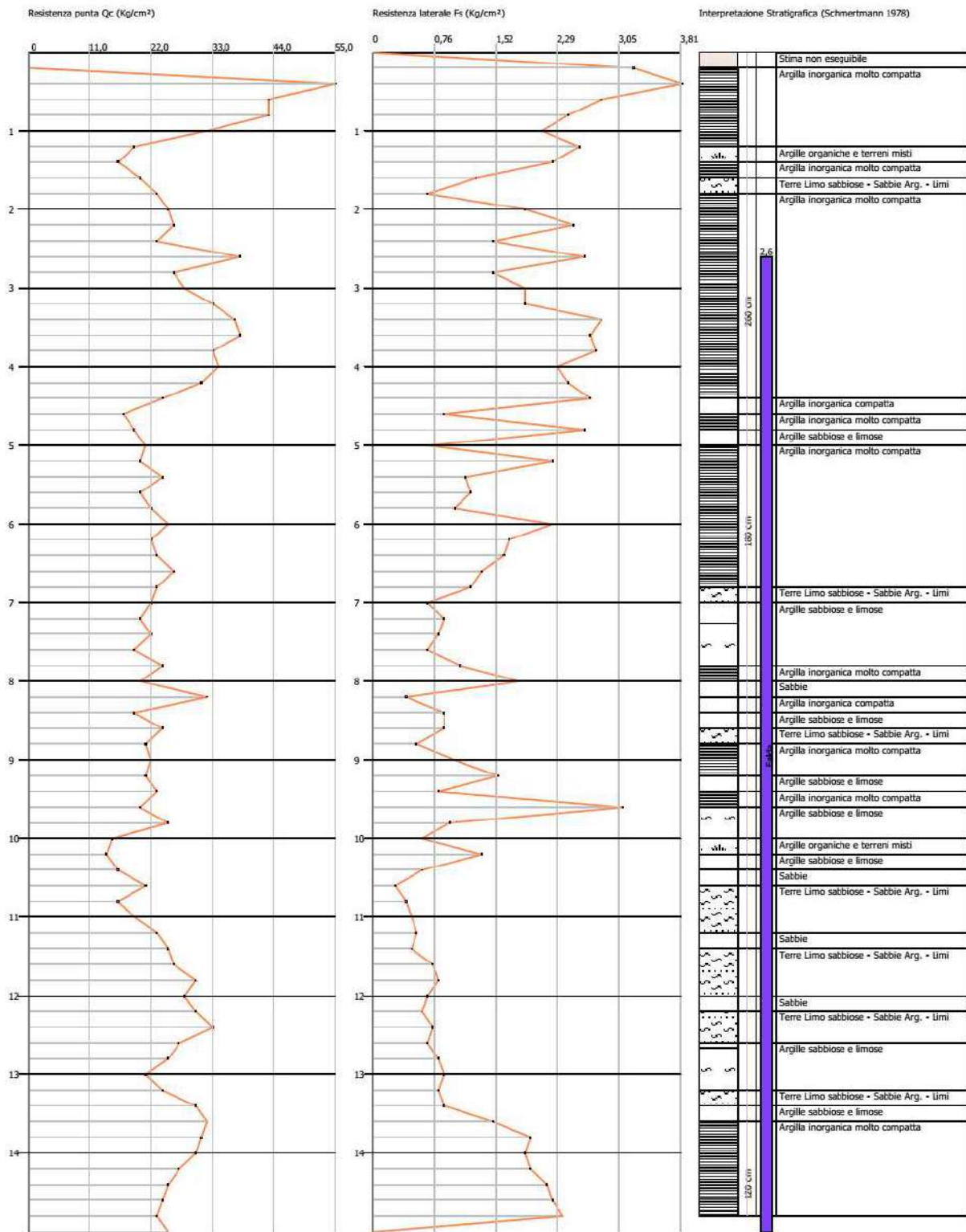
Data: 26/08/2016



Probe CPT - Cone Penetration Nr.2
Strumento utilizzato: GOUDA 100 kN

Committente: CAVIRO srl
Cantieri: v. Convertito
Località: Faenza

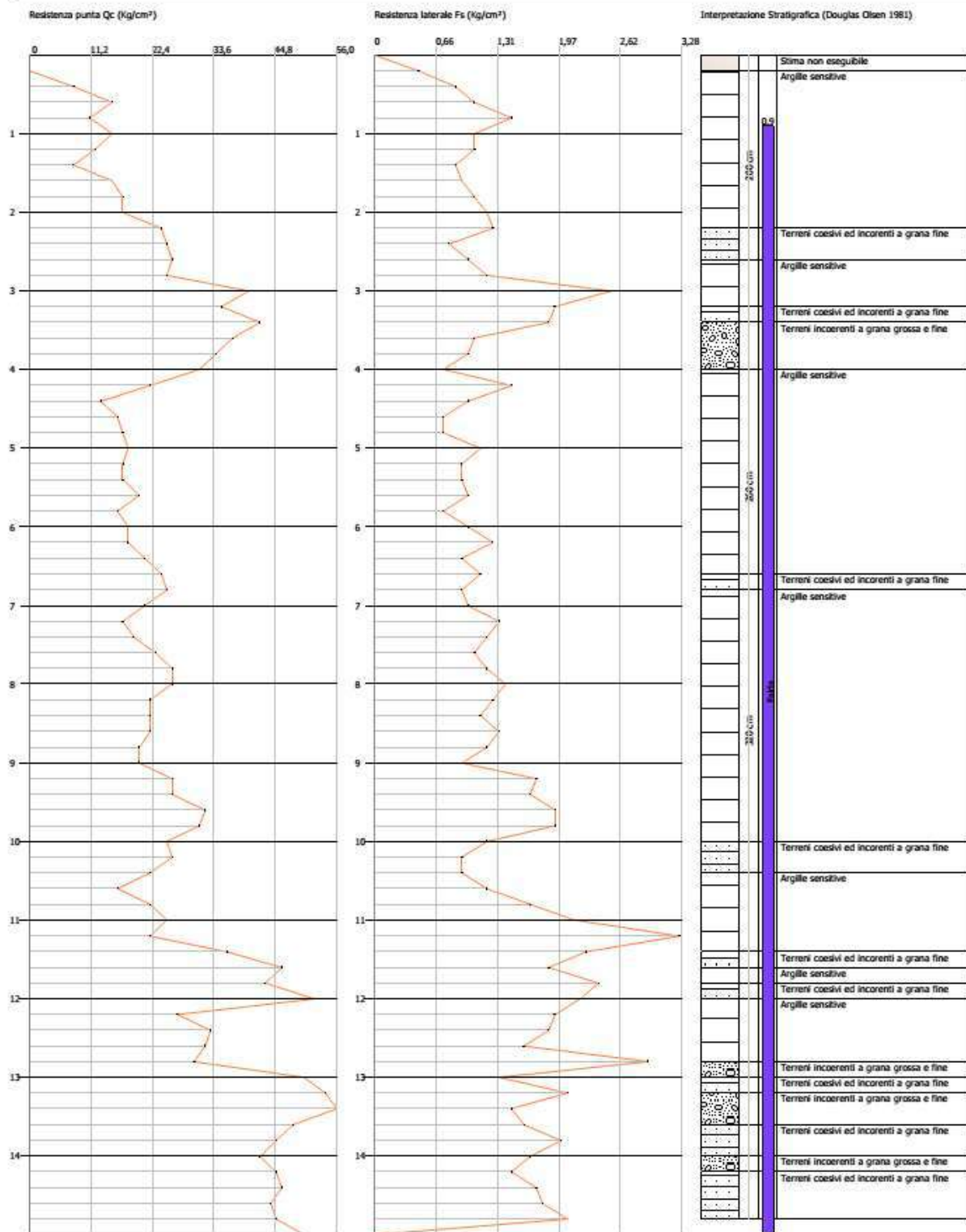
Data: 29/08/2016



Probe CPT - Cone Penetration Nr.A1
Strumento utilizzato GOUDA 100 kN

Committente: CAVIRO
Cantieri: park
Località: Faenza

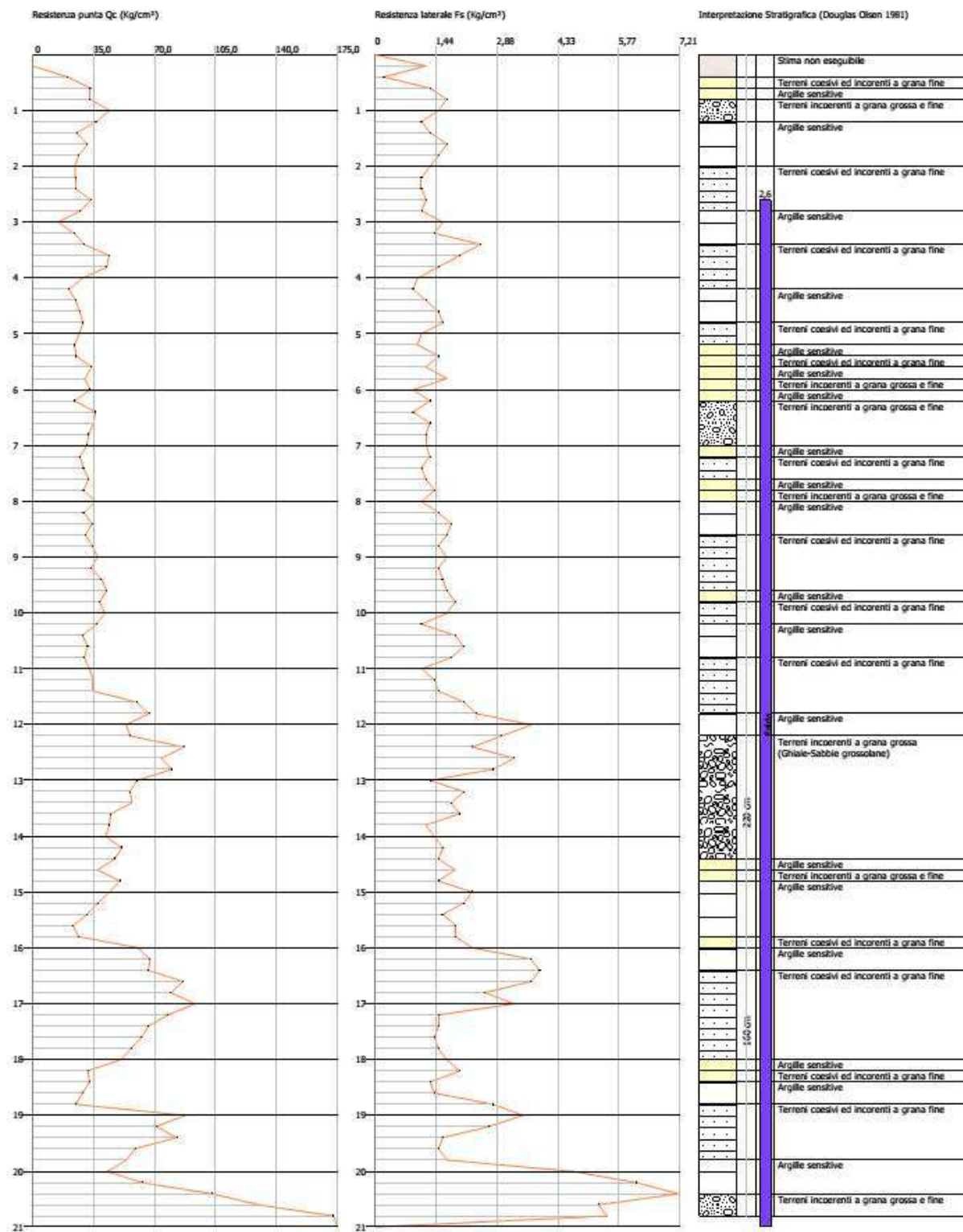
Data: 30/05/2015



Probe CPT - Cone Penetration Nr.A2
Strumento utilizzato GOUDA 100 kN

Committente: CAVIRO
Cantieri: park
Località: Faenza

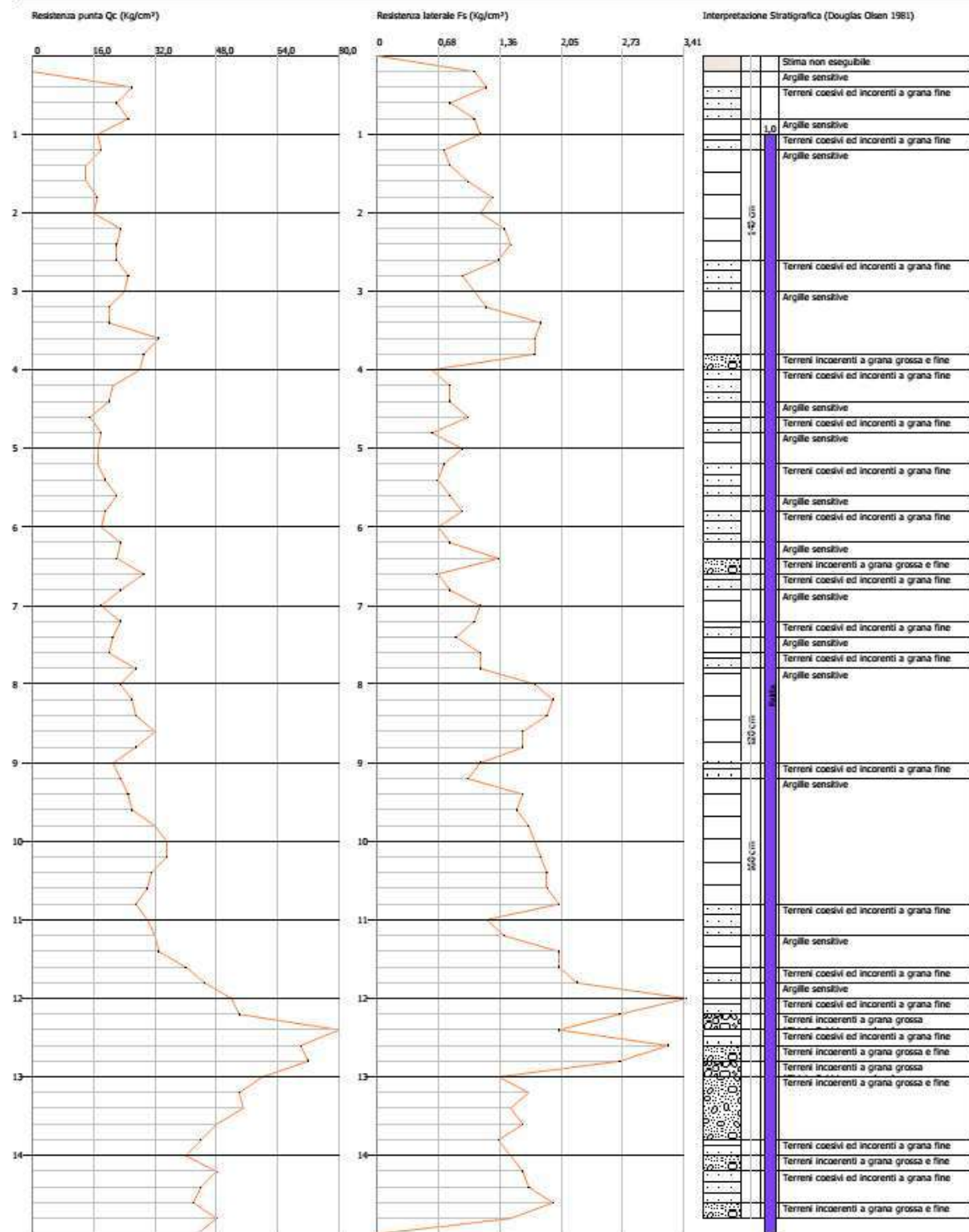
Data: 17/10/2013



Probe CPT - Cone Penetration Nr.3
Strumento utilizzato GOUDA 100 kN

Committente: CAVIRO
Cantieri: park
Località: Faenza

Data: 30/05/2015



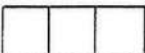
Pozzi realizzati all'interno della CAVIRO DISTILLERIE

MERIDONE - EMILIA-ROMAGNA

16720 PL

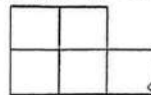
Scheda da ritornare al Genio Civile

Pratica N° 8 4 2 5



COMPRENSORIO

COMUNE-Istat



P2

CAVIRO 2
EX CALPO 1

-Ditta C.A.L.P.O. - Soc. Coop. a r.l.
residente a Barbiano di Cotignola in via Corriera nr. 5
-Pozzo ad uso industriale in Comune di Faenza
Frazione . Località CANTRIGO Mapp.N° 21 / Fg. 83
-Data di ultimazione della perforazione: Settembre 1972
-Ditta perforatrice: GUBERTI ALVARO - RUSSI

CARATTERISTICHE DEL POZZO	
*avanzopizzo (si o no)	<u>NO</u>
*diametro interno tubi mm.	<u>216/229</u>
*profondità mt.	<u>254,18</u>

EQUIPAGGIAMENTO	
*tipo della pompa	<u>FL 10116</u>
*potenza Cv	<u>40</u>
kW	<u>.</u>
*prevalenza mt.	<u>82</u>
*portata lt/sec.	<u>20</u>

-Livello statico mt. 40
-Portata pozzo:lt/sec. 10
-Superficie irrigata:
ha. . are . ca. .
-Consumo giornaliero (24 ore):
metri cubi 240

La Ditta sottoscritta afferma, sotto la propria responsabilità, che la presente dichiarazione è completa e veritiera.

Data 23 GEN 1980
Firma Soc. Coop. C.A.L.P.O.
Barbiano di Cotignola (Ra)
48010

STRATIGRAFIA DEL TERRENO		Falda capitata
Indicare la natura dei terreni e le FALDE ACQUIFERE attraversati		
-da mt. <u>0</u>	a mt. <u>9,80</u>	
terriccio misto scuro sciolto		
-da mt. <u>9,80</u>	a mt. <u>14,30</u>	
sabbia mista a ghiaia scura		
-da mt. <u>14,30</u>	a mt. <u>82,72</u>	
argilla sciolta color nocciola		
-da mt. <u>82,72</u>	a mt. <u>90,00</u>	
ghiaia mista a sabbia scura		
-da mt. <u>90,00</u>	a mt. <u>120,00</u>	
argilla color cenere dura		
-da mt. <u>120,00</u>	a mt. <u>238,18</u>	
argilla dura color blue		
-da mt. <u>238,18</u>	a mt. <u>254,18</u>	Filtro
sabbia mista a ghiaia grigia		ml 14,13
acquifera		
-da mt. <u>254,18</u>	a mt. <u>.</u>	

Localizzazione del pozzo					
Long.			Lat.		Ha.
Quota piano campagna:m.s.l.m.					

ANNOTAZIONI:

R.B. : Qualora la Ditta sia in possesso di referti di analisi dell'acqua del pozzo, rilasciati da Laboratori o Gabinetti, è invitata ad allegarne copia.

LEGENDA LITOLOGICA (2007)

	ARGILLA
	SABBIA
	GHIAIA
	CONGLOMERATO
	CALCARE

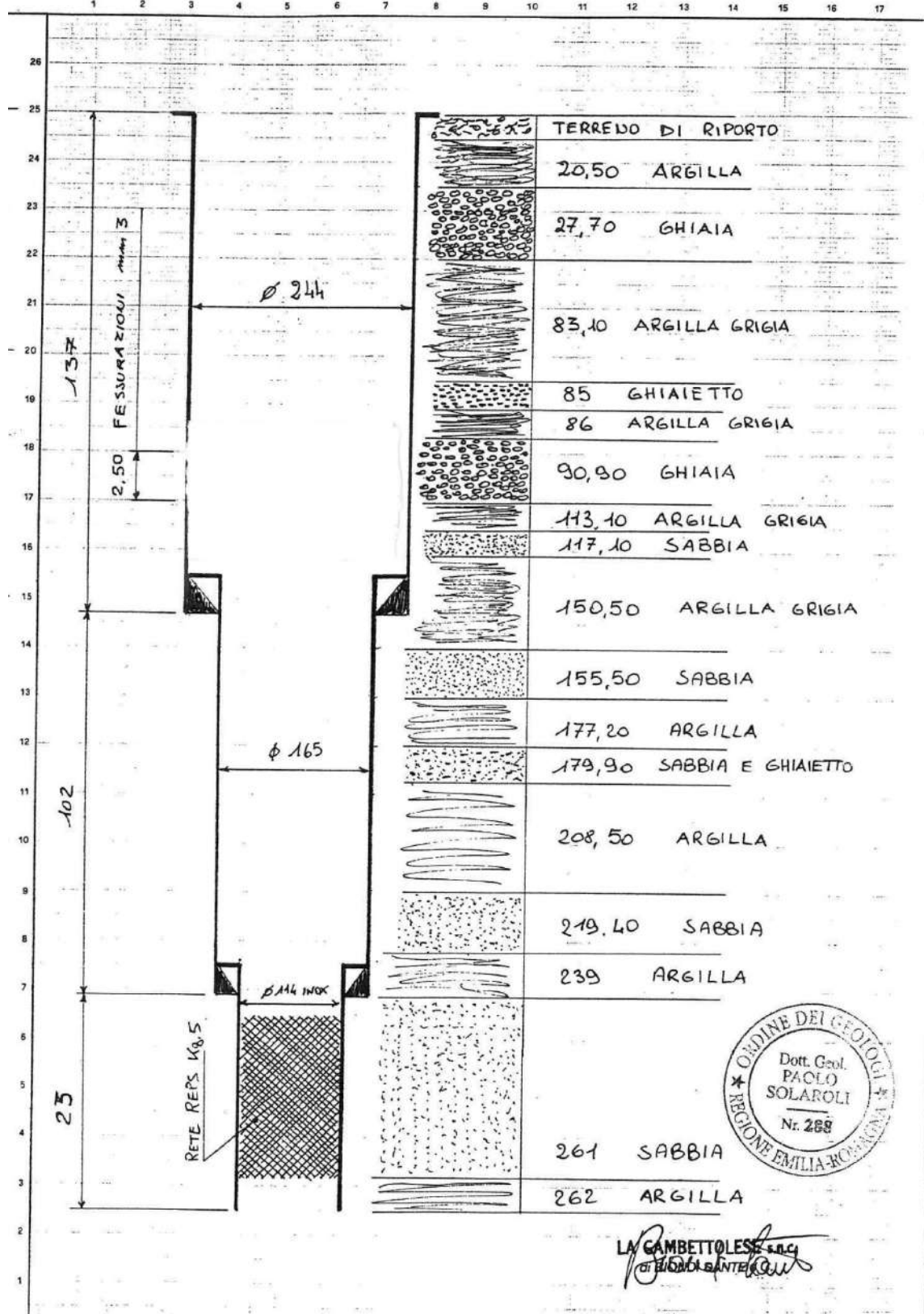
TUBAGGIO

DA m.	A m.	Ø TUBO mm.
0.00	130.50	300 Filettato
114.00	272.00	219 Filettato

FILTRE

STRATIGRAFIA		POZZO
	1.5 ↓ Riporto Arg. Sabbiose	
	21.40	
	CHIAIE GROSSE	
	26.40 ↓ SABBIE e 35.20 GHIAIE G.	
	Arg. Sabbiose	
	84.50	
	GHIAIETTI e 95.60	
	SABBIE G.	
	Argille Grigie	
	130.90	
	137.50 ↓ SABBIE G. e CONGLOMERATI	
	Argille Grigie	
	173.80	
	174.40 ↓ SABBIE ARG. Grigie	
	185.20 SABBIE G.	
	*191.30 Arg.G.	
	197.30 Conglomerati	
	203.80	
	Argille G.	
	221.20	
	SABRIA F.e	
	228.00 Argille	
	ARGILLE G.	
	244.20	
	SABBIE MEDIE	
	263.70	
	Argille Grigie	
	272.00	

diagramma STRATIGRAFIA POZZO ADRIANO GIUGNO 1997
periodo



SCHEDA CATASTO POZZI 02500845

COM.
25Comune
F.10 N. progress.
01116

6.0.0 IDENTIFICAZIONE

N. pratica
precedentePRATICA N. 25 01132603
(compr.) n. progressivo n. pozzo

6.3.0

Ditta perforatrice

GUBERTI A

39 cod. 0001

data
perf.

Ditta C.A.L.P.O. (Coop. Assoilate Lavori e Progetti Oltrefrontali) cognome e nome

residente a FAENZA POTIGMOCA BARBIANO

via CONVERTE 1272 COSENZA RA 5 tel. 0565-78097-78100

Ditta (1) C.A.VI.RO - cognome e nome

residente a FAENZA

via CONVERTE 12/1 tel.

(1) Variazione; (2) Data della prima e seconda variazione della Ditta.

6.1.0 LOCALIZZAZIONE DEL POZZO E DATI RIASSUNTI

Comune FAENZA 39010 frazione o località

Via CONVERTE n. 12/2 podere

LOCALIZZAZIONE		Quota del piano di campagna m.s.m.	PROFONDITA' max	POTENZA POMPA kW	C	PORTATA l/sec.
longitudine	latitudine	ha	m mm	m	(1)	
41°59'18.0" E	00°00'02" N		81-6	2500	073	
				306,0	29,4	

(1) Contatore SI - 1; NO - 0.

I.G.M. scala 1:25.000 tavoletta

F.9.9 - IN E FAENZA

C.T.R. scala 1:5.000 foglio n.

elemento n.

Catasto scala 1:2.000 foglio n.

mappa n.

Bacino

6.2.0 SCHEDA E DATI DI RIFERIMENTO

Domanda
di autorizzazione
o rinnovo allo scarico

n. d'ordine	Comune	codice categoria I.S.T.A.T.	zona	Portata media l/sec.	consumo annuo mc.

Catasto scarichi

COMPR.

PRATICA N. 5

6.3.1 CARATTERISTICHE DEL POZZO

PROFONDITA'	NATURA LITOLOGICA	UMIDITA'	ATTRAV.
a metri	descrizione	colori	codice
00000	terriccio misto secco	110	asciutto 1
00001	argille color crema	110	umido 3
00002	sabbie e ghiaie rivolte	210	bagnato 5
00003	argille color crema	110	SI-1 NO-
00004	ghiaie e sabbie	310	
00005	argille dure color blu	110	
00006	sabbie grigie depurifere	220	
00007			
00008			
00009			
00010			
00011			
00012			
00013			
00014			
00015			
00016			
00017			
00018			
00019			
00020			
00021			
00022			
00023			
00024			
00025			
00026			
00027			
00028			
00029			
00030			
00031			
00032			
00033			
00034			
00035			
00036			
00037			
00038			
00039			
00040			
00041			
00042			
00043			
00044			
00045			
00046			
00047			
00048			
00049			
00050			
00051			
00052			
00053			
00054			
00055			
00056			
00057			
00058			
00059			
00060			
00061			
00062			
00063			
00064			
00065			
00066			
00067			
00068			
00069			
00070			
00071			
00072			
00073			
00074			
00075			
00076			
00077			
00078			
00079			
00080			
00081			
00082			
00083			
00084			
00085			
00086			
00087			
00088			
00089			
00090			
00091			
00092			
00093			
00094			
00095			
00096			
00097			
00098			
00099			
00100			
00101			
00102			
00103			
00104			
00105			
00106			
00107			
00108			
00109			
00110			
00111			
00112			
00113			
00114			
00115			
00116			
00117			
00118			
00119			
00120			
00121			
00122			
00123			
00124			
00125			
00126			
00127			
00128			
00129			
00130			
00131			
00132			
00133			
00134			
00135			
00136			
00137			
00138			
00139			
00140			
00141			
00142			
00143			
00144			
00145			
00146			
00147			
00148			
00149			
00150			
00151			
00152			
00153			
00154			
00155			
00156			
00157			
00158			
00159			
00160			
00161			
00162			
00163			
00164			
00165			
00166			
00167			
00168			
00169			
00170			
00171			
00172			
00173			
00174			
00175			
00176			
00177			
00178			
00179			
00180			
00181			
00182			
00183			
00184			
00185			
00186			
00187			
00188			
00189			
00190			
00191			
00192			
00193			
00194			
00195			
00196			
00197			
00198			
00199			
00200			
00201			
00202			
00203			
00204			
00205			
00206			
00207			
00208			
00209			
00210			
00211			
00212			
00213			
00214			
00215			
00216			
00217			
00218			
00219			
00220			
00221			
00222			
00223			
00224			
00225			
00226			
00227			
00228			
00229			
00230			
00231			
00232			
00233			
00234			
00235			
00236			
00237			
00238			
00239			
00240			
00241			
00242			
00243			
00244			
00245			
00246			
00247			
00248			
00249			
00250			
00251			
00252			
00253			
00254			
00255			
00256			
00257			
00258			
00259			
00260			
00261			
00262			
00263			
00264			
00265			
00266			
00267			
00268			
00269			
00270			
00271			
00272			
00273			
00274			
00275			
00276			
00277			
00278			
00279			
00280			
00281			
00282			
00283			
00284			
00285			
00286			
00287			
00288			
00289			
00290			
00291			
00292			
00293			
00294			
00295			
00296			
00297			
00298			
00299			
00300			
00301			
00302			
00303			
00304			
00305			
00306			
00307			
00308			
00309			
00310			
00311			
00312			
00313			
00314			
00315			
00316			
00317			
00318			
0031			

P615A

I REGIONE EMILIA-ROMAGNA - ASSESSORATO AMBIENTE E DIFESA DEL SUOLO
I UFFICIO INFORMATIVO AMBIENTALE - A.R.C.E.L.

FASE ANB35 PAG. 362. 1 I

I RISTRICA DEI POZZI CENSITI AL 8/1/92

PER PROVINCIA/COMUNE

I PROVINCIA DI RAVENNA COMUNE 39010 FAENZA

PRESIDIO M.P. DI RAVENNA

I CODICE	DESCRIZIONE STABILIMENTO	INDIRIZZO	FRAZIONE	COMUNE	CODICE FISCALE	CCIA	ISTAT
I 02600345	CAVIRO SOC. COOP. ARL	VIA CONVERTITE 12		39010	00085350395	061368	004241

I CODICE	INDIRIZZO	FRAZIONE	COORDINATE	CODICE	PRATICA
I	I	I	LONG. LAT. HA	COMUNE	PREC. NUMERO
I 25710G123	VIA CONVERTITE 12		458 180 03	39010	000 7242
I ISTAT = 004241	PRODUZIONE DI ALCOOL ETILICO				
I DITTA PERF. = 40002 GUBERTI					
I QUOTA (M.) = 0,0	DIAMETRO (MM.) = 219	PROFOND. (M.) = 271,0	POTENZA DICHI. (KW.) = 29,0	CONTAT. = SI	PORTATA (L/SEC) = 101
I TAV. ISM SCAL. CTR ELEM. CTR	CATASTO . MAPPAL	BACINO			
I 00000000 000	0000000 003	000022	9999999999	BACINO DA DEFINIRE	AVAMPOZZO
I SI					

I POMPA = 1 ELETTROPOMPA SOMMERSA	POTENZA TEOR.(KW.)	PREVAL.(M.)	PORTATA TEOR.(L/SEC)	DIAMET.TUBO (MM.)
I	30,0	82	20	120

I DATA SCOPRAL.	I DATA CAMPAGNA	CONTROLLO	ATTIVITA'	MOTIVO	DATA CESSAZIONE
I / /	I / /	I 0 *****	I ATTIVO	I	I / /

I POZZO N.3 SOLO PER LA DITTA CAVIRO

I USO	I USO PRINCIPALE	I USO DETTAGLIATO	SPECIFICHE	QUANTITA'
I	I 4 USO AGRICOLO IMP. TRASF.	I 4270000 FRIGORIFERO	I PRO.LAV.MIGLIAIA Q/A	I 0

I GIORNI/ANNO = 92 ORE/GIORNO = 3 CONSUMO/ANNO (MC) = 19870

I AMMINISTRATIVO

I PRATICA 0000000	RICERCA	DATA DOM. NUMERO PORTATA (L/SEC)	DATA SOPPAL.	DATA AUTORIZ.	NUM.AUTORIZ.
I	I	I 47 3774 00834	I 0	I 17/10/74	I 2019

I CONCESSIONE	DATA DOM. NUMERO PORTATA (L/SEC)	DATA DECRETO	NUM.DECRETO	ANNI	DATA SCADENZA	PORT. AUTOR.(L/SEC)	CANONE I
I	I / / 00000	I / /	I 00000	I /	I /	I 0	I 0

I RINNOVO	I / / 00000	I 0	I / /	I 00000	I /	I 0	I 0
-----------	-------------	-----	-------	---------	-----	-----	-----

I NATURA LITOLOGICA

I PROFONDITA' (M.)	COD. LITOLOGICO	FALDA	FINESTRATURA
I 5,0	I 2 110 ARGILLA LIMI E TERRA ARGILLA VARI COLORI	I NO	I NO
I 11,0	I 4,4 320 SABBIA GROSSA E SABBIA FINE	I NO	I NO
I 17,0	I 7,0 110 ARGILLA LIMI E TERRA ARGILLA VARI COLORI	I NO	I NO
I 21,0	I 21,6 440 GHIAIA CIOTTOLI	I NO	I NO
I 27,0	I 18,4 110 ARGILLA LIMI E TERRA ARGILLA VARI COLORI	I NO	I NO
I	I 8,0 110 ARGILLA LIMI E TERRA ARGILLA VARI COLORI	I NO	I NO

I REGIONE EMILIA-ROMAGNA - ASSESSORATO AMBIENTALE E DIFESA DEL SUOLO
I UFFICIO INFORMATIVO AMBIENTALE - A.R.C.E.L.

FASE AM335 PAG. 362. 2 I

I RUPRICA DEI POZZI CENSITI AL 31/12/92 PER PROVINCIA/COMUNE I

I PROVINCIA DI RAVENNA COMUNE 39010 FAENZA PRESIDIO M.P. DI RAVENNA I

I CODICE DESCRIZIONE STABILIMENTO INDIRIZZO FRAZIONE COMUNE CODICE FISCALE CCIAA ISTAT I
I 02500345 CAVICO SOC. COOP.APL VIA CONVERTITE 12 39010 00085350395 061368 004241 I

I NATURA LITOLOGICA I

I PROFONDITA' (m.)	I COD. LITOLOGICO	I FALDA	I FINESTRATURA	
I 226,0	I 912	I 220 SABBIA O SABBIA FINE	I NO	I NO
I 245,0	I 98	I 115 ARGILLA LIMI E TERRA ARGILLA VARI COLORI	I NO	I NO
I 261,0	I 104,1	I 220 SABBIA O SABBIA FINE	I NO	I NO

I NOTE I

I 1 PER USO AGRICOLO, IMPIANTO DI TRASFORMAZIONE, PRODUZIONE A VAPORE, RAFFREDDAMENTO I

I 2 IMPIANTI PER ULTERIORI DATI VS. RIFERIMENTO: PRATICA N.77 DEL 1987. I

I 3 SOSTITUITO CON AUTORIZZAZIONE N.4603 DEL 24/05/91 E RIPEERFORATO IN DATA 20/3/91 I

P61SB

stratigrafia = P631

I REGIONE EMILIA-ROMAGNA - ASSESSORATO AMBIENTE E DIFESA DEL SUOLO
I UFFICIO INFORMATIVO AMBIENTALE - A.R.C.E.L.
I FASE AM335 PAG. 350. 1 I

I RISTRUTTURA DEI POZZI CENSITI AL 31/12/92 PER PROVINCIA/COMUNE I

I PROVINCIA DI RAVENNA COMUNE 39010 FAENZA PRESIDIO M.P. DI RAVENNA I

I CODICE DESCRIZIONE STABILIMENTO I INDIRIZZO I FRAZIONE I COMUNE CODICE FISCALE CCIA ISTAT I
I 02500345 CAVIRO SOC. COOP.ARL VIA CONVERTITE 12 39010 00085350395 061368 004241 I

I CODICE INDIRIZZO I FRAZIONE I COORDINATE I CODICE PRATICA I
I LONG. LAT. HA COMUNE PREC. NUMERO I
I 257100C90 VIA CONVERTITE 14 458 180 03 39010 000 7243 I
I ISTAT = 004241 PRODUZIONE DI ALCOOL ETILICO I
I DITTA PERF. = 40002 GUBERTI DATA PERF. = 5/77 I
I QUOTA (m.) = 0,0 DIAMETRO (MM.) = 219 PROFOND. (M.) = 272,0 POTENZA DICHI. (KW.) = 29,4 CONNTAT. = SI PORTATA (L/SEC) = 101 I
I TAV.13M SCALA=CTR ELEM.CTR CATASTO MAPPALE BACINO AVAMPOZZO I
I 0000000 000 000000 023 000022 999999999 BACINO DA DEFINIRE SI I
I POMPA = 1 ELETTROPOMPA SOMMERSA POTENZA TEOR.(KW.) PREVAL.(M.) PORTATA TEOR.(L/SEC) DIAMET.TUBO (MM.) I
I 30,0 82 20 120 I
I DATA SOPRAL. DATA CAMPAGNA CONTROLLO ATTIVITA' MOTIVO DATA CESSAZIONE I
I / / / / 0 ***** 0 ATTIVO / / I
I POZZO N.4 SOLO PER LA DITTA CAVIRO I
I USC I USO PRINCIPALE I USO DETTAGLIATO I SPECIFICHE I QUANTITA' I
I 4 USO AGRICOLO IMP. TRASF. 4270000 FRIGORIFERO PRO.LAV.MIGLIAIA Q/A 0 I
I GIORNI/ANNO = 0 ORE/GIORNO = 0 CONSUMO/ANNO (MC) = 0 I
I AMMINISTRATIVO I
I PRATICA 0072505 I
I RICERCA DATA DOM. NUMERO PORTATA (L/SEC) DATA SOPRAL. DATA AUTORIZ. NUM.AUTORIZ. I
I 8/7/70 07382 0 / / 22/9/70 8426 I
I CONCESSIONE DATA DOM. NUMERO PORTATA (L/SEC) DATA DECRETO NUM.DECRETO ANNI DATA SCADENZA PORT. AUTOR.(L/SEC) CANCNEI I
I / / 00000 0 / / 00000 / 0 0 I
I RINNOVO / / 00000 0 / / 00000 / 0 0 I
I NATURA LITOLOGICA I
I PROFONDITA' (M.) COD. LITOLOGICO FALDA FINESTRATURA I
I 0,1 329 110 ARGILLA LIMI E TERRA ARGILLA VARI COLORI NO NO I
I 34,9 3396 110 ARGILLA LIMI E TERRA ARGILLA VARI COLORI NO NO I
I 91,3 2222 340 SABBIA GROSSA E GHIAIA NO NO I
I 184,7 1588 110 ARGILLA LIMI E TERRA ARGILLA VARI COLORI NO NO I
I 190,8 1622 340 SABBIA GROSSA E GHIAIA NO NO I

RESOVA EMILIA ROMAGNA

ASSESSORATO AMBIENTE E DIFESA DEL SUOLO
UFFICIO INFORMATIVO AMBIENTALE - A.R.C.E.L.

FASE AMB35

PAG. 360. 2

RUBRICA DEI POZZI CENSITI AL 31/12/92

PER PROVINCIA/COMUNE

PROVINCIA DI RAVENNA

COMUNE 39010 FAENZA

PRESIDIO M.P. DI RAVENNA

CODICE DESCRIZIONE STABILIMENTO

02500745 CAVIPO SOC. COOP. ARL

INDIRIZZO

VIA CONVERTITE 12

FRAZIONE

COMUNE CODICE FISCALE CCIAA ISTAT
39010 00085350395 061363 004241

NATURA LITOLOGICA

PROFONDITA' (M.) COD. LITOLOGICO

290,0 1632 110 ARGILLA LIMI E TERRA ARGILLA VARI COLORI

306,0 122,61 330 SABBIA GROSSA

FALDA FINESTRATURA

NO NO

NO NO

NOTE

1 PER USO AGRICOLO IMPIANTO DI TRASFORMAZIONE PRODUZIONE VAPORE, RAFFREDDAMENTO

2 IMPIANTI, PER ULTERIORI DATI VEDI VS. RIFERIMENTO PRATICA N.114 DEL 1987

3 POZZO SOSTITUITO CON AUTORIZZAZIONE N.4603 DEL 24/05/91 E RIPERFORATO IN DATA

4 22/03/91. ATTUALMENTE NON IN POSSESSO DI CONSUMI, PERCHE' INSABBIATO DA ANNI.

LIVELLO

DATA MISURAZIONE TIPO LIV. DISLIVELLO (M.) PORTATA SPER. (L/SEC.)

17/30 STATICO 20,00 0,00

P618 REGIONE EMILIA-ROMAGNA - ASSESSORATO AMBIENTE E DIFESA DEL SUOLO
 UFFICIO INFORMATIVO AMBIENTALE - A.R.C.E.L.
 RUSTICA DEI POZZI CENSITI AL 31/12/92
 PER PROVINCIA/COMUNE
 PROVINCIA DI RAVENNA COMUNE 39010 FAENZA PRESIDIO M.P. DI RAVENNA
 CODICE DESCRIZIONE STABILIMENTO ISTRUTTORE INDIRIZZO FRAZIONE COMUNE CODICE FISCALE CCIAA ISTAT
 02500345 CAVIRO SOC. COOP. ARL VIA CONVERTITE 12 39010 00085350395 061368 004241
 CODICE INDIRIZZO FRAZIONE COORDINATE PRATICA
 257100039 VIA CONVERTITE 14 LONG. LAT. HA COMUNE PREC. NUMERO
 ISTAT = 004241 PRODUZIONE DI ALCOOL ETILICO 458 179 25 39010 000 7241
 DITTA PERF. = 40032 GUBERTI DATA PERF. = 9/72
 QUOTA (M.) = 0,0 DIAMETRO (MM.) = 216 PROFOND. (M.) = 254,0 POTENZA DICHI. (KW.) = 29,0 CONTAT. = SI PORTATA (L/SEC) = 101
 TAV.IGM SCALA-CTR ELEM.CTR CATASTO MAPPALE BACINO AVAMPOZZO
 0000000 000 000000 023 000029 9999999999 BACINO DA DEFINIRE SI
 POMPA = 1 ELETTROPOMPA SOMMERSA POTENZA TEOR.(KW.) PREVAL.(M.) PORTATA TEOR.(L/SEC) DIAMET.TUBO (MM.)
 30,0 82 20 120
 DATA SOPRAL. DATA CAMPAGNA CONTROLLO ATTIVITA' MOTIVO DATA CESSAZIONE
 / / 0 ***** 0 ATTIVO / /
 POZZO N.2 SOLO PER LA DITTA CAVIRO
 USC SPECIFICHE QUANTITA'
 USO PRINCIPALE USC DETTAGLIATO PROC.LAV.MIGLIAIA Q/A
 4 USO AGRICOLO IMP. TRASF. 4270000 FRIGORIFERO 0
 GIORNI/ANNO = 121 ORE/GIORNO = 4 CONSUMO/ANNO (L) = 34940
 AMMINISTRATIVO
 PRATICA 0000601 RICERCA DATA DOM. NUMERO PORTATA (L/SEC) DATA SOPRAL. DATA AUTORIZ. NUM.AUTORIZ.
 31/7/70 07331 0 7/7 22/9/70 3425
 CONCESSIONE DATA DOM. NUMERO PORTATA (L/SEC) DATA DECRETO NUM.DECRETO ANNI DATA SCADENZA PORT. AUTOR.(L/SEC) CANONE
 7/7 00000 0 00000 / 0 0
 RINNOVO 7/7 00000 0 00000 / 0 0
 NATURA LITOLOGICA
 PROFONDITA' (M.) COD. LITOLOGICO FALDA FINESTRATURA
 10,0 4 110 ARGILLA LIMI E TERRA ARGILLA VARI COLORI NO NO
 14,0 5,6 220 SABBIA E GHIAIA NO NO
 33,0 332 110 ARGILLA LIMI E TERRA ARGILLA VARI COLORI NO NO
 30,0 36 420 GHIAIA E SABBIA FINE NO NO
 120,0 48 110 ARGILLA LIMI E TERRA ARGILLA VARI COLORI NO NO

FAENZA VIACONVERTITE12, CAVIRO T1

Strumento: TEN-0017/01-07

Formato dati: 16 byte

Fondo scala [mV]: n.a.

Inizio registrazione: 22/02/17 16:46:54 Fine registrazione: 22/02/17 17:10:15

Nomi canali: NORTH SOUTH; EAST WEST ; UP DOWN

Dato GPS non disponibile

Durata registrazione: 0h23'12".

Analizzato 78% tracciato (selezione manuale)

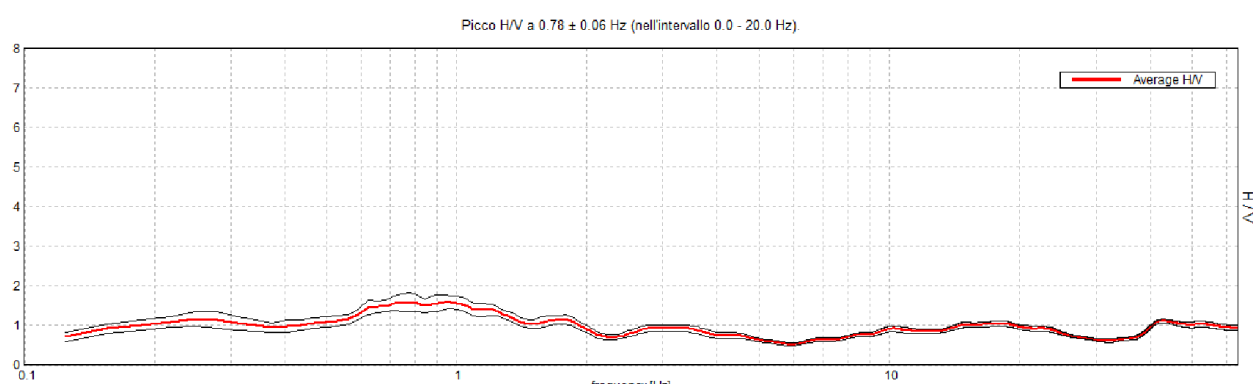
Freq. campionamento: 128 Hz

Lunghezza finestre: 20 s

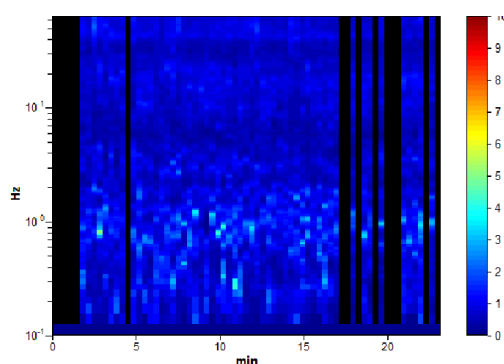
Tipo di lisciamento: Triangular window

Lisciamento: 10%

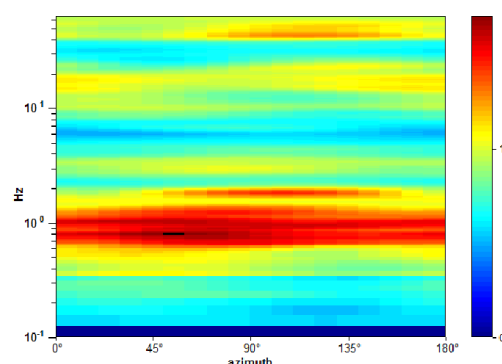
RAPPORTO SPETTRALE ORIZZONTALE SU VERTICALE



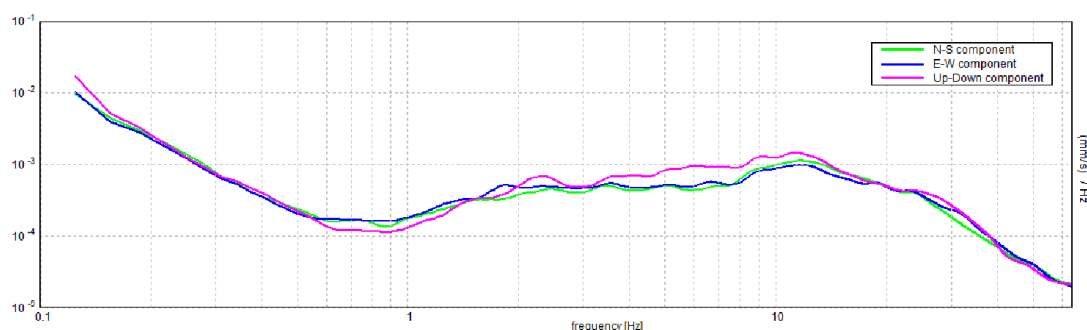
SERIE TEMPORALE H/V



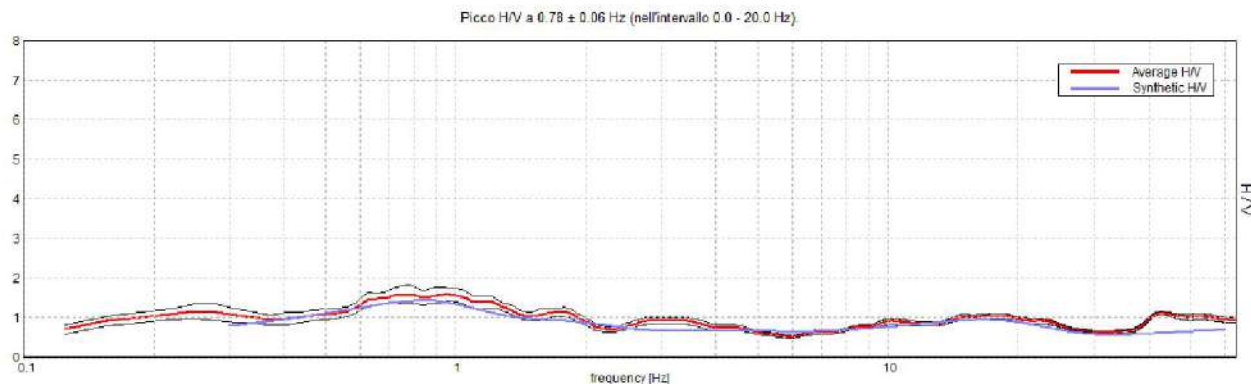
DIREZIONALITA' H/V



SPETTRI DELLE SINGOLE COMPONENTI

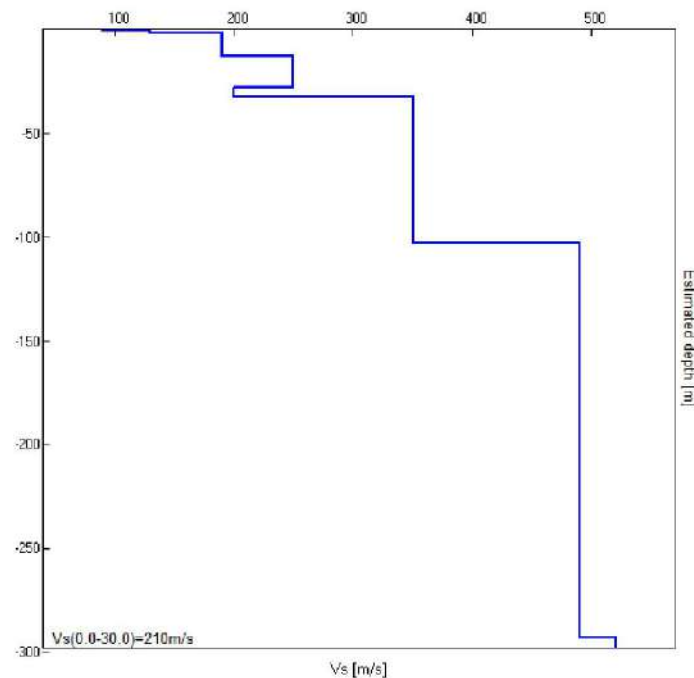


H/V Sperimentale vs. H/V Sintetico



Profondità alla base dello strato [m]	Spessore [m]	Vs [m/s]	Rapporto di Poisson
0.20	0.20	90	0.35
1.70	1.50	130	0.40
12.70	11.00	190	0.40
27.70	15.00	250	0.40
32.70	5.00	200	0.40
102.70	70.00	350	0.35
292.70	190.00	490	0.35
inf.	inf.	520	0.30

$Vs(0.0-30.0)=210$ m/s



[Secondo le linee guida SESAME, 2005. Si raccomanda di leggere attentamente il manuale di *Grilla* prima di interpretare la tabella seguente].

Picco H/V a 0.78 ± 0.06 Hz (nell'intervallo 0.0 - 20.0 Hz).

Criteri per una curva H/V affidabile

[Tutti 3 dovrebbero risultare soddisfatti]

$f_0 > 10 / L_w$	$0.78 > 0.50$	OK	
$n_c(f_0) > 200$	$843.8 > 200$	OK	
$\sigma_A(f) < 2$ per $0.5f_0 < f < 2f_0$ se $f_0 > 0.5\text{Hz}$ $\sigma_A(f) < 3$ per $0.5f_0 < f < 2f_0$ se $f_0 < 0.5\text{Hz}$	Superato 0 volte su 38	OK	

Criteri per un picco H/V chiaro

[Almeno 5 su 6 dovrebbero essere soddisfatti]

Esiste f^- in $[f_0/4, f_0]$ $A_{H/V}(f^-) < A_0 / 2$			NO
Esiste f^+ in $[f_0, 4f_0]$ $A_{H/V}(f^+) < A_0 / 2$	2.094 Hz	OK	
$A_0 > 2$	$1.59 > 2$		NO
$f_{picco}[A_{H/V}(f) \pm \sigma_A(f)] = f_0 \pm 5\%$	$ 0.07944 < 0.05$		NO
$\sigma_f < \varepsilon(f_0)$	$0.06206 < 0.11719$	OK	
$\sigma_A(f_0) < \theta(f_0)$	$0.2362 < 2.0$	OK	

L_w	lunghezza della finestra
n_w	numero di finestre usate nell'analisi
$n_c = L_w n_w f_0$	numero di cicli significativi
f	frequenza attuale
f_0	frequenza del picco H/V
σ_f	deviazione standard della frequenza del picco H/V
$\varepsilon(f_0)$	valore di soglia per la condizione di stabilità $\sigma_f < \varepsilon(f_0)$
A_0	ampiezza della curva H/V alla frequenza f_0
$A_{H/V}(f)$	ampiezza della curva H/V alla frequenza f
f^-	frequenza tra $f_0/4$ e f_0 alla quale $A_{H/V}(f^-) < A_0/2$
f^+	frequenza tra f_0 e $4f_0$ alla quale $A_{H/V}(f^+) < A_0/2$
$\sigma_A(f)$	deviazione standard di $A_{H/V}(f)$, $\sigma_A(f)$ è il fattore per il quale la curva $A_{H/V}(f)$ media deve essere moltiplicata o divisa
$\sigma_{logH/V}(f)$	deviazione standard della funzione log $A_{H/V}(f)$
$\theta(f_0)$	valore di soglia per la condizione di stabilità $\sigma_A(f) < \theta(f_0)$

Valori di soglia per σ_f e $\sigma_A(f_0)$

Intervallo di freq. [Hz]	< 0.2	0.2 – 0.5	0.5 – 1.0	1.0 – 2.0	> 2.0
$\varepsilon(f_0)$ [Hz]	$0.25 f_0$	$0.2 f_0$	$0.15 f_0$	$0.10 f_0$	$0.05 f_0$
$\theta(f_0)$ per $\sigma_A(f_0)$	3.0	2.5	2.0	1.78	1.58
$\log \theta(f_0)$ per $\sigma_{logH/V}(f_0)$	0.48	0.40	0.30	0.25	0.20

FAENZA VIACONVERTITE12, CAVIRO T2

Strumento: TEN-0017/01-07

Formato dati: 16 byte

Fondo scala [mV]: n.a.

Inizio registrazione: 22/02/17 17:16:37 Fine registrazione: 22/02/17 17:51:04

Nomi canali: NORTH SOUTH; EAST WEST ; UP DOWN

Dato GPS non disponibile

Durata registrazione: 0h34'24".

Analizzato 54% tracciato (selezione manuale)

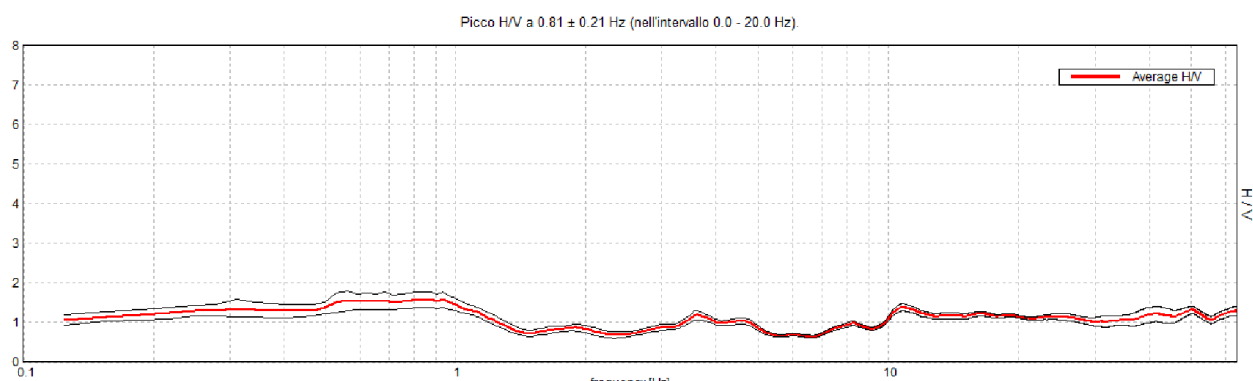
Freq. campionamento: 128 Hz

Lunghezza finestre: 20 s

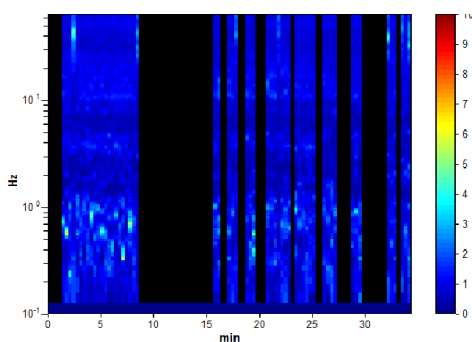
Tipo di lisciamento: Triangular window

Lisciamento: 10%

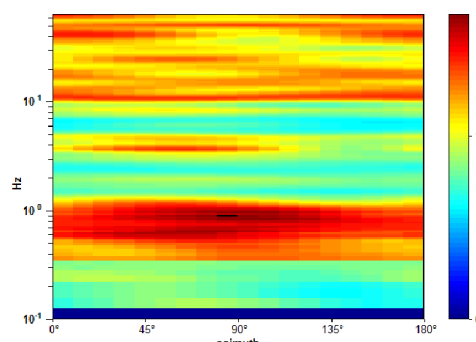
RAPPORTO SPETTRALE ORIZZONTALE SU VERTICALE



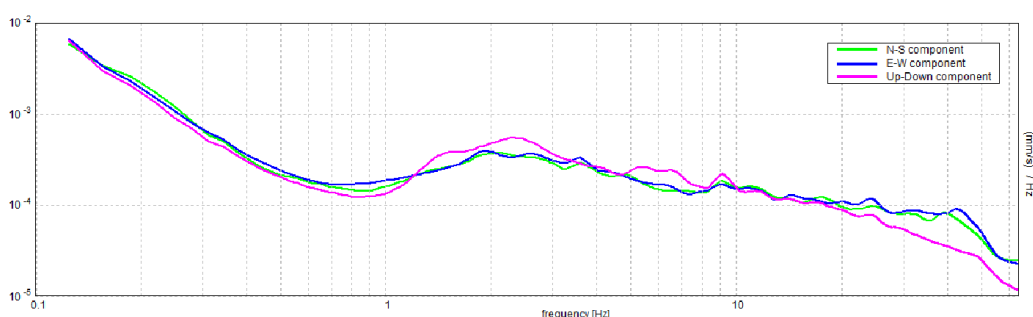
SERIE TEMPORALE H/V



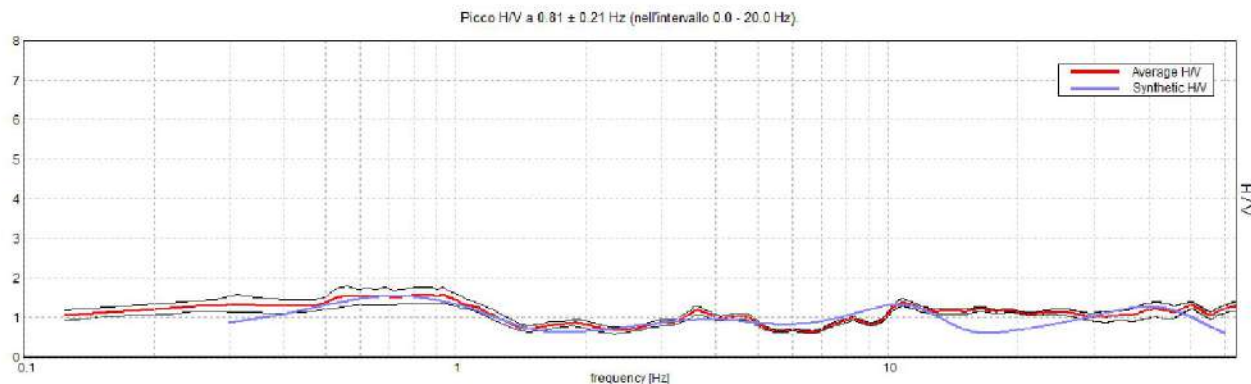
DIREZIONALITA' H/V



SPETTRI DELLE SINGOLE COMPONENTI

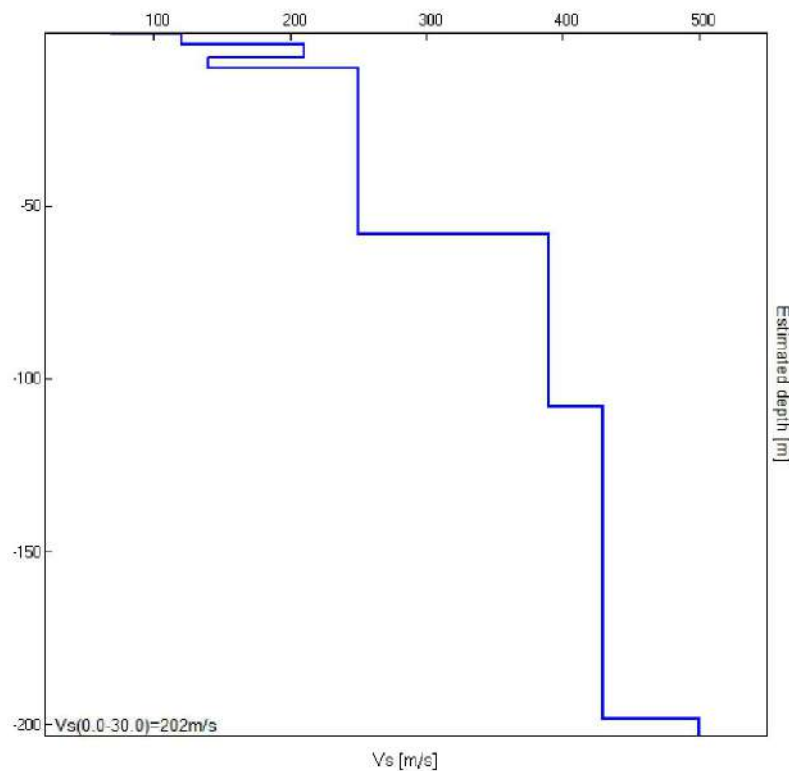


H/V Sperimentale vs. H/V Sintetico



Profondità alla base dello strato [m]	Spessore [m]	Vs [m/s]	Rapporto di Poisson
0.40	0.40	70	0.42
3.20	2.80	120	0.40
7.20	4.00	210	0.40
10.20	3.00	140	0.40
58.20	48.00	250	0.40
108.20	50.00	390	0.35
198.20	90.00	430	0.35
inf.	inf.	500	0.35

Vs(0.0-30.0)=202m/s



[Secondo le linee guida SESAME, 2005. Si raccomanda di leggere attentamente il manuale di *Grilla* prima di interpretare la tabella seguente].

Picco H/V a 0.81 ± 0.21 Hz (nell'intervallo 0.0 - 20.0 Hz).

Criteri per una curva H/V affidabile

[Tutti 3 dovrebbero risultare soddisfatti]

$f_0 > 10 / L_w$	$0.81 > 0.50$	OK	
$n_c(f_0) > 200$	$910.0 > 200$	OK	
$\sigma_A(f) < 2$ per $0.5f_0 < f < 2f_0$ se $f_0 > 0.5$ Hz $\sigma_A(f) < 3$ per $0.5f_0 < f < 2f_0$ se $f_0 < 0.5$ Hz	Superato 0 volte su 40	OK	

Criteri per un picco H/V chiaro

[Almeno 5 su 6 dovrebbero essere soddisfatti]

Esiste f^- in $[f_0/4, f_0]$ $A_{H/V}(f^-) < A_0 / 2$			NO
Esiste f^+ in $[f_0, 4f_0]$ $A_{H/V}(f^+) < A_0 / 2$	1.406 Hz	OK	
$A_0 > 2$	$1.58 > 2$		NO
$f_{picco}[A_{H/V}(f) \pm \sigma_A(f)] = f_0 \pm 5\%$	$ 0.25913 < 0.05$		NO
$\sigma_f < \varepsilon(f_0)$	$0.21054 < 0.12188$		NO
$\sigma_A(f_0) < \theta(f_0)$	$0.1949 < 2.0$	OK	

L_w	lunghezza della finestra
n_w	numero di finestre usate nell'analisi
$n_c = L_w n_w f_0$	numero di cicli significativi
f	frequenza attuale
f_0	frequenza del picco H/V
σ_f	deviazione standard della frequenza del picco H/V
$\varepsilon(f_0)$	valore di soglia per la condizione di stabilità $\sigma_f < \varepsilon(f_0)$
A_0	ampiezza della curva H/V alla frequenza f_0
$A_{H/V}(f)$	ampiezza della curva H/V alla frequenza f
f^-	frequenza tra $f_0/4$ e f_0 alla quale $A_{H/V}(f^-) < A_0/2$
f^+	frequenza tra f_0 e $4f_0$ alla quale $A_{H/V}(f^+) < A_0/2$
$\sigma_A(f)$	deviazione standard di $A_{H/V}(f)$, $\sigma_A(f)$ è il fattore per il quale la curva $A_{H/V}(f)$ media deve essere moltiplicata o divisa
$\sigma_{logH/V}(f)$	deviazione standard della funzione log $A_{H/V}(f)$
$\theta(f_0)$	valore di soglia per la condizione di stabilità $\sigma_A(f) < \theta(f_0)$

Valori di soglia per σ_f e $\sigma_A(f_0)$

Intervallo di freq. [Hz]	< 0.2	0.2 – 0.5	0.5 – 1.0	1.0 – 2.0	> 2.0
$\varepsilon(f_0)$ [Hz]	$0.25 f_0$	$0.2 f_0$	$0.15 f_0$	$0.10 f_0$	$0.05 f_0$
$\theta(f_0)$ per $\sigma_A(f_0)$	3.0	2.5	2.0	1.78	1.58
$\log \theta(f_0)$ per $\sigma_{logH/V}(f_0)$	0.48	0.40	0.30	0.25	0.20

FAENZA VIA CERCHIA, CEVICO T3

Strumento: TEN-0017/01-07

Formato dati: 16 byte

Fondo scala [mV]: n.a.

Inizio registrazione: 04/03/17 12:43:32 Fine registrazione: 04/03/17 13:03:33

Nomi canali: NORTH SOUTH; EAST WEST ; UP DOWN

Dato GPS non disponibile

Durata registrazione: 0h20'00".

Analizzato 43% tracciato (selezione manuale)

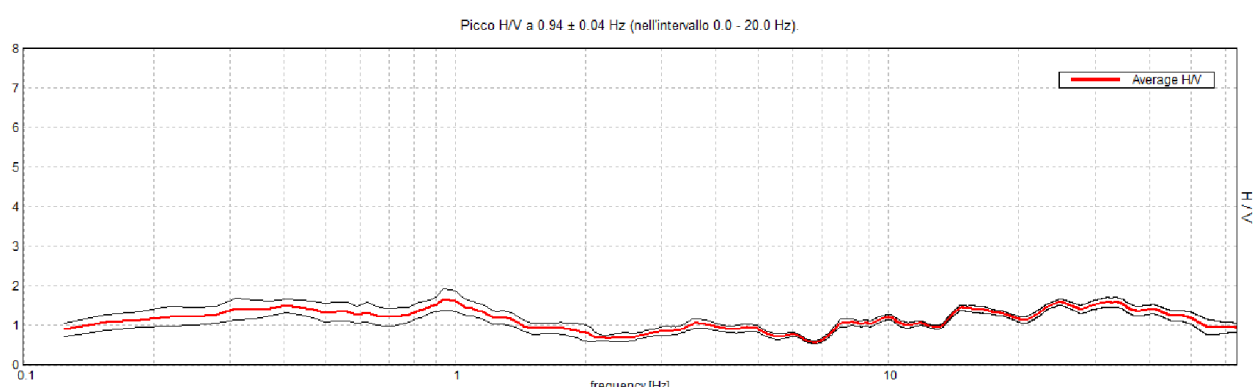
Freq. campionamento: 128 Hz

Lunghezza finestre: 20 s

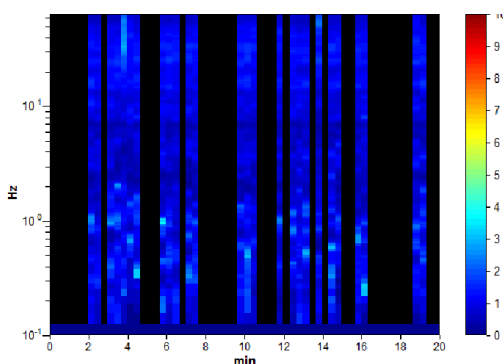
Tipo di lisciamento: Triangular window

Lisciamento: 10%

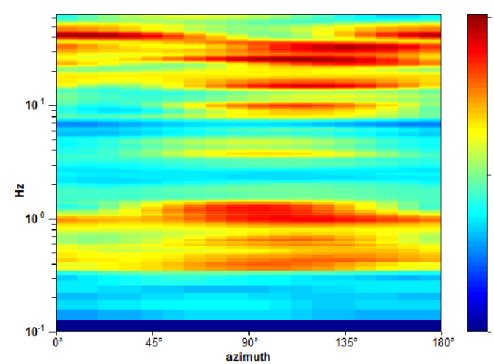
RAPPORTO SPETTRALE ORIZZONTALE SU VERTICALE



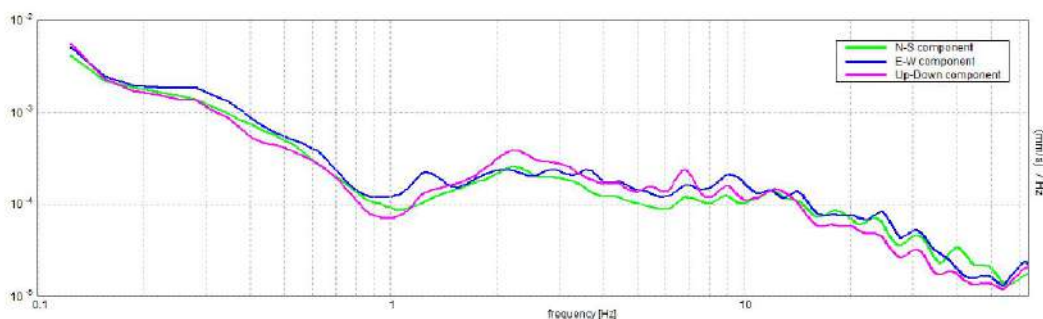
SERIE TEMPORALE H/V



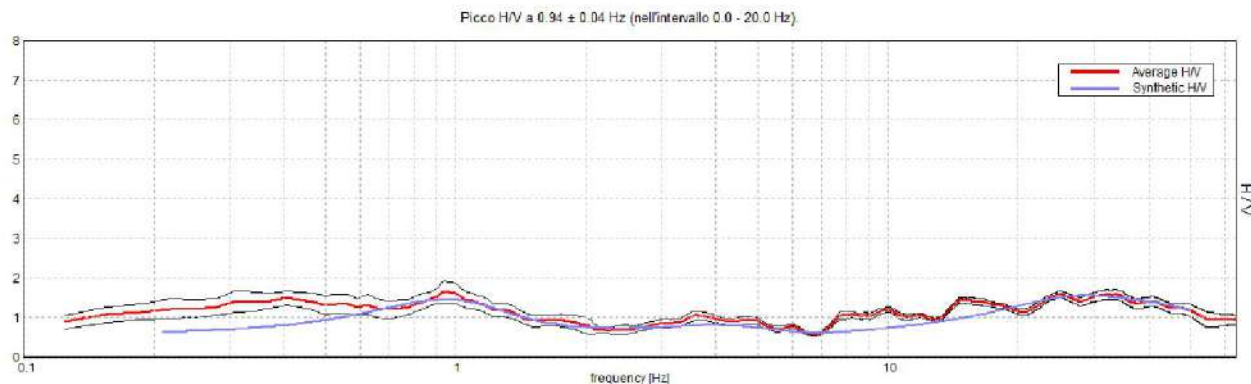
DIREZIONALITA' H/V



SPETTRI DELLE SINGOLE COMPONENTI



H/V Sperimentale vs. H/V Sintetico



**Profondità alla base
dello strato [m]**

0.40
1.40
11.40
46.40
101.40
inf.

Spessore [m]

0.40
1.00
10.00
35.00
55.00
inf.

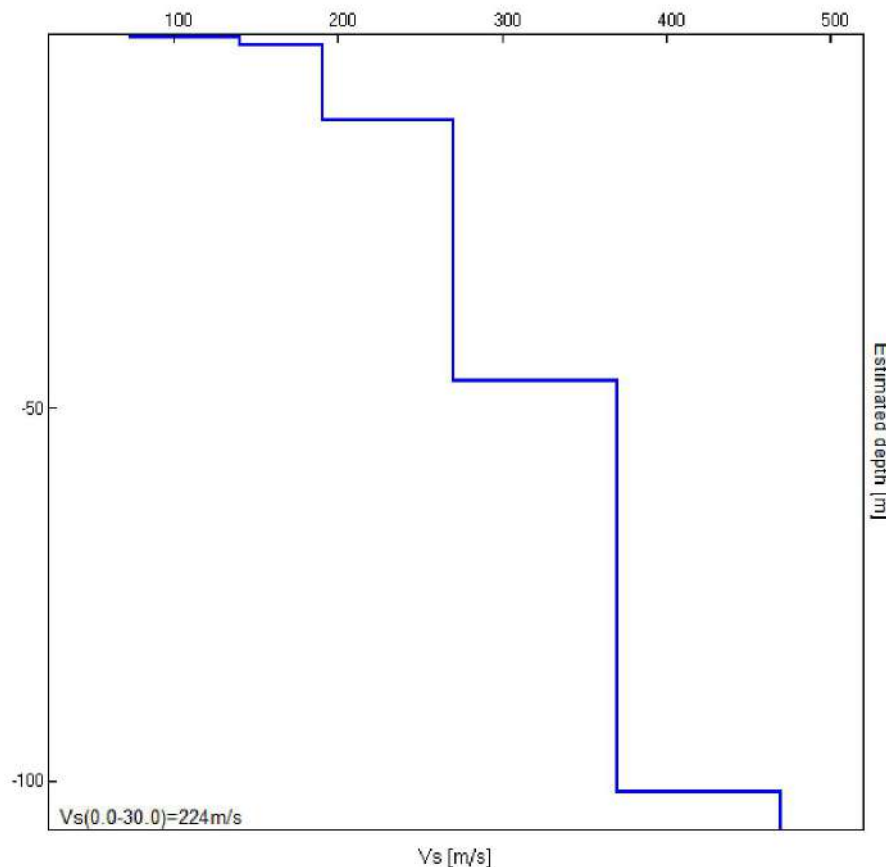
Vs [m/s]

73
140
190
270
370
470

Rapporto di Poisson

0.35
0.35
0.40
0.40
0.35
0.30

$Vs(0.0-30.0)=224\text{m/s}$



[Secondo le linee guida SESAME, 2005. Si raccomanda di leggere attentamente il manuale di *Grilla* prima di interpretare la tabella seguente].

Picco H/V a 0.94 ± 0.04 Hz (nell'intervallo 0.0 - 20.0 Hz).

Criteri per una curva H/V affidabile

[Tutti 3 dovrebbero risultare soddisfatti]

$f_0 > 10 / L_w$	$0.94 > 0.50$	OK	
$n_c(f_0) > 200$	$487.5 > 200$	OK	
$\sigma_A(f) < 2$ per $0.5f_0 < f < 2f_0$ se $f_0 > 0.5\text{Hz}$ $\sigma_A(f) < 3$ per $0.5f_0 < f < 2f_0$ se $f_0 < 0.5\text{Hz}$	Superato 0 volte su 46	OK	

Criteri per un picco H/V chiaro

[Almeno 5 su 6 dovrebbero essere soddisfatti]

Esiste f^- in $[f_0/4, f_0]$ $A_{H/V}(f^-) < A_0 / 2$			NO
Esiste f^+ in $[f_0, 4f_0]$ $A_{H/V}(f^+) < A_0 / 2$	2.0 Hz	OK	
$A_0 > 2$	$1.66 > 2$		NO
$f_{picco}[A_{H/V}(f) \pm \sigma_A(f)] = f_0 \pm 5\%$	$ 0.04336 < 0.05$	OK	
$\sigma_f < \varepsilon(f_0)$	$0.04065 < 0.14063$	OK	
$\sigma_A(f_0) < \theta(f_0)$	$0.2771 < 2.0$	OK	

L_w	lunghezza della finestra
n_w	numero di finestre usate nell'analisi
$n_c = L_w n_w f_0$	numero di cicli significativi
f	frequenza attuale
f_0	frequenza del picco H/V
σ_f	deviazione standard della frequenza del picco H/V
$\varepsilon(f_0)$	valore di soglia per la condizione di stabilità $\sigma_f < \varepsilon(f_0)$
A_0	ampiezza della curva H/V alla frequenza f_0
$A_{H/V}(f)$	ampiezza della curva H/V alla frequenza f
f^-	frequenza tra $f_0/4$ e f_0 alla quale $A_{H/V}(f^-) < A_0/2$
f^+	frequenza tra f_0 e $4f_0$ alla quale $A_{H/V}(f^+) < A_0/2$
$\sigma_A(f)$	deviazione standard di $A_{H/V}(f)$, $\sigma_A(f)$ è il fattore per il quale la curva $A_{H/V}(f)$ media deve essere moltiplicata o divisa
$\sigma_{logH/V}(f)$	deviazione standard della funzione log $A_{H/V}(f)$
$\theta(f_0)$	valore di soglia per la condizione di stabilità $\sigma_A(f) < \theta(f_0)$

Valori di soglia per σ_f e $\sigma_A(f_0)$

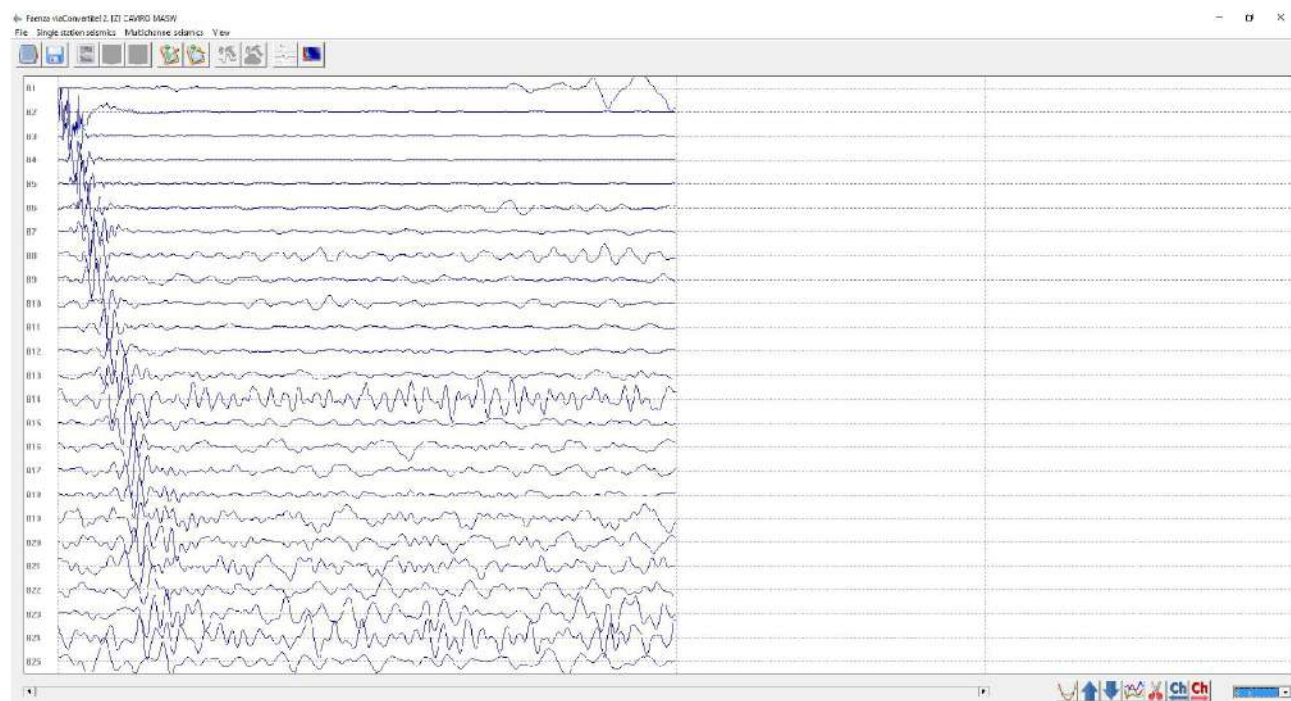
Intervallo di freq. [Hz]	< 0.2	0.2 – 0.5	0.5 – 1.0	1.0 – 2.0	> 2.0
$\varepsilon(f_0)$ [Hz]	$0.25 f_0$	$0.2 f_0$	$0.15 f_0$	$0.10 f_0$	$0.05 f_0$
$\theta(f_0)$ per $\sigma_A(f_0)$	3.0	2.5	2.0	1.78	1.58
$\log \theta(f_0)$ per $\sigma_{logH/V}(f_0)$	0.48	0.40	0.30	0.25	0.20

FAENZA VIA CONVERTITE 12, CAVIRO MASW 1

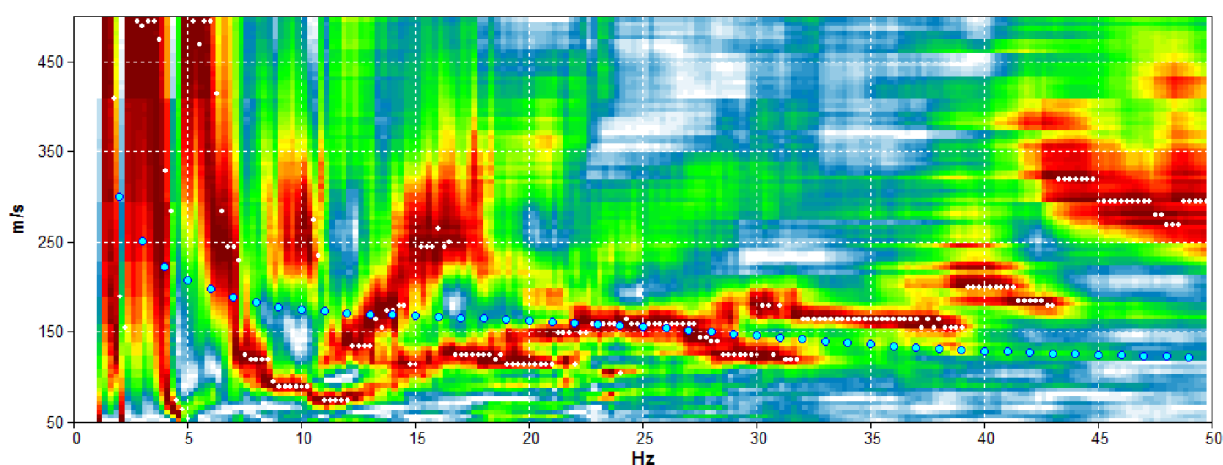
Inizio registrazione: 22/02/17 16:46:54 Fine registrazione: 22/02/17 17:10:15
 Durata registrazione: 0h23'12". Analizzato 78% tracciato (selezione manuale)
 Freq. campionamento: 128 Hz

Nomi canali: NORTH SOUTH; EAST WEST ; UP DOWN

Array geometry (x): 0.0 2.0 4.0 6.0 8.0 10.0 12.0 14.0 16.0 18.0 20.0 22.0 24.0 26.0 28.0 30.0 32.0 34.0 36.0
 38.0 40.0 42.0 44.0 46.0 48.0 m.

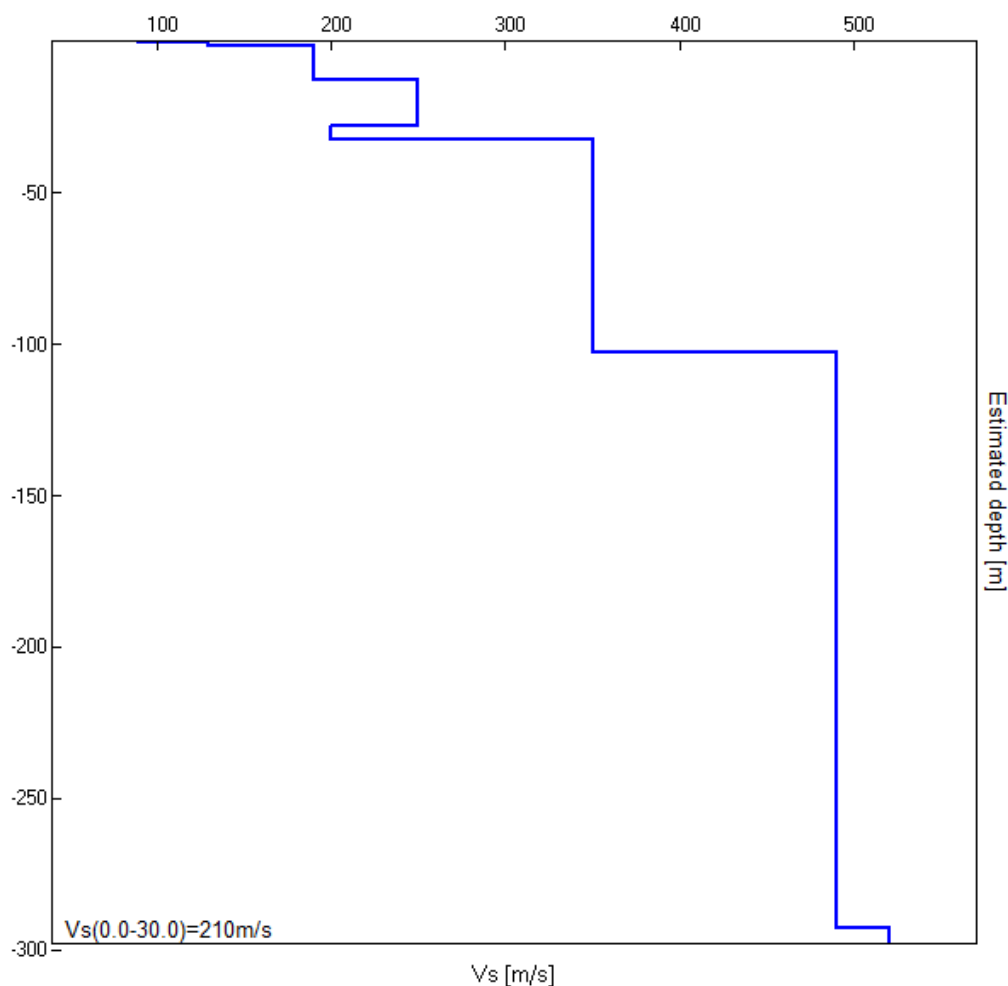


MODELED RAYLEIGH WAVE PHASE VELOCITY DISPERSION CURVE



Depth at the bottom of the layer [m]	Thickness [m]	Vs [m/s]	Poisson ratio
0.20	0.20	90	0.35
1.70	1.50	130	0.40
12.70	11.00	190	0.40
27.70	15.00	250	0.40
32.70	5.00	200	0.40
102.70	70.00	350	0.35
292.70	190.00	490	0.35
inf.	inf.	520	0.30

Vs(0.0-30.0)=210m/s

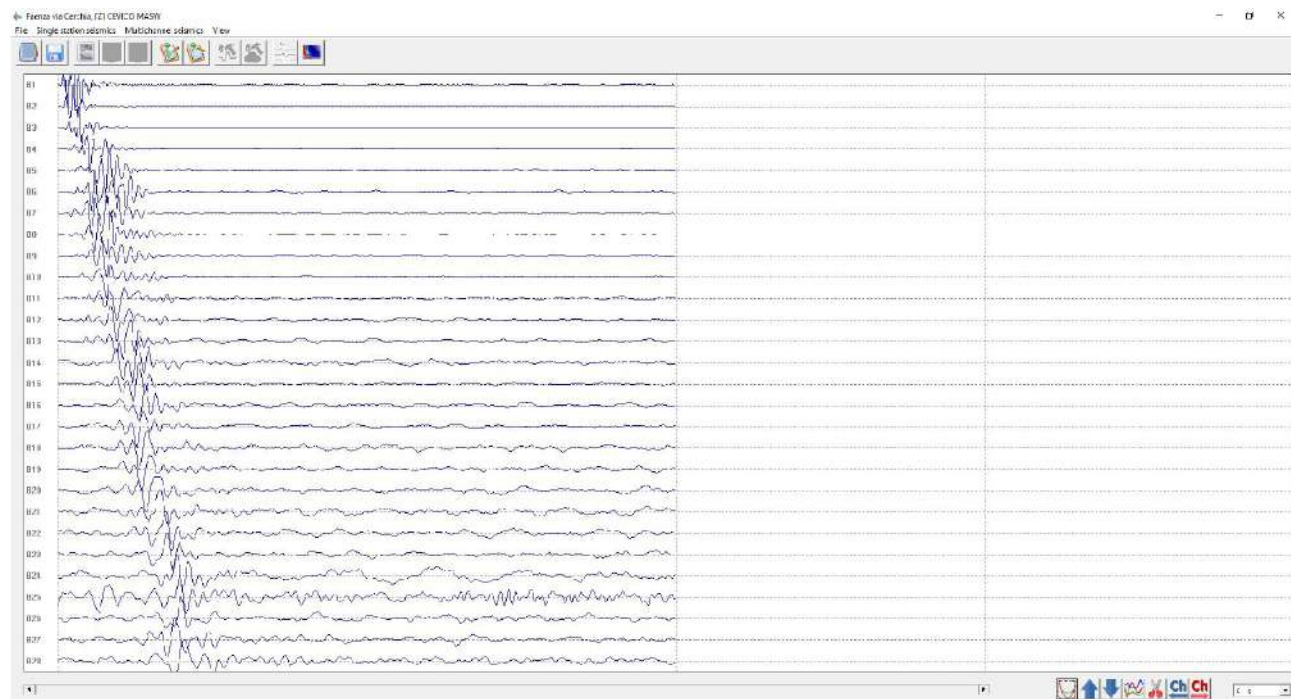


FAENZA VIA CERCHIA, CEVICO T3 - MASW 2

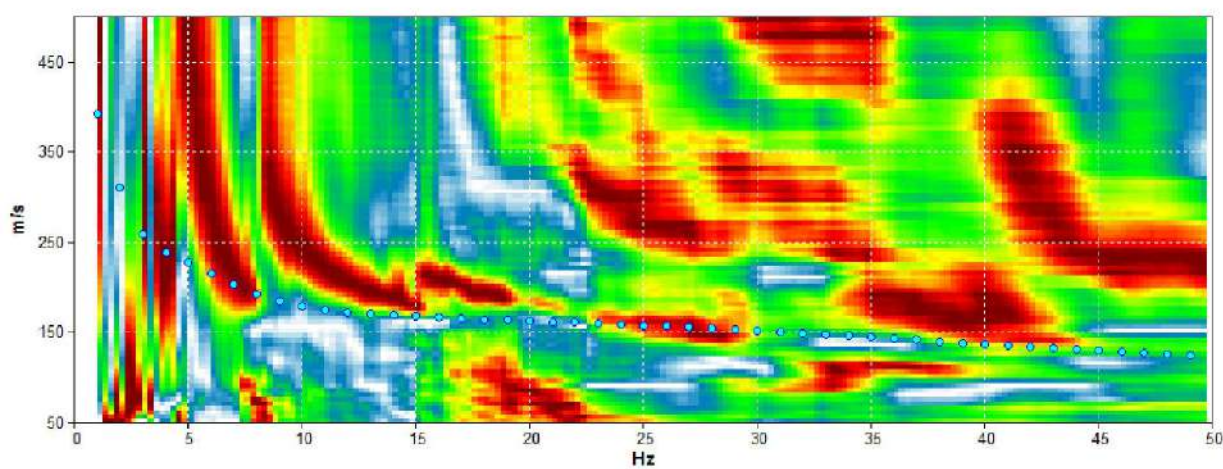
Inizio registrazione: 04/03/17 12:43:32 Fine registrazione: 04/03/17 13:03:33
Durata registrazione: 0h20'00". Analizzato 43% tracciato (selezione manuale)
Freq. campionamento: 128 Hz

Nomi canali: NORTH SOUTH; EAST WEST ; UP DOWN

Array geometry (x): 0.0 2.0 4.0 6.0 8.0 10.0 12.0 14.0 16.0 18.0 20.0 22.0 24.0 26.0 28.0 30.0 32.0 34.0 36.0
38.0 40.0 42.0 44.0 46.0 48.0 50.0 52.0 54.0 m.



MODELLED RAYLEIGH WAVE PHASE VELOCITY DISPERSION CURVE



Depth at the bottom of the layer [m]	Thickness [m]	Vs [m/s]	Poisson ratio
0.40	0.40	73	0.35
1.40	1.00	140	0.35
11.40	10.00	190	0.40
46.40	35.00	270	0.40
101.40	55.00	370	0.35
inf.	inf.	470	0.30

Vs(0.0-30.0)=224m/s

